



UNIVERSIDAD NACIONAL AUTÓNOMA DE
MÉXICO

FACULTAD DE CIENCIAS

PROPIEDADES ESTADÍSTICAS DE
EQUILIBRIO TÉRMICO A PARTIR DE UNA
RED BIDIMENSIONAL CON
ACOPLAMIENTO CAÓTICO

T E S I S

QUE PARA OPTAR POR EL GRADO DE:
FÍSICO

PRESENTA:

MANUEL ALEJANDRO ALDERETE LEZAMA

TUTOR:

DR. JUAN VALENTÍN ESCOBAR SOTOMAYOR



Ciudad Universitaria, CD. MX., 2022



Universidad Nacional
Autónoma de México

Dirección General de Bibliotecas de la UNAM

Biblioteca Central



UNAM – Dirección General de Bibliotecas
Tesis Digitales
Restricciones de uso

DERECHOS RESERVADOS ©
PROHIBIDA SU REPRODUCCIÓN TOTAL O PARCIAL

Todo el material contenido en esta tesis esta protegido por la Ley Federal del Derecho de Autor (LFDA) de los Estados Unidos Mexicanos (México).

El uso de imágenes, fragmentos de videos, y demás material que sea objeto de protección de los derechos de autor, será exclusivamente para fines educativos e informativos y deberá citar la fuente donde la obtuvo mencionando el autor o autores. Cualquier uso distinto como el lucro, reproducción, edición o modificación, será perseguido y sancionado por el respectivo titular de los Derechos de Autor.

1. Datos del alumno

Alderete

Lezama

Manuel Alejandro

55 54 57 34 32

Universidad Nacional Autónoma de México

Facultad de Ciencias

Física

313656413

2. Datos del tutor

Dr

Juan Valentín

Escobar

Sotomayor

3. Datos del sinodal 1

Dr

Raúl Patricio

Esquivel

Sirvent

4. Datos del sinodal 2

Dr

Ricardo Atahualpa

Solórzano

Kraemer

5. Datos del sinodal 3

Dr

Carlos

Málaga

Iguñiz

6. Datos del sinodal 4

Dr

Giuseppe

Pirruccio

7. Datos del trabajo escrito

Propiedades estadísticas de equilibrio térmico a partir de una red bidimensional con acoplamiento caótico

188 p.

2022

Resumen

La presente tesis es un trabajo que busca encontrar ergodicidad, balance detallado y una distribución de Boltzmann en una rejilla de mapeo acoplado que presenta caos espacio-temporal, conforme a los resultados reportados en [5]. Se presentan los métodos computacionales usados para reproducir dichas observaciones. El estudio contempló sistemas con diferentes longitudes, acoplamientos y tamaños de grano (para las pruebas de balance detallado y distribución de Gibbs). Las simulaciones comprobaron que las rejillas de mapeo caótico acoplado efectivamente presentan dichas propiedades y dan sustento a una metodología prometedora para el análisis de sistemas fuera del equilibrio.

Agradecimientos

Aquí deseo plantear mis sinceros agradecimientos a todas las personas e instituciones que han contribuido en la realización del presente proyecto.

Agradezco a mi tutor, el Dr. Juan Valentín Escobar Sotomayor, su inmensurable apoyo durante mi Servicio Social y la elaboración de esta tesis. Su consejo y su calidad docente me ayudaron a afianzar la dirección de mi carrera y cultivar gradualmente múltiples habilidades y cualidades valiosas para mi desarrollo profesional y personal. Su paciencia y soporte fueron claves para superar los múltiples obstáculos que enfrentamos durante la investigación. Gracias a usted, hoy presento con orgullo y satisfacción el producto de nuestro esfuerzo.

Agradezco a los sinodales, el Dr. Raúl Patricio Esquivel Sirvent, el Dr. Ricardo Atahualpa Solórzano Kraemer, el Dr. Carlos Málaga Iguíñiz y el Dr. Guiseppe Pirruccio, el tiempo que dedicaron a la revisión del trabajo y sus perspicaces críticas, las cuales han fortalecido mis capacidades críticas y mejoraron de forma apreciable la calidad de la disertación.

Agradezco a los profesores cuyas clases atendí los conocimientos que compartieron conmigo y el sentido de responsabilidad, disciplina y perpetua curiosidad que inculcaron en mí a través de su excelente ejemplo. Asimismo, reconozco el arduo trabajo de sus respectivos ayudantes, cuya diligencia y disposición facilitaron en gran medida mi aprendizaje.

Agradezco a la Universidad Nacional Autónoma de México, la Facultad de Ciencias y el Instituto de Física por proveer la oportunidad de aprender más, ya fuera de increíbles libros, individuos admirables o traspies y errores (más comunes de lo deseado).

Agradezco al Proyecto de Apoyo a Proyectos de Investigación e Innovación Tecnológica PAPIIT IT101820 y al Proyecto de Reactivación de Investigación y Docencia del Instituto de Física 2021 (PRIDIF21) el apoyo financiero proporcionado para la realización de este proyecto de titulación.

Agradezco a mi madre Elia por el gran amor que me has proporcionado todo este tiempo. Tu perseverancia, generosidad e inagotable optimismo me han inspirado a lo largo de los años a convertirme gradualmente en la mejor posible versión de mí, en un viaje repleto de enseñanzas y risas tan grandioso que no hallo las palabras para describirlo con justicia. Gracias a tu ayuda incondicional, he alcanzado todos mis logros.

Agradezco a mi tía Carmen por siempre apoyarme a alcanzar y aprovechar todas las oportunidades que han aparecido en mi vida. Aprecio mucho el afecto que me has deparado, las lecciones que me has dado y el tiempo que hemos convivido juntos, los cuales han contribuido significativamente en definir para bien mi identidad.

Agradezco a mi abuela Carmen el tierno y grato cariño que constantemente provees con tus palabras de aliento, que me animan a seguir adelante y perseguir mis metas.

Agradezco a mis tíos Manuel e Isabel, mis primos Christian y Jennifer y mis tías Lourdes y Cristina por el afecto y la confianza que han depositado en mí. Atesoro las agradables memorias que hemos formado juntos y me infunde de alegría la posibilidad de crear más en el futuro.

Agradezco a mis tíos Lourdes y Miguel su disposición a orientarme en mi desarrollo académico. Me han inspirado continuamente con su brillante carácter y su cariño también me ha impulsado a ser Físico.

Agradezco a los amigos que encontré en la Facultad, en particular a Luis Antonio, Aaron y Ruy, la cálida amistad que me ofrecieron, así como las risas y los consejos que compartimos en los altibajos de la carrera.

Índice general

1. Introducción	10
2. Conceptos fundamentales	15
2.1. Principio fundamental de la física estadística	15
2.2. Ergodicidad	16
2.3. Teorema H	18
2.4. Balance detallado	19
2.5. Ensamble de Gibbs	20
2.6. Función de partición	24
2.7. Transiciones de fase	25
2.8. Modelo de Ising	28
2.9. Caos	29
2.9.1. Características principales del caos	31
3. Rejilla de mapeo acoplado de Egolf	35
4. Resultados	41
4.1. Caos	41
4.2. Ergodicidad	43
4.2.1. Detalles Técnicos Computacionales sobre la prueba de Ergodicidad . . .	43
4.2.2. Resultados de la prueba de Ergodicidad y <i>Self-averaging</i>	44
4.3. Momentos de las desviaciones d	49
4.3.1. Detalles Técnicos Computacionales sobre la prueba de comportamiento Gaussiano de los momentos de las desviaciones d	49
4.3.2. Resultados de la prueba de comportamiento Gaussiano de los momentos de las desviaciones d	50
4.4. Balance Detallado	54
4.4.1. Detalles Técnicos Computacionales sobre la prueba de Balance Detallado	55
4.4.2. Resultados de la prueba de Balance Detallado	57
4.5. Ensamble de Gibbs	64
4.5.1. Detalles Técnicos Computacionales sobre la prueba de Ensamble de Gibbs	64
4.5.2. Resultados de la prueba de Ensamble de Gibbs	68
5. Conclusiones y perspectivas	78
A. Identidades básicas de probabilidad	80
A.1. Identidades fundamentales	80
A.1.1. Promedio	80
A.1.2. Varianza	80

A.1.3. Variables independientes	81
A.1.4. Promedio y varianza de la suma de variables aleatorias	81
A.2. Expresiones numéricas	82
B. Momentos centrales de una variable aleatoria con distribución Gaussiana	83
C. Demostración de identidad de balance detallado en rejilla de mapeo acoplado a grano grueso	86
C.1. Demostración 1	87
C.2. Demostración 2	88
D. Código para prueba de ergodicidad en rejilla de mapeo acoplado	90
E. Gráficas de simulaciones para prueba de <i>self-averaging</i>	95
F. Código para determinar comportamiento de los momentos de d	97
G. Gráficas de simulaciones para prueba de comportamiento Gaussiano de momentos de desviaciones d	102
H. Código para prueba de balance detallado en rejilla de mapeo acoplado a grano grueso	105
I. Código para calcular promedios sobre <i>bins</i> con una anchura de crecimiento exponencial	112
J. Código para prueba de distribución de Boltzmann para los estados de rejillas de mapeo acoplado “a grano grueso”	115
K. Código para pruebas de balance detallado y distribución de Boltzmann en modelo de Ising	134
L. Gráficas de simulaciones para prueba de distribución de Boltzmann en rejillas de mapeo acoplado “a grano grueso” bajo los cuatro esquemas de minimización	148
L.1. Resultados de sistema CG-CML construido a partir de una rejilla de mapeo acoplado de longitud $L = 8$, grano $G = 2$ y acoplamiento $g = 0.204$	149
L.2. Resultados de sistema CG-CML construido a partir de una rejilla de mapeo acoplado de longitud $L = 32$, grano $G = 8$ y acoplamiento $g = 0.204$	152
L.3. Resultados de sistema CG-CML construido a partir de una rejilla de mapeo acoplado de longitud $L = 32$, grano $G = 8$ y acoplamiento $g = 0$	155
M. Código para prueba de distribución de Boltzmann para los estados de rejilla de mapeo acoplado “a grano grueso” considerando distintos números de acoplamientos entre sitios	158
N. Gráficas de simulaciones para prueba de distribución de Boltzmann en una rejilla de mapeo acoplado “a grano grueso” con distintos números de acoplamientos entre sitios	179

Ñ. Código para prueba de ergodicidad en rejilla de mapeo acoplado con acoplamientos entre múltiples vecinos

181

Capítulo 1

Introducción

El presente capítulo expone ejemplos de modelos y fenómenos característicos de sistemas fuera de equilibrio y contextualiza la tesis como uno de los múltiples trabajos en tal área de estudio enfocados en recobrar o adaptar las herramientas de física estadística para sistemas en equilibrio.

La física estadística estudia sistemas materiales compuestos por un gran número de elementos microscópicos y la relación entre el comportamiento de tales elementos y las propiedades macroscópicas de los sistemas que conforman. La cantidad de componentes de uno de estos sistemas es tan grande que resulta imposible o al menos ineficiente conocer las coordenadas en el espacio fase de cada partícula y usar tal conocimiento para determinar la dinámica del sistema. Sin embargo, dicha condición no representa un obstáculo insuperable sino la oportunidad de un cambio de paradigma; la física estadística aprovecha el hecho de que el número de partículas en los sistemas que analiza sea del orden de 10^{23} para implementar la teoría de la probabilidad en formular leyes y predicciones sobre ellos.

Una amplia y variada gama de sistemas han sido modelados exitosamente a través del formalismo de la física estadística, sin importar las disparidades en su escala o naturaleza; desde el comportamiento de gases ideales y materiales magnéticos hasta las propiedades de algunos tipos de estrellas pueden explicarse satisfactoriamente con dicha rama de la física. Sin embargo, la clave detrás de la extensa aplicabilidad de la física estadística radica en que tales sistemas son sistemas en equilibrio o exhiben muy pequeñas desviaciones respecto a tal estado cuyo estudio sólo requiere la inclusión de algunos términos lineales. La utilidad de la física estadística resulta entonces limitada e incluso nula para sistemas que se encuentran muy lejos del equilibrio; de hecho, cualquier investigación sobre sistemas de esta clase debe enfrentar además el reto de comprobar que estos efectivamente se hallan fuera del equilibrio, lo cual ha fomentado el diseño de inventivos métodos experimentales y sutiles reformulaciones de principios teóricos [6, 11].

La abundancia de sistemas fuera de equilibrio ha propiciado en gran medida su estudio formal y la peculiaridad de algunos de sus fenómenos característicos ha incentivado el desarrollo de enfoques que buscan complementar (e incluso adaptar) las herramientas de la física estadística para mejorar la comprensión de estos sistemas.

Una de dichas perspectivas es la teoría de criticidad auto-organizada o teoría SOC (*Self-Organized Criticality*) propuesta por Per Bak y Kurt A. Wiesenfeld. Esta teoría pretende explicar la esencia de eventos catastróficos (como grandes terremotos, extinciones masivas o

crisis económicas) que diferentes sistemas complejos presentan [1]. En lugar de examinar el funcionamiento de las partes individuales que conforman un sistema bajo la suposición de que la magnitud de un evento en éste es proporcional a la de la perturbación que lo origina, la teoría SOC postula que algunos sistemas complejos tienden naturalmente a un estado crítico en el que cualquier acción, por pequeña que sea, puede producir respuestas tremendas en el sistema a través de las interacciones entre sus componentes¹. Según esta teoría, la evolución de un sistema complejo con criticidad auto-organizada es distinta a la de sistemas en equilibrio afectados ocasionalmente por estímulos externos y los eventos en él, independientemente de su tamaño, no son el resultado de un mecanismo singular ni condiciones extraordinarias. Crucialmente, la teoría no precisa de un parámetro externo (como la temperatura en sistemas térmicos, por ejemplo) para explicar la llegada de un sistema a un estado crítico. Por ello, esta teoría ha sido usada exitosamente para diseñar modelos para diversos sistemas complejos que presentan una criticidad por su propia cuenta o bien “auto-organizada”.

Un ejemplo icónico de modelos de SOC es la pila de arena, cuyo comportamiento, estudiado inicialmente con simulaciones, ya ha sido observado experimentalmente. En este sistema, granos de arena son depositados individualmente en una superficie plana finita a un ritmo constante. Gradualmente, surge una pila que, pese al acomodo ocasional de los granos mediante pequeñas avalanchas, crece hasta alcanzar un punto crítico. En tal estado, la cantidad de partículas agregadas al sistema es equivalente (en promedio) a las que caen de la base, de forma tal que la altura y la pendiente de la pila de granos permanecen constantes. Las avalanchas en el sistema bajo esta configuración son reacciones en cadena detonadas por el deslizamiento inicial de un grano provocado por una inestabilidad en el sistema. Los consecuentes impactos de dicha partícula con otros elementos de la pila producen el movimiento de otros granos, los cuales a su vez experimentan sus propias colisiones con distintas partes del conjunto. Tal proceso entonces se ramifica por todo el sistema hasta que los granos de arena en movimiento alcanzan una posición estable o caen de la base. La señal singular de criticidad auto-organizada en una pila de arena es que la descripción anterior es válida para cualquier avalancha en el sistema, independientemente de su tamaño; en la teoría SOC, las catástrofes en sistemas complejos son como cualquier otro evento en ellos y ocurren aleatoriamente una vez que el sistema se encuentra en el punto crítico.

Así, leyes de potencia resultan ser excelentes aproximaciones de las distribuciones de eventos en sistemas complejos con criticidad auto-organizada; el tamaño de las avalanchas en pilas de arena, la energía liberada por sismos o el número de nacimientos o muertes en el Juego de la Vida de Conway obedecen funciones de tal forma (Figura 1.1). Dichas distribuciones representan una de las pruebas que evidencian criticidad auto-organizada en un sistema y su ubicuidad en varios campos de estudio exhibe claramente la utilidad del concepto.

¹Tal condición se ve reflejada en la aparición de correlaciones de largo alcance entre las partes del sistema, conforme a [3], pág. 955

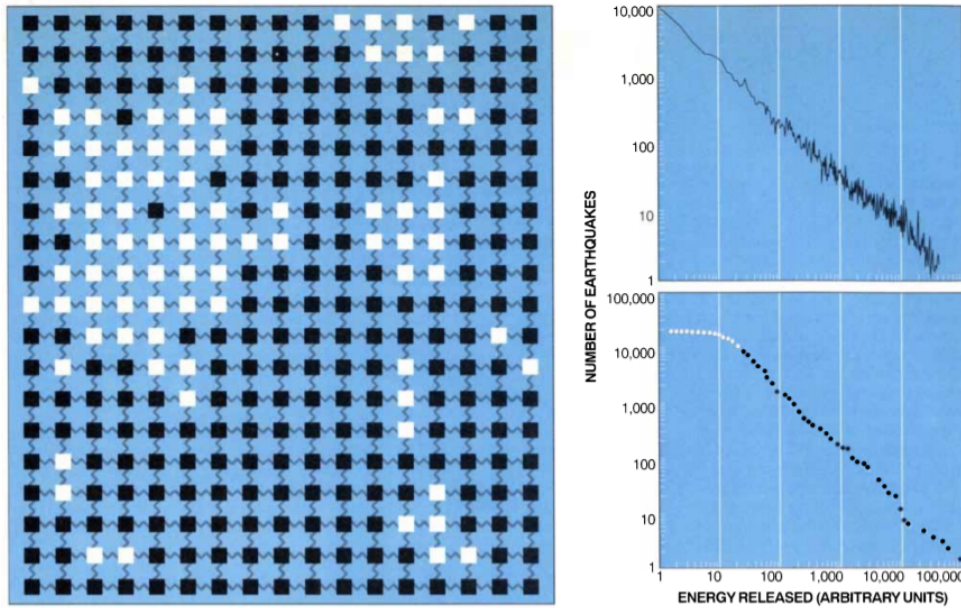


Figura 1.1: (Izq.) Esquema del modelo computacional del manto terrestre para simulaciones de sismos descrito en [1]. El modelo considera al manto como la unión de una placa flexible (conformada por bloques conectados a sus primeros vecinos mediante resortes) y una placa rígida. Al momento en que la fuerza ejercida por los resortes supera un umbral, un bloque se desplaza. Cada bloque en movimiento aparece de color blanco en el diagrama y un conjunto o *cluster* de ellos representa un sismo. La placa rígida ejerce fricción sobre los bloques en movimiento. (Der.) La gráfica superior muestra la distribución de energías construida a partir de 10,000 sismos simulados, mientras que la gráfica inferior resulta de mediciones de la energía de sismos en EE.UU. Ambas gráficas indican que el número de sismos está dado por una ley de potencias sobre su energía. Imagen procedente de [1].

Si bien la presencia de criticidad auto-organizada en una variedad impresionante de sistemas fuera de equilibrio es una prueba clara de su importancia, cabe resaltar que no es el único fenómeno de interés en este campo de estudio. Ante un estímulo externo variable en el tiempo, algunos sistemas pueden experimentar transiciones orden-desorden como el resultado de una respuesta coordinada entre sus componentes. Si bien tal acción conjunta es posible gracias a las interacciones locales entre los elementos del sistema, las transformaciones sobre él son controladas en parte por señales provenientes de su entorno (en contraste con los ejemplos de SOC).

Un ejemplo de esta condición es la alternancia en la concentración de calcio en células cardíacas, que ha sido descrita exitosamente como una transición orden-desorden en modelos sobre los mecanismos celulares que regulan el flujo de iones de calcio [7]. Alvarez-Lacalle *et al.* usan una rejilla de mapeo acoplado para explicar la alternancia de calcio como una consecuencia de las correlaciones de largo alcance del parámetro de orden del sistema, originadas por un estímulo periódico de alta frecuencia. Este análisis resulta de vital importancia, pues la alternancia de calcio en células cardíacas en un paciente es un indicio de que dicho individuo presenta un riesgo significativo de sufrir una arritmia letal.

No todos los estudios sobre sistemas complejos fuera de equilibrio se concentran en analizar este tipo de transiciones de fase a profundidad. Existen otros trabajos cuyo objetivo es mostrar que el equilibrio es en realidad tan sólo una de las muchas fases disponibles a ciertos sistemas y examinar detalladamente los parámetros que determinan a qué región del espacio de fases

corresponde cada configuración del sistema. Por ejemplo, en [8], Farmer argumenta la incorporación de los principios propios del estudio de sistemas complejos a la economía analizando un juego en el que la condición de equilibrio (idealizada en este campo de trabajo como una cualidad universal) no es un resultado factible en todos los casos.

Los fenómenos distintivos de sistemas fuera del equilibrio descritos previamente ameritan múltiples investigaciones para esclarecer su funcionamiento y describir aptamente su complejidad. Empero, existen otros esfuerzos vigorosos en otra dirección igualmente interesante: determinar la manera en que el formalismo de la física estadística puede adoptarse al estudio de sistemas fuera del equilibrio. De singular relevancia al presente trabajo son los estudios de sistemas con reglas de evolución temporal para sus componentes que mezclan un parámetro de acoplamiento entre vecinos cercanos con una variable regida por una dinámica caótica [14]. Cabe destacar que no es evidente *a priori* que un sistema bajo dicha regla de evolución se comporte como un sistema en equilibrio térmico. En tal contexto, el trabajo de Egolf representa un avance significativo en los intentos por revolucionar la física estadística. En [5], se estudia una rejilla de mapeo acoplado o sistema CML (*Coupled Map Lattice*) y se reporta que dicho sistema, cuya regla de evolución temporal incorpora caos espacio-temporal, exhibe algunas propiedades típicamente halladas en sistemas en equilibrio. En particular, Egolf encuentra una escala de observación o “grano grueso” desde la cual la dinámica caótica desempeña el papel de ruido estadístico normalmente asociado a la temperatura. Más aún, muestra que tal rejilla de mapeo acoplado cuenta con las siguientes propiedades de sistemas termodinámicos en equilibrio:

1. Ergodicidad
2. Balance detallado
3. Distribución de probabilidad de Boltzmann

En otras palabras, el análisis de Egolf revela que el sistema CML (a una escala particular) se comporta como si sus elementos mantuvieran contacto con un reservorio de temperatura y la probabilidad de cada estado disponible a la rejilla dependiera de su energía, definida con un Hamiltoniano asignado concorde a las simetrías del sistema.

Tal hecho resulta verdaderamente notable porque constituye una prueba sólida de la existencia de un método para estudiar el comportamiento de sistemas cuyas leyes de evolución local, que incorporan factores estocásticos, no pretenden minimizar una energía total. Hallar un Hamiltoniano para estos sistemas permite calcular cantidades termodinámicas fundamentales y abre la puerta al estudio de sistemas no-térmicos utilizando la vasta maquinaria de la física estadística para, por ejemplo, determinar las condiciones necesarias que conducen a tales sistemas a un punto crítico y predecir transiciones de fase en ellos. Asimismo, el éxito de esta descripción posibilita entender el comportamiento de sistemas basados en reglas de interacción locales estocásticas a partir de reglas de minimización de cantidades globales.

El objetivo de la tesis es reproducir los resultados de Egolf y escribir códigos capaces de adaptar y estudiar el modelo de rejilla de mapeo acoplado a otros sistemas donde las interacciones entre sus elementos constitutivos tengan posiblemente una interpretación más concreta. En particular, presentamos un estudio de rejillas bidimensionales cuadradas de mapeo acoplado de diferentes tamaños a cuyos sitios \vec{x} les corresponden variables $u_{\vec{x}}^t$ con la regla de actualización

$$u_{\bar{x}}^{t+1} = \phi(u_{\bar{x}}^t) + g \sum_{\bar{y}} [\phi(u_{\bar{y}}^t) - \phi(u_{\bar{x}}^t)] \quad (1.1)$$

donde $\phi(u_{\bar{x}}^t)$ es un mapeo caótico local definido como

$$\phi(u) = \begin{cases} -3u - 2 & -1 \leq u \leq -\frac{1}{3} \\ 3u & -\frac{1}{3} \leq u \leq \frac{1}{3} \\ -3u + 2 & \frac{1}{3} \leq u \leq 1 \end{cases} \quad (1.2)$$

Las limitaciones del *hardware* que implementamos al desarrollar la tesis redujeron el ámbito de esta investigación a sistemas “pequeños” en comparación con los que aparecen en [5]. A pesar de tal complicación, determinamos que rejillas de mapeo acoplado definidas por la regla de actualización en la Ecuación 1.1 y el mapeo ϕ en la Ecuación 1.2 sí exhiben algunas de las propiedades de sistemas en equilibrio reportadas por Egolf. Hallamos ergodicidad en sistemas CML de longitudes $L \geq 32$ y comprobamos la presencia de balance detallado y la existencia de una distribución de Boltzmann para rejillas de mapeo acoplado “a grano grueso” asociadas a rejillas “finas” de longitud $L = 32$ y granos de tamaño $G = 8^2$.

Los códigos desarrollados, descritos con detalle en los Apéndices, están disponibles en https://github.com/maal22/Tesis_Licenciatura.

²Los granos constituyen subregiones de $G \times G$ sitios de un sistema CML con longitud $L > G$, descritos en el Capítulo 3.

Capítulo 2

Conceptos fundamentales

El presente capítulo describe conceptos básicos de Física Estadística relevantes a la tesis. Comienza con la introducción del Principio fundamental de la Física Estadística y las características principales de un sistema en equilibrio. Después, proceden las definiciones de ergodicidad, teorema H y balance detallado. Luego, sigue una presentación del ensamble de Gibbs junto con la función de partición. Finalmente, el capítulo concluye con una breve descripción de transiciones de fase.

2.1. Principio fundamental de la física estadística

La siguiente sección está basada principalmente en [17], p. 57.

El **microestado** de un sistema corresponde al conjunto de valores de las coordenadas o variables asociadas a cada uno de los componentes de dicho sistema o estado cuántico, mientras que un **macroestado** ofrece una descripción más general. Por ejemplo, en el caso de un material paramagnético, un microestado queda determinado al conocer la orientación de cada uno de sus dipolos respecto al campo magnético externo aplicado. En cambio, definir un macroestado de dicho sistema únicamente requiere conocer el número de dipolos paralelos (o antiparalelos) a tal campo magnético.

Los sistemas térmicamente aislados son aquellos que no pueden intercambiar energía con su entorno y cuentan consecuentemente con una energía total fija. El comportamiento de sistemas de esta clase dispuestos en equilibrio térmico puede ser fácilmente estudiado bajo la suposición del llamado **principio fundamental de la física estadística**. Tal postulado establece que

Todos los microestados de un sistema aislado en equilibrio térmico son igualmente probables.

Al considerar verdadera esta suposición, el macroestado más probable en un sistema con las propiedades mencionadas previamente es aquél asociado con el mayor número de microestados distintos. Por ejemplo, para un material paramagnético conformado por cinco dipolos, estos macroestados corresponderían a la presencia de 2 o 3 dipolos paralelos al campo magnético externo aplicado al sistema, puesto que cada uno de ellos sería producido por 10 diferentes microestados.

Bajo el principio fundamental, las diferencias de probabilidad entre los distintos macroesta-

dos disponibles a un sistema aislado en equilibrio surgen de las diferencias en el número de microestados detrás de ellos, no en propiedades distintivas de ciertos microestados "atractores" que favorezcan su existencia; las transiciones entre todos los microestados del sistema son aleatorias e igualmente probables.

El principio fundamental es bastante intuitivo; ante la ausencia de una preferencia hacia algún microestado particular, es natural suponer que todos los microestados presentan la misma probabilidad. Sin embargo, esto no asegura que todos los microestados puedan ser registrados, puesto que el número de microestados de un sistema que pueden apreciarse en la práctica depende de cuánto tiempo se mantenga en observación tal sistema. De hecho, la numerosa cantidad de elementos en sistemas reales vuelve el número de microestados tan grande que es imposible detectar en tiempos razonables (experimentalmente hablando) al menos una vez todos los microestados a los que puede acceder el sistema. Al contemplar el principio fundamental, suponemos que la muestra recolectada de microestados es una muestra representativa.

2.2. Ergodicidad

El desarrollo presentado en esta sección procede de [15], pp. 583-585.

En un ensamble bajo un régimen estacionario, las variables $y^{(k)}(t)$ en sistemas k perteneciente a dicho ensamble pueden evaluarse a cualquier tiempo t y reproducir el mismo ensamble. Si tales sistemas cuentan adicionalmente con **ergodicidad**, la variable $y^{(k)}(t)$ accede a todos los valores disponibles a ella en el transcurso de un periodo con duración 2θ suficientemente larga. Consecuentemente, una colección de M intervalos (con una duración 2θ cada uno¹) procedentes de la evolución temporal de un sistema constituye una muestra representativa del ensamble asociado a tal sistema².

La ergodicidad de un sistema se ve reflejada en la equivalencia entre dos tipos de promedios. Uno de ellos, el **promedio del conjunto**, es efectuado para una variable aleatoria sobre un ensamble a un tiempo dado y está definido como

$$\langle y(t) \rangle = \frac{1}{N} \sum_{k=1}^N y^{(k)}(t) \quad (2.1)$$

donde $y^{(k)}(t)$ representa el valor que adopta la variable y al tiempo t en el sistema k , dado un ensamble de N sistemas.

El otro promedio, en cambio, consiste en el **promedio temporal** de una variable aleatoria en un sistema particular sobre un periodo de larga duración y es equivalente a

$$\{y^{(k)}(t)\} = \frac{1}{2\theta} \int_{-\theta}^{\theta} y^{(k)}(t+t') dt' \quad (2.2)$$

donde $\theta \rightarrow \infty$.

¹Con una magnitud tan grande, la condición de ergodicidad implica que el comportamiento de $y^{(k)}(t)$ en cada intervalo es independiente de los demás.

²Asumimos adicionalmente que $M \gg 1$.

Las operaciones asociadas a estos dos promedios conmutan entre sí:

$$\begin{aligned}\langle \{y^{(k)}(t)\} \rangle &= \frac{1}{N} \sum_{k=1}^N \left[\frac{1}{2\theta} \int_{-\theta}^{\theta} y^{(k)}(t+t') dt' \right] = \frac{1}{2\theta} \int_{-\theta}^{\theta} \left[\frac{1}{N} \sum_{k=1}^N y^{(k)}(t+t') \right] dt' \\ &= \frac{1}{2\theta} \int_{-\theta}^{\theta} \langle y^{(k)}(t+t') \rangle dt' = \{ \langle y(t) \rangle \}\end{aligned}\quad (2.3)$$

Conforme a la discusión anterior, la presencia de ergodicidad en un ensamble estacionario implica que el promedio temporal de una variable aleatoria sobre un largo intervalo 2θ no depende del tiempo t en que se calcula. De hecho, tal atributo también asegura que dicho promedio es el mismo para cualquier sistema en el ensamble:

$$\{y^{(k)}(t)\} = \{y\} \quad (2.4)$$

Análogamente, el promedio de conjunto sobre un ensamble estacionario es independiente del tiempo, de modo tal que

$$\langle y(t) \rangle = \langle y \rangle \quad (2.5)$$

Al calcular el promedio de conjunto $\langle \{y^{(k)}(t)\} \rangle$, la Ecuación 2.4 implica que

$$\langle \{y^{(k)}(t)\} \rangle = \frac{1}{N} \sum_{k=1}^N \{y^{(k)}(t)\} = \frac{1}{N} \sum_{k=1}^N \{y\} = \{y\} \frac{1}{N} \sum_{k=1}^N 1 = \{y\}$$

o bien

$$\langle \{y^{(k)}(t)\} \rangle = \{y\} \quad (2.6)$$

De forma similar, el promedio temporal $\{ \langle y(t) \rangle \}$ puede reformularse (conforme a la Ecuación 2.5) como

$$\{ \langle y(t) \rangle \} = \frac{1}{2\theta} \int_{-\theta}^{\theta} \langle y(t+t') \rangle dt' = \frac{1}{2\theta} \int_{-\theta}^{\theta} \langle y \rangle dt' = \langle y \rangle \frac{1}{N} \frac{1}{2\theta} \int_{-\theta}^{\theta} dt' = \langle y \rangle$$

Lo anterior implica que

$$\{ \langle y(t) \rangle \} = \langle y \rangle \quad (2.7)$$

Gracias a la conmutatividad de las operaciones asociadas a las dos clases de promedios (Ecuación 2.3), las ecuaciones 2.6 y 2.7 indican que un ensamble ergódico estacionario cumple que

$$\langle y \rangle = \{y\} \quad (2.8)$$

2.3. Teorema H

La siguiente sección sigue el desarrollo planteado en [15], pp. 624-626.

Sea $P_r(t)$ la probabilidad de observar a un sistema en su estado r al tiempo t . Asumiendo un conjunto discreto de estados, dicha probabilidad satisface la siguiente condición de normalización:

$$\sum_r P_r(t) = 1$$

Las interacciones entre los elementos de un sistema producen transiciones entre los estados accesibles. La transición de un sistema desde un estado r a un estado s puede ser descrita por un tasa de probabilidad w_{rs} , equivalente a la probabilidad por unidad de tiempo de observar tal transición. Dichas tasas pueden ser simétricas, de forma tal que

$$w_{rs} = w_{sr} \quad (2.9)$$

La probabilidad $P_r(t)$ experimenta dos tipos de cambios ante la evolución temporal del sistema. Su valor puede incrementar con las transiciones desde cualquier otro estado s al estado r , pero también puede disminuir a causa de las transiciones en el sentido inverso. Por consiguiente,

$$\begin{aligned} \frac{dP_r}{dt} &= \sum_s w_{sr} P_s - \sum_s w_{rs} P_r \\ &= \sum_s w_{rs} (P_s - P_r) \end{aligned} \quad (2.10)$$

gracias a la simetría entre las tasas de probabilidad expresada en la Ecuación 2.9.

Sea H el valor promedio del logaritmo natural de la probabilidad P_r , es decir,

$$H = \langle \ln P_r \rangle = \sum_r (\ln P_r) P_r \quad (2.11)$$

Entonces, sigue que

$$\begin{aligned} \frac{dH}{dt} &= \frac{d}{dt} \left[\sum_r (\ln P_r) P_r \right] = \sum_r \left[\frac{dP_r}{dt} \ln P_r + \frac{dP_r}{dt} \right] \\ &= \sum_r \frac{dP_r}{dt} (\ln P_r + 1) \end{aligned} \quad (2.12)$$

Tomando en cuenta la Ecuación 2.10, la expresión anterior da lugar a

$$\frac{dH}{dt} = \sum_r \sum_s w_{rs} (P_s - P_r) (\ln P_r + 1) \quad (2.13)$$

El intercambio de los índices r y s no afecta la suma en la igualdad anterior, de modo tal que

$$\frac{dH}{dt} = \sum_r \sum_s w_{sr} (P_r - P_s) (\ln P_s + 1) \quad (2.14)$$

Suponiendo la simetría entre las tasas de transición (Ecuación 2.9), la suma de las ecuaciones 2.13 y 2.14 resulta en

$$\begin{aligned} \frac{dH}{dt} &= \frac{1}{2} \sum_r \sum_s w_{rs} [(P_s - P_r)(\ln P_r + 1) + (P_r - P_s)(\ln P_s + 1)] \\ &= \frac{1}{2} \sum_r \sum_s w_{rs} [-(P_r - P_s) \ln P_r + (P_r - P_s) \ln P_s] \\ &= -\frac{1}{2} \sum_r \sum_s w_{rs} (P_r - P_s) (\ln P_r - \ln P_s) \end{aligned} \quad (2.15)$$

El logaritmo $\ln x$ es una función creciente de x , es decir, si $x_1 > x_2$, entonces $\ln x_1 > \ln x_2$. Esto implica que $(P_r - P_s)(\ln P_r - \ln P_s) \geq 0$ si $P_r \geq P_s$. Como la tasa w_{rs} es positiva, se tiene que

$$\frac{dH}{dt} \leq 0 \quad (2.16)$$

El resultado previo recibe el nombre de **Teorema H**.

La igualdad en la expresión 2.16 ocurre si las probabilidades P_r y P_s son equivalentes entre sí para todos los pares de estados r y s con tasas de transición w_{rs} no nulas. Esto implica que

$$\frac{dH}{dt} = 0 \quad \text{si } P_r = C \quad \forall r \quad (2.17)$$

donde C es una constante independiente del estado del sistema.

En un sistema aislado fuera de equilibrio, múltiples variables cambian constantemente en el tiempo. El Teorema H (Ec. 2.17) revela que H disminuye gradualmente mientras las probabilidades P_r de cada estado accesible r sean diferentes entre sí, independientemente de sus valores iniciales. El decrecimiento de H continúa hasta que $\frac{dH}{dt} = 0$ y todos los estados disponibles al sistema sean igualmente probables. Tal condición se mantiene y el sistema permanece en equilibrio en tiempos posteriores, puesto que cualquier cambio en las probabilidades P_r resultaría en un incremento de H y dicha posibilidad queda descartada por la Ecuación 2.17.

2.4. Balance detallado

El desarrollo aquí presentado sigue [15], p. 384.

Este postulado afirma que la probabilidad de un proceso en un sistema aislado en equilibrio es equivalente a la probabilidad del proceso inverso. En este contexto, un proceso consiste en una transición del sistema de un estado r a un estado s y el proceso inverso se refiere al proceso temporalmente inverso, es decir, la transición del sistema de un estado s^* a un estado r^* (donde r^* y s^* representan los estados derivados de los estados r y s respectivamente al considerar la transformación $t \rightarrow -t$).

El principio de balance detallado nace de la reversibilidad ante una inversión temporal inherente a las leyes microscópicas que rigen las interacciones entre las partes de un sistema. Las tasas de probabilidad relacionadas con transiciones entre estados del sistema son calculadas con tales leyes y consecuentemente también exhiben dicha reversibilidad. Por consiguiente, las tasas de probabilidad w_{rs} y $w_{s^*r^*}$ satisfacen la siguiente expresión:

$$w_{s^*r^*} = w_{rs} \quad (2.18)$$

Siendo P_r la probabilidad de que el sistema se halle en el estado r , la tasa de ocurrencia W_{AB} de una transición desde un conjunto A de estados denotados por r a un conjunto adicional B de estados marcados con s queda determinada como

$$W_{AB} = \sum_r \sum_s P_r w_{rs} \quad (2.19)$$

Análogamente, la tasa de ocurrencia $W_{B^*A^*}$ del proceso inverso está dada por

$$W_{B^*A^*} = \sum_{s^*} \sum_{r^*} P_{s^*} w_{s^*r^*} \quad (2.20)$$

Conforme al principio fundamental de la Física Estadística, todos los estados accesibles de un sistema aislado en equilibrio gozan de la misma probabilidad, lo cual implica que $P_r = P$ para todo estado r . Entonces, sigue que

$$W_{B^*A^*} = P \sum_{s^*} \sum_{r^*} w_{s^*r^*} = P \sum_r \sum_s w_{rs}$$

de acuerdo a la Ecuación 2.18. Surge aquí el principio de balance detallado, cuya esencia queda estipulada en la siguiente igualdad:

$$W_{B^*A^*} = W_{AB} \quad (2.21)$$

2.5. Ensamble de Gibbs

El análisis presentado en esta sección está basado principalmente en [13], pp. 91-96, e incluye algunas identidades procedentes de [9], pp. 37, 49-50, y [2], pp. 40-41.

Un grupo de sistemas idénticos aislados en equilibrio representa un **ensamble microcanónico**. De acuerdo al principio fundamental de la física estadística, los estados disponibles a los sistemas pertenecientes a dicho ensamble cuentan con la misma probabilidad. Siendo N el total de estados, tal probabilidad P_i es igual a

$$P_i = \frac{1}{N} \quad \forall i \quad (2.22)$$

En cambio, el **ensamble de Gibbs** o **ensamble canónico** es una colección de sistemas en contacto con un baño térmico. En este caso, la energía de un sistema del ensamble no es constante, sino que cambia ante el flujo de calor entre éste y el baño térmico que lo rodea.

El conjunto conformado por un sistema A y su respectivo baño térmico B sí cuenta con una energía interna constante U_T tal que

$$U_T = U_A + U_B, \quad (2.23)$$

donde U_A y U_B simbolizan las energías internas del sistema y su baño térmico respectivamente.

Además, la entropía de dicha agrupación está dada por la Ecuación de Boltzmann:

$$S = k_B \ln(\Omega), \quad (2.24)$$

donde k_B es la constante de Boltzmann y Ω representa el número de estados disponibles a un sistema cualquiera. En el caso del conjunto compuesto por A y B (dotado de Ω_T estados diferentes), su entropía S_T es igual a $S_T = k_B \ln(\Omega_T)$.

El número de estados asociado a un sistema depende de la energía interna de dicho sistema. Considerando la Ecuación 2.23 y tomando U_T como una constante, la dependencia de Ω_T con respecto a U_A queda planteada como

$$\Omega_T(U_A) = \Omega_A(U_A) \times \Omega_B(U_T - U_A)^3 \quad (2.25)$$

A continuación, procedemos a determinar la distribución de probabilidad asociada a un elemento del ensamble canónico. Para ello, es conveniente fijar al sistema A en un estado i con un energía E_i . Bajo tal restricción, $\Omega_A(U_A) = \Omega_A(E_i) = 1$, lo cual implica que

$$\Omega_T(U_A) = 1 \times \Omega_B(U_T - U_A) \quad (2.26)$$

La temperatura T de un sistema queda definida en términos de su entropía S y su energía interna U mediante la relación

$$\frac{1}{T} = \left(\frac{\partial S}{\partial U} \right)_X \quad (2.27)$$

donde X representa una variable extensiva, como el volumen lo sería para un gas. Considerando la igualdad previa y la Ecuación de Boltzmann (2.24) para la entropía del baño térmico B , sigue que

$$\frac{1}{k_B T_B} = \left(\frac{\partial \ln(\Omega_B)}{\partial U} \right)_X \quad (2.28)$$

Como la temperatura del baño térmico es una constante T , integrar la Ecuación 2.28 revela que

³Aquí entra en juego el llamado *Principio Multiplicativo*, el cual establece que el total de formas en que dos eventos i y ii pueden ocurrir es equivalente al producto entre la cantidad de maneras distintas en que tales eventos pueden suceder individualmente; si los eventos i y ii pueden presentarse de n_i y n_{ii} formas diferentes, hay $n_i \cdot n_{ii}$ modos en que ambos eventos acaecen. En este caso, los eventos corresponden a la adopción de un estado particular por parte del sistema A y el baño térmico B y las cantidades n_A , n_B son la cantidad de estados disponibles al sistema A y el baño B respectivamente, denotadas por Ω_A , Ω_B conforme a la notación planteada en la Ecuación 2.24.

$$\Omega_B = \gamma \exp \left[\frac{U_B}{k_B T} \right] \quad (2.29)$$

donde γ consiste en una constante de integración.

De acuerdo a la Ecuación 2.29, la Ecuación 2.26 queda reformulada como

$$\Omega_T(E_i) = \Omega_B(U_T - E_i) = \gamma \exp \left[\frac{U_T - E_i}{k_B T} \right] \quad (2.30)$$

El número total de estados disponibles al par sistema - baño térmico queda determinado en la siguiente ecuación:

$$N_T = \sum_j \Omega_T(E_j) = \gamma \exp \left[\frac{U_T}{k_B T} \right] \sum_j \exp \left[\frac{-E_j}{k_B T} \right] \quad (2.31)$$

donde la suma se efectúa sobre los estados j disponibles al sistema A .

La probabilidad \mathcal{P}_i de que el sistema A se encuentre en un estado i con una energía E_i es equivalente a la probabilidad de que el conjunto del sistema y el baño térmico se encuentre en alguno de los estados consistentes con dicha situación. Debido a las restricciones impuestas sobre él, dicho conjunto se comporta como un elemento de un ensamble microcanónico y así, la probabilidad \mathcal{P}_i es igual a la razón entre el número de estados del conjunto con $U_A = E_i$ y el total de estados disponibles N_T :

$$\mathcal{P}_i = \frac{\Omega_T(E_i)}{\sum_j \Omega_T(E_j)} = \frac{\exp[-E_i/k_B T]}{\sum_j \exp[-E_j/k_B T]} \quad (2.32)$$

La expresión anterior es la llamada **distribución de probabilidad de Boltzmann**. Si bien dicha función de probabilidad para el sistema A no incluye los microestados asociados al baño térmico que lo rodea, éste mantiene cierta influencia al fijar la temperatura T . A bajas temperaturas, únicamente los estados con las energías E_i más pequeñas tienen una probabilidad significativa de ser ocupados. Si la temperatura del baño térmico es más alta, la probabilidad de que el sistema A acceda a estados con energías mayores incrementa.

El baño térmico B puede ser modelado como un conjunto de $M - 1$ copias del sistema A , siempre y cuando M sea suficientemente grande para garantizar que la capacidad calorífica de la colección de réplicas sea tan alta que su temperatura permanezca constante. Entonces, el conjunto conformado por el sistema A y el baño térmico B consiste en un grupo de M sistemas idénticos en contacto térmico entre sí. El número de estados Ω_T disponibles a la agrupación de M sistemas (dado un conjunto de números de ocupación $\{n_i\}$ ⁴) es equivalente al total de formas que hay de disponer n_i de los M sistemas en cada estado i .

Aquí resulta conveniente recordar que el total de combinaciones $C(n, r)$ de n elementos en grupos de r ($r \leq n$) es equivalente a

$$C(n, r) = \frac{n!}{r!(n-r)!} \quad (2.33)$$

⁴El número de ocupación $0 \leq n_i \leq M$ denota al número de sistemas dispuestos en el estado i y cumple que $\sum_i^{\text{inf}} n_i = M$.

En particular, el total de formas de fijar n_1 de los M sistemas mencionados previamente en el estado 1 es igual al número de combinaciones $C(M, n_1)$:

$$C(M, n_1) = \frac{M!}{n_1!(M - n_1)!} \quad (2.34)$$

Una vez completado este acomodo, el número de maneras distintas de tener n_2 de los sistemas restantes en el estado 2 está dado por el número de combinaciones $C(M - n_1, n_2)$:

$$C(M - n_1, n_2) = \frac{(M - n_1)!}{n_2!(M - n_1 - n_2)!} \quad (2.35)$$

De forma análoga, la cantidad de arreglos diferentes con n_i de $M - \sum_j^{i-1} n_j$ sistemas en el estado i queda definida como

$$C\left(M - \sum_j^{i-1} n_j, n_i\right) = \frac{(M - \sum_j^{i-1} n_j)!}{n_i!(M - \sum_j^{i-1} n_j - n_i)!} \quad (2.36)$$

Así, el número de estados Ω_T es el producto de las combinaciones individuales $C(M - \sum_j^{i-1} n_j, n_i)$, de modo tal que

$$\Omega_T = \frac{M!}{n_1!n_2!n_3!\dots} \quad (2.37)$$

La aproximación de Stirling para factoriales de números n muy grandes establece que

$$\ln(n!) \sim n \ln(n) - n \quad (2.38)$$

Asumiendo que M y todos los números n_i sean suficientemente grandes para considerar válida la expresión 2.38, sigue que

$$\begin{aligned} \Omega_T &= \frac{M^M / \exp[M]}{\prod_i (n_i^{n_i} / \exp[n_i])} \\ &= \frac{M^M \times \prod_i \exp[n_i]}{\exp[M] \times \prod_i n_i^{n_i}} \\ &= \frac{M^M \times \exp[\sum_i n_i]}{\exp[M] \times \prod_i n_i^{n_i}} = \frac{M^M}{\prod_i n_i^{n_i}} \end{aligned} \quad (2.39)$$

puesto que $\sum_i n_i = M$. Entonces, conforme a la Ecuación 2.39, la entropía S_T del ensamble puede formularse como

$$S_T = k_B \ln(\Omega_T) = k_B \left\{ M \ln(M) - \sum_i n_i \ln(n_i) \right\} \quad (2.40)$$

Al considerar que $M \ln(M) = \sum_i n_i \ln(M)$, resulta que

$$S_T = k_B \sum_i n_i \ln \left(\frac{M}{n_i} \right) = -k_B M \sum_i \left(\frac{n_i}{M} \right) \ln \left(\frac{n_i}{M} \right) \quad (2.41)$$

En el límite $M \rightarrow \infty$, la razón n_i/M marca la probabilidad de que el sistema A se encuentre en el estado i . Por ende, el valor promedio de la entropía de un sistema cualquiera en un ensamble canónico puede ser expresado como

$$S = \frac{S_T}{M} = -k_B \sum_i \mathcal{P}_i \ln(\mathcal{P}_i) \quad (2.42)$$

2.6. Función de partición

La descripción de la función de partición aquí presentada sigue el desarrollo en [13], pp. 93-94 y 96-97.

La **función de partición Z** está definida como

$$Z = \sum_j \exp \left[-\frac{E_j}{k_B T} \right] \quad (2.43)$$

donde la suma es realizada sobre todos los estados j disponibles a un sistema en contacto con un baño térmico. Z también puede ser formulada como una suma sobre los niveles de energía, de modo tal que

$$Z = \sum_n g_n \exp \left[-\frac{E_n}{k_B T} \right] \quad (2.44)$$

siendo g_n la degeneración de la energía E_n , equivalente al número de estados cuyas energías son todas equivalentes a E_n .

La función de partición funciona como una constante de normalización para las probabilidades \mathcal{P}_i en un sistema de un ensamble canónico, de modo tal que

$$\begin{aligned} \sum_i \mathcal{P}_i &= \sum_i \frac{\exp[-E_i/k_B T]}{\sum_j \exp[-E_j/k_B T]} \\ &= \frac{1}{Z} \sum_i \exp \left[-\frac{E_i}{k_B T} \right] = 1 \end{aligned} \quad (2.45)$$

Empero, la importancia de Z es mucho mayor de lo que la Ecuación 2.45 sugiere. Conforme a la Ecuación 2.32, la probabilidad \mathcal{P}_i cumple la siguiente igualdad:

$$\ln(\mathcal{P}_i) = -\frac{E_i}{k_B T} - \ln(Z) \quad (2.46)$$

Al sustituir la igualdad previa en la Ecuación 2.42, se obtiene que

$$S = k_B \sum_i p_i \left(\frac{E_i}{k_B T} + \ln(Z) \right) = \frac{\hat{U}}{T} + k_B \ln(Z) \quad (2.47)$$

donde \hat{U} es el valor promedio de la energía interna del sistema, es decir, $\hat{U} = \sum_i \mathcal{P}_i E_i$.

Los términos de la Ecuación 2.47 pueden ser reordenados para dar

$$\hat{U} - TS = -k_B T \ln(Z)$$

Como el valor medio de la energía libre de Helmholtz (denotada por F) es igual a la parte izquierda de la ecuación anterior, resulta que

$$F = -k_B T \ln(Z) \quad (2.48)$$

Así, la función de partición Z opera como una conexión entre la descripción microscópica de un sistema mediante el análisis estadístico de sus estados y el estudio del mismo objeto desde un punto de vista termodinámico.

2.7. Transiciones de fase

La información en esta sección procede de [13], pp. 259-262, y [2], pp. 255-258, 263.

Las fases de un sistema son los estados disponibles al sistema con propiedades físicas y químicas uniformes; dos muestras macroscópicas representativas de un sistema dispuesto en una fase determinada contarían con características físicas (como la densidad para un gas o la resistividad para un metal) y composición química equivalentes. Cambios abruptos en dichas propiedades constituyen una prueba clara de una transición de fase. Las peculiaridades de tales transformaciones permiten distinguir al menos dos clases de ellas: las transiciones de fase primer orden y las transiciones de fase de segundo orden (o continuas).

Transiciones de fase de primer orden

Las transiciones de fase de primer orden ocurren entre dos puntos de equilibrio asociados a fases distintas que ocupan regiones separadas en el espacio termodinámico del sistema y coexisten en un punto particular de esta clase de transiciones. Dichos puntos de equilibrio corresponden a mínimos locales de un potencial termodinámico (como la energía libre de Gibbs), siendo el menor de ellos la fase estable del sistema. Los demás puntos representan fases metaestables, a las cuales el sistema puede acceder brevemente antes de que fluctuaciones en el potencial termodinámico lo conduzcan (eventualmente) al estado verdaderamente estable⁵.

Un ejemplo de transiciones de fase de primer orden es la transición líquido-gas, ilustrada como el proceso A - B - C en la Figura 2.1. En el punto A , el mínimo de la energía libre de Gibbs G corresponde a la fase con un menor volumen (el estado líquido). A través de cambios en la temperatura y la presión, el sistema es conducido al punto B sobre la curva de coexistencia entre las fases líquida y gaseosa, donde G tiene el mismo valor en ambos estados. Finalmente, el sistema alcanza el punto C y termina en la fase gaseosa, la cual constituye el punto de equilibrio más estable del sistema tras la transición de fase.

⁵Existen varios sistemas en los que tal transformación no ocurre rápidamente y permanecen en las fases metaestables por tiempos largos, como el vidrio o el acero.

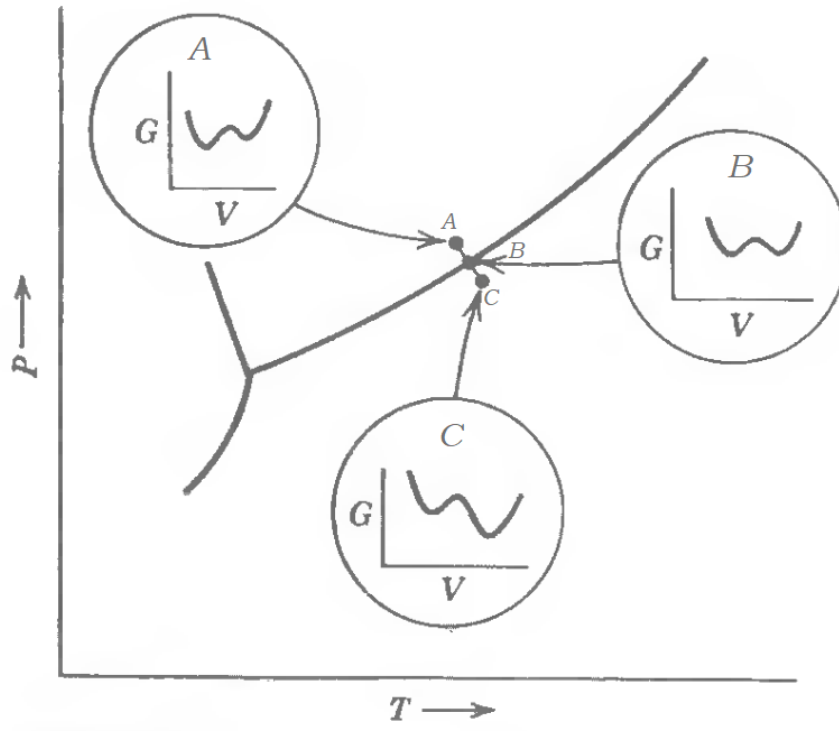


Figura 2.1: Transición de primer orden. Imagen adaptada de [2].

Adicionalmente, las transiciones de primer orden exhiben discontinuidades en diferentes potenciales molares. Por ejemplo, la diferencia de entropía entre las dos fases de una sustancia implica que dicha sustancia requiere un calor latente para cruzar la curva de coexistencia al experimentar una transición de fase.

Transiciones de fase de segundo orden

Las transiciones de fase de segundo orden en un sistema consisten en la separación de un punto único de equilibrio en múltiples estados. El proceso $A1-A2-Cr-B$ en la Figura 2.2 es un ejemplo de estas transformaciones. La región del diagrama de fases con presiones y temperaturas superiores a las del punto crítico (marcado como Cr) corresponde a los fluidos supercríticos. Al acercarse a un sistema en tal fase al punto crítico, el mínimo en la energía de Gibbs asociado a tal estado adquiere gradualmente la forma de una meseta hasta alcanzar el punto crítico y desarrollar dos mínimos locales. El máximo local que separa estos mínimos incrementa al conducir el sistema hacia el punto triple siguiendo la curva de coexistencia de fases (como en el punto B).

Una explicación más fructífera de las transiciones de segundo orden requiere la introducción de un nuevo concepto: el parámetro de orden. Éste consiste en una propiedad física del sistema que es distinta de cero bajo temperaturas menores a un valor crítico T_c y se vuelve nula a temperaturas superiores a T_c . Como su nombre lo indica, el parámetro de orden codifica una configuración u ordenamiento “especial” de los elementos del sistema a bajas temperaturas que desaparece con $T > T_c$; de ahí que las transiciones de segundo orden también sean conocidas como transiciones orden-desorden. Por ejemplo, la estructura cristalina de la aleación Cu-Zn es una red cúbica centrada. A bajas temperaturas, cada una de las redes que conforman el material está integrada por átomos del mismo elemento, de modo tal que cada átomo de cobre constituye el centro de un cubo con átomos de zinc en sus vértices (y viceversa). Al disponer

el sistema a una temperatura superior al punto crítico, tales redes ya no quedan conformadas exclusivamente por los mismos elementos y la aleación se vuelve “desordenada” (Figura 2.3).

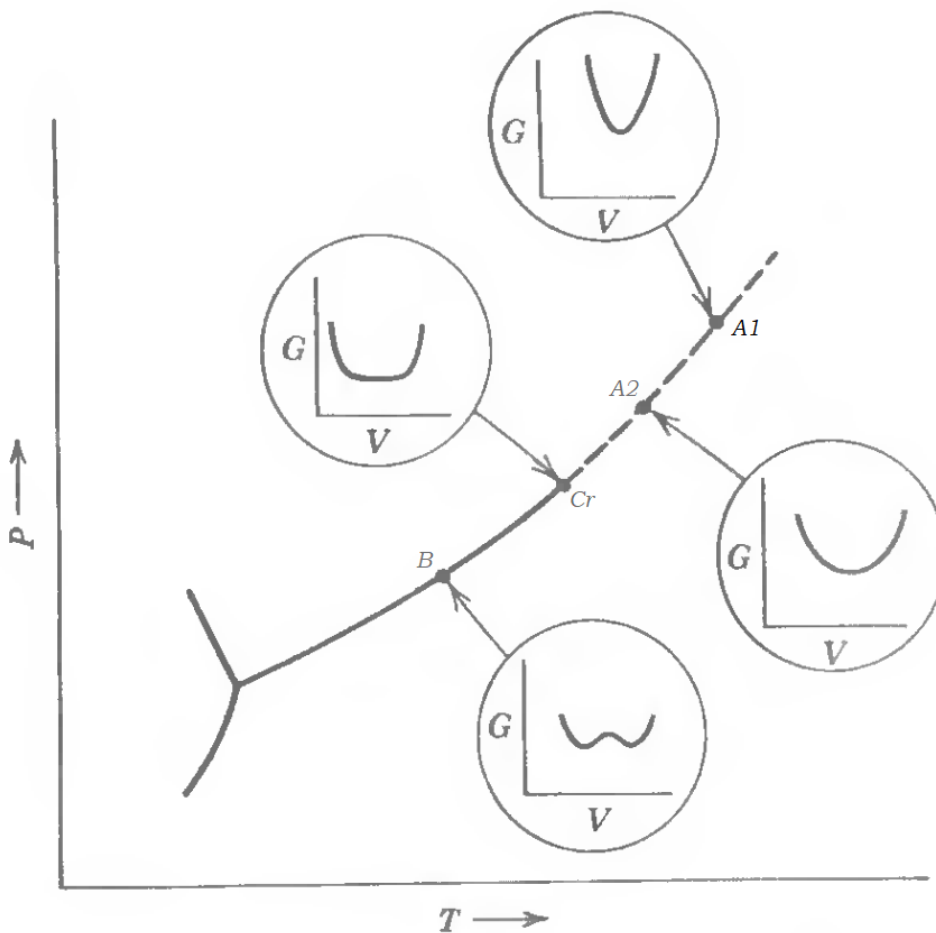


Figura 2.2: Transición de segundo orden. Imagen adaptada de [2].

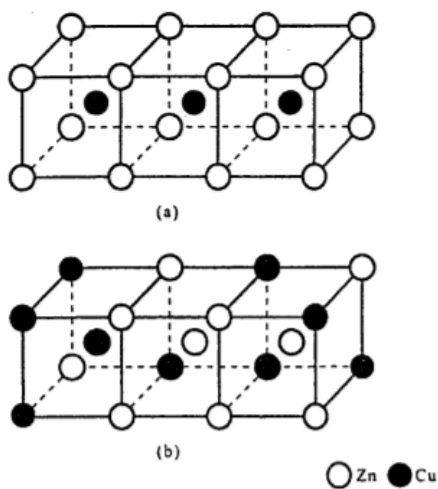


Figura 2.3: Transición orden-desorden en la aleación Cu-Zn, con las fases ordenada (a) y desordenada (b). Imagen procedente de [13].

2.8. Modelo de Ising

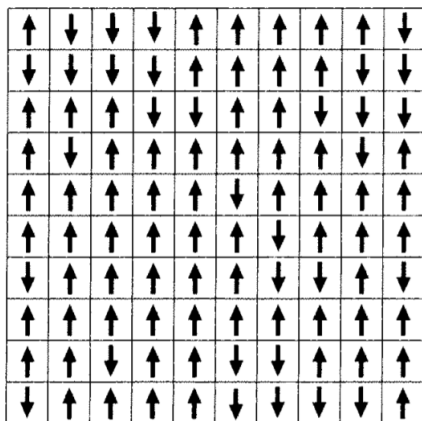
La información expuesta a continuación procede en su mayoría de [17], pp. 339-353, y [13], pp. 265-260.

El modelo de Ising es una representación idealizada de un material magnético que captura la interacción entre dipolos vecinos y exhibe transiciones de fase. Los dipolos en un sistema de esta clase únicamente pueden alinearse a lo largo de una dirección particular, ya sea de forma paralela o antiparalela (Figura 2.4a). La energía de una rejilla de Ising (libre de la influencia de un campo magnético externo) queda definida como

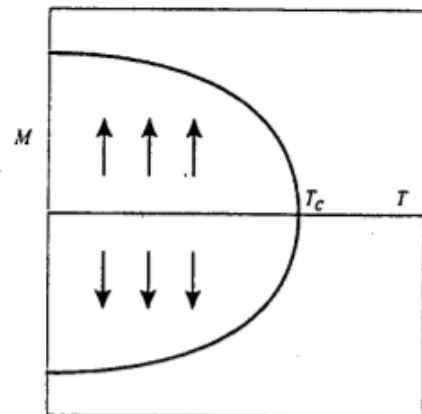
$$\mathcal{H} = -J \sum_{(i,j)} s_i s_j, \quad (2.49)$$

donde J denota el acoplamiento entre primeros vecinos, $s_i = \pm 1$ representa la magnitud de un dipolo i y la suma en la expresión anterior sólo contempla los primeros vecinos j de cada dipolo i . Si $J > 0$, el sistema es ferromagnético y los dipolos quedan todos alineados en un mismo sentido en el estado de mínima energía. En el caso contrario ($J < 0$), el modelo corresponde a un material antiferromagnético en cuyo estado de menor energía los dipolos vecinos apuntan a direcciones opuestas.

Cabe resaltar que un material ferromagnético de Ising, pese a su simplicidad, presenta una transición de segundo orden⁶, con la magnetización del sistema (equivalente a la suma de los dipolos) como parámetro de orden. A bajas temperaturas, la magnetización es distinta de cero como consecuencia de una alineación uniforme de los susodichos dipolos. Una vez superada una temperatura crítica conocida como temperatura de Curie, el sistema se vuelve más desordenado, los dipolos apuntan en diferentes sentidos y la magnetización queda reducida a cero.



(a) Representación de un sistema de Ising bidimensional



(b) Transición orden-desorden característica del modelo de Ising bidimensional

Figura 2.4: Modelo de Ising. Imágenes procedentes de [13].

⁶Estrictamente, esto es válido para sistemas con una dimensionalidad mayor o igual a 2 y tal condición será asumida como cierta a lo largo de la siguiente discusión. El modelo de Ising unidimensional no experimenta una transición de esta clase.

metrías que distingue a las transiciones orden-desorden. La energía del sistema no cambia si la orientación del marco de referencia es invertida, es decir, H (Ecuación 2.49) es invariante ante la transformación $s_i \rightarrow -s_i$. Sin embargo, la magnetización del sistema sí puede ser modificada por esta inversión, siempre y cuando su valor sea distinto de cero. Por ende, la fase ordenada del modelo de Ising (observada a bajas temperaturas) pierde la simetría que presenta la fase desordenada.

La función de partición Z en el modelo de Ising queda definida como

$$Z = \sum_{\{s_i\}} \exp [\mathcal{H}] \quad (2.50)$$

donde $\{s_i\}$ representa el conjunto con todas las posibles configuraciones del sistema. Cada dipolo cuenta con dos posibles orientaciones, así que el número de elementos en la suma en la Ecuación 2.50 para un sistema con N dipolos equivale a 2^N . Por lo tanto, calcular las probabilidades de todos los estados disponibles al sistema (dadas por la Ecuación 2.32) resulta impráctico o incluso imposible para sistemas grandes. En la práctica, dichas probabilidades, así como otras propiedades termodinámicas del sistema, son obtenidas con un muestreo aleatorio de dichos estados. El método de muestreo más apropiado al modelo de Ising es el algoritmo de Metropolis, el cual implementa los factores de Boltzmann $\exp [-\mathcal{H}(\{s_i\})/k_B T]$ de cada estado $\{s_i\}$ al generar una muestra.

El algoritmo de Metropolis funciona de la siguiente manera:

1. Un dipolo s_i en el sistema es seleccionado al azar e invertido ($s_i \rightarrow -s_i$).
2. El cambio $\Delta\mathcal{H}$ en la energía provocado por tal cambio es calculado a partir de los valores del dipolo elegido y sus primeros vecinos.
 - Si $\Delta\mathcal{H} \leq 0$, entonces el cambio $s_i \rightarrow -s_i$ es aceptado y el sistema adquiere la configuración correspondiente.
 - Si $\Delta\mathcal{H} > 0$, el factor de Boltzmann correspondiente es computado, junto con un número aleatorio r entre 0 y 1.
 - En caso de que el número r supere el factor de Boltzmann, el cambio $s_i \rightarrow -s_i$ es aceptado.
 - En caso contrario, s_i recupera su valor original y el sistema permanece en el mismo estado.
3. El procedimiento anterior se repite con un nuevo dipolo s_j hasta obtener una muestra del tamaño deseado.

2.9. Caos

La presente sección está basada principalmente en [10], pp. 483, 491-494, [4], pp. 25-31, 45-57, 121-134, y [16], pp. 122-134.

En un sistema caótico, las trayectorias en el espacio fase que parten de puntos inicialmente cercanos entre sí describen movimientos enteramente distintos y una pequeña diferencia en las

condiciones iniciales no se refleja como tal en la evolución temporal del sistema (Figura 2.5). Ante nuestra incapacidad de efectuar mediciones con precisión absoluta, el futuro de un sistema caótico es incierto, incluso si las reglas que determinan su dinámica son bien conocidas.

Figura 2.5: Evolución temporal de un sistema “normal” (A) y un sistema caótico (B). Imagen procedente de [16].

La presencia del caos no está limitada a sistemas conformados por un vasto número de elementos. De hecho, algunos de los sistemas emblemáticos de tal fenómeno son mapeos iterativos unidimensionales, como la ecuación logística. Dicho mapeo está definido como

$$x_{n+1} = F(x_n) = Kx_n(1 - x_n) \quad (2.51)$$

donde $0 \leq x \leq 1$ y $K > 0$.

Modificar el valor del parámetro K produce cambios drásticos en el comportamiento del sistema, como lo ilustra la Figura 2.6. Dicha imagen, conocida como un diagrama de bifurcación, consiste en la gráfica de los puntos x_N obtenidos tras aplicar N veces consecutivas el mapeo logístico a un conjunto de diferentes condiciones iniciales $\{x_0\}$ para múltiples valores de K . Por ejemplo, las sucesiones $\{x_n = F^n(x_0)\}$ (denominadas órbitas de x_0 bajo F) tienden invariablemente a $x_N = 0$ con $K = 1$, mientras que $K = 3.2$ (o $K = 3.4$) produce órbitas periódicas que oscilan entre dos (o cuatro) puntos x_n distintos tras algunas iteraciones. Dado $K = 3.7$, la ecuación logística exhibe caos y las órbitas deambulan sin alcanzar un punto específico o un ciclo con periodo definido.

Figura 2.6: Diagrama de bifurcación de la ecuación logística. Imagen recopilada de [16].

Los casos descritos anteriormente para la ecuación logística permiten distinguir al menos dos tipos de puntos de singular importancia en mapeos caóticos:

- Un punto fijo x_f cumple que

$$G(x_f) = x_f, \quad (2.52)$$

dato un mapeo caótico $G(x)$. Tal condición implica que $G^n(x_f) = x_f \forall n$ (donde $G^n(x)$ denota la composición de la función $G(x)$ consigo misma n veces seguidas). Así, la órbita de x_f queda conformada únicamente por dicho punto.

- Un punto periódico x_p con periodo m es tal que

$$G^m(x_p) = x_p \quad (2.53)$$

siendo $G(x)$ un mapeo caótico. La órbita de x_p consiste entonces en una secuencia de números que se repiten tras m evaluaciones del mapeo $G(x)$.

2.9.1. Características principales del caos

Existen tres propiedades comunes entre sistemas caóticos:

1. **Densidad de puntos periódicos** - Dados los conjuntos X y Y tales que $X \subset Y$, se dice que X es denso en Y si para cualquier elemento $y \in Y$, existe un elemento $x \in X$ arbitrariamente cercano a y . En particular, el conjunto de puntos periódicos de un mapeo caótico $G(x) : [a, b] \rightarrow [a, b]$ son densos en el intervalo $[a, b]$.
2. **Transitividad** - Un sistema cuenta con transitividad si existe un punto z cuya órbita mantiene una distancia arbitrariamente pequeña con respecto a un par cualquiera de puntos x y y . Un mapeo $G(x) : [a, b] \rightarrow [a, b]$ es transitivo si hay una órbita densa en $[a, b]$ bajo tal función. Dicha condición garantiza hallar un elemento de semejante órbita cerca de cualquier punto en $[a, b]$.
3. **Sensibilidad a condiciones iniciales** - Ligeras discrepancias en las condiciones iniciales producen grandes cambios en la evolución de un sistema con este atributo. Por ejemplo, un mapeo $G(x)$ es sensible a condiciones iniciales si para cualquier par de puntos x y y (separados inicialmente una distancia ϵ arbitrariamente pequeña) existen un número real $\beta > 0$ y un natural k tales que la distancia entre $G^k(x)$ y $G^k(y)$ es mayor o igual a β .

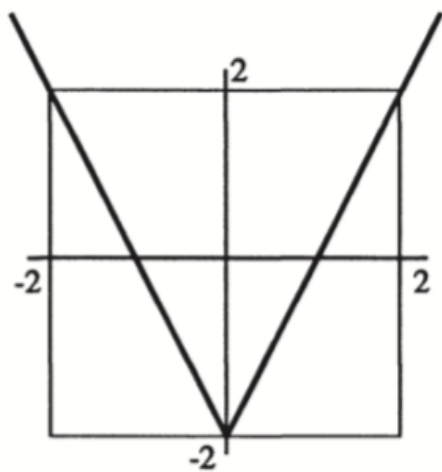
Las tres propiedades descritas anteriormente se encuentran en el mapeo $V(x) = 2|x| - 2$ en el intervalo $[-2, 2]$. La clave para comprobar tal afirmación es la forma de las gráficas correspondientes a $V^n(x)$ (como las que aparecen en la Figura 2.7). Dichas gráficas constan de 2^n partes, definidas en subintervalos con longitud 2^{2-n} . Cada uno de los segmentos de la gráfica consiste en una recta con pendiente $\pm 2^n$ que cubre el intervalo completo $[-2, 2]$.

La densidad de puntos periódicos implica que, dado un valor x cualquiera en el intervalo $[-2, 2]$, existe un punto x_p a una distancia arbitraria $\epsilon > 0$ que satisface la Ecuación 2.53. Conforme a las observaciones previas respecto a las gráficas de $V^n(x)$, existe un subintervalo $J(n) = [a_J, b_J] \subset [-2, 2]$ de longitud 2^{2-n} que contiene a x y mapea los puntos en su interior bajo $V^n(x)$ a $[-2, 2]$ de forma tal que $V^n(a_J) = -V^n(b_J) = \pm 2$. Aunado a esto, $V^n(x)$ es una función continua, así que el Teorema de Valor Intermedio ([19], pág. 124) asegura que existe un $x_p \in J(n)$ tal que $V^n(x) = x_p$.

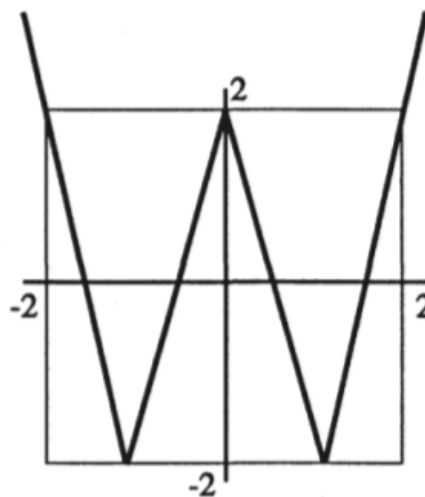
La existencia de órbitas densas bajo $V(x)$ en $[-2, 2]$ prueba la transitividad de dicho mapeo. Cada subintervalo $J(n)$ bajo $V^n(x)$ cubre el intervalo $[-2, 2]$ completo, lo cual indica que existen múltiples puntos cuya imagen es algún punto arbitrariamente cercano a un determinado valor x ; de hecho, x en sí es parte de diferentes órbitas en $[-2, 2]$.

La sensibilidad a condiciones iniciales en el mapeo $V(x)$ queda clara al considerar (nuevamente) que la imagen de un subintervalo $J(n)$ es el intervalo $[-2, 2]$. Entonces, siempre es posible hallar dos puntos x y y dentro de un subintervalo $J(n)$ con una separación no nula $\epsilon \leq 2^{2-n}$ tales que $|V^n(x) - V^n(y)| \geq 2$.

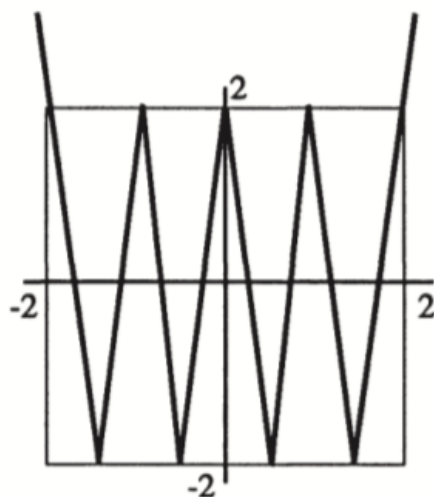
En particular, este atributo de sistemas caóticos puede visualizarse a través de series temporales (Figura 2.8 para el mapeo $V(x)$ o Figura 2.10 para la ecuación logística) o diagramas de trayectorias (Figura 2.9 para $V(x)$ y Figura 2.11 para la ecuación logística). La separación entre condiciones iniciales similares no se mantiene constante tras varias iteraciones y produce trayectorias muy diferentes para el sistema.



(a) Gráfica de mapeo $V(x)$



(b) Gráfica de $V^2(x)$



(c) Gráfica de $V^3(x)$

Figura 2.7: Gráficas del mapeo $V(x)$ y sus composiciones $V^2(x)$ y $V^3(x)$ en el intervalo $[-2, 2]$.

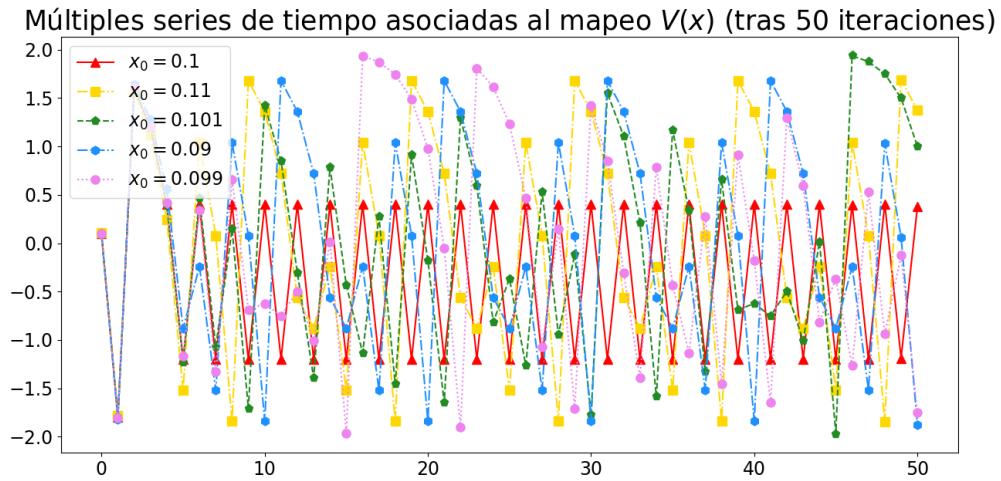


Figura 2.8: Serie temporal de mapeo $V(x)$ tras 50 iteraciones, considerando 5 condiciones iniciales x_0 diferentes.

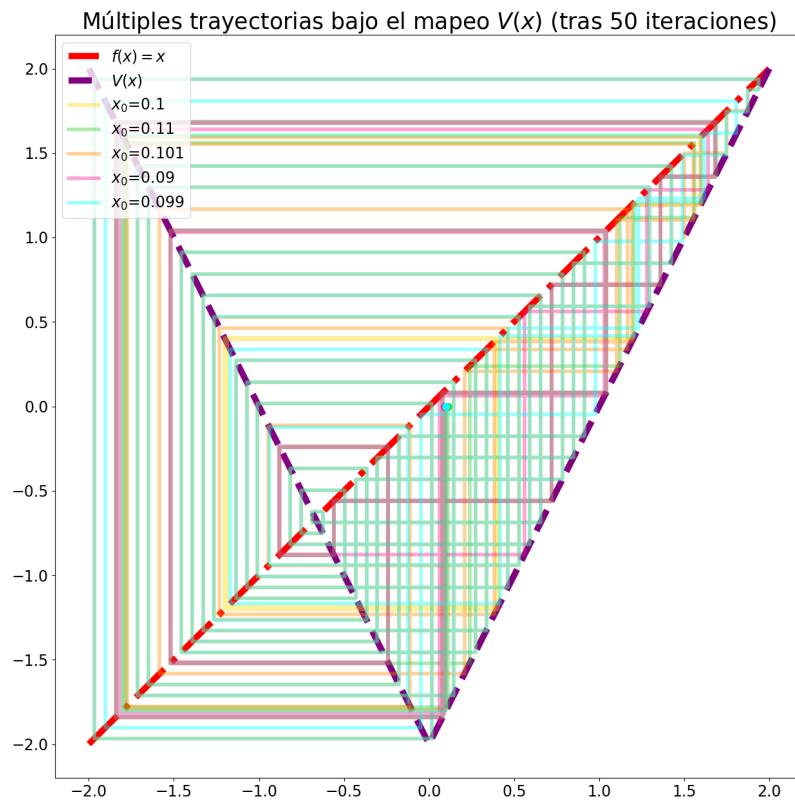


Figura 2.9: Diagrama de trayectorias bajo el mapeo $V(x)$ de cinco condiciones iniciales x_0 distintas tras 50 iteraciones.

Múltiples series de tiempo asociadas al mapeo logístico $f(x) = Kx(1 - x)$ (tras 50 iteraciones, con $K = 3.700$)

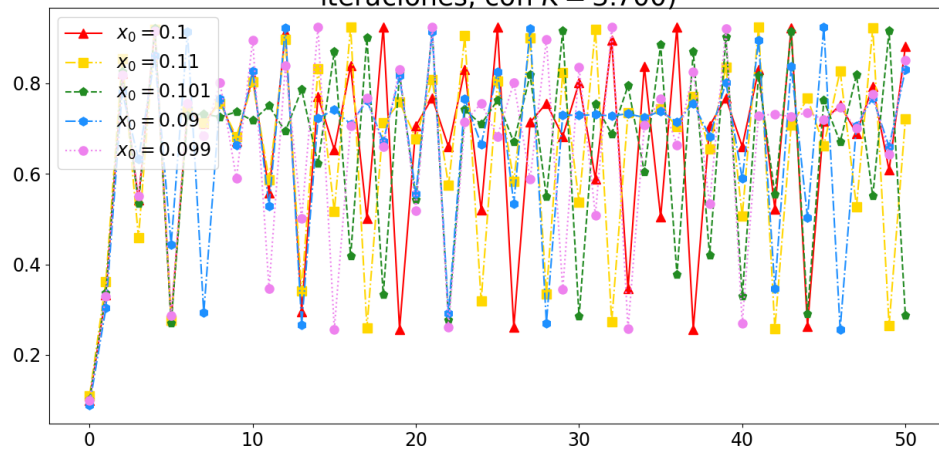


Figura 2.10: Serie temporal de ecuación logística tras 50 iteraciones, considerando 5 condiciones iniciales x_0 diferentes y $K = 3.7$.

Múltiples trayectorias bajo el logístico $f(x) = Kx(1 - x)$ (tras 50 iteraciones, con $K = 3.700$)

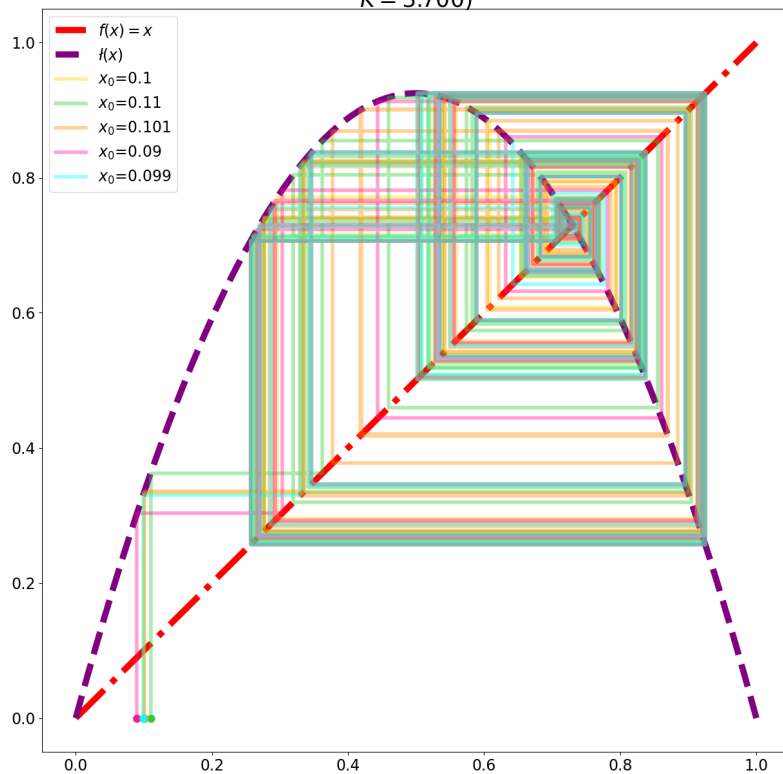


Figura 2.11: Diagrama de trayectorias bajo la ecuación logística de cinco condiciones iniciales x_0 distintas tras 50 iteraciones, con $K = 3.7$.

Capítulo 3

Rejilla de mapeo acoplado de Egolf

El presente capítulo expone el análisis por Egolf de una rejilla de mapeo acoplado con caos espacio-temporal [5]. En su trabajo, Egolf comprueba que dicho sistema exhibe ergodicidad incluso con un acoplamiento fuerte entre los sitios de la rejilla. También verifica que la dinámica del sistema es tal que existe una escala adecuada para el estudio de otras propiedades típicas de sistemas en equilibrio al examinar el comportamiento de los momentos centrales de promedios espaciales sobre subregiones de la rejilla del “espín” que caracteriza cada elemento de ella. Posteriormente, Egolf demuestra que el sistema a una escala específica cuenta con balance detallado e incluso una distribución de estados propia del ensamble canónico.

El caos espacio-temporal aparece en sistemas caóticos fuera del equilibrio con un gran número de grados de libertad. Tal condición resulta en comportamientos singulares de gran interés por su complejidad y la relación que guardan con la formación y el rompimiento de patrones en sistemas fuera del equilibrio ([3]). Una de las herramientas teóricas que facilitan su estudio son las rejillas de mapeo acoplado o sistemas CML *Coupled Map Lattice*, que consisten en rejillas cuyos sitios o elementos mantienen un acoplamiento con sus respectivos vecinos y evolucionan conforme a un mapeo específico (como la función logística). La simplicidad de los mapeos implementados en esta clase de sistemas vuelve el análisis de los mecanismos detrás del desorden o transiciones de fase mucho más sencillo.

En el artículo [5], Egolf observa que un sistema fuera de equilibrio con caos espacio-temporal exhibe a una escala adecuada múltiples propiedades distintivas de sistemas en equilibrio y propone que las herramientas de la física estadística designadas a sistemas en equilibrio pueden adaptarse al análisis de sistemas fuera de equilibrio. En particular, estudia una rejilla de mapeo acoplado bidimensional de $L \times L$ sitios con posiciones $\vec{x} = a\hat{x} + b\hat{y}$, donde a y b representan números enteros y \hat{x} y \hat{y} denotan vectores ortonormales. Al tiempo t , cada sitio de la rejilla está definido por un valor de la variable escalar $u_{\vec{x}}^t$, cuya regla de actualización es

$$u_{\vec{x}}^{t+1} = \phi(u_{\vec{x}}^t) + g \sum_{\vec{y}} [\phi(u_{\vec{y}}^t) - \phi(u_{\vec{x}}^t)] \quad (3.1)$$

donde g marca la intensidad del acoplamiento espacial, $\vec{y}(\vec{x})$ denota los primeros vecinos del sitio \vec{x} y el mapeo $\phi(u)$ está definido como

$$\phi(u) = \begin{cases} -3u - 2 & -1 \leq u \leq -\frac{1}{3} \\ 3u & -\frac{1}{3} \leq u \leq \frac{1}{3} \\ -3u + 2 & \frac{1}{3} \leq u \leq 1 \end{cases} \quad (3.2)$$

El mapeo $\phi(u)$ presenta caos espacio-temporal al menos para acoplamientos g dentro del intervalo $[0, 0.25]$ y experimenta una transición de fases para $g_c \approx 0.2054$ similar a la transición característica del modelo de Ising [14].

Egolf afirma que los atributos típicos de un sistema en equilibrio son apreciables en rejillas CML con evoluciones de duración tan larga como 10^6 iteraciones y ensambles conformados por hasta 256 sistemas, a lo largo de un gran rango de escalas (desde sistemas de 1×1 hasta sistemas de 1024×1024), asignando a cada sitio $u_{\vec{x}}^{t=0}$ un valor inicial aleatorio en $[-1, 1]$.

La primera cualidad de un sistema en equilibrio que Egolf detecta en una rejilla CML es ergodicidad, al menos para $0.18 < g < g_c = 0.2054$. Según lo planteado en la sección anterior, dicha condición implica la equivalencia entre el promedio temporal y el promedio sobre ensamble de una variable y en un sistema en equilibrio. Empero, no calcula ningún promedio para demostrar la ergodicidad de la rejilla, sino que opta por comparar las distribuciones de valores de la variable $u_{\vec{x}_0}^t$ en un sitio particular \vec{x}_0 obtenidas de la evolución de una sola rejilla y un ensamble de tales sistemas (Figura 3.1). La coincidencia entre las dos distribuciones garantiza que el sistema en cuestión sí es ergódico, al menos para cantidades asociadas a sitios individuales.

Adicionalmente, Egolf comprueba que un sistema suficientemente grande cuenta con *self-averaging* (dentro del mismo intervalo de acoplamientos g válidos). En otras palabras, muestra que la rejilla CML y un ensamble de ellas son equivalentes bajo la condición de que el sistema sea suficientemente amplio (Figura 3.1).

La presencia de balance detallado es la segunda característica de sistemas en equilibrio que las rejillas CML de Egolf exhiben. La dinámica de la Ecuación 3.1 implica una separación de escalas en el sistema y sugiere considerar en el estudio de balance detallado una escala “intermedia” en la cual el caos, apreciable a una escala microscópica, funja únicamente como ruido. Egolf confirma la validez del uso de semejante escala al analizar los momentos de las desviaciones de los promedios espaciales $\langle |u| \rangle_G$ (calculados sobre “subrejillas” de $G \times G$ sitios) con respecto al promedio $\langle |u| \rangle_{x,t}$. Las simulaciones de Egolf muestran que el caos en una rejilla CML se manifiesta como ruido blanco y que los momentos centrales de $\langle |u| \rangle_G$ cuentan con una distribución Gaussiana, puesto que los momentos pares (bajo una nueva norma ¹) son todos iguales y decaen como G^{-2} , mientras que los momentos impares tienden a cero (Figura 3.2).

¹Los detalles de dicha “renormalización” se encuentran en el Apéndice B.

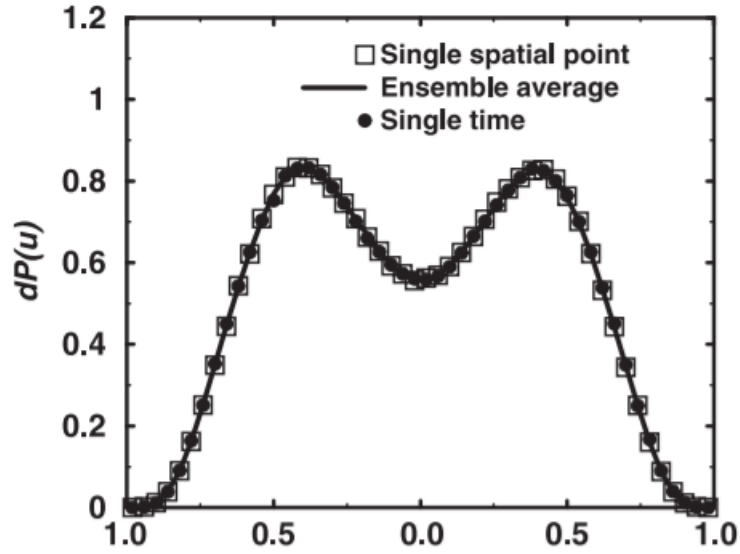


Figura 3.1: Distribuciones de probabilidad del observable $u_{\vec{x}_0}^t$ (con $\vec{x}_0 = (300, 500)$) en una rejilla de 512×512 tras 4×10^6 iteraciones para un sistema (cuadros) y un ensemble de ocho sistemas (línea), junto con la distribución de $u_{\vec{x}}^{t_0}$ para una rejilla de 1024×1024 sitios al tiempo $t_0 = 2 \times 10^5$. Imagen procedente de [5].

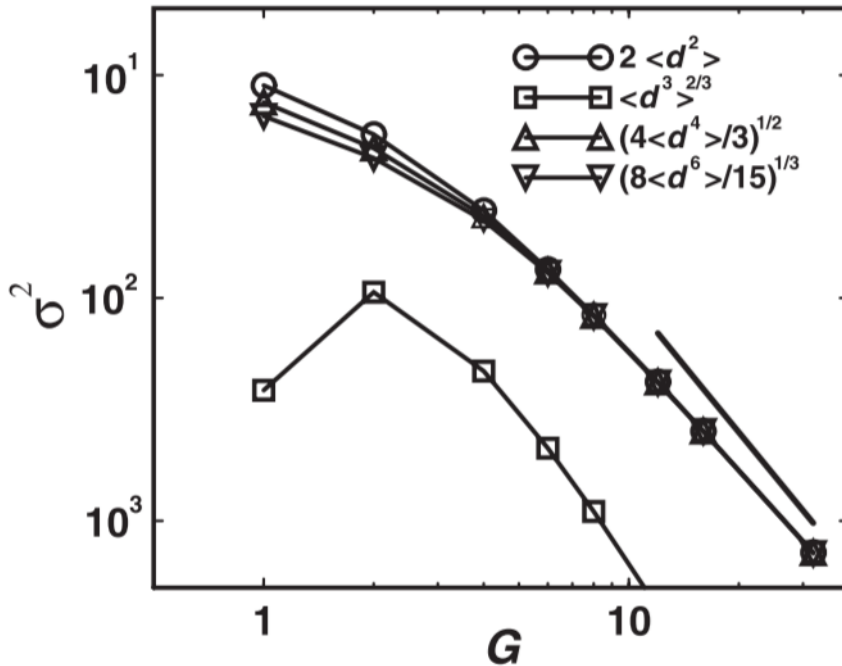


Figura 3.2: Comportamiento de segundo (círculos), tercero (cuadros), cuarto (triángulos) y sexto (triángulos invertidos) momentos de las desviaciones de $\langle |u| \rangle_G$ con respecto a su promedio $\langle |u| \rangle_{x,t}$. Imagen procedente de [5].

Las observaciones anteriores conducen a Egolf a estudiar balance detallado sobre rejillas “a grano grueso”. A partir de un sistema CML de $GN \times GN$ sitios, Egolf construye un sistema CG-CML (*Coarse-Grained*) de $N \times N$ sitios. Cada uno de los sitios de esta nueva rejilla corresponden a regiones de $G \times G$ sitios del sistema CML y están asociados a una variable $\tilde{u}_{\vec{x}}^T$, definida como

$$\tilde{u}_{\vec{x}}^T = \text{sign} \left(\langle u_{\vec{y}}^T \rangle_{CG(\vec{x}, \Delta T)} \right) \quad (3.3)$$

donde $CG(\vec{x})$ simboliza la colección de sitios \vec{y} en la rejilla “original” que conforman la subrejilla de $G \times G$ asociada al sitio \vec{x} de la rejilla a grano grueso.

Como el número de transiciones $T_{i \rightarrow j}$ de un estado i a un estado j que experimenta un sistema es equivalente a la tasa de ocurrencia W_{AB} (considerando $A = \{i\}$ y $B = \{j\}$), la condición de balance detallado expresada en la Ecuación 2.21 también puede plantearse como

$$T_{i \rightarrow j} = T_{j \rightarrow i} \quad (3.4)$$

Entonces, la diferencia $\Delta^{(i,j)} = T_{i \rightarrow j} - T_{j \rightarrow i}$ en un sistema dotado de balance detallado debería ser igual a cero para cualquier pareja de estados (i, j) entre los que ocurran transiciones. Sin embargo, la evolución del sistema CG-CML en una simulación está limitada a un tiempo finito durante el cual sólo acaecen $N^{(i,j)} = T_{i \rightarrow j} + T_{j \rightarrow i}$ transiciones para los pares de estados (i, j) disponibles, así que el cálculo de $\Delta^{(i,j)}$ a través de simulaciones únicamente se aproxima a cero.

Conforme al desarrollo incluido en el Apéndice C.2, la dependencia de $\Delta^{(i,j)}$ con el total de transiciones $N^{(i,j)}$ es tal que

$$\left\langle \left(\frac{\Delta^{(i,j)}}{N} \right)^2 \right\rangle = N^{-1} \quad (3.5)$$

Las simulaciones de Egolf reproducen la relación 3.5 a lo largo de seis órdenes de magnitud (Figura 3.3), lo cual comprueba que el sistema CG-CML presenta balance detallado².

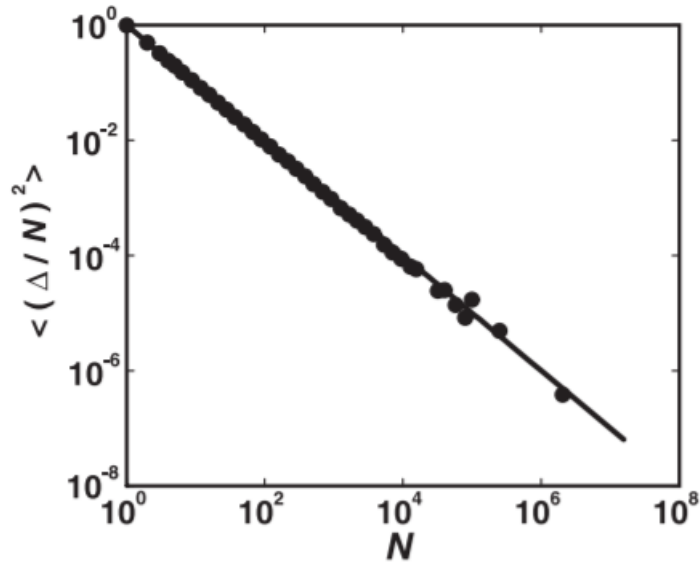


Figura 3.3: Relación entre el número de transiciones N y el valor esperado de $\langle (\Delta/N)^2 \rangle$ para una simulación realizada con 10^6 pares de estados i y j dada una constante $g = 0.204$ en una rejilla de 64×64 sitios con un grano de tamaño $G = 16$ durante $T = 3.5 \times 10^8$ iteraciones de un ensamble de 256 sistemas. Imagen procedente de [5]

La presencia de balance detallado, así como la simetría de reflexión $f(u) = -f(-u)$ asociada a $\phi(u_{\vec{x}}^t)$, sugieren que un Hamiltoniano con una simetría similar a la del modelo de Ising

(mencionada en la Sección 2.8) rige el comportamiento de la rejilla a grano grueso. Egolf considera un Hamiltoniano \mathcal{H} definido como

$$\mathcal{H} = \sum_{\vec{x}, \vec{y}} \alpha(d) \tilde{u}_{\vec{x}}^T \tilde{u}_{\vec{y}}^T \quad (3.6)$$

donde $\alpha(d)$ representa el acoplamiento entre los sitios \vec{x} y \vec{y} de la rejilla con una separación $d = |\vec{x} - \vec{y}|$ entre ellos.

Egolf verifica que la distribución de probabilidad de los estados S_i disponibles a la rejilla a grano grueso corresponde a una distribución de Boltzmann al estimar la probabilidad de cada estado a través de simulaciones y calcular los coeficientes $\alpha(d)$ ³ ajustando a tales probabilidades una distribución de probabilidad $\mathcal{P}(S_i)$ definida como

$$\mathcal{P}(S_i) = \frac{\exp\{-\mathcal{H}(S_i)\}}{\sum_{S_i} \exp\{-\mathcal{H}(S_i)\}} \quad (3.7)$$

Nuevamente, las simulaciones de Egolf demuestran la validez del Hamiltoniano $\mathcal{H}(S_i)$ y la distribución de Gibbs correspondiente al reproducir la relación entre la probabilidad $\mathcal{P}(S_i)$ y dicho Hamiltoniano (Figura 3.4) con los coeficientes $\alpha(d)$ reportados en la Tabla 3.1, exhibiendo en un sistema caótico fuera del equilibrio una tercera propiedad típicamente hallada en sistemas en equilibrio³.

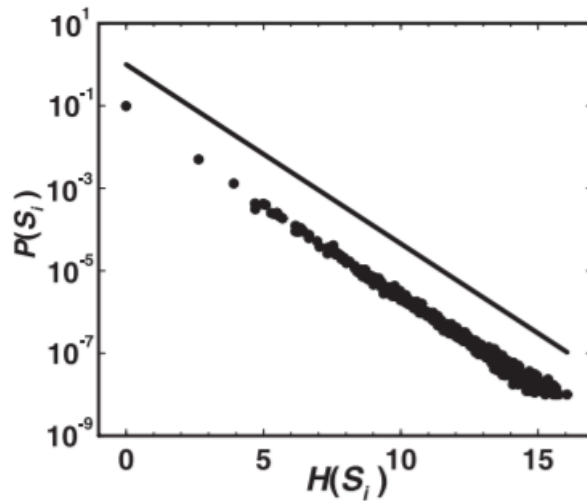


Figura 3.4: Relación entre la probabilidad de un estado S_i y su respectiva energía. Las condiciones de la simulación que produjo esta gráfica son las mismas que las de la simulación usada para la Figura 3.3. Imagen procedente de [5]

³Egolf únicamente contempla los cuatro primeros coeficientes al calcular la energía $\mathcal{H}(S_i)$, aunque no ofrece una explicación al respecto.

³Egolf reporta balance detallado y distribuciones de Gibbs en sistemas CG-CML de 4×4 sitios. Egolf no ofrece las dimensiones específicas de tales rejillas (a excepción del sistema asociado a las Figuras 3.3 y 3.4), pero afirma haber obtenido resultados consistentes para tamaños de grano $G \geq 8$.

$\alpha(1)$	$\alpha(\sqrt{2})$	$\alpha(2)$	$\alpha(\sqrt{5})$	$\alpha(\sqrt{8})$
0.685	0.100	-0.075	-0.049	-

Cuadro 3.1: Acoplamientos $\alpha(d)$ ajustados a distribución experimental de probabilidades $\mathcal{P}(S_i)$ de sistema CG-CML de 4×4 sitios con una evolución temporal de 3.5×10^8 iteraciones, elaborado a partir de una rejilla de mapeo acoplado de longitud $L = 64$, tamaño de grano $G = 16$ y acoplamiento $g = 0.204$

Egolf también nota que el comportamiento del coeficiente $\alpha(1)$ es similar al de acoplamientos en sistemas en equilibrio con simetría de Ising. Dado $g < g_c$, la rejilla se encuentra en la fase paramagnética y $\alpha(1)$ tiende a un punto fijo $\alpha(1) = 0$, correspondiente a temperatura $T \rightarrow \infty$. En cambio, con $g > g_c$, el sistema queda dispuesto en la fase ferromagnética y el coeficiente fluye a un punto $\alpha(1) \rightarrow \infty$, asociado a una temperatura igual a cero.

La importancia de que un Hamiltoniano describa la estadística de un sistema caótico fuera del equilibrio radica en que tal hecho implica que alguna función del acoplamiento g entre los elementos del sistema desempeña el rol de temperatura, lo cual podría permitir la descripción de transiciones de fase en sistemas fuera del equilibrio.

Capítulo 4

Resultados

El presente capítulo describe las simulaciones realizadas con el propósito de reproducir las observaciones reportadas en [5] y exhibe un análisis detallado de los resultados obtenidos.

El objetivo principal de la tesis fue replicar exitosamente algunas de las aserciones por Egolf sobre la rejilla de mapeo acoplado o sistema CML estudiado en [5]:

1. El sistema CML exhibe ergodicidad.
2. Los momentos centrales de $\langle |u| \rangle_G$ muestran un comportamiento análogo al de ruido blanco.
3. Una rejilla a grano grueso o sistema CG-CML cuenta con balance detallado.
4. La distribución de estados de un sistema CG-CML es una distribución de Boltzmann.

En las simulaciones usadas para cumplir tal meta, el sistema CML es modelado como una gráfica `Graph` del paquete `networkx` de Python. Los sitios del sistema son definidos como nodos de dicha gráfica. Cada uno de ellos recibe un número entero $n(\vec{x})$ para marcar su posición \vec{x} en la rejilla y cuenta con una propiedad ‘u’ con un valor inicial aleatorio entre -1 y 1 . Las distancias entre todos los posibles pares de nodos en la gráfica son calculadas bajo condiciones de frontera periódicas y almacenadas como los valores del atributo ‘path distance’ de los bordes de la gráfica.

Las simulaciones implementan una función propia para determinar los primeros vecinos $\vec{y}(\vec{x})$ de un sitio particular \vec{x} en la rejilla, puesto que la regla de actualización de $u_{\vec{x}}^t$ (Ecuación 1.1) contempla sumas sobre ellos. La aplicación de tal función sobre cada sitio en la rejilla permite agrupar en una lista el conjunto de primeros vecinos para todos los sitios en el sistema.

4.1. Caos

El primer análisis efectuado sobre los sistemas CML tenía por objetivo comprobar que el mapeo $\phi(u)$ (Ecuación 3.2) fuera un mapeo caótico. El estudio del mapeo $V(x)$ en la Sección 2.9 indica que $\phi(u)$ efectivamente exhibe tal propiedad. Análogamente al caso de $V(x)$, la gráfica de $\phi^n(u)$ queda conformada por 3^n segmentos de rectas con pendientes $\pm 3^n$ definidos en intervalos de longitud 3^{-n} . Por ende, podemos seguir los mismos razonamientos presentados en la Sección

2.9 para afirmar que $\phi(u)$ es un mapeo caótico, como también lo sugieren la serie temporal y el diagrama de trayectorias incluidos en las Figuras 4.1 y 4.2.

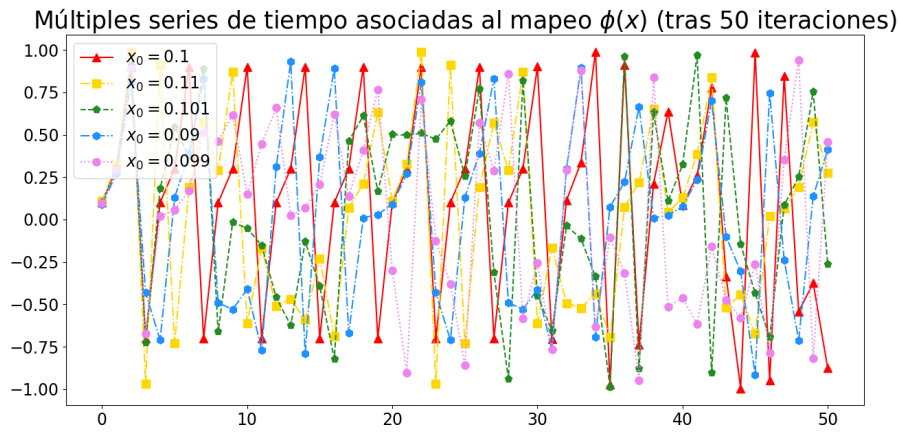


Figura 4.1: Serie temporal de mapeo $\phi(u)$ tras 50 iteraciones, considerando 5 condiciones iniciales u^{t_0} diferentes.

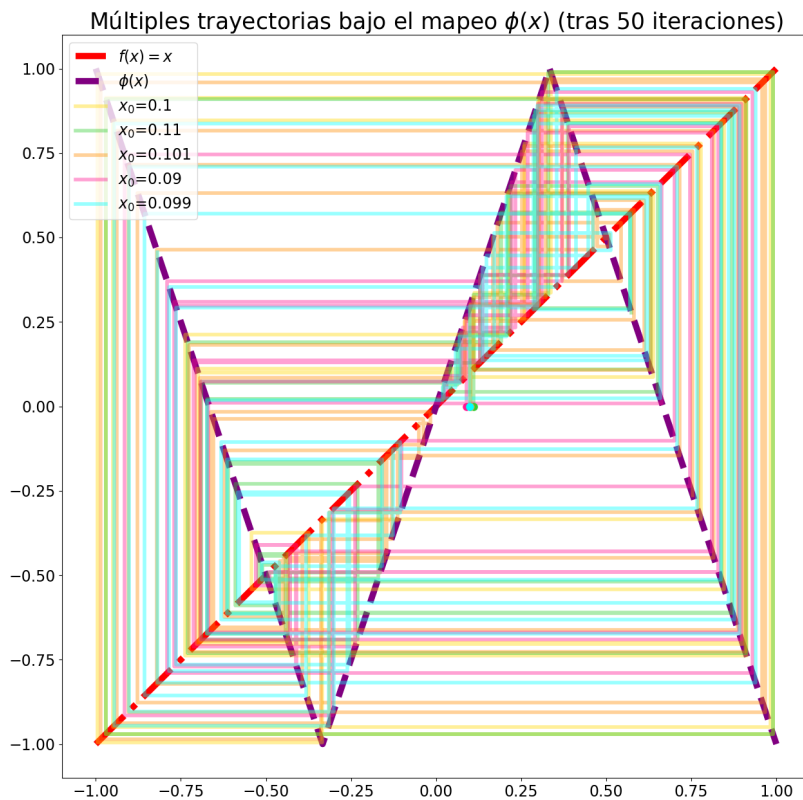


Figura 4.2: Diagrama de trayectorias bajo el mapeo $\phi(u)$ de cinco condiciones iniciales u^{t_0} distintas tras 50 iteraciones.

4.2. Ergodicidad

El código en el Apéndice D genera y compara distribuciones de probabilidad de la variable $u_{\vec{x}_0}^t$ considerando separadamente la evolución de una rejilla de mapeo acoplado y un ensamble de tales sistemas.

En los experimentos realizados para probar la presencia de ergodicidad del sistema, contemplamos diferentes valores para el acoplamiento entre sitios y la duración de un período transitorio.

4.2.1. Detalles Técnicos Computacionales sobre la prueba de Ergodicidad

El programa inicia seleccionando aleatoriamente un número natural s entre 0 y el valor de `sys.maxsize`¹ menos 1 (líneas 125-126 del código en Apéndice D) y solicitando al usuario los siguientes datos (127-133):

- Longitud L de la rejilla de mapeo acoplado
- Acoplamiento g entre los sitios del sistema CML
- Duración total y duración del período transitorio (*transient*) de la evolución temporal de la rejilla
- Número de sistemas N_{ens} que conforman el ensamble

Una vez escogido azarosamente el número de nodo $n(\vec{x}_0)$ de un sitio \vec{x}_0 arbitrario y fijado s como la semilla para el generador de números aleatorios² (136-137), la gráfica del sistema CML y la lista con los primeros vecinos de todos sus sitios son definidos (138-143).

Luego, el código utiliza la función `ev_temp` (73-119) para producir la evolución temporal de la rejilla bajo los parámetros establecidos, conforme a la regla de actualización dada por la Ecuación 1.1 y el mapeo $\phi(u)$ definido en la Ecuación 1.2 (145-147). Durante este proceso, el programa guarda el valor de ‘u’ del nodo $n(\vec{x}_0)$ que adquiere en cada iteración del sistema. Una vez concluida la evolución de la rejilla, el arreglo con los valores de ‘u’ en el sitio \vec{x}_0 es almacenado en un archivo de texto (149-151).

Después, el procedimiento anterior es repetido N_{ens} veces distintas, asignando nuevos valores de ‘u’ a cada nodo de la gráfica antes de que ésta inicie su evolución temporal (156-162). Al finalizar el ciclo `for` en que esto ocurre, la matriz conformada por los arreglos de valores de ‘u’ asociados a diferentes sistemas es “aplanada” en un arreglo unidimensional que es posteriormente guardado en otro archivo `.txt` (164-166).

El programa procede entonces a construir la gráfica de una rejilla de mapeo acoplado de $2L \times 2L$ sitios (con el mismo acoplamiento g) y su correspondiente lista con primeros vecinos de cada sitio en ella (170-176). Acto seguido, el código aplica la función `ev_temp` a dicha gráfica para inducir su evolución temporal sin conservar los valores de ‘u’ para el sitio \vec{x}_0 (178-180). Tras

¹El valor proporcionado por `sys.maxsize` es equivalente a $2^{63} - 1$ para plataformas de 64 bits.

²En primera instancia, la hora actual del sistema desempeña el rol de la semilla del generador de números aleatorios y sirve para elegir al azar un nuevo valor s para la semilla. Tal natural s aparece después en los nombres de los archivos generados por la simulación para facilitar la reproducibilidad de los resultados.

acabar este proceso, los valores de ‘u’ en cada sitio del sistema son recolectados en un arreglo y un archivo de texto adicional (181-187).

Finalmente, el programa construye histogramas con los tres arreglos definidos previamente y grafica los resultados (191-231).

4.2.2. Resultados de la prueba de Ergodicidad y *Self-averaging*

Estudiamos la condición de ergodicidad analizando rejillas de mapeo acoplado de 32×32 sitios con una evolución temporal de 2×10^5 iteraciones³. Contemplamos dos valores distintos para el acoplamiento entre los sitios del sistema: $g_1 = 0.195$ y $g_2 = 0.204$. También consideramos periodos transitorios de 10^3 y 10^4 iteraciones. Evaluamos la presencia de *self-averaging* en rejillas dotadas del doble de longitud ($L = 64$) y la misma duración para su evolución temporal, con acoplamientos y *transients* sujetos a las variaciones detalladas anteriormente.

Los resultados de las simulaciones para ergodicidad aparecen a continuación (Figuras 4.3-4.6). Cada Figura incluye tres pares de gráficas, cada par asociado a una semilla s distinta y un sitio \vec{x}_0 específico. Las gráficas en la columna izquierda (Gráficas (a), (c) y (e)) corresponden a la distribución de $u_{\vec{x}_0}^t$ relacionada con el promedio temporal de u , mientras que las gráficas dispuestas en la columna derecha (Gráficas (b), (d) y (f)) muestran la distribución de probabilidad ligada al promedio de ensamble de u^4 . El Apéndice E muestra los histogramas de $u_{\vec{x}}^{t_0}$ obtenidos para determinar si las rejillas de mapeo acoplado aquí examinadas presentan *self-averaging*.

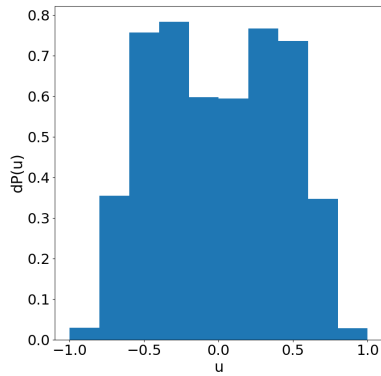
Las gráficas del sistema CML con acoplamiento g_1 (Figuras 4.3, 4.4) para cada semilla muestran gran similitud entre sí, probando así que la rejilla asociada cuenta con ergodicidad. Las discrepancias entre las gráficas son mínimas; su tamaño es propio de ruido en el sistema y sus orígenes más probables son una evolución temporal finita o un número limitado de sistemas para el ensamble. Los cambios provocados por el incremento del periodo transitorio pasan desapercibidos, sugiriendo que un *transient* de 10^3 iteraciones resulta adecuado.

Las rejillas de mapeo acoplado dotadas de acoplamiento g_2 experimentan una situación diferente. Los histogramas elaborados bajo un periodo transitorio de 10^3 iteraciones no coinciden entre sí (Figura 4.5); algunas distribuciones son asimétricas, sin siquiera mostrar una clara preferencia por un lado específico (comparar Gráficas 4.5a y 4.5e). En cambio, las distribuciones obtenidas al contemplar un periodo transitorio más grande sí muestran homología con respecto a los resultados de las simulaciones con g_1 y reflejan ergodicidad (Figura 4.6).

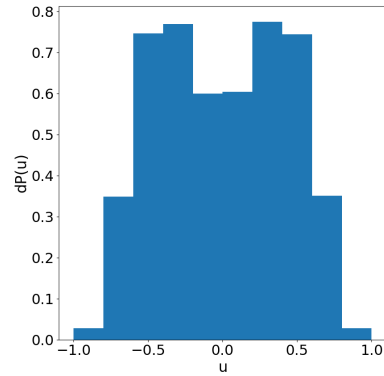
Tomando en cuenta lo anterior, confirmamos que las rejillas de mapeo acoplado definidas en el Capítulo 3 exhiben ergodicidad, al menos para una longitud particular y dos valores de acoplamiento g válidos según [5]. Los resultados aquí planteados indican que la duración del periodo transitorio depende en cierta medida de g y marcan 10^4 iteraciones como tiempo suficiente para el sistema CML con un acoplamiento más cercano al punto crítico $g_c = 0.2054$.

³Tal valor para la duración de la evolución temporal fue seleccionado para obtener suficientes resultados en las diferentes simulaciones y pruebas hechas sobre los sistemas CML.

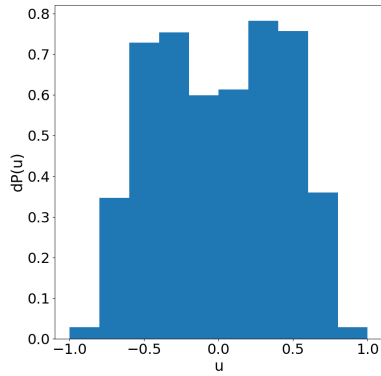
⁴Contemplamos ensambles de ocho sistemas para la construcción de los histogramas pertinentes, al igual que Egolf en [5].



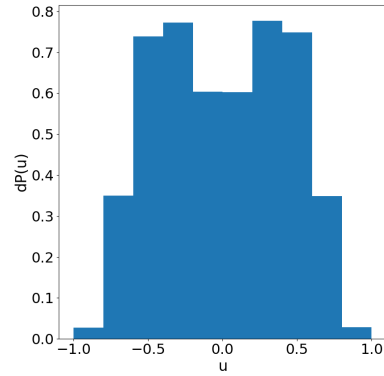
(a) Distribución de $u^t_{\vec{x}_0}$ con un sistema CML, con $\vec{x}_0 = 546$ ($s = 4452967705924205789$)



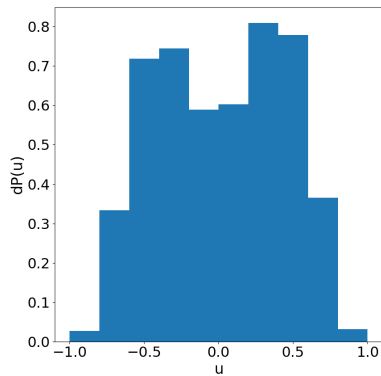
(b) Distribución de $u^t_{\vec{x}_0}$ con un ensemble de 8 sistemas CML ($s = 4452967705924205789$)



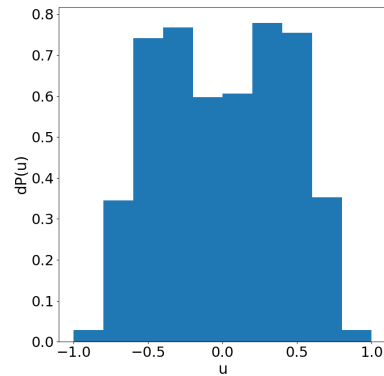
(c) Distribución de $u^t_{\vec{x}_0}$ con un sistema CML, con $\vec{x}_0 = 637$ ($s = 5499070122743521182$)



(d) Distribución de $u^t_{\vec{x}_0}$ con un ensemble de 8 sistemas CML ($s = 5499070122743521182$)

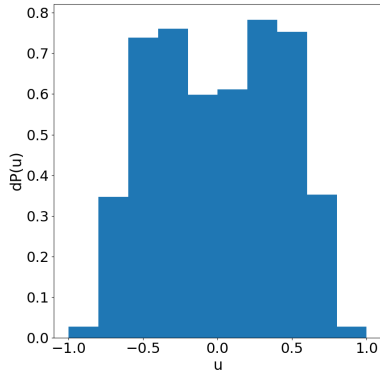


(e) Distribución de $u^t_{\vec{x}_0}$ con un sistema CML, con $\vec{x}_0 = 539$ ($s = 7092030987844978395$)

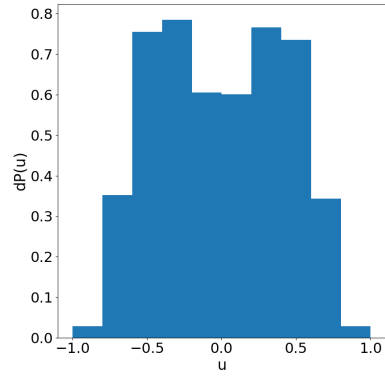


(f) Distribución de $u^t_{\vec{x}_0}$ con un ensemble de 8 sistemas CML ($s = 7092030987844978395$)

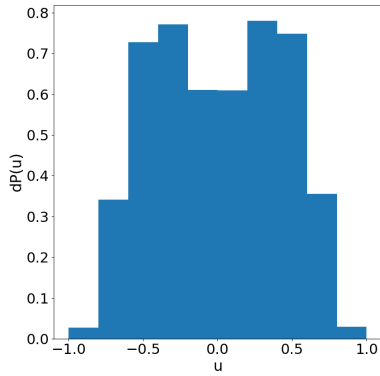
Figura 4.3: Distribuciones de u para rejillas de mapeo acoplado de 32×32 sitios, dotadas de acoplamiento $g = 0.195$ y una evolución temporal de 2×10^5 iteraciones con un periodo transitorio de 10^3 iteraciones, considerando múltiples semillas s



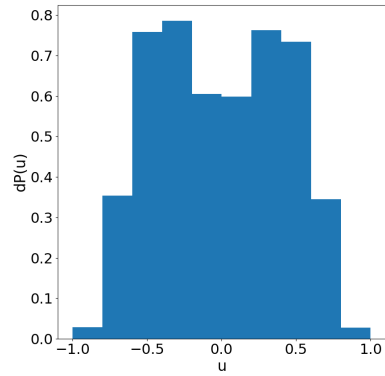
(a) Distribución de $u_{\vec{x}_0}^t$ con un sistema CML, con $\vec{x}_0 = 466$ ($s = 1131207041169938644$)



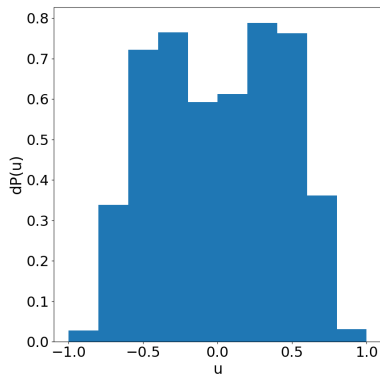
(b) Distribución de $u_{\vec{x}_0}^t$ con un ensemble de 8 sistemas CML ($s = 1131207041169938644$)



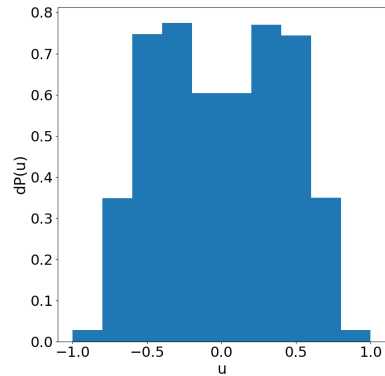
(c) Distribución de $u_{\vec{x}_0}^t$ con un sistema CML, con $\vec{x}_0 = 157$ ($s = 5026122200688730582$)



(d) Distribución de $u_{\vec{x}_0}^t$ con un ensemble de 8 sistemas CML ($s = 5026122200688730582$)

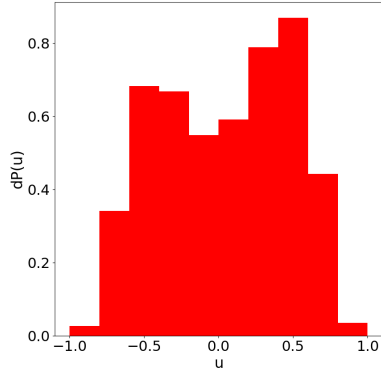


(e) Distribución de $u_{\vec{x}_0}^t$ con un sistema CML, con $\vec{x}_0 = 8$ ($s = 7880188310502227256$)

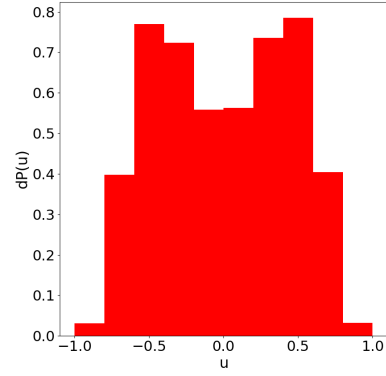


(f) Distribución de $u_{\vec{x}_0}^t$ con un ensemble de 8 sistemas CML ($s = 7880188310502227256$)

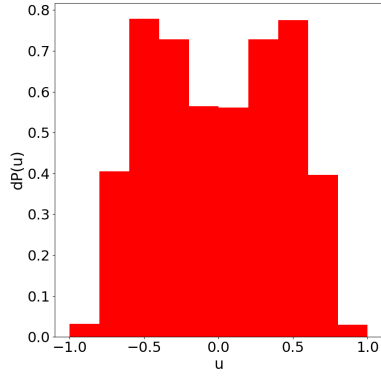
Figura 4.4: Distribuciones de u para rejillas de mapeo acoplado de 32×32 sitios, dotadas de acoplamiento $g = 0.195$ y una evolución temporal de 2×10^5 iteraciones con un periodo transitorio de 10^4 iteraciones, considerando múltiples semillas s



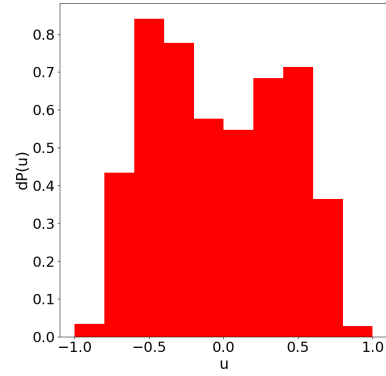
(a) Distribución de $u_{\vec{x}_0}^t$ con un sistema CML, con $\vec{x}_0 = 439$ ($s = 4536755601090925278$)



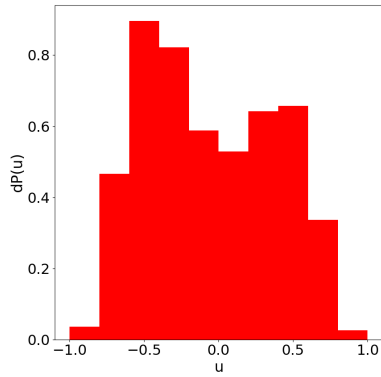
(b) Distribución de $u_{\vec{x}_0}^t$ con un ensemble de 8 sistemas CML ($s = 4536755601090925278$)



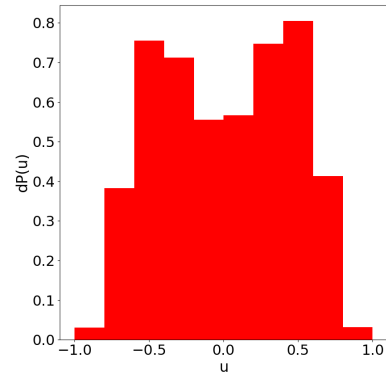
(c) Distribución de $u_{\vec{x}_0}^t$ con un sistema CML, con $\vec{x}_0 = 410$ ($s = 5535795909422011662$)



(d) Distribución de $u_{\vec{x}_0}^t$ con un ensemble de 8 sistemas CML ($s = 5535795909422011662$)

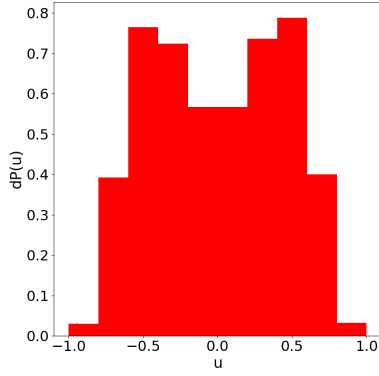


(e) Distribución de $u_{\vec{x}_0}^t$ con un sistema CML, con $\vec{x}_0 = 333$ ($s = 9202787456869569904$)

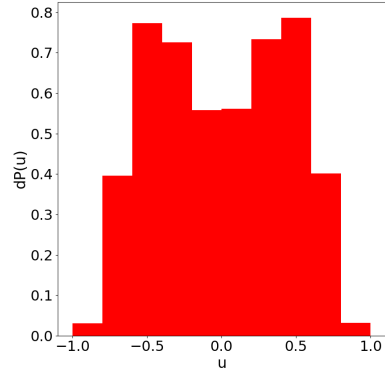


(f) Distribución de $u_{\vec{x}_0}^t$ con un ensemble de 8 sistemas CML ($s = 9202787456869569904$)

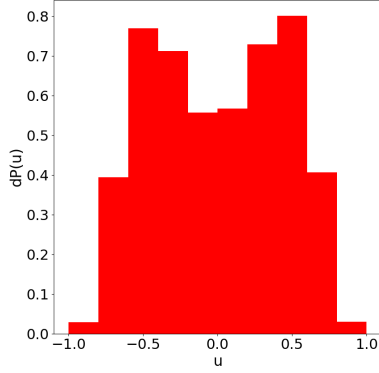
Figura 4.5: Distribuciones de u para rejillas de mapeo acoplado de 32×32 sitios, dotadas de acoplamiento $g = 0.204$ y una evolución temporal de 2×10^5 iteraciones con un periodo transitorio de 10^3 iteraciones, considerando múltiples semillas s



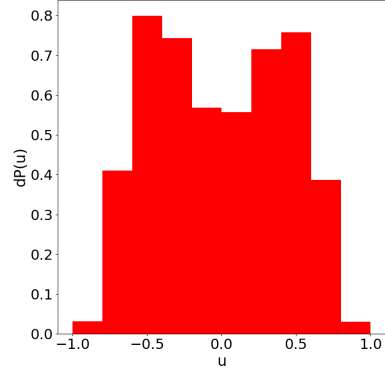
(a) Distribución de $u_{\vec{x}_0}^t$ con un sistema CML, con $\vec{x}_0 = 257$ ($s = 3340065878112466252$)



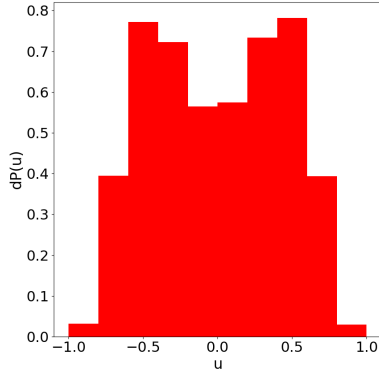
(b) Distribución de $u_{\vec{x}_0}^t$ con un ensemble de 8 sistemas CML ($s = 3340065878112466252$)



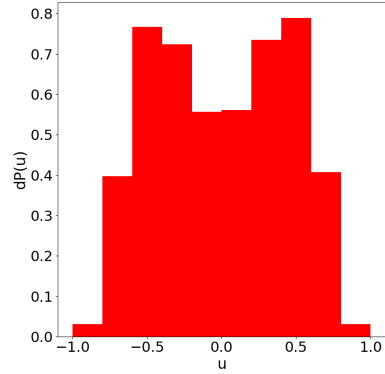
(c) Distribución de $u_{\vec{x}_0}^t$ con un sistema CML, con $\vec{x}_0 = 491$ ($s = 5805019659907812561$)



(d) Distribución de $u_{\vec{x}_0}^t$ con un ensemble de 8 sistemas CML ($s = 5805019659907812561$)



(e) Distribución de $u_{\vec{x}_0}^t$ con un sistema CML, con $\vec{x}_0 = 333$ ($s = 6378689186825912380$)



(f) Distribución de $u_{\vec{x}_0}^t$ con un ensemble de 8 sistemas CML ($s = 6378689186825912380$)

Figura 4.6: Distribuciones de u para rejillas de mapeo acoplado de 32×32 sitios, dotadas de acoplamiento $g = 0.204$ y una evolución temporal de 2×10^5 iteraciones con un periodo transitorio de 10^4 iteraciones, considerando múltiples semillas s

En marcado contraste con ergodicidad, la presencia de *self-averaging* es nula, lo cual implicaría que una longitud mayor a $L = 64$ es necesaria para observar dicha propiedad en las

rejillas de mapeo acoplado estudiadas en este trabajo. Cabe recalcar que las distribuciones incluidas en el Apéndice E mantienen cierta relación con el acoplamiento entre sitios de sus respectivas rejillas; los histogramas de los sistemas dotados de acoplamiento g_1 cuentan con dos máximos locales, pero las distribuciones correspondientes a las rejillas de mapeo acoplado con acoplamiento g_2 sólo cuentan con uno.

4.3. Momentos de las desviaciones d

El programa presentado en el Apéndice F calcula varios momentos centrales de promedios $\langle |u| \rangle_G$ para múltiples tamaños de grano G .

Las simulaciones que efectuamos en el estudio de los momentos de las desviaciones ($\langle |u| \rangle_G - \langle |u| \rangle_{x,t}$) fueron sobre sistemas CML con longitudes diferentes y evoluciones temporales de distinta duración.

4.3.1. Detalles Técnicos Computacionales sobre la prueba de comportamiento Gaussiano de los momentos de las desviaciones d

La primera acción del código es pedir al usuario los siguientes parámetros (127-144):

- Semilla para números aleatorios
- Longitud L de la rejilla de mapeo acoplado
- Acoplamiento g entre los sitios del sistema CML
- Duración total y duración del período de transición (*transient*) de la evolución temporal de la rejilla
- Número total y valores de los tamaños de grano G
- Número total y valores de los momentos a calcular ⁵

Con tales datos, el generador de números aleatorios recibe una semilla (146-148) y el programa construye la gráfica de la rejilla y su correspondiente lista de primeros vecinos (149-154). Dicha gráfica evoluciona posteriormente de acuerdo a la regla de actualización mencionada en las Secciones 1 y 3 (157-157).

Luego, el programa calcula los momentos centrales de los promedios de $|u|$ sobre “subrejillas” de $G \times G$ sitios (159-167), como queda ilustrado en la Figura 4.7. Dado un tamaño de grano G , la función `calc_uG` (108-122) estima los promedios $\langle |u| \rangle_G$ de todas las “subrejillas” en el sistema y genera un arreglo con ellos (176). Después, los momentos de las desviaciones entre los elementos de dicho arreglo y su promedio son calculados implementando la función `moment` de `SciPy`, la cual calcula los momentos centrales con respecto al promedio de los elementos en su entrada (165-166). Una vez completado el procedimiento anterior para todos los tamaños de

⁵El usuario cuenta con la posibilidad de calcular y guardar momentos adicionales a los que Egolf analiza en [5]. Sin embargo, el programa únicamente puede graficar los momentos reportados en el artículo con la debida normalización.

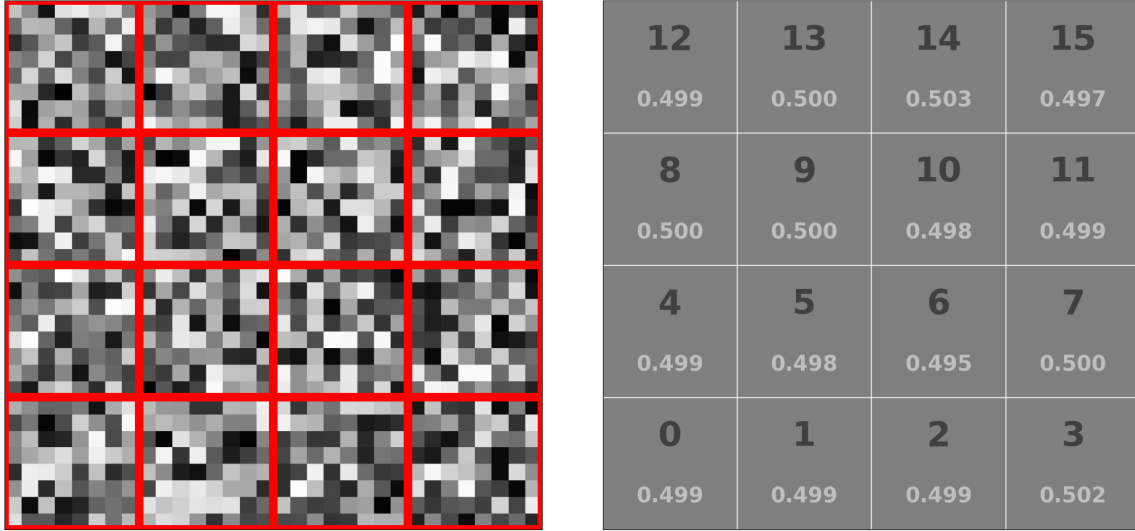


Figura 4.7: Esquema de un sistema CML de 32×32 sitios (izq.) y las diferentes “subrejillas” en él dado un grano de longitud $G = 8$ (der.). La escala de grises en la rejilla de mapeo acoplado marca el valor de u en cada sitio, siendo negro y blanco los colores asociados a -1 y $+1$ respectivamente. En cambio, en la representación de las “subrejillas” en tal sistema, la escala de grises denota las magnitudes de los promedios $\langle |u| \rangle_G$, calculados sobre todos los sitios dentro del cuadrado con bordes rojos asociado a cada “subrejilla”. Dichos valores oscilan entre 0 (negro) y 1 (blanco). Las diferencias entre los tonos de cada región son ínfimas, por lo que el valor de cada promedio queda escrito con un color gris claro debajo del número de su correspondiente “subrejilla”.

grano G , los momentos son almacenados en archivos de texto (168-170) y graficados con ciertos factores de escala en una representación logarítmica (172-203)⁶.

4.3.2. Resultados de la prueba de comportamiento Gaussiano de los momentos de las desviaciones d

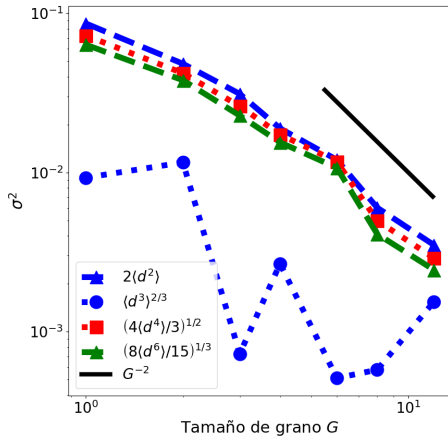
Comenzamos el análisis de los momentos de las desviaciones $d = \langle |u| \rangle_G - \langle |u| \rangle_{x,t}$ con un sistema CML de 24×24 sitios, acoplamiento $g = 0.195$ y granos de magnitud $G = [1, 2, 3, 4, 6, 8, 12]$. Consideramos tres duraciones distintas para la evolución temporal del sistema: 2×10^5 , 5×10^5 y 10^6 iteraciones. La Figura 4.8 muestra los resultados de las simulaciones de tal rejilla. Las tres gráficas en tal figura indican que los momentos pares (con los debidos factores de escala) decrecen con G de la misma forma y son todos mayores que el tercer momento, independientemente del tamaño de grano G o la duración de su evolución temporal. Si bien estas características apuntan a un comportamiento Gaussiano, existen ciertos detalles que imposibilitan afirmar tal hecho definitivamente. El más significativo de ellos consiste en que el decrecimiento del tercer

⁶Algunos de los valores para el tercer momento de las desviaciones d fueron negativos y usar el factor de escala que Egolf en ellos producía valores indefinidos. Como la función $f(x) = x^{2/3}$ es par, opté por considerar su valor absoluto al construir las gráficas

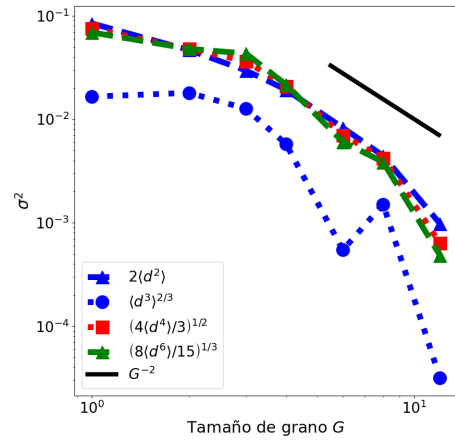
momento no es tan dramático como lo sugiere Egolf⁷; de hecho, la brecha entre los momentos pares y éste alcanza un mínimo para $G = 12$ (salvo en la Figura 4.8b). Además, los momentos pares de las simulaciones con sistemas con evoluciones temporales de 5×10^5 y 10^6 iteraciones experimentan una caída abrupta para los granos más grandes que no coincide con el cambio ideal para una variable aleatoria normal; los momentos pares de la simulación con una evolución temporal de 2×10^5 iteraciones son la excepción, puesto que sí decrecen como G^{-2} (con ligeras fluctuaciones).

Ejecutamos otras simulaciones similares sobre rejillas de 32×32 sitios (4.9) y 48×48 sitios (4.10), con los mismos tres intervalos para la evolución temporal. En este caso, el tercer momento exhibe el comportamiento esperado, especialmente en las Gráficas 4.9b y 4.9c, y los momentos pares en ambos sistemas parecen comportarse como ruido blanco; el decrecimiento drástico asociado a los tamaños de grano más grandes en las simulaciones sobre el sistema de 24×24 sitios no aparece en gráfica alguna y las discrepancias entre las mediciones experimentales y la recta (en la gráfica con escala logarítmica) que decae como G^{-2} es mínimo. Posiblemente, la rejilla con longitud $L = 24$ no era suficientemente grande.

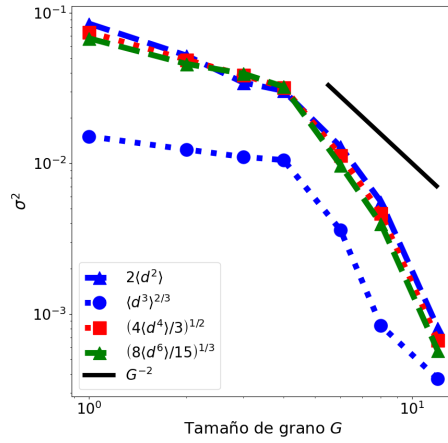
⁷La ausencia de los valores de $\langle d \rangle^{\frac{2}{3}}$ en la Figura 1.B en [5] impide hacer una comparación más precisa con los resultados aquí presentados.



(a) Momentos $\langle d \rangle^n$ en sistema CML tras 2×10^5 iteraciones

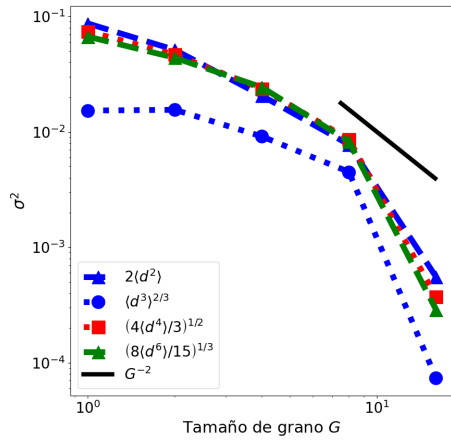


(b) Momentos $\langle d \rangle^n$ en sistema CML tras 5×10^5 iteraciones

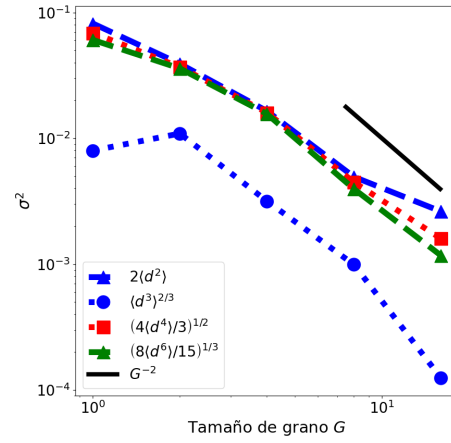


(c) Momentos $\langle d \rangle^n$ en sistema CML tras 10^6 iteraciones

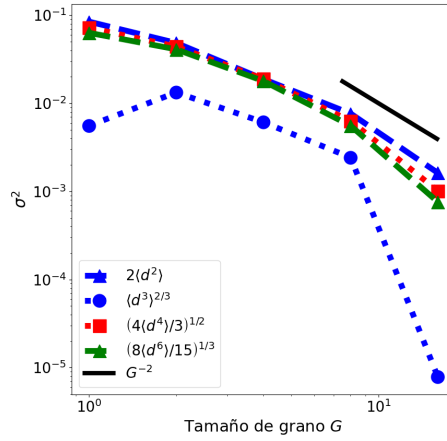
Figura 4.8: Momentos de las desviaciones $d = (\langle |u| \rangle_G - \langle |u| \rangle_{x,t})$ (con factores de escala usados por Egolf) para una rejilla de mapeo acoplado de 24×24 sitios, con un acoplamiento $g = 0.195$ y granos de tamaño $G = [1, 2, 3, 4, 6, 8, 12]$.



(a) Momentos $\langle d \rangle^n$ en sistema CML tras 2×10^5 iteraciones

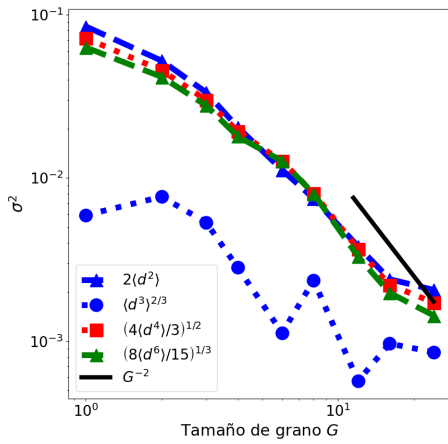


(b) Momentos $\langle d \rangle^n$ en sistema CML tras 5×10^5 iteraciones

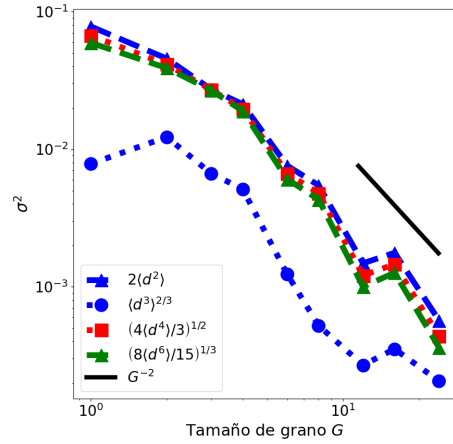


(c) Momentos $\langle d \rangle^n$ en sistema CML tras 10^6 iteraciones

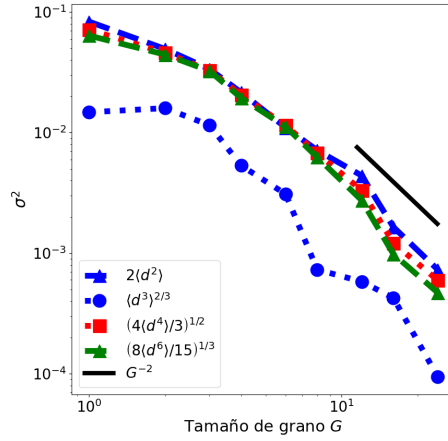
Figura 4.9: Momentos de las desviaciones $d = (\langle |u| \rangle_G - \langle |u| \rangle_{x,t})$ (con factores de escala usados por Egolf) para una rejilla de mapeo acoplado de 32×32 sitios, con un acoplamiento $g = 0.195$ y granos de tamaño $G = [1, 2, 4, 8, 16]$.



(a) Momentos $\langle d \rangle^n$ en sistema CML tras 2×10^5 iteraciones



(b) Momentos $\langle d \rangle^n$ en sistema CML tras 5×10^5 iteraciones



(c) Momentos $\langle d \rangle^n$ en sistema CML tras 10^6 iteraciones

Figura 4.10: Momentos de las desviaciones $d = (\langle |u| \rangle_G - \langle |u| \rangle_{x,t})$ (con factores de escala usados por Egolf) para una rejilla de mapeo acoplado de 48×48 sitios, con un acoplamiento $g = 0.195$ y granos de tamaño $G = [1, 2, 3, 4, 6, 8, 12, 16, 24]$.

4.4. Balance Detallado

El código en el Apéndice H define una rejilla de mapeo acoplado a grano grueso y replica el procedimiento usado por Egolf para determinar la presencia de balance detallado en tal sistema.

Los sistemas CG-CML que estudiamos con este código cuentan todos con las mismas dimensiones. Sin embargo, las rejillas de mapeo acoplado “finas” usadas para definirlos difieren en su longitud y el tamaño de grano correspondiente.

4.4.1. Detalles Técnicos Computacionales sobre la prueba de Balance Detallado

El programa comienza solicitando los siguientes datos al usuario (130-139):

- Longitud L y acoplamiento g de la rejilla de mapeo acoplado a usar como base en la construcción de la rejilla “a grano grueso”
- Tamaño de grano G
- Duración total y duración del período transitorio de la evolución temporal del sistema CML de $L \times L$ sitios
- Duración total de la evolución temporal del sistema CG-CML, junto con intervalo ΔT usado para calcular promedios temporales

Una vez inicializado el generador de números aleatorios (con una semilla seleccionada siguiendo el mismo proceso que en las simulaciones anteriores) y suministrados valores para los parámetros enlistados anteriormente (131-143), el código construye un sistema CML y facilita su evolución temporal (144-155).

Luego, la simulación genera y actualiza un sistema CG-CML a partir del sistema CML previamente definido (157-223). Tras la iniciación de varios arreglos (158-164) y los nombres de los archivos destinados a guardar datos relevantes (166-168), comienza un ciclo `for` que produce la evolución temporal de la rejilla a grano grueso (172-218). Dentro de este *loop*, hay otro ciclo `for` de ΔT iteraciones (177-205) que calcula los promedios espaciales de la variable u sobre las $(\frac{L}{G})^2$ distintas “subrejillas” de $G \times G$ sitios disponibles en la rejilla de $L \times L$ sitios (178-186), la actualización de tal rejilla conforme a la regla planteada en la Ecuación 1.1 (188-198) y el almacenamiento de la configuración del sistema CML en un archivo CSV (199-204)⁸. Posteriormente, el código implementa la función `sign_modif` (113-126) para estimar los promedios temporales del conjunto de variables $\langle u_{ij}^T \rangle_{CG(\vec{x})}$ recopiladas durante las ΔT iteraciones del sistema CML y asociar a cada uno de tales promedios una variable $\tilde{v}_{\vec{x}}^T$ (205-207), definida como

$$\tilde{v}_{\vec{x}}^T = \begin{cases} 1 & \tilde{u}_{\vec{x}}^T = +1 \\ 0 & \tilde{u}_{\vec{x}}^T = -1 \end{cases} \quad (4.1)$$

siendo $\tilde{u}_{\vec{x}}^T$ el signo del promedio temporal y espacial (sobre la “subrejilla” $CG(\vec{x})$) de u (Ecuación 3.3). En caso de que $\langle u_{ij}^T \rangle_{CG(\vec{x}), \Delta T}$ fuera nulo al calcularlo numéricamente, el valor de $\tilde{v}_{\vec{x}}^T$ alternaría entre 1 y 0 (120-126).

Si bien las definiciones de $\tilde{v}_{\vec{x}}^T$ y $\tilde{u}_{\vec{x}}^T$ no coinciden perfectamente, ambas variables portan la misma información sobre la rejilla “a grano grueso”. El uso de $\tilde{v}_{\vec{x}}^T$ es preferente por la facilidad que proporciona en la indexación de los estados disponibles al sistema CG-CML (208-215); al asociar a cada “subrejilla” con posición \vec{x} un entero $n(\vec{x})$, la identidad de cada estado S_i disponible al sistema queda establecida como

⁸La configuración de la rejilla de mapeo acoplado “fina” no proporciona información necesaria en alguno de los procesos subsecuentes de la prueba de balance detallado. Guardar tales datos únicamente sirve para verificar el debido funcionamiento del programa y contar con un respaldo de los resultados. Por consiguiente, el almacenamiento de los archivos CSV resultantes, los cuales consumen una vasta cantidad de memoria, es opcional.

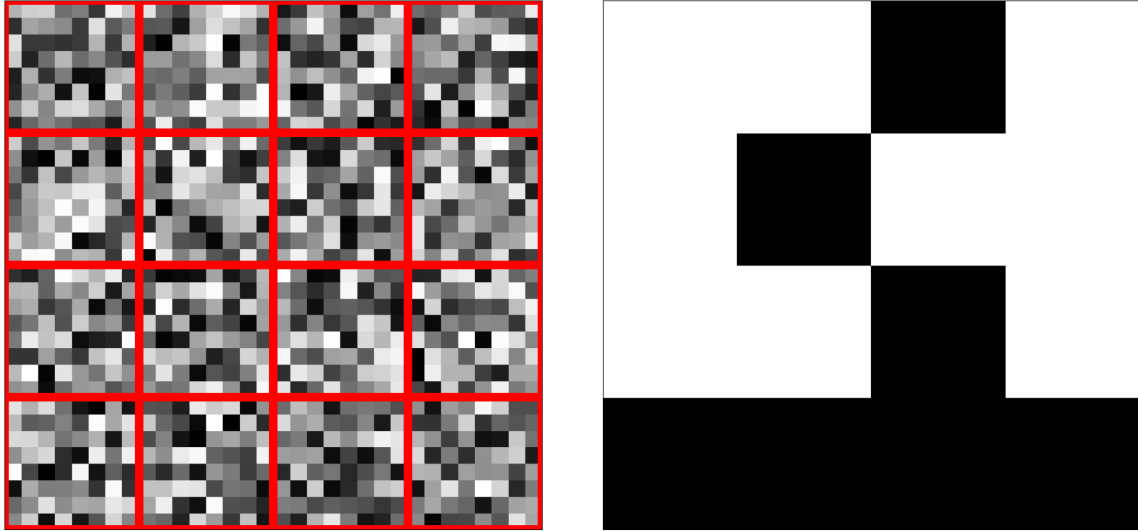


Figura 4.11: Sistema CML de 32×32 sitios con acoplamiento $g = 0.204$ (izq.) y sistema CG-CML asociado con un grano $G = 8$ y un intervalo temporal $\Delta T = 100$ (der.) al tiempo $t = 2 \times 10^5$. La escala de grises representa el valor de u en cada sitio, siendo negro y blanco los colores asociados a -1 y $+1$ respectivamente. Bajo la regla de indexación planteada en la Ecuación 4.2, la rejilla “a grano grueso” aparece dispuesta en el estado $S_i = 48560$.

$$S_i = \sum_{\vec{x}} 2^{n(\vec{x})} \cdot \tilde{v}_{\vec{x}}^T \quad (4.2)$$

La Figura 4.11 ilustra el procedimiento anterior para una rejilla de mapeo acoplado de 32×32 y un grano de longitud $G = 8$.

Cuando el ciclo `for` termina, la evolución completa de la rejilla a grano grueso es almacenada en un archivo de texto (219-220).

Después, el programa realiza un barrido sobre el arreglo que lleva la historia del sistema CG-CML y cuenta las transiciones $T_{i \rightarrow j}$ y $T_{j \rightarrow i}$ entre cada par de estados (i, j) disponibles a la rejilla a grano grueso (224-229). Una vez concluido tal proceso, el código calcula las diferencias $\Delta^{(i,j)} = T_{i \rightarrow j} - T_{j \rightarrow i}$ y el total de transiciones $N^{(i,j)} = T_{i \rightarrow j} + T_{j \rightarrow i}$ de cada par de estados (i, j) (siendo $i < j$) (233-243) y guarda (gradualmente) la suma de Δ^2 y el número de pares de estados (i, j) correspondientes a cada valor N disponible a $N^{(i,j)}$ en un diccionario, usando N como clave (244-249). El diccionario resultante es posteriormente almacenado como un archivo de texto (251-252). Finalmente, los promedios $\left\langle \left(\frac{\Delta}{N} \right)^2 \right\rangle$ son derivados de las entradas de dicho diccionario (256-269), la suma χ^2 de los cuadrados de las diferencias entre tales promedios “empíricos” y los valores predichos por la Ecuación 3.5 es calculada (271-276) y los resultados obtenidos quedan ilustrados en una gráfica (278-299).

4.4.2. Resultados de la prueba de Balance Detallado

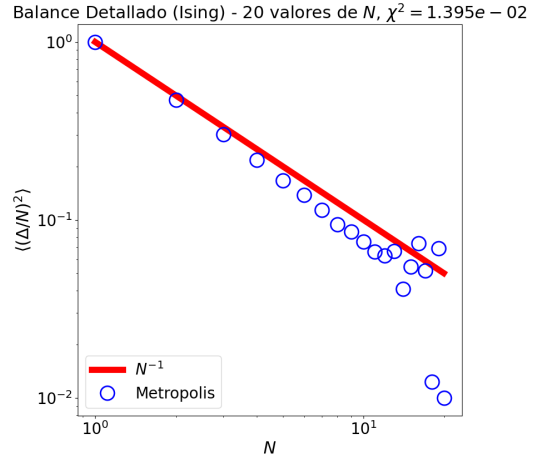
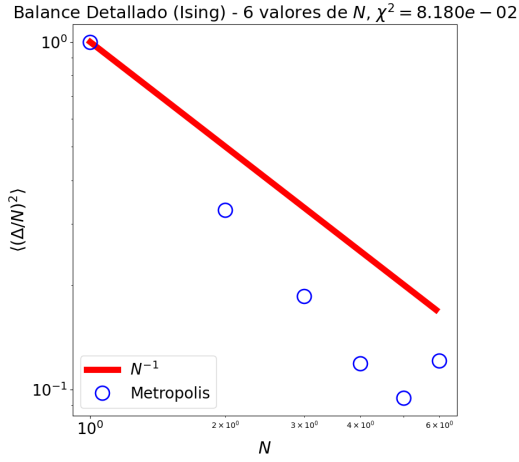
Antes de analizar el sistema de Egoal, evaluamos la condición de balance detallado en el modelo de Ising usando el código que aparece en las líneas 1-123 y 245-367 en el Apéndice K, que es prácticamente idéntico al programa recién descrito. La única diferencia entre las dos versiones es el uso del algoritmo de Metropolis para actualizar el sistema en lugar de la regla en la Ecuación 3.1 y los promedios temporales sobre subrejillas de $G \times G$ sitios antes descritos. Los resultados obtenidos para sistemas de Ising con longitud $L = 4$ y acoplamiento $J = 0.05$ aparecen en la Figura 4.12, con tiempos de evolución de 1.6×10^5 , 1.6×10^6 y 1.6×10^7 iteraciones⁹.

Las distribuciones de los promedios experimentales en las Gráficas 4.12b y 4.12c sugieren a simple vista la presencia de balance detallado en la rejilla de Ising. Sin embargo, las variaciones de χ^2 con respecto al tiempo de evolución imposibilitan hacer una afirmación concluyente. La dispersión de los promedios respecto a su comportamiento teórico (dada por la magnitud de χ^2) debería disminuir al aumentar la duración de la evolución temporal del sistema, ya que las tasas de transición entre estados y sus correspondientes probabilidades son mejores aproximaciones a los valores “reales” (asociados a una evolución temporal infinita) al ser calculadas bajo tiempos de evolución más largos. Contrario a esto, χ^2 incrementa a 5.159×10^{-2} al considerar una evolución de 10^6 iteraciones. A pesar de ello, argumentamos que tal hecho no refuta que el sistema presente balance detallado, sino que es producto de la finitud de la simulación y el mayor número de valores distintos para el total de transiciones N ; en las tres gráficas, las diferencias entre los puntos empíricos y “teóricos” son más apreciables para los valores más grandes de N en las tres gráficas de la Figura 4.12 y el total de valores diferentes para N se vuelve naturalmente mayor conforme crece el tiempo de evolución, lo cual implica a su vez la inclusión de más términos en la suma que define χ^2 . Además, la simulación con 10^6 iteraciones no supera el máximo valor de χ^2 , asociado al sistema con una evolución de 1.6×10^5 iteraciones. Tomando en cuenta tales observaciones, juzgamos que las Gráficas 4.12b y 4.12c prueban la presencia de balance detallado en los sistemas de Ising examinados y así verifican el correcto funcionamiento del código.

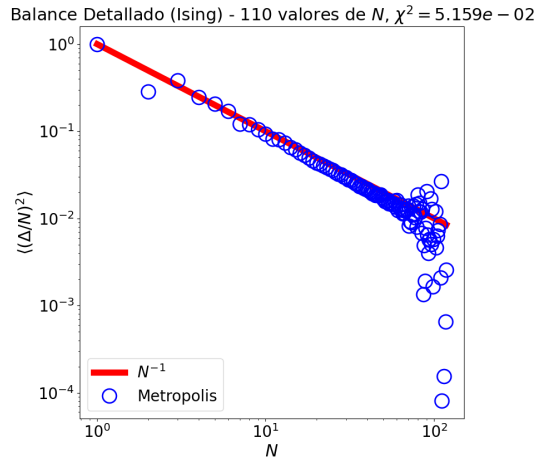
Realizamos entonces simulaciones sobre sistemas CG-CML de 4×4 sitios a partir de rejillas de mapeo acoplado con acoplamiento $g = 0.204$. Consideramos rejillas “finas” con longitudes y tamaños de grano $\{L = 8, G = 2\}$ y $\{L = 32, G = 8\}$ con una evolución temporal de 2×10^5 iteraciones y un periodo transitorio de 10^4 iteraciones. Contemplamos tiempos de evolución para ambas clases de rejillas “a grano grueso” de 2×10^5 y 4×10^5 iteraciones. Los resultados aparecen en las Figuras 4.13 y 4.14.

Las simulaciones para los dos tipos de sistemas CG-CML revelan un decrecimiento del promedio de $(\Delta^{(i,j)}/N^{(i,j)})^2$ aproximadamente igual a N^{-1} , aunque la dispersión de los puntos experimentales asociados a las rejillas “a grano grueso” derivada de sistemas CML con longitud $L = 8$ supera significativamente la de los valores empíricos correspondientes a los otros sistemas CG-CML; χ^2 en las Gráficas 4.13a y 4.13b es un orden de magnitud mayor que en las Gráficas 4.14a y 4.14b, incluso con cantidades similares de valores distintos del total de transiciones N , en contraste con los resultados de la simulación sobre rejillas de Ising (Figura 4.12). La causa más probable detrás de esto es la predominancia de promedios experimentales con magnitudes superiores a sus respectivos valores teóricos en los resultados asociados a sistemas CG-CML

⁹El usuario proporciona al inicio de la simulación para las rejillas de Ising el número (promedio) de veces o rondas que será aplicado el algoritmo de Metropolis por cada sitio en el sistema. Por ende, una rejilla cuadrada de 16 sitios en una simulación de 10^4 rondas experimentará una evolución temporal (regida por Metropolis) de 1.6×10^5



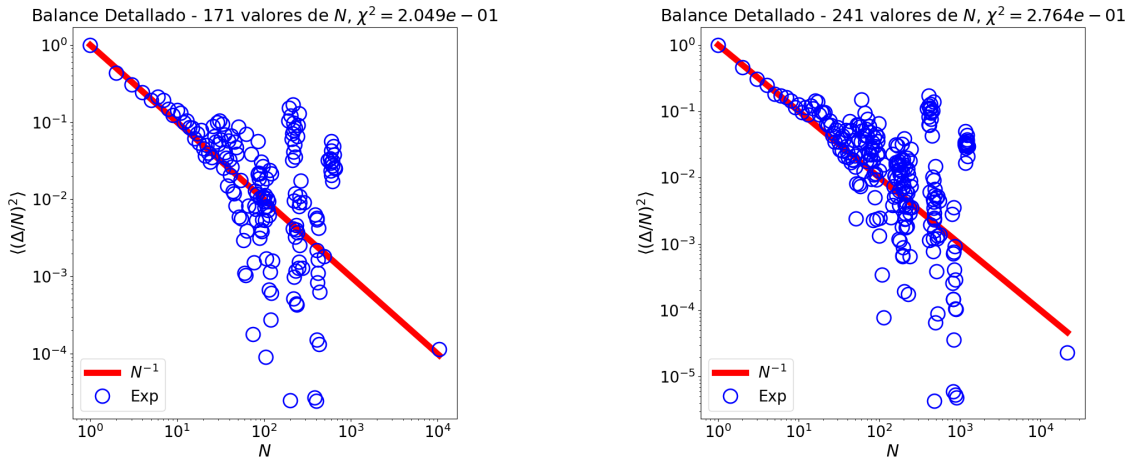
(a) $\langle (\Delta^{(i,j)}/N^{(i,j)})^2 \rangle$ en rejilla de Ising de 4×4 sitios con una evolución temporal de 1.6×10^5 iteraciones y semilla $s = 6229836497689036069$
 (b) $\langle (\Delta^{(i,j)}/N^{(i,j)})^2 \rangle$ en rejilla de Ising de 4×4 sitios con una evolución temporal de 1.6×10^6 iteraciones y semilla $s = 1016131477794588868$



(c) $\langle (\Delta^{(i,j)}/N^{(i,j)})^2 \rangle$ en rejilla de Ising de 4×4 sitios con una evolución temporal de 1.6×10^7 iteraciones y semilla $s = 7450712230650374706$

Figura 4.12: Comportamiento de $\langle (\Delta^{(i,j)}/N^{(i,j)})^2 \rangle$ con respecto al total de transiciones entre pares de estados (i, j) disponibles a sistemas de Ising de 4×4 sitios, con acoplamiento $J = 0.030$. Los círculos azules marcan los valores del promedio $\langle (\Delta^{(i,j)}/N^{(i,j)})^2 \rangle$ para las diferentes mediciones de $\Delta^{(i,j)}$ dado un total de transiciones $N^{(i,j)} = N$, mientras que la línea roja representa N^{-1} , el comportamiento esperado de un sistema con balance detallado.

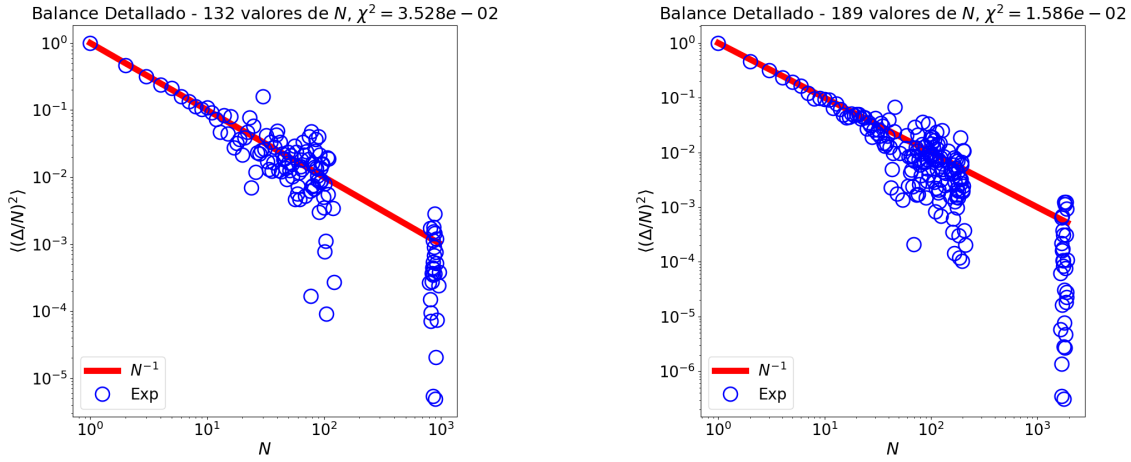
construidos sobre rejillas de mapeo acoplado con $L = 8$ y $G = 2$, apreciables en sus gráficas como círculos azules por encima de la línea roja. Al usar una escala logarítmica en el eje vertical, las diferencias entre dichos puntos y el comportamiento teórico esperado (Ecuación 3.5) son una contribución más grande en el cálculo de χ^2 que aquellas correspondientes a puntos que aparecen debajo de la recta inclinada. Si bien hay discrepancias visibles entre los resultados empíricos y los valores predichos para N grande en las gráficas de la Figura 4.14, éstas son muy pequeñas en relación a las que aparecen en las de la Figura 4.13 al ser generadas por puntos menores que N^{-1} . Además, dichas ínfimas diferencias podrían ser consecuencia de una evolución temporal finita “corta” e incrementar el tiempo de evolución podría aumentar los valores de N al grado suficiente para eliminarlas (o al menos reducirlas). Por lo tanto, afirmamos que los sistemas CG-CML relacionados con rejillas “finas” de longitud $L = 32$ y grano $G = 8$, en contraste con las rejillas “a grano grueso” asociadas a sistemas CML con $L = 8$ y $G = 2$, sí presentan balance detallado, conforme a los límites planteados en [5].



(a) $\left\langle \left(\frac{\Delta^{(i,j)}}{N^{(i,j)}} \right)^2 \right\rangle$ en sistema CG-CML de 4×4 sitios con una evolución temporal de 2×10^5 iteraciones y semilla $s = 3249191637585704358$

(b) $\left\langle \left(\frac{\Delta^{(i,j)}}{N^{(i,j)}} \right)^2 \right\rangle$ en sistema CG-CML de 4×4 sitios con una evolución temporal de 4×10^5 iteraciones y semilla $s = 5617058624460882590$

Figura 4.13: Comportamiento de $\left\langle \left(\frac{\Delta^{(i,j)}}{N^{(i,j)}} \right)^2 \right\rangle$ con respecto al total de transiciones entre pares de estados (i, j) disponibles a sistemas CG-CML de 4×4 sitios, elaborados a partir de rejillas de mapeo acoplado de longitud $L = 8$, tamaño de grano $G = 2$ y acoplamiento $g = 0.204$. Los círculos azules marcan los valores del promedio $\left\langle \left(\frac{\Delta^{(i,j)}}{N^{(i,j)}} \right)^2 \right\rangle$ para las diferentes mediciones de $\Delta^{(i,j)}$ dado un total de transiciones $N^{(i,j)} = N$, mientras que la línea roja representa N^{-1} , el comportamiento esperado de un sistema con balance detallado. Se consideró $\Delta T = 100$ para el cálculo de los promedios temporales.



(a) $\left\langle \left(\Delta^{(i,j)} / N^{(i,j)} \right)^2 \right\rangle$ en sistema CG-CML de 4×4 sitios con una evolución temporal de 2×10^5 iteraciones y semilla $s = 316581566959966622$

(b) $\left\langle \left(\Delta^{(i,j)} / N^{(i,j)} \right)^2 \right\rangle$ en sistema CG-CML de 4×4 sitios con una evolución temporal de 4×10^5 iteraciones y semilla $s = 3759620218372826529$

Figura 4.14: Comportamiento de $\left\langle \left(\Delta^{(i,j)} / N^{(i,j)} \right)^2 \right\rangle$ con respecto al total de transiciones entre pares de estados (i, j) disponibles a sistemas CG-CML de 4×4 sitios, elaborados a partir de rejillas de mapeo acoplado de longitud $L = 32$, tamaño de grano $G = 8$ y acoplamiento $g = 0.204$. Los círculos azules marcan los valores del promedio $\left\langle \left(\Delta^{(i,j)} / N^{(i,j)} \right)^2 \right\rangle$ para las diferentes mediciones de $\Delta^{(i,j)}$ dado un total de transiciones $N^{(i,j)} = N$, mientras que la línea roja representa N^{-1} , el comportamiento esperado de un sistema con balance detallado. Se consideró $\Delta T = 100$ para el cálculo de los promedios temporales.

Nos sorprendió inicialmente observar gráficas diferentes a las que aparecen en [5]. Tras revisar minuciosamente el artículo una vez más, notamos que los promedios de $\left(\Delta^{(i,j)} / N^{(i,j)} \right)^2$ fueron calculados tomando en cuenta los factores $\Delta^{(i,j)}$ ligados a valores de N agrupados en *bins* cuyo ancho incrementa exponencialmente con el total de transiciones¹⁰. El texto no proporciona una razón específica detrás de esta decisión. Suponemos que fue un intento por reducir el efecto de una evolución temporal finita sobre la dispersión de los promedios respecto a su comportamiento teórico.

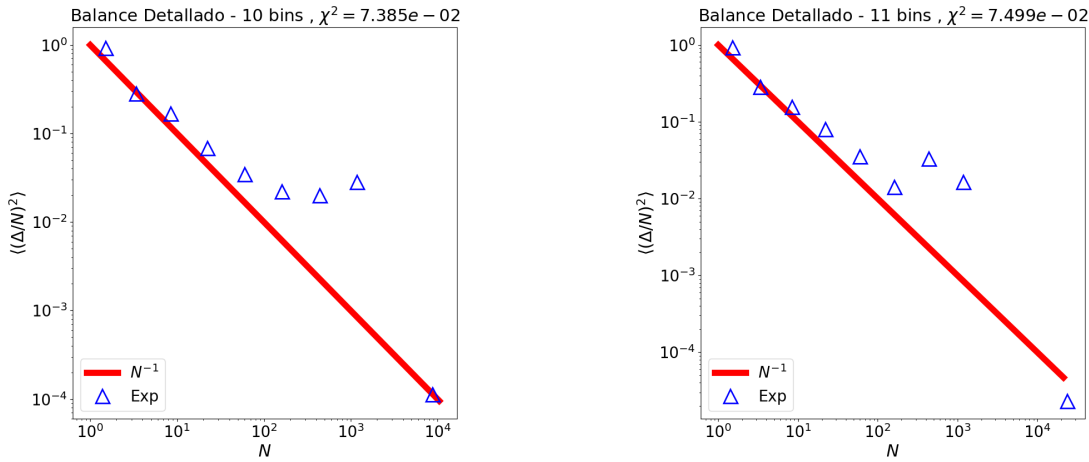
Graficando los resultados previos bajo tales consideraciones con el código en el Apéndice I¹¹, obtuvimos las gráficas presentadas en las Figuras 4.15 y 4.16.

Los resultados conseguidos contradicen nuestra conjetura sobre la explicación detrás del *binning* de las mediciones de $\Delta^{(i,j)}$ para calcular sus promedios, aunque parezca superficialmente

¹⁰Estas especificaciones son mencionadas al pie de la Figura 3.A en [5].

¹¹El correcto uso del código requiere almacenar archivos en carpetas siguiendo una nomenclatura específica. Por ejemplo, el código en el Apéndice I buscaría uno de los archivos generados por el código para una prueba de balance detallado (Apéndice H) efectuada sobre un sistema CML de 32×32 sitios, con un tamaño de grano $G = 8$, acoplamiento $g = 0.204$, evolución temporal (para rejilla “fina” y “a grano grueso”) de 2×10^5 iteraciones, un periodo de transición de 10^4 iteraciones y semilla 2021 en la carpeta `Res_BD_L32_G8_g0.204_Niter2.000e+05_trans1.000e+04_Nrondas2.000e+05_seed2021`.

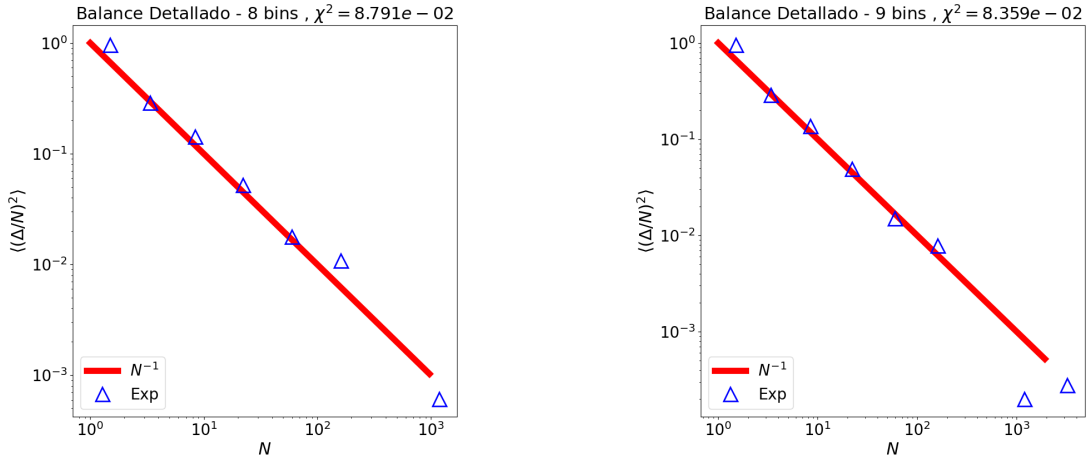
que la confirman. De acuerdo a la discusión anterior sobre el efecto de promedios numéricos superiores a sus valores teóricos, el primer punto en las Gráficas 4.16a y 4.16b es suficientemente grande para exceder la suma de las diferencias entre puntos experimentales y la recta N^{-1} en las Gráficas 4.15a y 4.15b. A pesar de la notoria separación entre experimento y teoría que muestran las gráficas en la Figura 4.15, la similitud de la dispersión de los promedios calculados en la simulación (dado por χ^2) sugeriría entonces que las dos clases de rejillas “a grano grueso” o exhiben ambas balance detallado o carecen de él, en oposición al límite reportado en [5]. Ante la ausencia de un propósito claro para el agrupamiento de los valores $\Delta^{(i,j)}$ en *bins* y el contraste con los resultados ilustrados en las Figuras 4.13 y 4.14, consideramos óptimo juzgar la presencia de balance detallado únicamente a partir de las primeras simulaciones analizadas en esta Sección.



(a) $\left\langle \left(\frac{\Delta^{(i,j)}}{N^{(i,j)}} \right)^2 \right\rangle$ sobre *bins* en sistema CG-CML de 4×4 sitios con una evolución temporal de 2×10^5 iteraciones y semilla $s = 3249191637585704358$

(b) $\left\langle \left(\frac{\Delta^{(i,j)}}{N^{(i,j)}} \right)^2 \right\rangle$ en sistema CG-CML de 4×4 sitios con una evolución temporal de 4×10^5 iteraciones y semilla $s = 5617058624460882590$

Figura 4.15: Dependencia de $\left\langle \left(\frac{\Delta^{(i,j)}}{N^{(i,j)}} \right)^2 \right\rangle$ con el total de transiciones entre pares de estados (i, j) disponibles a sistemas CG-CML de 4×4 sitios, elaborados a partir de rejillas de mapeo acoplado de longitud $L = 8$, tamaño de grano $G = 2$ y acoplamiento $g = 0.204$. Los círculos azules denotan los promedios $\left\langle \left(\frac{\Delta^{(i,j)}}{N^{(i,j)}} \right)^2 \right\rangle$ para las diferentes mediciones de $\Delta^{(i,j)}$ para valores similares del total de transiciones $N^{(i,j)}$ y la línea roja marca la función N^{-1} . Se consideró $\Delta T = 100$ para el cálculo de los promedios temporales. La tasa de crecimiento de la función exponencial usada para definir los *bins* que agrupan mediciones de $\Delta^{(i,j)}$ fue igual a 1.



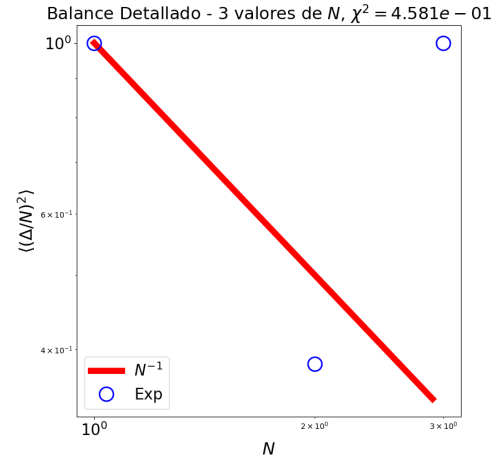
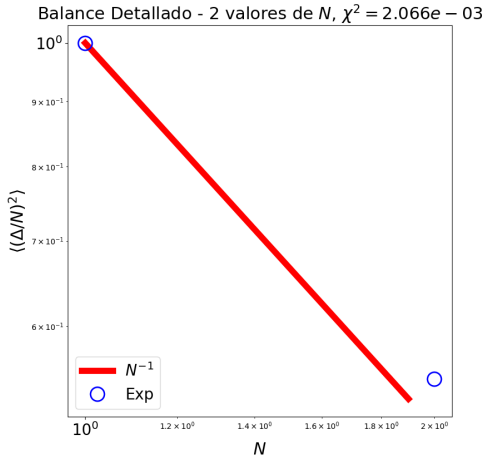
(a) $\left\langle \left(\Delta^{(i,j)} / N^{(i,j)} \right)^2 \right\rangle$ sobre *bins* en sistema CG-CML de 4×4 sitios con una evolución temporal de 2×10^5 iteraciones y semilla $s = 3316581566959966622$

(b) $\left\langle \left(\Delta^{(i,j)} / N^{(i,j)} \right)^2 \right\rangle$ en sistema CG-CML de 4×4 sitios con una evolución temporal de 4×10^5 iteraciones y semilla $s = 3759620218372826529$

Figura 4.16: Dependencia de $\left\langle \left(\Delta^{(i,j)} / N^{(i,j)} \right)^2 \right\rangle$ con el total de transiciones entre pares de estados (i, j) disponibles a sistemas CG-CML de 4×4 sitios, elaborados a partir de rejillas de mapeo acoplado de longitud $L = 32$, tamaño de grano $G = 8$ y acoplamiento $g = 0.204$. Los círculos azules denotan los promedios $\left\langle \left(\Delta^{(i,j)} / N^{(i,j)} \right)^2 \right\rangle$ para las diferentes mediciones de $\Delta^{(i,j)}$ para valores similares del total de transiciones $N^{(i,j)}$ y la línea roja marca la función N^{-1} . Se consideró $\Delta T = 100$ para el cálculo de los promedios temporales. La tasa de crecimiento de la función exponencial usada para definir los *bins* que agrupan mediciones de $\Delta^{(i,j)}$ fue igual a 1.

Adicionalmente, con miras a profundizar en la naturaleza de los resultados discutidos, aplicamos la simulación a rejillas “a grano grueso” de 4×4 sitios derivadas de sistemas CML con un acoplamiento nulo ($g = 0$). La Figura 4.17 muestra las gráficas resultantes. Aquí es necesario reiterar que χ^2 no determina unívocamente la presencia de balance detallado. La Gráfica 4.17a tiene asociado el valor mínimo de dicho parámetro entre los resultados obtenidos para sistemas CG-CML elaborados a partir de rejillas de mapeo acoplado con $L = 32$ y $G = 8$. Empero, el número de valores diferentes para N correspondiente a tal gráfica también es el menor de todos; el total de transiciones N entre los pares de estados que visita el sistema CG-CML durante su evolución es igual a 1 o 2, es decir, no hay un par de estados que haya experimentado más de 2 transiciones entre sí dado un tiempo de evolución de 2×10^5 iteraciones. De hecho, el total de diferentes valores para N sólo asciende a 3 al duplicar la duración de la evolución temporal de sistema, como lo muestra la Gráfica 4.17b¹². Por lo tanto, concluimos que un acoplamiento nulo entre sitios de una rejilla de mapeo acoplado no conduce a balance detallado en su respectivo sistema CG-CML.

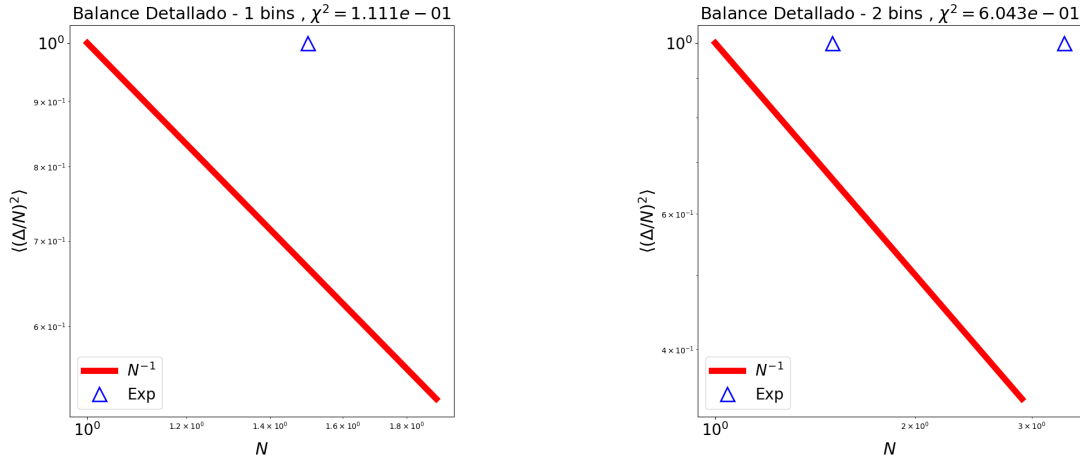
¹²El *binning* exponencial hecho por el código en el Apéndice I pone de relieve las discrepancias entre los resultados empíricos y las predicciones teóricas (Figura 4.18), pero la falta de una justificación detrás de tal operación ofusca la importancia de ello.



(a) $\langle (\Delta^{(i,j)}/N^{(i,j)})^2 \rangle$ en sistema CG-CML de 4×4 sitios con una evolución temporal de 2×10^5 iteraciones y semilla $s = 6197905548778816112$

(b) $\langle (\Delta^{(i,j)}/N^{(i,j)})^2 \rangle$ en sistema CG-CML de 4×4 sitios con una evolución temporal de 4×10^5 iteraciones y semilla $s = 4523530975986176005$

Figura 4.17: Comportamiento de $\langle (\Delta^{(i,j)}/N^{(i,j)})^2 \rangle$ con respecto al total de transiciones entre pares de estados (i, j) disponibles a sistemas CG-CML de 4×4 sitios, elaborados a partir de rejillas de mapeo acoplado de longitud $L = 32$, tamaño de grano $G = 8$ y acoplamiento $g = 0$. Los círculos azules marcan los valores del promedio $\langle (\Delta^{(i,j)}/N^{(i,j)})^2 \rangle$ para las diferentes mediciones de $\Delta^{(i,j)}$ dado un total de transiciones $N^{(i,j)} = N$, mientras que la línea roja representa N^{-1} , el comportamiento esperado de un sistema con balance detallado. Se consideró $\Delta T = 100$ para el cálculo de los promedios temporales.



(a) $\langle (\Delta^{(i,j)}/N^{(i,j)})^2 \rangle$ sobre *bins* en sistema CG-CML de 4×4 sitios con una evolución temporal de 2×10^5 iteraciones y semilla $s = 6197905548778816112$

(b) $\langle (\Delta^{(i,j)}/N^{(i,j)})^2 \rangle$ en sistema CG-CML de 4×4 sitios con una evolución temporal de 4×10^5 iteraciones y semilla $s = 4523530975986176005$

Figura 4.18: Dependencia de $\langle (\Delta^{(i,j)}/N^{(i,j)})^2 \rangle$ con el total de transiciones entre pares de estados (i, j) disponibles a sistemas CG-CML de 4×4 sitios, elaborados a partir de rejillas de mapeo acoplado de longitud $L = 32$, tamaño de grano $G = 8$ y acoplamiento $g = 0.000$. Los círculos azules denotan los promedios $\langle (\Delta^{(i,j)}/N^{(i,j)})^2 \rangle$ para las diferentes mediciones de $\Delta^{(i,j)}$ para valores similares del total de transiciones $N^{(i,j)}$ y la línea roja marca la función N^{-1} . Se consideró $\Delta T = 100$ para el cálculo de los promedios temporales. La tasa de crecimiento de la función exponencial usada para definir los *bins* que agrupan mediciones de $\Delta^{(i,j)}$ fue igual a 1.

4.5. Ensamble de Gibbs

El programa que aparece en el Apéndice J obtiene los valores óptimos de los coeficientes $\alpha(d)$ que marcan el acoplamiento entre sitios separados una distancia d en una rejilla a grano grueso.

4.5.1. Detalles Técnicos Computacionales sobre la prueba de Ensamble de Gibbs

Antes de efectuar cualquier cálculo, el código pide al usuario los valores de los parámetros contemplados en la simulación de balance detallado, junto con la semilla del generador de números aleatorios usada en dicho procedimiento, un número natural m y una constante real c (165-177). Tras escoger un entero positivo al azar como semilla del generador de número aleatorios idénticamente a los programas descritos en las secciones previas (178-179), los datos recopilados son usados en primera instancia para identificar el archivo con la evolución temporal de la rejilla “a grano grueso” y guardar tal información en un arreglo de Python (180-184). Luego, el programa genera y almacena un histograma con dicho arreglo (186-193). Al ajustar el número de *bins* al total de estados disponibles a la rejilla, limitar el rango al de los estados

y asignar un valor `True` a la opción `density`, el histograma constituye una aproximación a la distribución de probabilidad de los estados del sistema.

El código utiliza después los valores asignados a las propiedades de la rejilla “a grano grueso” para construir una gráfica del sistema dispuesto en el estado 0 ($\tilde{u}_{\vec{x}}^T = -1 \forall \vec{x}$) e inicializa un diccionario para almacenar las sumas de los productos $\tilde{u}_{\vec{x}}^T \tilde{u}_{\vec{y}}^T$ sobre todos los pares de sitios (\vec{x}, \vec{y}) con una separación d entre ellos, considerando las diferentes distancias posibles entre dos sitios cualesquiera en la rejilla (195-199) (Figura 4.19). Denotando tales sumas como $\text{sPE}(d)$, el Hamiltoniano \mathcal{H} podría reformularse como

$$\begin{aligned} \mathcal{H} &= \sum_{\vec{x}, \vec{y}} \alpha(d) \tilde{u}_{\vec{x}}^T \tilde{u}_{\vec{y}}^T = \sum_d \alpha(d) \cdot \left(\sum_{\vec{x}, \vec{y}: |\vec{x}-\vec{y}|=d} \tilde{u}_{\vec{x}}^T \tilde{u}_{\vec{y}}^T \right) \\ &= \sum_d \alpha(d) \cdot \text{sPE}(d) \end{aligned} \quad (4.3)$$

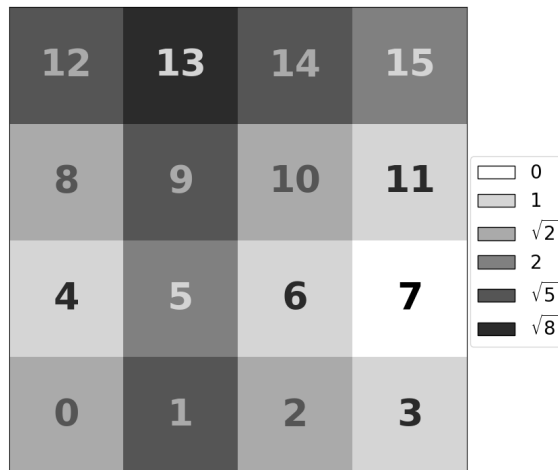


Figura 4.19: Ilustración de las distancias entre el sitio $n(\vec{x}_0) = 7$ y los demás elementos de una rejilla “a grano grueso” conformada por 4×4 sitios, bajo condiciones de frontera periódicas. Los colores de los números $n(\vec{x}_0)$ no tienen significado alguno y sólo fueron seleccionados para generar contraste y facilitar su lectura. Para este sistema CG-CML, la energía \mathcal{H} (Ecuación 4.3) contemplaría cinco coeficientes $\alpha(d)$ distintos.

El ciclo `for` que inicia en la línea 201 calcula las sumas $\text{sPE}(d)$ para cada estado disponible al sistema. Una vez configurada la gráfica en un estado específico con la función `def_edo` (definida en 52-66), el programa estima todos los productos $\tilde{u}_{\vec{x}}^T \tilde{u}_{\vec{y}}^T$, los agrupa en listas de acuerdo a la distancia entre sus respectivos sitios y guarda cada lista como una entrada en un diccionario adicional (205-217). Después, obtiene la suma de los elementos de cada lista (los factores $\text{sPE}(d)$) y agrega el diccionario con dichas sumas como un elemento del diccionario definido antes del `loop`, utilizando la iteración del ciclo (equivalente al número de estado de la rejilla)

como clave (218-224). Tras llevar la gráfica al estado 0 (225), el proceso anterior se repite para el siguiente estado. El diccionario que contiene los conjuntos de sumas $sPE(d)$ (que denominamos proto-energías) para todos los estados accesibles a la rejilla es posteriormente almacenado en un archivo de texto (226-230). El código procede entonces a obtener una lista de las proto-energías disponibles al sistema sin repeticiones y conservar tal versión reducida en una lista y otro archivo .txt (232-244).

Una vez concluido el procedimiento previo, el código junta las proto-energías del sistema con sus correspondientes probabilidades: en un barrido del conjunto con las diferentes proto-energías (246-262), el programa recopila los números de estados asociados a una proto-energía particular examinando el diccionario que contiene todas las proto-energías disponibles (250-256), identifica la cantidad de estados ligados a la proto-energía seleccionada (257), calcula su probabilidad como la suma de las probabilidades de sus respectivos estados (258-261) y guarda en una lista (inicializada en 248) la proto-energía, su probabilidad y el total de estados con tal proto-energía (262). Al terminar la aplicación de este algoritmo sobre todas las proto-energías, la lista es almacenada en un archivo de texto (263-267), tras lo cual sus elementos son reordenados en un orden decreciente de probabilidad y guardados en un archivo distinto con el mismo formato (269-292). Tal acomodo para confirmar su funcionamiento fue incluido durante el desarrollo del código y optamos por preservarlo para facilitar la revisión de los resultados de otros procesos descritos más adelante.

A continuación, el código produce una lista ordenada de las distancias d existentes para cualquier par de sitios en la rejilla “a grano grueso” (295-296) mediante la función `list_dists` (68-77), construye una lista de claves con dichas distancias codificadas (297-300) y define una restricción sobre las energías aceptables para el sistema (302-319).

El segmento del programa comprendido entre las líneas 321-709 implementa las cantidades previamente obtenidas para hallar las magnitudes de los coeficientes $\alpha(d)$ que producen una distribución de energías (dadas por el Hamiltoniano \mathcal{H} en la Ecuación 4.3) equivalente (o al menos similar) a una distribución de Boltzmann. Para cumplir tal meta, el código intenta minimizar la suma (sobre las diferentes energías disponibles al sistema) de los cuadrados de las diferencias entre dos probabilidades:

- La probabilidad “empírica” de cada energía, calculada como la suma de las probabilidades de los estados correspondientes a su respectiva proto-energía. Cabe resaltar que la probabilidad de un estado proviene de la distribución probabilística (aproximada) de estados elaborada a partir de la evolución temporal de la rejilla “a grano grueso”.
- La probabilidad “teórica” de cada energía conforme a una distribución de Boltzmann. Las energías son estimadas de acuerdo al Hamiltoniano \mathcal{H} asumiendo un conjunto de valores específicos para los coeficientes $\alpha(d)$.

Dado un conjunto de valores iniciales para los coeficientes $\alpha(d)$ (escogidos con aleatoriedad entre $[-1, 1]$), el programa calcula las energías disponibles al sistema y sus correspondientes probabilidades “teóricas” con la función `prob_boltzmann` (definida en 79-103), estima la suma χ^2 de los cuadrados de las diferencias entre los dos tipos de probabilidades destacados antes mediante la función `min_cuadrados` (105-111), modifica los valores $\alpha(d)$ y repite el procedimiento anterior hasta conseguir un mínimo para χ^2 ¹³. Una vez concluida, la optimización anterior es

¹³Las últimas dos partes de este algoritmo son realizadas por la función `minimize` del paquete

repetida $m - 1$ veces empleando *ansatzes* distintos para los valores iniciales de $\alpha(d)$, donde m es el entero positivo proporcionado por el usuario al inicio de la simulación.

Una vez completado el proceso detallado en el párrafo precedente, el código almacena los diferentes *ansatzes* y sus correspondientes valores para los coeficientes $\alpha(d)$. Luego, identifica el conjunto “óptimo” de coeficientes $\alpha(d)$ ¹⁴ y obtiene la distribución de probabilidad para las energías y función de partición Z asociadas a él. Posteriormente, el programa calcula las energías disponibles al sistema con los coeficientes $\alpha(d)$ “óptimos” y produce las energías y probabilidades de Boltzmann para cada estado del sistema CG-CML. Finalmente, las entradas de los arreglos con las energías y las distribuciones probabilísticas teórica y empírica (tanto para las energías como los estados) son reordenadas con la función `ordenador` (143-160) para facilitar la realización de su gráfica.

El programa contempla cuatro esquemas de minimización que difieren en dos aspectos:

- **El método suministrado a minimize para determinar el mínimo de la suma de cuadrados χ^2**

Es posible configurar el método numérico que implementa la función `minimize` para hallar puntos mínimos. En miras de reducir el espacio de los coeficientes $\alpha(d)$, optamos por usar el método `trust-constr` para limitar las energías del sistema a valores no negativos (conforme a la Figura 3.4). Adicionalmente, usamos la función `minimize` en otros casos sin especificar un método numérico. De acuerdo a la documentación de `scipy`, tal decisión implica que la función elige entre los métodos `BFGS`, `L-BFGS-B` y `SLSQP` según la naturaleza de las fronteras de los dominios de las variables y demás restricciones (lineales o no lineales).

- **La simultaneidad del ajuste de los coeficientes $\alpha(d)$**

La función `minimize` puede trabajar sobre múltiples variables a la vez. Si bien usamos la función de este modo para algunos casos, también consideramos determinar los coeficientes $\alpha(d)$ uno a la vez, en orden creciente de la distancia d . El programa completa esta tarea con un ciclo `for` que aplica la función `minimize` sobre un coeficiente específico en una iteración con un dominio sin fronteras y fija tal valor para las subsecuentes iteraciones. Por ejemplo, en la primera iteración de dicho ciclo, la función `minimize` puede asignar valores en el intervalo $(-\infty, \infty)$ al coeficiente $\alpha(1)$ pero considera que los otros coeficientes únicamente pueden ser equivalentes a su respectivo valor inicial. En la segunda iteración, el dominio del coeficiente $\alpha(1)$ queda limitado al valor que la función `minimize` determinó en la iteración previa, el coeficiente $\alpha(\sqrt{2})$ queda libre de cualquier restricción y los demás coeficientes permanecen fijos durante la operación de la función `minimize`.

Los cuatro esquemas de minimización implementados en el programa son los siguientes:

- **Esquema local 0** (325-414): La función `minimize` es usada sin especificar método y los coeficientes $\alpha(d)$ son determinados simultáneamente. La ausencia de cualquier restricción implica que `minimize` selecciona el método `BFGS`.
- **Esquema local 1** (417-503): La función `minimize` utiliza el método `trust-constr` y los coeficientes $\alpha(d)$ son examinados al mismo tiempo.

`scipy.optimize`.

¹⁴En este contexto, “óptimo” describe al conjunto de valores $\alpha(d)$ que minimizan χ^2 .

- **Esquema gradual 0** (506-606): La función `minimize` es implementada sin definir explícitamente un método para minimizar la suma de cuadrados y los coeficientes $\alpha(d)$ son determinados de uno en uno. Como el ajuste gradual de los coeficientes impone límites en el dominio de tales variables, la función escoge el método L-BFGS-B.
- **Esquema gradual 1** (609-709): La función `minimize` opera bajo el método `trust-constr` en el ajuste gradual de los coeficientes $\alpha(d)$.

4.5.2. Resultados de la prueba de Ensamble de Gibbs

Al igual que en el caso de balance detallado, optamos inicialmente por determinar el correcto funcionamiento del programa tratando de recuperar una distribución de Boltzmann a partir de la evolución temporal de las rejillas de Ising mencionadas en el apartado previo. Implementamos para ello el código en las líneas 1-240 y 370-682 en el Apéndice K, que corresponde a una versión del programa recién descrito adaptada a las características propias del modelo de Ising. La Figura 4.20 exhibe los resultados derivados de las rejillas de Ising de 4×4 sitios examinadas en la Sección 4.4 al usar la función `minimize`¹⁵ y muestra que una evolución temporal más larga genera una distribución de probabilidad más parecida a la distribución de Gibbs teórica, aunque los acoplamientos ajustados son sorprendentemente acertados para los diferentes tiempos de evolución (Cuadro 4.1). Volvimos a realizar las simulaciones con otros acoplamientos J , consiguiendo al final valores J_{fit} equivalentes (ver Figura 4.21 y Cuadro 4.2). Así, el ejercicio anterior garantiza que el código opera en la forma esperada.

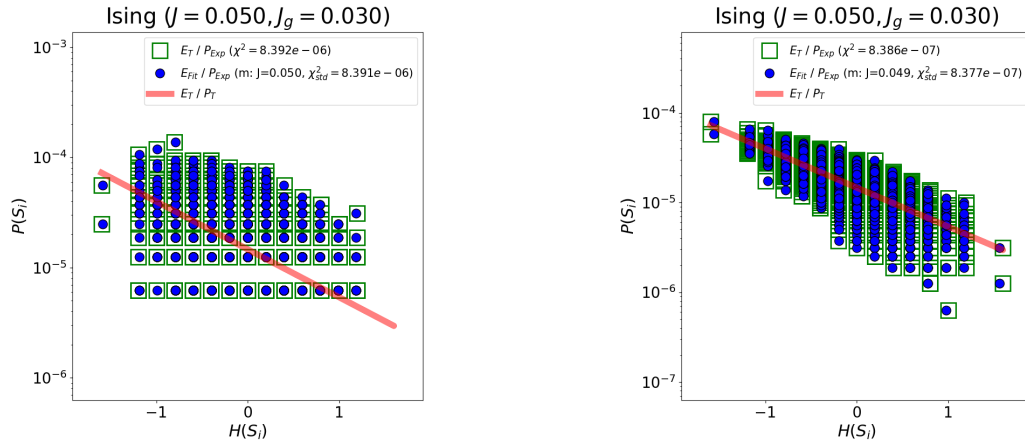
Número (promedio) de rondas por sitio	J_{fit}
10^4	4.951011763904211022E-02
10^5	4.881398722865511186E-02
10^6	5.003199153920163261E-02

Cuadro 4.1: Acoplamientos J_{fit} ajustados a distribuciones de probabilidad asociadas a rejillas de Ising de 4×4 sitios con diferentes tiempos de evolución, usando la función `minimize`

J	J_g	J_{fit}	e_{rel} (%)
0.01	0.016	9.799720299536849796E-03	-2.043728742672650
0.02	0.040	1.994719143444910817E-02	-0.264741859646958
0.03	0.025	3.004100494134295113E-02	0.136496570014769
0.04	0.100	3.999099802265290021E-02	-0.022510009232581
0.05	0.030	5.003199153920163261E-02	0.063942166236834

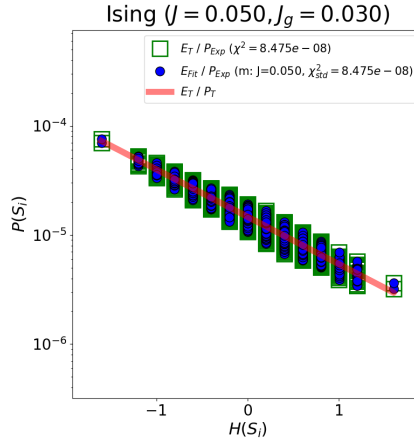
Cuadro 4.2: Acoplamientos J_{fit} ajustados a distribuciones de probabilidades obtenidas a partir de la evolución temporal de rejillas de Ising de 4×4 sitios con diferentes acoplamientos J , considerando distintos valores iniciales J_g al usar `minimize` y una evolución temporal de 1.6×10^7 iteraciones, junto con errores relativos $e_{rel} = (J - J_{fit})/J_{fit}$

¹⁵El programa en el Apéndice K también usa `curve_fit` y `minimize_scalar` para hallar el acoplamiento J que ofrece el mejor ajuste a los datos experimentales. Los valores determinados con tales métodos son sumamente parecidos al acoplamiento obtenido con `minimize` y únicamente difieren de él a partir de la cuarta cifra significativa.



(a) Distribuciones de probabilidad (teórica y experimental) de una rejilla de Ising de 4×4 sitios, considerando una evolución temporal de 1.6×10^5 iteraciones y semilla $s = 6229836497689036069$

(b) Distribuciones de probabilidad (teórica y experimental) de una rejilla de Ising de 4×4 sitios, considerando una evolución temporal de 1.6×10^6 iteraciones y semilla $s = 1016131477794588868$



(c) Distribuciones de probabilidad (teórica y experimental) de una rejilla de Ising de 4×4 sitios, considerando una evolución temporal de 1.6×10^7 iteraciones y semilla $s = 7450712230650374706$

Figura 4.20: Distribución de probabilidades $\mathcal{P}(S_i)$ en términos de las energías $\mathcal{H}(S_i)$ en rejillas de Ising de 4×4 sitios con acoplamiento $J = 0.05$ entre primeros vecinos. La distribución de Boltzmann asociada al sistema aparece como una recta roja, los cuadradados de bordes verdes representan las energías teóricas con sus respectivas probabilidades experimentales y las coordenadas de los círculos azules corresponden a las energías y las probabilidades ajustadas. El *ansatz* para el acoplamiento proporcionado a la simulación es $J_g = 0.03$ y la función implementada para determinar el valor óptimo de J fue `minimize`.

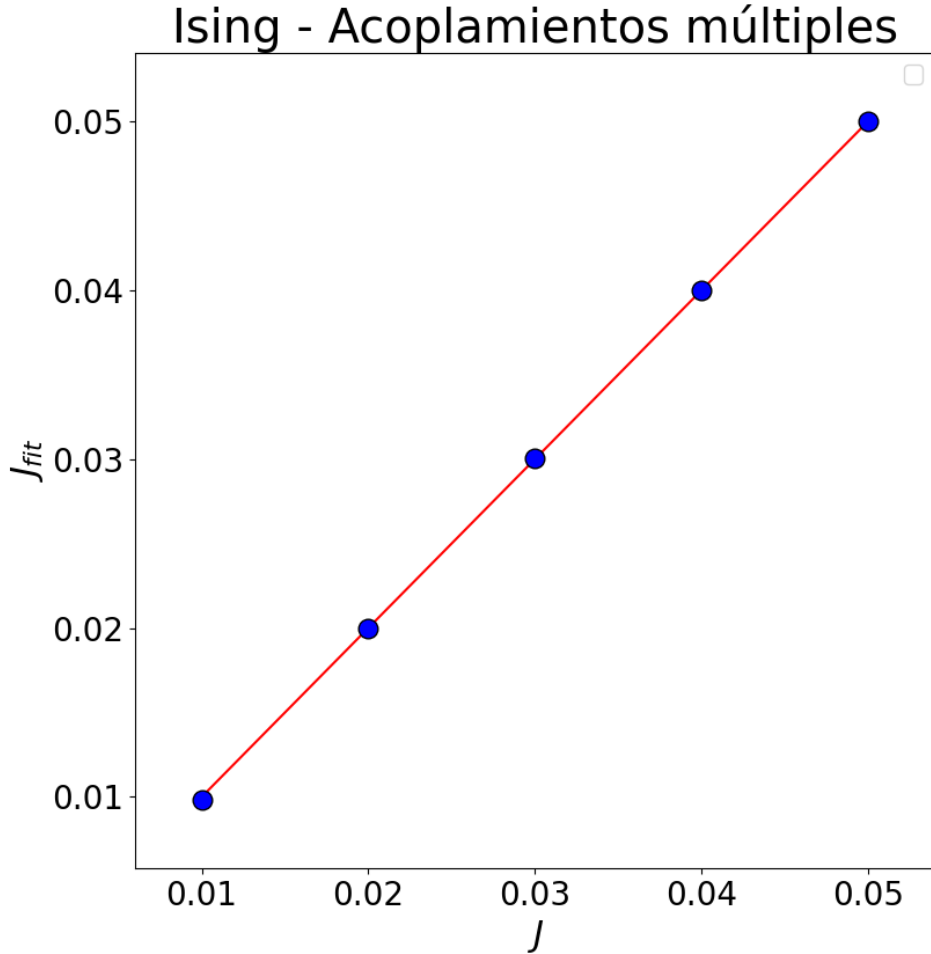


Figura 4.21: Relación entre acoplamientos J y los valores ajustados J_{fit} a rejillas de Ising de 4×4 sitios, aplicando el algoritmo de Metropolis 10^6 veces por sitio.

Posteriormente, hicimos simulaciones sobre las cuatro rejillas “a grano grueso” de 4×4 sitios con acoplamiento $g = 0.204$ analizadas en la Sección 4.4 (construidas a partir de sistemas CML de longitudes y tamaños de grano $\{L = 8, G = 2\}$ y $\{L = 32, G = 8\}$). Los resultados obtenidos con los cuatro esquemas de minimización en las primeras dos secciones del Apéndice L.3; en particular, los productos de las simulaciones bajo el esquema de minimización “Local 0” para rejillas con una evolución temporal de 4×10^5 iteraciones quedan ilustrados en las Figuras 4.22 y 4.23, junto a sus respectivos valores para los coeficientes $\alpha(d)$ y la dispersión χ^2 (Cuadros 4.3 y 4.4)¹⁶.

Las Figuras L.2, L.4, L.5 y L.7 revelan inmediatamente que la restricción de las energías $\mathcal{H}(S_i)$ a valores estrictamente positivos es inadecuada; las distribuciones asociadas a los coeficientes $\alpha(d)$ que la función `minimize` califica como óptimos bajo el método `trust-constr` cuentan con valores para la dispersión χ^2 al menos tres órdenes de magnitud superiores a los

¹⁶Los resultados de estas mismas simulaciones para sistemas con tiempos de evolución de 2×10^5 iteraciones aparecen en las Secciones L.1 y L.2

de las distribuciones obtenidas al implementar el método **BFGS**. Las mismas gráficas también prueban que las diferencias entre los esquemas de minimización de tipo “Local” (que ajustan los coeficientes simultáneamente) y los de tipo “Gradual” (que ajustan los coeficientes de uno en uno) que usan el mismo método de optimización son mínimas y llevan a resultados similares.

Asimismo, las simulaciones que usan `minimize` libre de restricciones sobre las energías muestran que ambos sistemas CG-CML, sin importar el tiempo de evolución o las dimensiones de la rejilla “fina” subyacente, cuentan con una distribución de Gibbs. Sorprendentemente, las distribuciones de probabilidades de la rejilla “a grano grueso” correspondientes a sistemas CML de 8×8 sitios (los cuales no exhiben balance detallado) son mejores ajustes que las distribuciones de sistemas desarrollados a partir de rejillas de mapeo acoplado de longitud $L = 32$. Ninguno de los conjuntos de coeficientes $\alpha(d)$ decrece de forma monótona con la distancia d entre sitios como los valores reportados en [5] (Cuadro 3.1), aunque la relación entre los signos de los valores asociados a los sistemas CML de 32×32 sitios es la misma (Cuadros L.2 y 4.4) y el primer coeficiente también es el más grande de todos para las cuatro rejillas “a grano grueso” aquí examinadas.

El origen más probable de las discrepancias entre los puntos empíricos y las distribuciones de Gibbs obtenidas bajo los esquemas “Local 0” y “Gradual 0” es un tiempo de evolución muy corto, lo cual se refleja principalmente en la línea horizontal de círculos azules en sus respectivas gráficas. Tales puntos representan estados con las energías más grandes y consecuentemente las menores probabilidades, las cuales posiblemente fueron sobreestimadas como resultado de una evolución temporal breve. Incrementar el número de iteraciones debería producir entonces mejores ajustes. Sin embargo, los resultados aquí presentados sugieren que dicho aumento debería ser de órdenes de magnitud, ya que duplicar el tiempo de evolución fue insuficiente para disminuir la dispersión.

Realizamos también simulaciones sobre las rejillas “a grano grueso” definidas a partir de sistemas CML de longitud $L = 32$, tamaño de grano $G = 8$ y acoplamiento nulo ($g = 0$). Los resultados correspondientes al conjunto de coeficientes $\alpha(d)$ determinados bajo el esquema de minimización “Local 0” (así como los coeficientes en sí) dada una evolución temporal de 4×10^5 iteraciones aparecen en la Figura 4.24 y el Cuadro 4.5. Las gráficas y valores para los coeficientes $\alpha(d)$ asociados a otros esquemas de minimización y tiempos de evolución se encuentran en la tercera sección del Apéndice L.3.

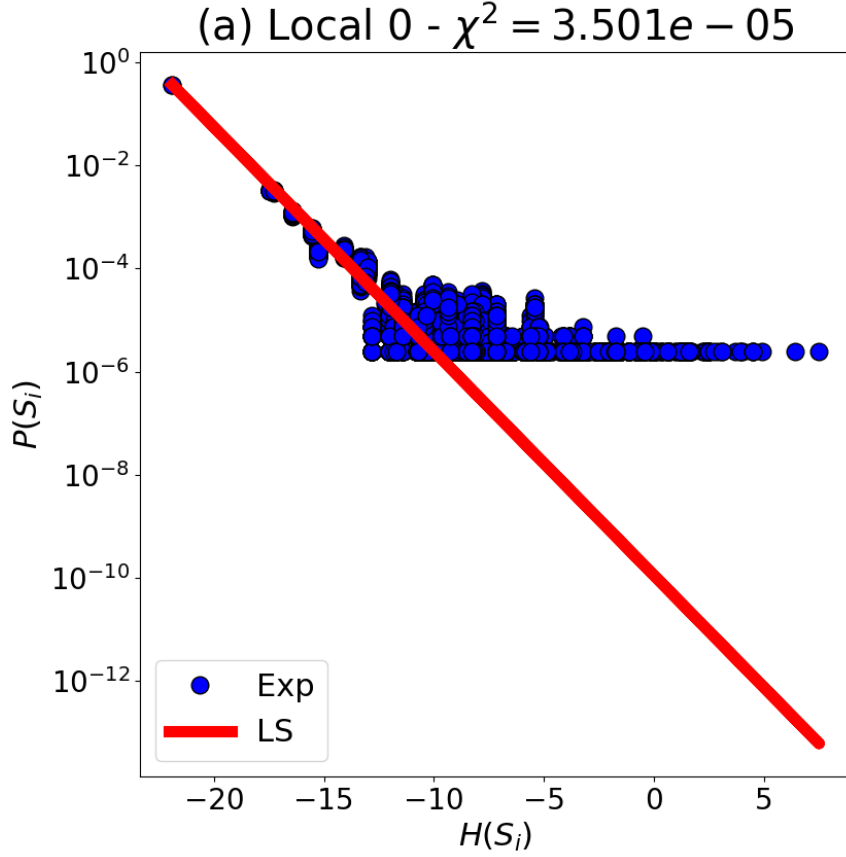


Figura 4.22: Distribución de probabilidades $\mathcal{P}(S_i)$ de los estados S_i en términos de las energías $\mathcal{H}(S_i)$ disponibles a un sistema CG-CML de 4×4 sitios con una evolución temporal de 4×10^5 iteraciones y semilla $s = 5617058624460882590$, usando el esquema de minimización local 0. Tal sistema fue generado a partir de una rejilla de mapeo acoplado con longitud $L = 8$, grano $G = 2$ y acoplamiento $g = 0.204$. Los puntos azules corresponden a las mediciones de las probabilidades de cada energía tras el ajuste y la recta roja marca la distribución de Boltzmann asociada a los coeficientes $\alpha(d)$ ajustados.

Método	$\alpha(1)$	$\alpha(\sqrt{2})$	$\alpha(2)$	$\alpha(\sqrt{5})$	$\alpha(\sqrt{8})$	χ^2
Local 0	-1.1511E+00	3.9722E-01	1.4520E-01	5.4272E-02	-2.2865E-01	3.5009E-05
Gradual 0	-1.1511E+00	3.9722E-01	1.4521E-01	5.4275E-02	-2.2866E-01	3.5009E-05
Local 1	1.2850E-11	2.4701E-11	4.5447E-10	4.6570E-11	2.0879E-10	2.6628E-01
Gradual 1	5.1955E-11	9.7101E-11	3.6635E-10	-7.5789E-11	-2.8271E-11	2.6628E-01

Cuadro 4.3: Acoplamientos $\alpha(d)$ ajustados a distribución experimental de probabilidades $\mathcal{P}(S_i)$ de sistema CG-CML de 4×4 sitios con una evolución temporal de 4×10^5 iteraciones, elaborado a partir de una rejilla de mapeo acoplado de longitud $L = 8$, tamaño de grano $G = 2$ y acoplamiento $g = 0.204$

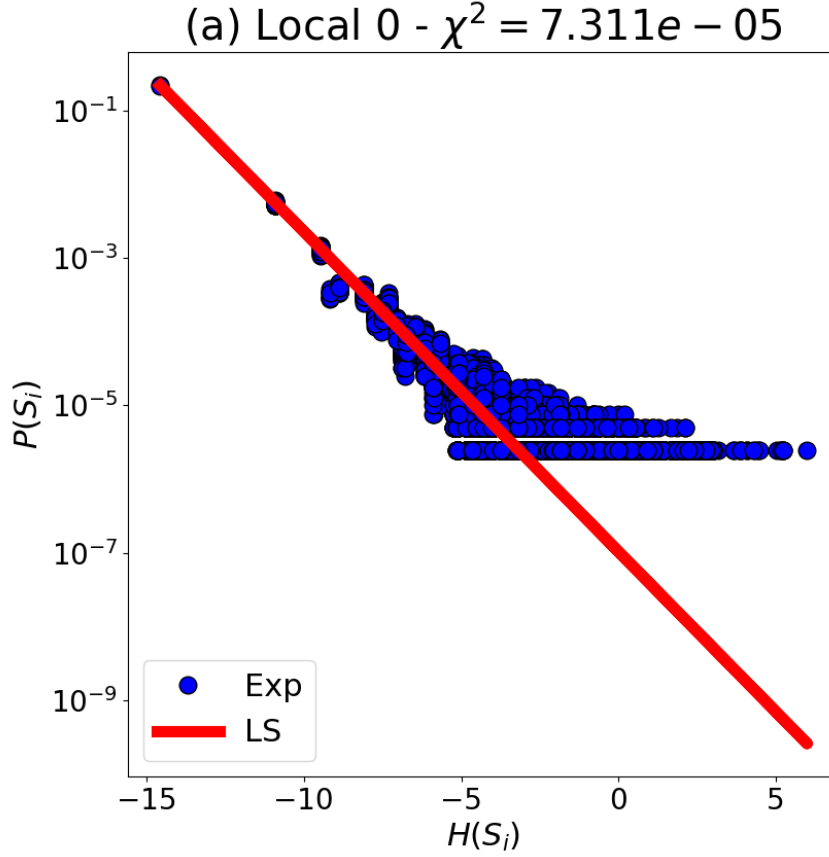


Figura 4.23: Distribución de probabilidades $\mathcal{P}(S_i)$ de los estados S_i en términos de las energías $\mathcal{H}(S_i)$ disponibles a un sistema CG-CML de 4×4 sitios con una evolución temporal de 4×10^5 iteraciones y semilla $s = 3759620218372826529$, usando el esquema de minimización local 0. Tal sistema fue generado a partir de una rejilla de mapeo acoplado con longitud $L = 32$, grano $G = 8$ y acoplamiento $g = 0.204$. Los puntos azules corresponden a las mediciones de las probabilidades de cada energía tras el ajuste y la recta roja marca la distribución de Boltzmann asociada a los coeficientes $\alpha(d)$ ajustados.

Método	$\alpha(1)$	$\alpha(\sqrt{2})$	$\alpha(2)$	$\alpha(\sqrt{5})$	$\alpha(\sqrt{8})$	χ^2
Local 0	-5.4993E-01	-1.0756E-02	1.3295E-01	5.5446E-02	-6.5080E-02	7.3110E-05
Gradual 0	-5.4992E-01	-1.0763E-02	1.3293E-01	5.5461E-02	-6.5098E-02	7.3111E-05
Local 1	-1.3295E-11	-2.8606E-11	5.3438E-10	-1.6795E-11	4.9536E-11	9.5926E-02
Gradual 1	-2.5543E-11	5.9742E-11	4.1907E-10	-1.8729E-11	1.2069E-10	9.5926E-02

Cuadro 4.4: Acoplamientos $\alpha(d)$ ajustados a distribución experimental de probabilidades $\mathcal{P}(S_i)$ de sistema CG-CML de 4×4 sitios con una evolución temporal de 4×10^5 iteraciones, elaborado a partir de una rejilla de mapeo acoplado de longitud $L = 32$, tamaño de grano $G = 8$ y acoplamiento $g = 0.204$

Observamos que un acoplamiento nulo entre sitios de una rejilla “fina” no otorga una distribución de Gibbs a los estados disponibles al sistema CG-CML asociado. La dispersión χ^2 es

significativamente menor que los valores de tal parámetro en las simulaciones sobre rejillas “a grano grueso” elaboradas a partir de sistemas CML con un acoplamiento distinto de cero, pero esto es producto del limitado rango de las probabilidades experimentales; las probabilidades de cada estado disponible únicamente abarcan valores desde 2×10^{-6} hasta 2×10^{-5} , en contraste con los seis órdenes de magnitud que cubren las probabilidades empíricas en las otras simulaciones. La esporádica ocurrencia de cada estado en la rejilla “a grano grueso” asociada a $g = 0$ resulta entonces en valores ínfimos para todos los coeficientes $\alpha(d)$, siendo la magnitud más grande de cualquiera de dichos coeficientes del orden de 10^{-3} (ver Cuadro L.3). Así, la función exponencial ajustada arroja probabilidades suficientemente pequeñas para alcanzar una dispersión χ^2 mínima, incluso si esto implica un crecimiento de la probabilidad con respecto a la energía (ver Gráficas (b) en las Figuras L.8 y L.11). Al final, las energías de los estados disponibles al sistema CG-CML obtenido al tomar un acoplamiento nulo no tienen el efecto sobre sus correspondientes probabilidades que es de esperarse en un ensamble canónico.

En aras de esclarecer por qué Egolf únicamente contempla los primeros cuatro coeficientes $\alpha(d)$ al calcular la energía $\mathcal{H}(S_i)$ cuando existen sitios en una rejilla “a grano grueso” de 4×4 sitios con una distancia $d = \sqrt{8}$ (ver Figura 4.19), repetimos las simulaciones descritas anteriormente considerando diferentes números de coeficientes. Usamos para tal tarea el programa en el Apéndice M, que consiste esencialmente en un *loop* con el código descrito previamente para múltiples cantidades de coeficientes $\alpha(d)$. El resultado de esta clase de simulación en el sistema CG-CML derivado de una rejilla de mapeo acoplado de longitud $L = 32$, tamaño de grano $G = 8$, acoplamiento $g = 0.204$ y evolución temporal de 4×10^5 iteraciones está ilustrado en la Figura 4.25¹⁶. Los cambios en la dispersión χ^2 ocasionados por la inclusión de más coeficientes $\alpha(d)$ en la energía de dicho sistema aparecen en la Figura 4.26¹⁶. Las gráficas en ambas Figuras revelan que las discrepancias entre las probabilidades empíricas de los estados y la distribución de Gibbs ajustada a ellas son mínimas al tomar en cuenta tres coeficientes $\alpha(d)$, aunque los valores de χ^2 en las simulaciones que consideran cuatro o cinco coeficientes son del mismo orden y las diferencias en la magnitud de la dispersión son muy pequeñas (en relación a los valores obtenidos al usar únicamente uno o dos coeficientes). La naturaleza de estos resultados impide determinar si el uso de cuatro coeficientes $\alpha(d)$ es preferible al de cinco coeficientes; la dispersión χ^2 en las distribuciones de Gibbs correspondientes adquiere valores similares y ambos ajustes son menos acertados que la distribución de probabilidad obtenida con tres coeficientes.

¹⁶Los resultados para el sistema CG-CML asociado a una rejilla “fina” de longitud $L = 32$, tamaño de grano $G = 8$, acoplamiento $g = 0.204$ y evolución temporal de 2×10^5 iteraciones fueron anexados en el Apéndice .

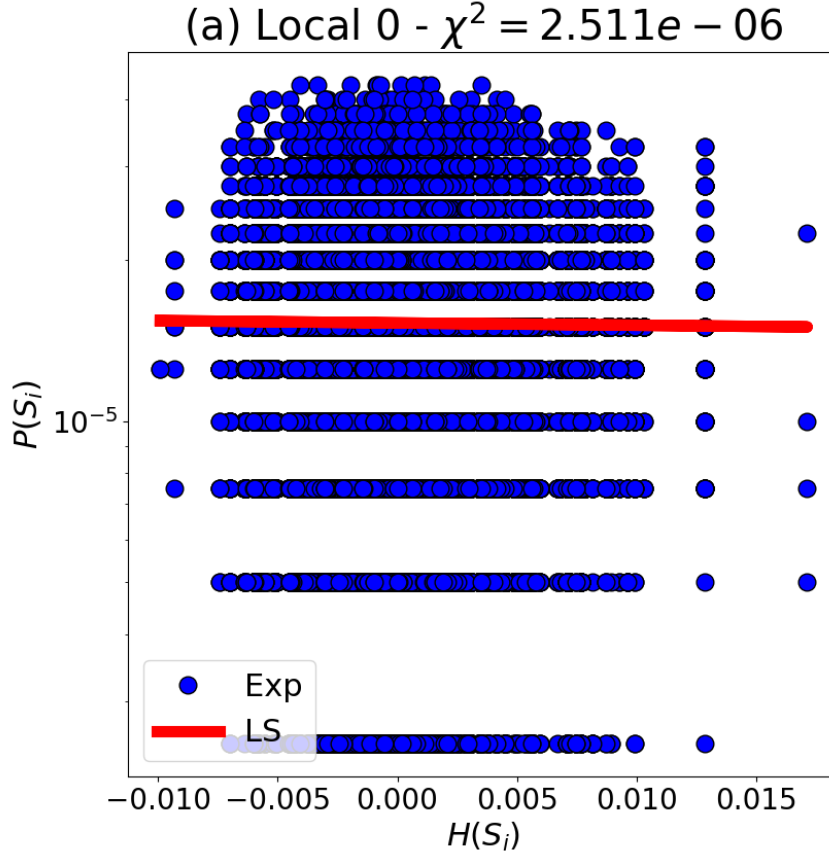
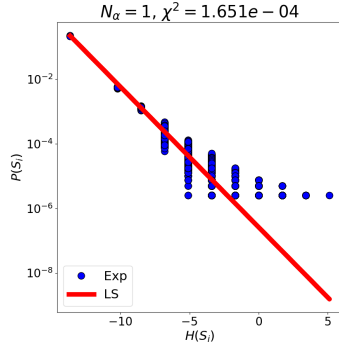


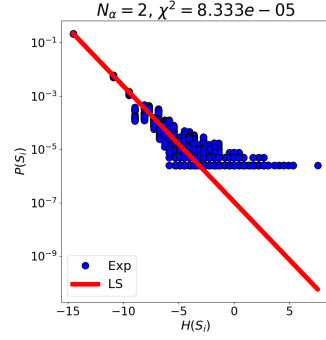
Figura 4.24: Distribución de probabilidades $\mathcal{P}(S_i)$ de los estados S_i en términos de las energías $\mathcal{H}(S_i)$ disponibles a un sistema CG-CML de 4×4 sitios con una evolución temporal de 4×10^5 iteraciones y semilla $s = 4523530975986176005$, usando el esquema de minimización local 0. Tal sistema fue generado a partir de una rejilla de mapeo acoplado con longitud $L = 32$, grano $G = 8$ y acoplamiento $g = 0$. Los puntos azules corresponden a las mediciones de las probabilidades de cada energía tras el ajuste y la recta roja marca la distribución de Boltzmann asociada a los coeficientes $\alpha(d)$ ajustados.

Método	$\alpha(1)$	$\alpha(\sqrt{2})$	$\alpha(2)$	$\alpha(\sqrt{5})$	$\alpha(\sqrt{8})$	χ^2
Local 0	9.7275E-05	-3.3654E-04	1.7901E-04	-2.6840E-04	4.3505E-04	2.5114E-06
Gradual 0	9.7805E-05	-3.3264E-04	1.8018E-04	-2.6645E-04	4.3180E-04	2.5114E-06
Local 1	1.9775E-11	1.6929E-10	8.9495E-10	8.8026E-12	8.6778E-10	2.5113E-06
Gradual 1	-1.5430E-11	7.6272E-11	8.8104E-10	-4.2240E-11	8.0930E-10	2.5113E-06

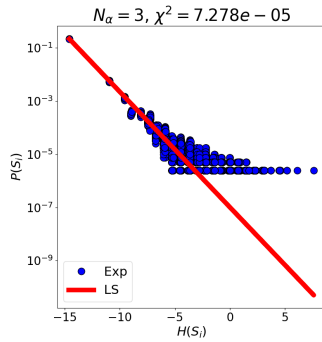
Cuadro 4.5: Acoplamientos $\alpha(d)$ ajustados a distribución experimental de probabilidades $\mathcal{P}(S_i)$ de sistema CG-CML de 4×4 sitios con una evolución temporal de 4×10^5 iteraciones, elaborado a partir de una rejilla de mapeo acoplado de longitud $L = 32$, tamaño de grano $G = 8$ y acoplamiento $g = 0$



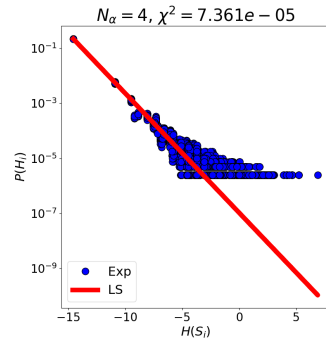
(a) Distribuciones de probabilidad de un sistema CG-CML de 4×4 sitios, considerando $N_\alpha = 1$ coeficiente para la energía $\mathcal{H}(S_i)$



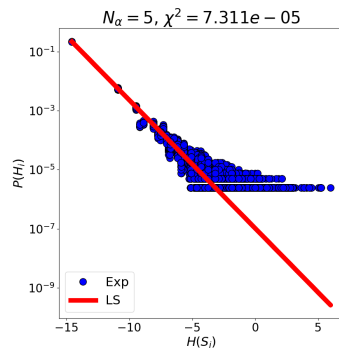
(b) Distribuciones de probabilidad de un sistema CG-CML de 4×4 sitios, considerando $N_\alpha = 2$ coeficientes para la energía $\mathcal{H}(S_i)$



(c) Distribuciones de probabilidad de un sistema CG-CML de 4×4 sitios, considerando $N_\alpha = 3$ coeficientes para la energía $\mathcal{H}(S_i)$



(d) Distribuciones de probabilidad de un sistema CG-CML de 4×4 sitios, considerando $N_\alpha = 4$ coeficientes para la energía $\mathcal{H}(S_i)$



(e) Distribuciones de probabilidad de un sistema CG-CML de 4×4 sitios, considerando $N_\alpha = 5$ coeficientes para la energía $\mathcal{H}(S_i)$

Figura 4.25: Distribuciones de probabilidad $\mathcal{P}(S_i)$ obtenidas al considerar diferentes números N_α de coeficientes $\alpha(d)$ en el cálculo de la energía de un sistema CG-CML de 4×4 sitios con una evolución temporal de 4×10^5 iteraciones y semilla $s = 3759620218372826529$, derivado de una rejilla de mapeo acoplado de longitud $L = 32$, $G = 8$ y $g = 0.204$

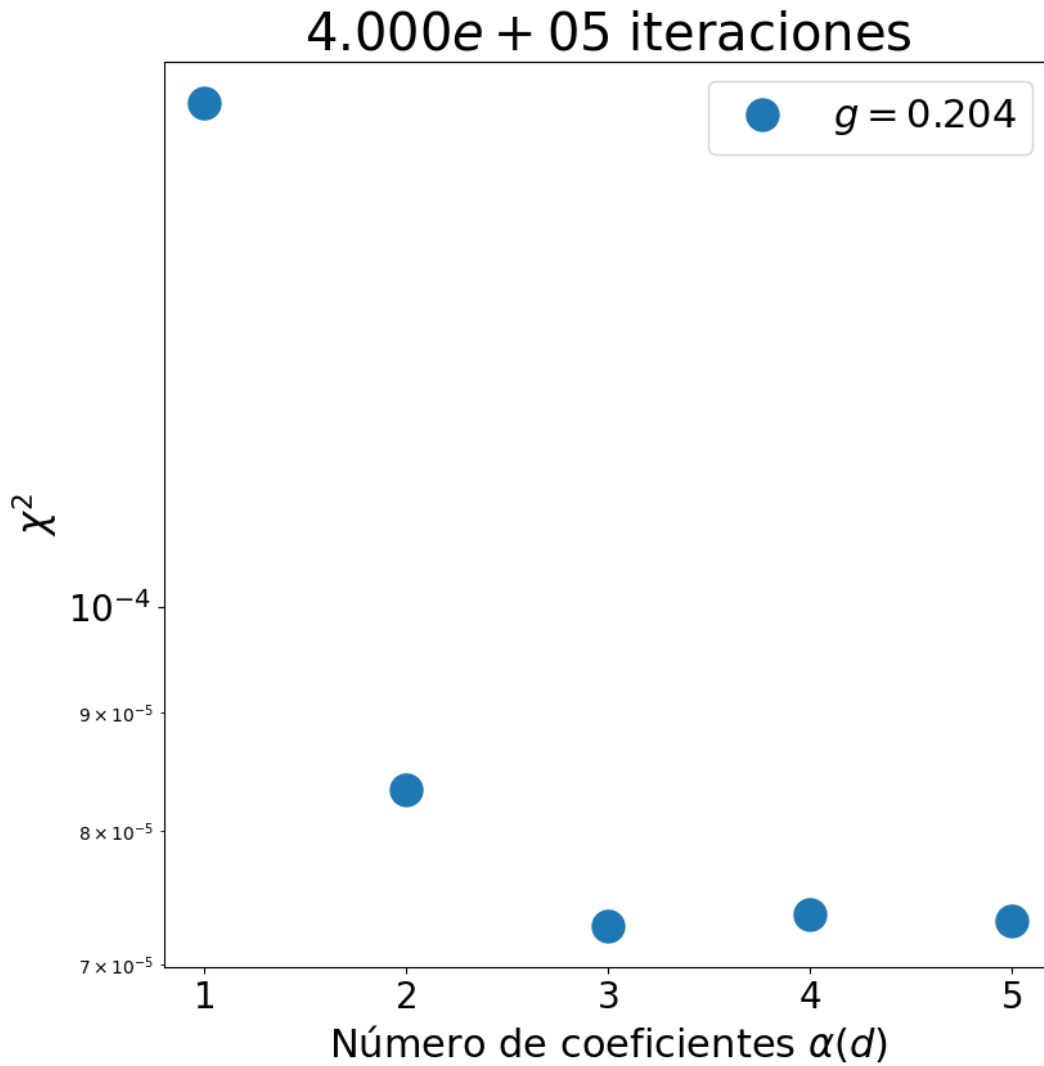


Figura 4.26: Efecto de la inclusión de coeficientes $\alpha(d)$ en el cálculo de la energía $\mathcal{H}(S_i)$ sobre la dispersión χ^2 en una rejilla “a grano grueso” construida a partir de un sistema CML de longitud $L = 32$, grano $G = 8$ y acoplamiento $g0.204$. La evolución temporal del sistema CG-CML fue de 4×10^5 iteraciones.

Capítulo 5

Conclusiones y perspectivas

El presente capítulo resume los hallazgos de la tesis, ofrece explicaciones sobre las diferencias entre ésta y el artículo [5] y discute las posibles direcciones a seguir en futuras investigaciones sobre el tema.

Tras revisar la Sección 4, puedo afirmar que

- Las rejillas de mapeo acoplado descritas en el Capítulo 3 presentan ergodicidad, al menos para cantidades asociadas a sitios individuales. Esta propiedad no percibe cambios ante la modificación del acoplamiento g entre sitios, aunque su presencia puede ser afectada por la magnitud del periodo transitorio. En cambio, la condición de *self-averaging* no aparece en estos sistemas, puesto que las distribuciones de $u_{\vec{x}}^{t_0}$ en los sistemas de longitud $L = 64$ no coinciden con las distribuciones de $u_{\vec{x}_0}^t$ obtenidas para sistemas individuales o ensambles ni muestran una forma específica e independiente del acoplamiento o la duración del *transient*. Posiblemente las rejillas que estudiamos fueron demasiado pequeñas y contaban con un número de elementos insuficiente para exhibir *self-averaging*.
- El comportamiento de los momentos $\langle |u| \rangle_G$ corresponde al de una variable aleatoria normal o Gaussiana. Las simulaciones con longitudes superiores a $L = 24$ muestran el decaimiento propio de una variable de esta clase y son evidencia de la existencia de una escala en la que el caos del sistema CML funge el rol de un baño térmico.
- Las rejillas “a grano grueso” de 4×4 sitios derivadas de sistemas CML con tamaño de grano $G = 8$ presentan balance detallado, ya que los promedios de los factores $(\Delta/N)^2$ efectivamente decaen como N^{-1} . Las discrepancias entre el comportamiento esperado y los resultados de las simulaciones en sistemas CG-CML construidos a partir de rejillas con $G = 2$ son un orden de magnitud mayor que las diferencias para las pruebas en rejillas asociadas a $G = 8$, en conformidad con los límites planteados en [5]. Sin embargo, el peculiar *binning* que Egolf implementa en el cálculo de los promedios mencionados anteriormente produce resultados inesperados que sugieren que las desviaciones entre teoría y experimento en los sistemas examinados (sin importar el tamaño de grano) son similares y ambos tipos de rejillas “a grano grueso” cuentan con balance detallado. No es claro el propósito detrás de dicho procedimiento, por lo que determinamos que resulta más adecuado juzgar la condición de balance detallado a partir de los primeros resultados.
- Las distribuciones de probabilidad de los estados de las rejillas “a grano grueso” examinadas en este trabajo se ajustan razonablemente bien a distribuciones de Boltzmann,

considerando energías dadas por la Ecuación 3.6. Curiosamente, tal hecho es independiente de las dimensiones y el tamaño de grano de las rejillas “finas” usadas para elaborar los sistemas CG-CML, en contraste con los resultados obtenidos en las pruebas de balance detallado; la principal diferencia entre los resultados de las dos clases de rejillas radica en que el sistema CG-CML asociado a $G = 2$ tiene un coeficiente $\alpha(1)$ mayor a 1. El comportamiento de los coeficientes $\alpha(d)$ correspondientes a nuestras simulaciones es marcadamente distinto al de los valores reportados en [5], aunque los cambios de signo sí coinciden en el conjunto $\{\alpha(d)\}$ de la rejilla relacionada a un tamaño de grano $G = 8$.

En el futuro, resultaría conveniente repetir las pruebas de ergodicidad con valores adicionales para el acoplamiento g entre sitios de las rejillas de mapeo acoplado para comprobar que dichos sistemas exhiben tal propiedad en el rango destacado en [5] ($0.170 < g < 0.2054$). Analizar sistemas con mayor longitud o extender la duración de la evolución temporal (o el periodo transitorio) representan alternativas igualmente válidas. Además, sería interesante realizar más simulaciones para determinar el tamaño mínimo del sistema que asegura la presencia de *self-averaging* y examinar con mayor cuidado la relación entre tal propiedad y la magnitud de g .

Realizar simulaciones de balance detallado en rejillas de mapeo acoplado con diferentes longitudes L y tamaños de grano G podría confirmar que tal propiedad es observable en sistemas CG-CML asociados a $G \geq 8$ y proveer una justificación al proceso de *binning* que usa Egolf para estimar promedios. Consideramos que las rejillas “a grano grueso” deberían ser todas de 4×4 sitios, puesto que sistemas con más elementos cuentan con un total de estados órdenes de magnitud mayor, lo cual vuelve su estudio ineficiente; tan sólo un sistema CG-CML de 5×5 sitios tiene $2^{25} = 33554432$ estados.

Las nuevas simulaciones para la prueba de Gibbs deberían usar tiempos de evolución más largos para no volver a sobrestimar las probabilidades de los estados con energías mayores. Conforme al análisis presentado en el capítulo anterior, la duración óptima para la evolución temporal debería ser al menos del orden de 10^6 iteraciones. Tales medidas podrían verificar si los sistemas CG-CML con $G < 8$ efectivamente presentan una distribución de Gibbs. Adicionalmente, sería conveniente repetir el análisis de la distribución de Gibbs con diferentes números de coeficientes $\alpha(d)$ para dichos nuevos sistemas y así determinar el total de coeficientes que mejor reproducen tal distribución de probabilidad.

Confiamos en que seguir estas rutas de investigación podría sentar con mayor firmeza los resultados propuestos por Egolf y ofrecer un enfoque provechoso en el estudio de sistemas fuera de equilibrio. En particular, creemos que adaptar una rejilla de mapeo acoplado a un mercado financiero, un sistema conformado por agentes individuales en competencia entre sí bajo la influencia de un entorno inestable (como los que aparecen en [18], Capítulo 4), y aplicar la metodología propuesta por Egolf a su estudio sería una dirección prometedora en el análisis de tal clase de sistemas. Igualmente, sería beneficioso analizar los mismos sistemas aquí examinados incorporando acoplamientos entre sitios con mayor separación entre sí (como lo hace el código en el Apéndice \tilde{N}^1) y observar el efecto que tales conexiones tienen sobre la presencia de balance detallado y distribuciones de Gibbs en rejillas “a grano grueso”.

¹Cabe resaltar que la inclusión de más acoplamientos resultaría en restricciones adicionales sobre sus valores g evitar que la regla de actualización arroje valores de u fuera del dominio del mapeo $\phi(u)$.

Apéndice A

Identidades básicas de probabilidad

En esta sección, presentamos definiciones e identidades básicas en el estudio de variables aleatorias según el desarrollo planteado en [12]. Adicionalmente, incluimos las formas que éstas adoptan al realizar cálculos numéricos.

A.1. Identidades fundamentales

A.1.1. Promedio

Sea U una variable aleatoria cualquiera. Su valor esperado o promedio $\langle U \rangle$ está definido como

$$\langle U \rangle = \sum_i u_i P(u_i) \quad (\text{A.1})$$

donde u_i denota cada uno de los posibles valores que puede adquirir U y $P(u_i)$ representa su respectiva probabilidad. Considerando tal definición, sigue que

$$\langle aU \rangle = a \cdot \langle U \rangle \quad (\text{A.2})$$

dada una constante a .

A.1.2. Varianza

La varianza $\text{Var}[U]$ es el promedio del cuadrado de las diferencias entre la variable U y su promedio $\langle U \rangle$, es decir,

$$\begin{aligned} \text{Var}[U] &= \langle (U - \langle U \rangle)^2 \rangle \\ &= \sum_i (u_i - \langle U \rangle)^2 P(u_i) \end{aligned} \quad (\text{A.3})$$

Tomando en cuenta la Ecuación A.2 y la definición de la varianza, resulta que $\text{Var}[aU]$ (siendo a una constante) es igual a

$$\text{Var}[aU] = a^2 \cdot \text{Var}[U] \quad (\text{A.4})$$

La Ecuación A.3 implica también que

$$\text{Var}[U] = \langle U^2 \rangle - \langle U \rangle^2 \quad (\text{A.5})$$

A.1.3. Variables independientes

Dos variables aleatorias X y Y son estadísticamente independientes entre sí al satisfacer que

$$P(x_i \& y_j) = P(x_i) \cdot P(y_j) \quad (\text{A.6})$$

El promedio del producto entre dichas variables es tal que

$$\begin{aligned} \langle XY \rangle &= \sum_i \sum_j x_i y_j P(x_i \& y_j) \\ &= \sum_i x_i P(x_i) \sum_j y_j P(y_j) \\ &= \langle X \rangle \cdot \langle Y \rangle \end{aligned} \quad (\text{A.7})$$

A.1.4. Promedio y varianza de la suma de variables aleatorias

Partiendo de la definición del promedio (Ecuación A.1), resulta inmediato demostrar que el promedio de la suma de las variables aleatorias X y Y es equivalente a la suma de sus respectivos promedios, de modo tal que

$$\langle X + Y \rangle = \langle X \rangle + \langle Y \rangle \quad (\text{A.8})$$

La condición anterior puede extenderse a la suma de n variables aleatorias. Dicho resultado queda sucintamente planteado como

$$\left\langle \sum_j^n U_j \right\rangle = \sum_j^n \langle U_j \rangle \quad (\text{A.9})$$

En cambio, la varianza de la suma de las variables X y Y solamente puede expresarse como la suma de sus varianzas si las variables son independientes; bajo tal condición, se tiene que

$$\begin{aligned} \text{Var}[X + Y] &= \langle [(X + Y) - \langle X + Y \rangle]^2 \rangle \quad [\text{A.3}] \\ &= \langle (X - \langle X \rangle)^2 \rangle + \langle (Y - \langle Y \rangle)^2 \rangle + 2[\langle XY \rangle - \langle X \rangle \langle Y \rangle] \quad [\text{A.2, A.9}] \\ &= \text{Var}[X] + \text{Var}[Y] \quad [\text{A.7}] \end{aligned} \quad (\text{A.10})$$

Al considerar n variables independientes, la varianza de su suma es exactamente igual a la suma de sus varianzas correspondientes:

$$\text{Var} \left[\sum_j^n U_j \right] = \sum_j^n \text{Var}[U_j] \quad (\text{A.11})$$

A.2. Expresiones numéricas

Al contar con un conjunto de M datos o mediciones, el promedio y la varianza de una variable aleatoria U son calculados respectivamente como

$$\text{Prom} [U] = \bar{U} = \frac{1}{M} \sum_i^M u_i \quad (\text{A.12})$$

$$\text{Var} [U] = \frac{1}{M} \sum_i^M (u_i - \bar{U})^2 \quad (\text{A.13})$$

Cabe resaltar que la expresión de la varianza anterior es válida si los M valores de U conforman la población completa de tal variable. En caso de que este conjunto sea únicamente una muestra, el denominador en la Ecuación A.13 es $M - 1$.

Las definiciones anteriores implican que las Ecuaciones A.2 y A.4 siguen siendo verdaderas, tras adaptarlas a cálculos numéricos.

Apéndice B

Momentos centrales de una variable aleatoria con distribución Gaussiana

La función $\exp\{-ax^2\}$ (donde a es un número real positivo) recibe el nombre de Gaussiana. Como su antiderivada no cuenta con una forma analítica, la integral de esta función suele calcularse numéricamente. Sin embargo, la integral de la función Gaussiana sobre todos los números reales sí tiene un valor definido:

$$\int_{-\infty}^{\infty} \exp\{-ax^2\} dx = \sqrt{\frac{\pi}{a}} \quad (\text{B.1})$$

Conforme al desarrollo presentado en [17], pp. 384-386, la demostración de la Ecuación B.1 considera

$$I = \int_{-\infty}^{\infty} \exp\{-ax^2\} dx \quad (\text{B.2})$$

Entonces,

$$\begin{aligned} I^2 &= \left(\int_{-\infty}^{\infty} \exp\{-ax^2\} dx \right)^2 \\ &= \left(\int_{-\infty}^{\infty} \exp\{-ax^2\} dx \right) \left(\int_{-\infty}^{\infty} \exp\{-ay^2\} dy \right) \\ &= \int_{-\infty}^{\infty} \int_{-\infty}^{\infty} \exp\{-a(x^2 + y^2)\} dx dy \end{aligned} \quad (\text{B.3})$$

Con un cambio a coordenadas polares, sigue que

$$\begin{aligned}
I^2 &= \int_0^\infty \int_0^{2\pi} \exp\{-ar^2\} r dr d\theta \\
&= 2\pi \int_0^\infty \exp\{-ar^2\} r dr \\
&= 2\pi \left[-\frac{\exp\{-ar^2\}}{2a} \right] \Big|_0^\infty \\
&= \frac{\pi}{a}
\end{aligned} \tag{B.4}$$

La Ecuación B.1 resulta de gran utilidad al calcular integrales de la forma $\int_{-\infty}^\infty x^{2n} \exp\{-ax^2\} dx$, donde n es un número natural.

Para $n = 1$, se tiene que

$$\begin{aligned}
\int_{-\infty}^\infty x^2 \exp\{-ax^2\} dx &= \int_{-\infty}^\infty \frac{d}{da} [-\exp\{-ax^2\}] dx = -\frac{d}{da} \left[\int_{-\infty}^\infty \exp\{-ax^2\} dx \right] \\
&= -\frac{d}{da} \left[\sqrt{\frac{\pi}{a}} \right] \\
&= \frac{1}{2} \sqrt{\frac{\pi}{a^3}}
\end{aligned} \tag{B.5}$$

Análogamente, si $n = 2$ o $n = 3$, resulta que

$$\begin{aligned}
\int_{-\infty}^\infty x^4 \exp\{-ax^2\} dx &= \int_{-\infty}^\infty \frac{d}{da} [-x^2 \exp\{-ax^2\}] dx = -\frac{d}{da} \left[\int_{-\infty}^\infty x^2 \exp\{-ax^2\} dx \right] \\
&= -\frac{d}{da} \left[\frac{1}{2} \sqrt{\frac{\pi}{a^3}} \right] \\
&= \frac{3}{4} \sqrt{\frac{\pi}{a^5}}
\end{aligned} \tag{B.6}$$

$$\begin{aligned}
\int_{-\infty}^\infty x^6 \exp\{-ax^2\} dx &= \int_{-\infty}^\infty \frac{d}{da} [-x^4 \exp\{-ax^2\}] dx = -\frac{d}{da} \left[\int_{-\infty}^\infty x^4 \exp\{-ax^2\} dx \right] \\
&= -\frac{d}{da} \left[\sqrt{\frac{3\pi}{4a^5}} \right] \\
&= \frac{15}{8} \sqrt{\frac{\pi}{a^7}}
\end{aligned} \tag{B.7}$$

En contraste, las integrales $\int_{-\infty}^\infty x^{2n-1} \exp\{-ax^2\} dx$ son todas equivalentes a cero. La función x^{2n-1} es impar y $\exp\{-ax^2\}$, par. Por consiguiente, $x^{2n-1} \exp\{-ax^2\}$ es una función impar. Como cualquier integral de función impar con límites que difieren únicamente por un signo es nula, sigue que

$$\int_{-\infty}^{\infty} x^{2n-1} \exp\{-ax^2\} dx = 0 \quad \forall n \in \mathbb{N} \quad (\text{B.8})$$

En particular,

$$\int_{-\infty}^{\infty} x \exp\{-ax^2\} dx = \left[-\frac{1}{2a} \exp\{-ax^2\} \right] \Big|_{-\infty}^{\infty} \quad (\text{B.9})$$

$$\begin{aligned} \int_{-\infty}^{\infty} x^3 \exp\{-ax^2\} dx &= \int_{-\infty}^{\infty} x^2 x \exp\{-ax^2\} dx \\ &= \left[-\frac{x^2}{2a} \exp\{-ax^2\} \right] \Big|_{-\infty}^{\infty} - \int_{-\infty}^{\infty} -\frac{x}{a} \exp\{-ax^2\} dx \\ &= 0 \end{aligned} \quad (\text{B.10})$$

Conforme a [12], p. 25, una variable aleatoria normal o Gaussiana z con promedio μ y varianza σ^2 cuenta con función de densidad de probabilidad $p(z)$ dada por

$$p(z) = \frac{1}{\sqrt{2\pi\sigma^2}} \exp\left\{-\frac{(z-\mu)^2}{2\sigma^2}\right\} \quad (\text{B.11})$$

Por consiguiente, el momento central n $\langle (z-\mu)^n \rangle$ está definido como

$$\langle (z-\mu)^n \rangle = \int_{-\infty}^{\infty} (z-\mu)^n \frac{1}{\sqrt{2\pi\sigma^2}} \exp\left\{-\frac{(z-\mu)^2}{2\sigma^2}\right\} dz \quad (\text{B.12})$$

Considerando $\tilde{z} = z - \mu$ y $\alpha = \frac{1}{2\sigma^2}$, sigue que

$$\langle (z-\mu)^n \rangle = \frac{1}{\sqrt{2\pi\sigma^2}} \int_{-\infty}^{\infty} \tilde{z}^n \exp\{-\alpha\tilde{z}^2\} d\tilde{z} \quad (\text{B.13})$$

Entonces, las Ecuaciones B.5, B.6 y B.7 implican que

$$\langle (z-\mu)^2 \rangle = \frac{1}{\sqrt{2\pi\sigma^2}} \cdot \left(\frac{1}{2} \sqrt{\frac{\pi}{\alpha^3}} \right) = \sigma^2 \quad (\text{B.14})$$

$$\langle (z-\mu)^4 \rangle = \frac{1}{\sqrt{2\pi\sigma^2}} \cdot \left(\frac{3}{4} \sqrt{\frac{\pi}{\alpha^5}} \right) = 3\sigma^4 \quad (\text{B.15})$$

$$\langle (z-\mu)^6 \rangle = \frac{1}{\sqrt{2\pi\sigma^2}} \cdot \left(\frac{15}{8} \sqrt{\frac{\pi}{\alpha^7}} \right) = 15\sigma^6 \quad (\text{B.16})$$

También sería correcto afirmar que

$$\left(\frac{4}{3} \langle (z-\mu)^4 \rangle \right)^{\frac{1}{2}} = \left(\frac{4}{3} \cdot 3\sigma^4 \right)^{\frac{1}{2}} = 2\sigma^2 \quad (\text{B.17})$$

$$\langle (z-\mu)^6 \rangle = \frac{1}{\sqrt{2\pi\sigma^2}} \cdot \left(\frac{15}{8} \sqrt{\frac{\pi}{\alpha^7}} \right) = 15\sigma^6 \quad (\text{B.18})$$

Apéndice C

Demostración de identidad de balance detallado en rejilla de mapeo acoplado a grano grueso

Sea $z_k^{(i,j)}$ una variable aleatoria definida como

$$z_k^{(i,j)} = \begin{cases} z_{k,+1}^{(i,j)} = +1 & P\left(z_{k,+1}^{(i,j)}\right) = \frac{1}{2} \\ z_{k,-1}^{(i,j)} = -1 & P\left(z_{k,-1}^{(i,j)}\right) = \frac{1}{2} \end{cases} \quad (\text{C.1})$$

Esta variable sirve para marcar el sentido de la transición k entre dos estados (i, j) que presenta una rejilla de mapeo acoplado a grano grueso dotada de balance detallado durante su evolución, es decir, indica si el sistema experimenta una transición $i \rightarrow j$ o una transición $j \rightarrow i$. Dadas $N^{(i,j)}$ transiciones entre el par de estados (i, j) , la diferencia $\Delta^{(i,j)}$ puede expresarse como

$$\Delta^{(i,j)} = \sum_{k=1}^{N^{(i,j)}} z_k^{(i,j)} \quad (\text{C.2})$$

Conforme a las Ecuaciones A.1 y A.5, la definición de $z_k^{(i,j)}$ implica que

$$\begin{aligned} \langle z_k^{(i,j)} \rangle &= \sum_x z_{k,x}^{(i,j)} P\left(z_{k,x}^{(i,j)}\right) \\ &= z_{k,+1}^{(i,j)} P\left(z_{k,+1}^{(i,j)}\right) + z_{k,-1}^{(i,j)} P\left(z_{k,-1}^{(i,j)}\right) \\ &= (1) \left(\frac{1}{2}\right) + (-1) \left(\frac{1}{2}\right) \\ &= 0 \end{aligned} \quad (\text{C.3})$$

$$\begin{aligned}
\left\langle \left(z_k^{(i,j)} \right)^2 \right\rangle &= \sum_x \left(z_{k,x}^{(i,j)} \right)^2 P \left(z_{k,x}^{(i,j)} \right) \\
&= \left(z_{k,+1}^{(i,j)} \right)^2 P \left(z_{k,+1}^{(i,j)} \right) + \left(z_{k,-1}^{(i,j)} \right)^2 P \left(z_{k,-1}^{(i,j)} \right) \\
&= (1)^2 \left(\frac{1}{2} \right) + (-1)^2 \left(\frac{1}{2} \right) \\
&= 1
\end{aligned} \tag{C.4}$$

$$\begin{aligned}
\text{Var} \left[z_k^{(i,j)} \right] &= \left\langle \left(z_k^{(i,j)} \right)^2 \right\rangle - \left\langle z_k^{(i,j)} \right\rangle^2 \\
&= 1
\end{aligned} \tag{C.5}$$

A continuación, propongo dos formas distintas de estimar el factor $\left\langle \left(\frac{\Delta^{(i,j)}}{N} \right)^2 \right\rangle$ asumiendo que el sistema CG-CML presenta balance detallado y la naturaleza de sus transiciones está debidamente representada en la variable $z_k^{(i,j)}$.

C.1. Demostración 1

Estableciendo que $N^{(i,j)} = N$, la Ecuación A.2 asegura que

$$\left\langle \left(\frac{\Delta^{(i,j)}}{N} \right)^2 \right\rangle = \frac{1}{N^2} \left\langle (\Delta^{(i,j)})^2 \right\rangle \tag{C.6}$$

Conforme a la definición de la diferencia $\Delta^{(i,j)}$ (Ecuación C.2), sigue que

$$\begin{aligned}
\left\langle (\Delta^{(i,j)})^2 \right\rangle &= \left\langle \left(\sum_k z_k^{(i,j)} \right)^2 \right\rangle = \left\langle \left(z_1^{(i,j)} + \dots + z_N^{(i,j)} \right) \left(z_1^{(i,j)} + \dots + z_N^{(i,j)} \right) \right\rangle \\
&= \left\langle \sum_k \left(z_k^{(i,j)} \right)^2 + \sum_l \sum_{m(m \neq l)} z_l^{(i,j)} z_m^{(i,j)} \right\rangle
\end{aligned} \tag{C.7}$$

Considerando que cada transición (y su correspondiente $z_k^{(i,j)}$) es independiente de las demás, las Ecuaciones A.7 y A.9 garantizan que

$$\begin{aligned}
\langle (\Delta^{(i,j)})^2 \rangle &= \left\langle \sum_k^N (z_k^{(i,j)})^2 \right\rangle + \left\langle \sum_l^N \sum_{m(m \neq l)}^N z_l^{(i,j)} z_m^{(i,j)} \right\rangle \\
&= \sum_k^N \langle (z_k^{(i,j)})^2 \rangle + \sum_l^N \sum_{m(m \neq l)}^N \langle z_l^{(i,j)} z_m^{(i,j)} \rangle \\
&= \sum_k^N \langle (z_k^{(i,j)})^2 \rangle + \sum_l^N \sum_{m(m \neq l)}^N \langle z_l^{(i,j)} \rangle \langle z_m^{(i,j)} \rangle
\end{aligned} \tag{C.8}$$

Con las Ecuaciones C.3 y C.4, es posible afirmar que

$$\langle (\Delta^{(i,j)})^2 \rangle = \sum_k^N \langle 1 \rangle + \sum_l^N \sum_{m(m \neq l)}^N (0) \cdot (0) = N \tag{C.9}$$

Así, es correcto afirmar que

$$\left\langle \left(\frac{\Delta^{(i,j)}}{N} \right)^2 \right\rangle = \frac{1}{N^2} \cdot N = N^{-1} \tag{C.10}$$

C.2. Demostración 2

Con la Ecuación A.5, el factor $\left\langle \left(\frac{\Delta^{(i,j)}}{N} \right)^2 \right\rangle$ puede expresarse (bajo la misma constricción usada en la demostración anterior) como

$$\begin{aligned}
\left\langle \left(\frac{\Delta^{(i,j)}}{N} \right)^2 \right\rangle &= \frac{1}{N^2} \langle (\Delta^{(i,j)})^2 \rangle \\
&= \frac{1}{N^2} \left[\text{Var} [\Delta^{(i,j)}] + \langle \Delta^{(i,j)} \rangle^2 \right]
\end{aligned} \tag{C.11}$$

Por un lado, la Ecuación A.11, junto con las definiciones de $\Delta^{(i,j)}$ (Ecuación C.2) y la varianza de $z_k^{(i,j)}$ (Ecuación C.5), implica que

$$\begin{aligned}
\text{Var} [\Delta^{(i,j)}] &= \text{Var} \left[\sum_{k=1}^N z_k^{(i,j)} \right] \\
&= \sum_{k=1}^N \text{Var} [z_k^{(i,j)}] \\
&= \sum_{k=1}^N 1 = N
\end{aligned} \tag{C.12}$$

Por el otro, la Ecuación A.9 y el valor del promedio de $z_k^{(i,j)}$ (Ecuación C.3) sugieren que

$$\begin{aligned}
 \langle \Delta^{(i,j)} \rangle^2 &= \left\langle \sum_{k=1}^N z_k^{(i,j)} \right\rangle^2 \\
 &= \left(\sum_{k=1}^N \langle z_k^{(i,j)} \rangle \right)^2 \\
 &= \left(\sum_{k=1}^N (0) \right)^2 = 0
 \end{aligned} \tag{C.13}$$

Por lo tanto, resulta que

$$\left\langle \left(\frac{\Delta^{(i,j)}}{N} \right)^2 \right\rangle = \frac{1}{N^2} [N + 0] = N^{-1} \tag{C.14}$$

Apéndice D

Código para prueba de ergodicidad en rejilla de mapeo acoplado

```
1 import sys
2 import random
3 import numpy as np
4 import networkx as nx
5 import matplotlib.pyplot as plt
6
7 #####
8 #####
9
10 ### CÁLCULO DE DISTANCIAS ENTRE DOS ELEMENTOS DE UNA REJILLA CUADRADA
11     BIDIMENSIONAL DOTADA DE CONDICIONES DE FRONTERA PERIÓDICAS
12 def calc_dist(loc1, loc2, longitud):
13     distx = loc1[0] - loc2[0]
14     disty = loc1[1] - loc2[1]
15     dist1 = (distx ** 2 + disty ** 2) ** (1 / 2)
16     dist2 = ((distx - longitud) ** 2 + disty ** 2) ** (1 / 2)
17     dist3 = ((distx + longitud) ** 2 + disty ** 2) ** (1 / 2)
18     dist4 = (distx ** 2 + (disty - longitud) ** 2) ** (1 / 2)
19     dist5 = (distx ** 2 + (disty + longitud) ** 2) ** (1 / 2)
20     dist6 = ((distx + longitud) ** 2 + (disty + longitud) ** 2) ** (1 / 2)
21     dist7 = ((distx - longitud) ** 2 + (disty + longitud) ** 2) ** (1 / 2)
22     dist8 = ((distx - longitud) ** 2 + (disty - longitud) ** 2) ** (1 / 2)
23     dist9 = ((distx + longitud) ** 2 + (disty - longitud) ** 2) ** (1 / 2)
24     lista_distancias = [dist1, dist2, dist3, dist4, dist5, dist6, dist7, dist8
25         , dist9]
26     distancia = min(lista_distancias)
27     return distancia
28
29 ### INICIACIÓN DE GRÁFICA PARA SISTEMA CML
30 def ini_graf(longitud):
31     grafica = nx.Graph()
32     # Definición de nodos
33     num_sitios = longitud ** 2
34     for sitio in range(num_sitios):
35         grafica.add_node(sitio, u = random.uniform(-1, 1))
36     # Definición de bordes
37     lista_edges = []
38     for sitio1 in range(num_sitios):
39         for sitio2 in range(num_sitios):
40             if sitio2 == sitio1:
```

```

39     continue
40     coord1 = (sitio1 % longitud, sitio1 // longitud)
41     coord2 = (sitio2 % longitud, sitio2 // longitud)
42     distancia = calc_dist(coord1, coord2, longitud)
43     lista_edges.append((sitio1, sitio2, {'path_distance': distancia}))
44 grafica.add_edges_from(lista_edges)
45 return grafica
46
47 ### CÁLCULO DE PRIMEROS VECINOS DE UN NODO EN UNA GRÁFICA CON BORDES DOTADOS
    DE ATRIBUTOS EQUIVALENTES A LAS DISTANCIAS ENTRE LOS SITIOS QUE LOS
    DEFINEN
48 def primeros_vecinos(grafica, nodo):
49     # Lista de posibles distancias
50     lista_dist = []
51     for vec1, datos1 in grafica.adj[nodo].items():
52         for keys1, dists1 in datos1.items():
53             lista_dist.append(dists1)
54     min_dist = min(lista_dist)
55     # Lista de sitios a distancia mínima (primeros vecinos)
56     lista_1v = []
57     for vec2, datos2 in grafica.adj[nodo].items():
58         for keys2, dists2 in datos2.items():
59             if dists2 == min_dist:
60                 lista_1v.append(vec2)
61     return lista_1v
62
63 ### MAPEO PHI
64 def phi(valor_t):
65     if -1 <= valor_t < -1 / 3.:
66         valor_tt = (-3 * valor_t) - 2
67     elif -1 / 3. <= valor_t < 1 / 3.:
68         valor_tt = 3 * valor_t
69     elif 1 / 3. <= valor_t <= 1:
70         valor_tt = (-3 * valor_t) + 2
71     return valor_tt
72
73 ### EVOLUCIÓN TEMPORAL DE LA GRÁFICA
74 def ev_temp(num_iter, trans, x0, g_acople, grafica, lista_1vecinos, guardar)
    :
75     print('INICIO DE EVOLUCION TEMPORAL')
76     lista_sitios = list(grafica.nodes())
77     tenth_progress = int(num_iter / 10)
78     # Guardar evolución de 'u'
79     if guardar == True:
80         arr_promtemp = np.zeros((num_iter - trans))
81         for iteracion1 in range(num_iter):
82             if iteracion1 % tenth_progress == 0:
83                 print('*')
84                 # Gráfica auxiliar con valores de 'u' de siguiente iteración
85                 grafica_holder1 = nx.Graph()
86                 for sitio1a in lista_sitios:
87                     grafica_holder1.add_node(sitio1a, u = 0)
88                     sum1vec1 = 0
89                     for vecino1 in lista_1vecinos[sitio1a][1]:
90                         dif_u1 = phi(grafica.nodes[vecino1]['u']) - phi(grafica.nodes[
91                             sitio1a]['u'])
92                         sum1vec1 = sum1vec1 + dif_u1

```

```

92     grafica_holder1.nodos[sitio1a]['u'] = phi(grafica.nodos[sitio1a]['u'
93 ]) + g_acople * sum1vec1
94     # Actualización de gráfica "original"
95     for sitio1b in lista_sitios:
96         grafica.nodos[sitio1b]['u'] = grafica_holder1.nodos[sitio1b]['u']
97         if iteracion1 <= trans - 1:
98             continue
99         arr_promtemp[iteracion1 - trans] = grafica.nodos[x0]['u']
100     print('FIN DE EVOLUCION TEMPORAL')
101     return grafica, arr_promtemp
102 # Sin guardar evolución de 'u'
103 else:
104     for iteracion2 in range(num_iter):
105         if iteracion2 % tenth_progress == 0:
106             print('*')
107             # Gráfica auxiliar
108             grafica_holder2 = nx.Graph()
109             for sitio2a in lista_sitios:
110                 grafica_holder2.add_node(sitio2a, u = 0)
111                 sum1vec2 = 0
112                 for vecino2 in lista_1vecinos[sitio2a][1]:
113                     dif_u2 = phi(grafica.nodos[vecino2]['u']) - phi(grafica.nodos[
sitio2a]['u'])
114                     sum1vec2 = sum1vec2 + dif_u2
115                 grafica_holder2.nodos[sitio2a]['u'] = phi(grafica.nodos[sitio2a]['u'
116 ]) + g_acople * sum1vec2
117             # Actualización de gráfica
118             for sitio2b in lista_sitios:
119                 grafica.nodos[sitio2b]['u'] = grafica_holder2.nodos[sitio2b]['u']
120             print('FIN DE EVOLUCION TEMPORAL')
121             return grafica
122 #####
123
124 ### DEFINICIÓN DE PARÁMETROS DE SIMULACIÓN
125 # Selección aleatoria de semilla
126 s = random.randrange(sys.maxsize)
127 # Definición de otros parámetros
128 L = int(input('Ingresa la longitud de la rejilla CML (entero): '))
129 g = float(input('Ingresa la constante de acoplamiento (real positivo con
tres decimales): '))
130 N_iter = int(input('Ingresa el total de iteraciones (entero): '))
131 transient = int(input('Ingresa el valor de transient (entero): '))
132 site_x0 = int(random.randrange(0, int(L**2), 1))
133 N_ensembles = int(input('Ingresa el total de sistemas que conforman el
ensamble (entero): '))
134
135 ### GENERACIÓN DE GRÁFICA Y LISTA CON PRIMEROS VECINOS
136 # Iniciación de generador de números aleatorios
137 random.seed(s)
138 # Definición de gráfica y lista con primeros vecinos
139 lattice = ini_graf(L)
140 list_1neighbors = []
141 for site in range(L**2):
142     list1v = primeros_vecinos(lattice, site)
143     list_1neighbors.append((site, list1v))
144

```

```

145 ### DISTRIBUCIÓN DE VARIABLE 'U' EN UN SITIO PARTICULAR TRAS MÚLTIPLES
    ITERACIONES, CONSIDERANDO UN SISTEMA
146 safe_timeavg = True
147 lattice, arr_timeavg = ev_temp(N_iter, transient, site_x0, g, lattice,
    list_1neighbors, safe_timeavg)
148
149 fname_timeavg = 'tesis_Egolf_ergodicidad_L%(length)i_g%(coupling).3f_Niter%(
    iterations).3e_trans%(trans).3e_seed%(seed)i_site%(site)i_timeavg.txt'
150 dict_fname_timeavg = {'length': L, 'coupling': g, 'iterations': N_iter, '
    trans': transient, 'site': site_x0, 'seed': s}
151 np.savetxt(fname_timeavg % dict_fname_timeavg, arr_timeavg)
152
153 print('Evolución de sistema completada')
154
155 # Distribución de variable 'u' en un sitio particular tras múltiples
    iteraciones, considerando un ensamble
156 safe_ensembleavg = True
157 arr_ensembleavg = np.zeros((N_ensembles, (N_iter - transient)))
158 for sys in range(N_ensembles):
159     lattice = ini_graf(L)
160     lattice, arr_ensemble_holder = ev_temp(N_iter, transient, site_x0, g,
    lattice, list_1neighbors, safe_ensembleavg)
161     arr_ensembleavg[sys] = arr_ensemble_holder
162 arr_ensembleavg = arr_ensembleavg.flatten()
163
164 fname_ensavg = 'tesis_Egolf_ergodicidad_L%(length)i_g%(coupling).3f_Niter%(
    iterations).3e_trans%(trans).3e_seed%(seed)i_site%(site)i_Nens%(ens)
    i_ensavg.txt'
165 dict_fname_ensavg = {'length': L, 'coupling': g, 'iterations': N_iter, '
    trans': transient, 'site': site_x0, 'ens': N_ensembles, 'seed': s}
166 np.savetxt(fname_ensavg % dict_fname_ensavg, arr_ensembleavg)
167
168 print('Evolución de ensamble completada')
169
170 # Iniciación de rejilla CML para prueba de self-averaging
171 L2 = int(2*L)
172 lattice2 = ini_graf(L2)
173 list_1neighbors2 = []
174 for site2 in range(L2**2):
175     list1v2 = primeros_vecinos(lattice2, site2)
176     list_1neighbors2.append((site2, list1v2))
177
178 # Distribución de variable 'u' en un sistema a un tiempo fijo
179 safe_selfavg = False
180 lattice2 = ev_temp(N_iter, transient, site_x0, g, lattice2, list_1neighbors2
    , safe_selfavg)
181 arr_selfavg = np.zeros(L2**2)
182 for site in range(L2**2):
183     arr_selfavg[site] = lattice2.nodes[site]['u']
184
185 fname_selfavg = 'tesis_Egolf_ergodicidad_L%(length)i_g%(coupling).3f_Niter%(
    iterations).3e_trans%(trans).3e_seed%(seed)i_selfavg.txt'
186 dict_fname_selfavg = {'length': L, 'coupling': g, 'iterations': N_iter, '
    trans': transient, 'seed': s}
187 np.savetxt(fname_selfavg % dict_fname_selfavg, arr_selfavg)
188
189 print('Prueba de self-averaging completada')
190

```

```

191 # Gráfica con resultados de ergodicidad y self-averaging
192 plt.figure(1)
193 fig1, (ax1A, ax1B, ax1C) = plt.subplots(nrows = 1, ncols = 3, figsize =
      (30,10))
194 plt.tight_layout(pad=4, h_pad=4, w_pad=6)
195
196 hist_time, bins_time = np.histogram(arr_timeavg, range = (-1, 1))
197 hist_ens, bins_ens = np.histogram(arr_ensembleavg, range = (-1, 1))
198 hist_self, bins_self = np.histogram(arr_selfavg, range = (-1,1))
199
200 ax1A.hist(bins_time[:-1], bins_time, weights = hist_time, density = True)
201 ax1A.set_title('Distribución de ' + r'$u_{\vec{x}_{0}}^{t}$' + ' con un
      sistema de %(lo)i x %(lo)i sitios ' % {'lo': L} + r'$(\vec{x}_{0} = %(
      siteref)i) $' % {'siteref': site_x0}, size=16)
202 ax1A.set_ylabel('dP(u)', size=15)
203 ax1A.set_xlabel('u', size=15)
204 for tick in ax1A.xaxis.get_major_ticks():
205     tick.label.set_fontsize(14)
206 for tick in ax1A.yaxis.get_major_ticks():
207     tick.label.set_fontsize(14)
208
209 ax1B.hist(bins_ens[:-1], bins_ens, weights = hist_ens, density = True)
210 ax1B.set_title('Distribución de ' + r'$u_{\vec{x}_{0}}^{t}$' + ' con un
      ensamble de %(Nens)i sistemas de %(lo)i x %(lo)i sitios' % {'Nens':
      N_ensembles, 'lo': L}, size=16)
211 ax1B.set_ylabel('dP(u)', size=15)
212 ax1B.set_xlabel('u', size=15)
213 for tick in ax1B.xaxis.get_major_ticks():
214     tick.label.set_fontsize(14)
215 for tick in ax1B.yaxis.get_major_ticks():
216     tick.label.set_fontsize(14)
217
218 ax1C.hist(bins_self[:-1], bins_self, weights = hist_self, density = True)
219 ax1C.set_title('Distribución de ' + r'$u_{\vec{x}}^{t_{0}}$' + ' sobre un
      sistema de %(lo)i x %(lo)i sitios ' % {'lo': L2} + r'$(t_{0} = %(tiempo)
      .2e) $' % {'tiempo': N_iter}, size=16)
220 ax1C.set_ylabel('dP(u)', size=15)
221 ax1C.set_xlabel('u', size=15)
222 for tick in ax1C.xaxis.get_major_ticks():
223     tick.label.set_fontsize(14)
224 for tick in ax1C.yaxis.get_major_ticks():
225     tick.label.set_fontsize(14)
226
227 imgname = 'tesis_Egolf_ergodicidad_L%(length)i_g%(coupling).3f_Niter%(
      iterations).3e_trans%(trans).3e_seed%(seed)i_site%(site)i_Nens%(ens)
      i_Graph.png'
228 dict_imgname = {'length': L, 'coupling': g, 'iterations': N_iter, 'trans':
      transient, 'site': site_x0, 'ens': N_ensembles, 'seed': s}
229 plt.savefig(imgname % dict_imgname)
230
231 print('Programa concluido')

```

Apéndice E

Gráficas de simulaciones para prueba de *self-averaging*

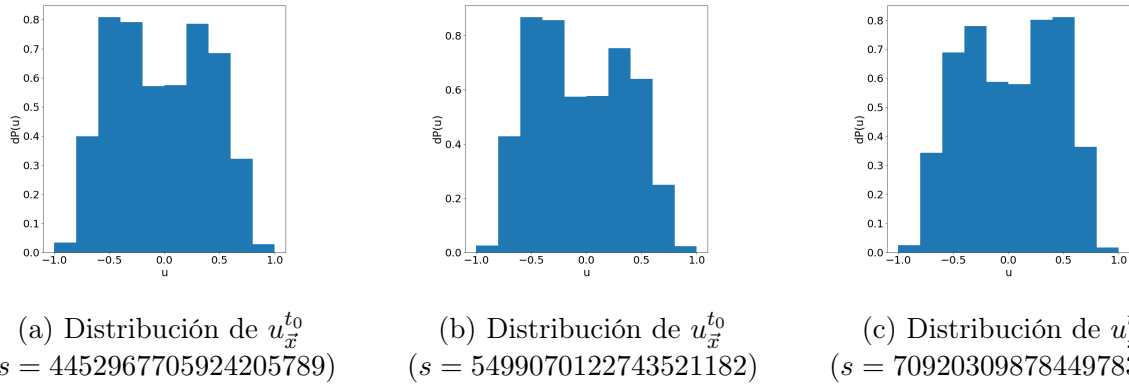


Figura E.1: Distribuciones de u para rejillas de mapeo acoplado de 64×64 sitios y acoplamiento $g = 0.195$ para diferentes semillas s . Las mediciones de ‘ u ’ son efectuadas sobre el sistema completo al final de una evolución temporal de 2×10^5 iteraciones y un periodo transitorio de 10^3 .

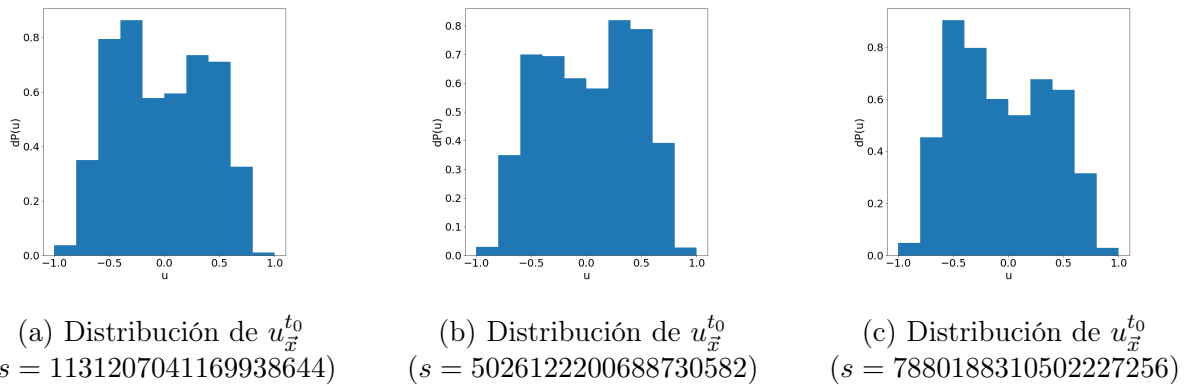
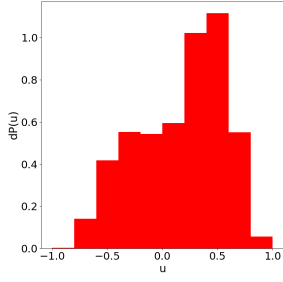
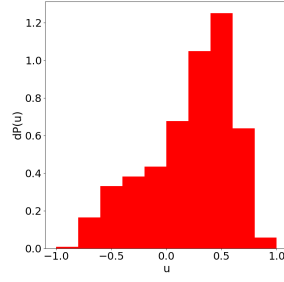


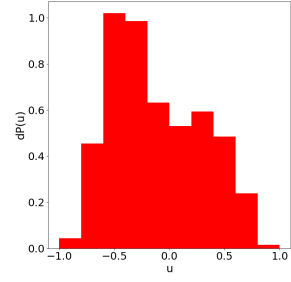
Figura E.2: Distribuciones de u para rejillas de mapeo acoplado de 64×64 sitios y acoplamiento $g = 0.195$ para diferentes semillas s . Las mediciones de ‘ u ’ son efectuadas sobre el sistema completo al final de una evolución temporal de 2×10^5 iteraciones y un periodo transitorio de 10^4 .



(a) Distribución de $u_{\vec{x}}^{t_0}$
($s = 4536755601090925278$)

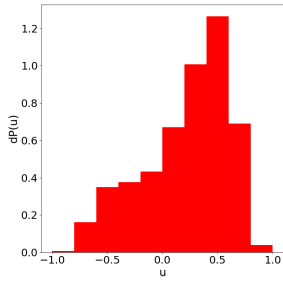


(b) Distribución de $u_{\vec{x}}^{t_0}$
($s = 5535795909422011662$)

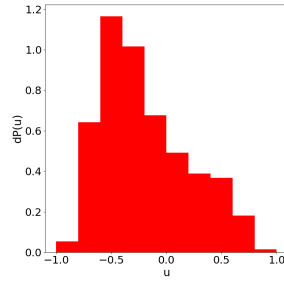


(c) Distribución de $u_{\vec{x}}^{t_0}$
($s = 9202787456869569904$)

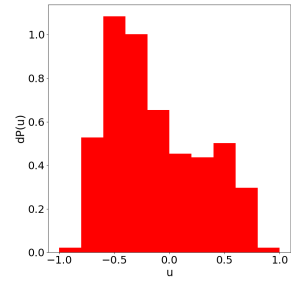
Figura E.3: Distribuciones de u para rejillas de mapeo acoplado de 64×64 sitios y acoplamiento $g = 0.204$ para diferentes semillas s . Las mediciones de ‘ u ’ son efectuadas sobre el sistema completo al final de una evolución temporal de 2×10^5 iteraciones y un periodo transitorio de 10^3 .



(a) Distribución de $u_{\vec{x}}^{t_0}$
($s = 3340065878112466252$)



(b) Distribución de $u_{\vec{x}}^{t_0}$
($s = 5805019659907812561$)



(c) Distribución de $u_{\vec{x}}^{t_0}$
($s = 6378689186825912380$)

Figura E.4: Distribuciones de u para rejillas de mapeo acoplado de 64×64 sitios y acoplamiento $g = 0.204$ para diferentes semillas s . Las mediciones de ‘ u ’ son efectuadas sobre el sistema completo al final de una evolución temporal de 2×10^5 iteraciones y un periodo transitorio de 10^4 .

Apéndice F

Código para determinar comportamiento de los momentos de d

```
1 import random
2 import numpy as np
3 import networkx as nx
4 import matplotlib.pyplot as plt
5 import scipy
6 from scipy.stats import moment
7
8 #####
9 #####
10
11 ### CÁLCULO DE DISTANCIAS ENTRE DOS ELEMENTOS DE UNA REJILLA CUADRADA
12     BIDIMENSIONAL DOTADA DE CONDICIONES DE FRONTERA PERIÓDICAS
13 def calc_dist(loc1, loc2, longitud):
14     distx = loc1[0] - loc2[0]
15     disty = loc1[1] - loc2[1]
16     dist1 = (distx ** 2 + disty ** 2) ** (1 / 2)
17     dist2 = ((distx - longitud) ** 2 + disty ** 2) ** (1 / 2)
18     dist3 = ((distx + longitud) ** 2 + disty ** 2) ** (1 / 2)
19     dist4 = (distx ** 2 + (disty - longitud) ** 2) ** (1 / 2)
20     dist5 = (distx ** 2 + (disty + longitud) ** 2) ** (1 / 2)
21     dist6 = ((distx + longitud) ** 2 + (disty + longitud) ** 2) ** (1 / 2)
22     dist7 = ((distx - longitud) ** 2 + (disty + longitud) ** 2) ** (1 / 2)
23     dist8 = ((distx - longitud) ** 2 + (disty - longitud) ** 2) ** (1 / 2)
24     dist9 = ((distx + longitud) ** 2 + (disty - longitud) ** 2) ** (1 / 2)
25     lista_distancias = [dist1, dist2, dist3, dist4, dist5, dist6, dist7, dist8
26         , dist9]
27     distancia = min(lista_distancias)
28     return distancia
29
30 ### INICIACIÓN DE GRÁFICA PARA SISTEMA CML
31 def ini_graf(longitud):
32     grafica = nx.Graph()
33     # Definición de nodos
34     num_sitios = longitud ** 2
35     for sitio in range(num_sitios):
36         grafica.add_node(sitio, u = random.uniform(-1, 1))
37     # Definición de bordes
38     lista_edges = []
39     for sitio1 in range(num_sitios):
40         for sitio2 in range(num_sitios):
```

```

39     if sitio2 == sitio1:
40         continue
41     coord1 = (sitio1 % longitud, sitio1 // longitud)
42     coord2 = (sitio2 % longitud, sitio2 // longitud)
43     distancia = calc_dist(coord1, coord2, longitud)
44     lista_edges.append((sitio1, sitio2, {'path_distance': distancia}))
45 grafica.add_edges_from(lista_edges)
46 return grafica
47
48 ### CÁLCULO DE PRIMEROS VECINOS DE UN NODO EN UNA GRÁFICA CON BORDES DOTADOS
    DE ATRIBUTOS EQUIVALENTES A LAS DISTANCIAS ENTRE LOS SITIOS QUE LOS
    DEFINEN
49 def primeros_vecinos(grafica, nodo):
50     # Lista de posibles distancias
51     lista_dist = []
52     for vec1, datos1 in grafica.adj[nodo].items():
53         for keys1, dists1 in datos1.items():
54             lista_dist.append(dists1)
55     min_dist = min(lista_dist)
56     # Lista de sitios a distancia mínima (primeros vecinos)
57     lista_1v = []
58     for vec2, datos2 in grafica.adj[nodo].items():
59         for keys2, dists2 in datos2.items():
60             if dists2 == min_dist:
61                 lista_1v.append(vec2)
62     return lista_1v
63
64 ### MAPEO PHI
65 def phi(valor_t):
66     if -1 <= valor_t < -1 / 3.:
67         valor_tt = (-3 * valor_t) - 2
68     elif -1 / 3. <= valor_t < 1 / 3.:
69         valor_tt = 3 * valor_t
70     elif 1 / 3. <= valor_t <= 1:
71         valor_tt = (-3 * valor_t) + 2
72     return valor_tt
73
74 ### EVOLUCIÓN TEMPORAL DE LA GRÁFICA (Y CÁLCULO DE PROMEDIO ESPACIAL DE U
    PARA CADA ITERACIÓN)
75 def ev_temp(num_iter, trans, g_acople, grafica, lista_1vecinos):
76     print('INICIO DE EVOLUCION TEMPORAL')
77     lista_sitios = list(grafica.nodes())
78     tenth_progress = int(num_iter / 10)
79     for iteracion1 in range(num_iter):
80         # Marcador de progreso
81         if iteracion1 % tenth_progress == 0:
82             print('*')
83         # Gráfica auxiliar con valores de 'u' de siguiente iteración
84         grafica_holder1 = nx.Graph()
85         for sitio1a in lista_sitios:
86             grafica_holder1.add_node(sitio1a, u = 0)
87             sum1vec1 = 0
88             for vecino1 in lista_1vecinos[sitio1a][1]:
89                 dif_u1 = phi(grafica.nodes[vecino1]['u']) - phi(grafica.nodes[
sitio1a]['u'])
90                 sum1vec1 = sum1vec1 + dif_u1
91             grafica_holder1.nodes[sitio1a]['u'] = phi(grafica.nodes[sitio1a]['u'])
+ g_acople * sum1vec1

```

```

92     # Actualización de gráfica "original"
93     for sitio1b in lista_sitios:
94         grafica.nodos[sitio1b]['u'] = grafica_holder1.nodos[sitio1b]['u']
95         if iteracion1 <= trans - 1:
96             continue
97     print('FIN DE EVOLUCION TEMPORAL')
98     return grafica
99
100 ### IDENTIFICACIÓN DE LA SUBREJILLA A LA QUE PERTENECE UN SITIO PARTICULAR
    DE LA REJILLA
101 def ord_subrejilla(sitio, longitud, grano):
102     coord_sitio = (sitio % longitud, sitio // longitud)
103     coord_subrejilla = (coord_sitio[0] // grano, coord_sitio[1] // grano)
104     r = longitud /grano
105     num_subrejilla = int(coord_subrejilla[0] + coord_subrejilla[1]*r)
106     return num_subrejilla
107
108 ### CÁLCULO DE <|u|> PARA TODAS LAS SUBREJILLAS ASOCIADAS A UNA GRÁFICA
109 def calc_uG(grafica,grano):
110     num_sitios = len(list(grafica.nodos))
111     largo = num_sitios ** (1/2.)
112     total_subrejillas = int(num_sitios // (grano**2))
113     arr_absgrano = np.zeros(total_subrejillas)
114     arr_numgrano = np.zeros(total_subrejillas)
115     for sitio in range(num_sitios):
116         num_subrejilla = ord_subrejilla(sitio, largo, grano)
117         arr_absgrano[num_subrejilla] = arr_absgrano[num_subrejilla] + abs(
grafica.nodos[sitio]['u'])
118         arr_numgrano[num_subrejilla] = arr_numgrano[num_subrejilla] + 1
119     arr_promabsgrano = np.zeros(total_subrejillas)
120     for subrejilla in range(total_subrejillas):
121         arr_promabsgrano[subrejilla] = arr_absgrano[subrejilla] / arr_numgrano[
subrejilla]
122     return arr_promabsgrano
123
124 #####
125 #####
126
127 ### DEFINICIÓN DE PARÁMETROS DE SIMULACIÓN
128 s = int(input('Ingresa la semilla para números aleatorios (entero): '))
129 L = int(input('Ingresa la longitud de la rejilla CML (entero): '))
130 g = float(input('Ingresa la constante de acoplamiento (real positivo con
tres decimales): '))
131 N_iter = int(input('Ingresa el total de iteraciones (entero): '))
132 transient = int(input('Ingresa el valor de transient (entero): '))
133 # Lista de granos
134 N_grains = int(input('Ingresa el total de longitudes de grano (entero): '))
135 G_values = np.zeros(N_grains)
136 for gr in range(N_grains):
137     G_values[gr] = int(input('Ingresa tamaño de grano (entero divisor de %(
length)i): ' % {'length': L}))
138 print(G_values)
139 # Lista de exponentes
140 N_moments = int(input('Ingresa el total de momentos (entero): '))
141 moments_values = np.zeros(N_moments)
142 for mom in range(N_moments):
143     moments_values[mom] = int(input('Ingresa el momento (entero): '))
144 print(moments_values)

```

```

145
146 ### GENERACIÓN DE GRÁFICA Y LISTA CON PRIMEROS VECINOS
147 # Iniciación de generador de números aleatorios
148 random.seed(s)
149 # Definición de gráfica y lista con primeros vecinos
150 lattice = ini_graf(L)
151 list_1neighbors = []
152 for site in range(L**2):
153     list1v = primeros_vecinos(lattice, site)
154     list_1neighbors.append((site, list1v))
155
156 ### EVOLUCIÓN TEMPORAL DE SISTEMA CML
157 lattice = ev_temp(N_iter, transient, g, lattice, list_1neighbors)
158
159 ### CÁLCULO DE MOMENTOS PARA DIFERENTES LONGITUDES DE SUBREJILLAS
160 # Arreglo para momentos calculados con SciPy
161 arr_moments_sci = np.zeros((N_grains, N_moments))
162 for counter_grain, G_size in enumerate(G_values):
163     arr_avgabsG = calc_uG(lattice, G_size)
164     for counter_moment, m_value in enumerate(moments_values):
165         # Cálculo con SciPy
166         arr_moments_sci[counter_grain][counter_moment] = moment(arr_avgabsG,
            moment=m_value)
167     print('Grano concluido: ' + str(float(counter_grain)))
168 # Almacenamiento
169 fname_sci = 'tesis_Egolf_DM_L%(length)i_g%(coupling).3f_Niter%(iterations).3
    e_trans%(trans).3e_seed%(seed)i_MomentsSciPy.txt'
170 np.savetxt(fname_sci % dict_fname, arr_moments_sci)
171
172 ### GRÁFICA CON MOMENTOS
173 plt.figure(1)
174 fig1, ax1B = plt.subplots(nrows = 1, ncols = 1, figsize = (10,10))
175 plt.tight_layout(pad=8, h_pad=4, w_pad=8)
176 #Transpuestas de arreglos con momentos
177 arr_moments_sci_graph = np.transpose(arr_moments_sci)
178 # Comportamiento esperado para momentos pares
179 max_G = max(G_values)
180 min_G = min(G_values)
181 fst_G = (max_G - min_G) / 2.
182 G_ref = np.arange(fst_G, max_G, 0.1)
183 s_ref = np.zeros(len(G_ref))
184 for gs in range(len(G_ref)):
185     s_ref[gs] = 1 / (G_ref[gs] ** 2)
186 # Gráfica con momentos calculados con SciPy
187 ax1B.set_yscale('log')
188 ax1B.set_ylabel(r'$\sigma^{\{2\}}$', fontsize=22)
189 ax1B.set_xscale('log')
190 ax1B.set_xlabel('Tamaño de grano ' + r'$\it{G}$', fontsize=22)
191 ax1B.tick_params(axis='both', which='major', labelsize=20)
192 ax1B.plot(G_values, 2*arr_moments_sci_graph[0], 'b--', label=r'$2 \langle d
    \rangle^{\{2\}} \langle \rangle^{\{2\}}$', markersize=18, linewidth=8)
193 ax1B.plot(G_values, (abs(arr_moments_sci_graph[1]))**(2/3.), 'bo:', label=r'
    $\langle d \rangle^{\{3\}} \langle \rangle^{\{2/3\}}$', markersize=18, linewidth=8)
194 ax1B.plot(G_values, (4*arr_moments_sci_graph[2]/3.)*(1/2.), 'rs:', label=r'
    $\left( 4 \langle d \rangle^{\{4\}} \langle \rangle / 3 \right)^{\{1/2\}}$', markersize=18,
        linewidth=8)
195 ax1B.plot(G_values, (8*arr_moments_sci_graph[3]/15.)*(1/3.), 'g--', label=
    r'$\left( 8 \langle d \rangle^{\{6\}} \langle \rangle / 15 \right)^{\{1/3\}}$', markersize=18,

```

```

    linewidth=8)
196 ax1B.plot(G_ref, s_ref, 'k-', label=r'$G^{-2}$', linewidth=6)
197 ax1B.legend(loc='lower left', fontsize=20)
198 # Almacenamiento
199 imgname = 'tesis_Egolf_DM_L%(length)i_g%(coupling).3f_Niter%(iterations).3
    e_trans%(trans).3e_seed%(seed)i_Graph_hbfs22.png'
200 dict_imgname = {'length': L, 'coupling': g, 'iterations': N_iter, 'trans':
    transient, 'seed': s}
201 plt.savefig(imgname % dict_imgname)
202
203 print('Programa concluido')

```

Apéndice G

Gráficas de simulaciones para prueba de comportamiento Gaussiano de momentos de desviaciones d

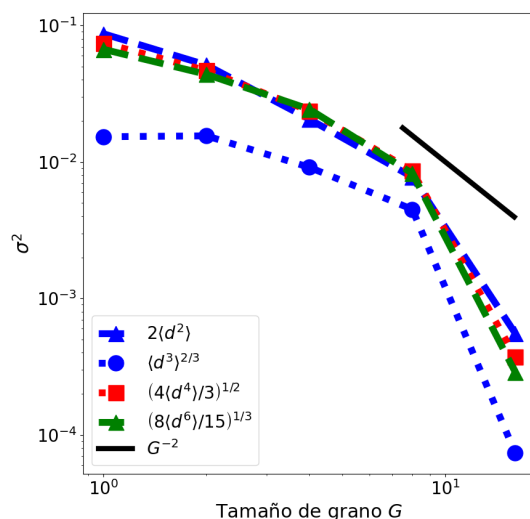


Figura G.1: Momentos de las desviaciones $d = (\langle |u| \rangle_G - \langle |u| \rangle_{x,t})$ (con factores de escala usados por Egolf) para una rejilla de mapeo acoplado de 32×32 sitios, con un acoplamiento $g = 0.195$ y granos de tamaño $G = [1, 2, 4, 8, 16]$. El promedio $\langle |u| \rangle_{x,t}$ fue calculado sobre un intervalo temporal de 2×10^5 iteraciones.

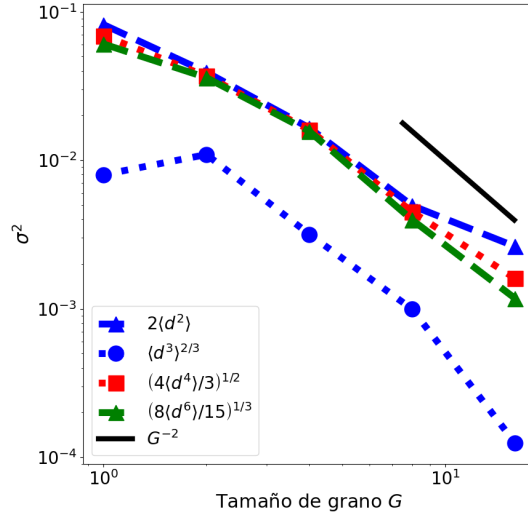


Figura G.2: Momentos de las desviaciones $d = (\langle |u| \rangle_G - \langle |u| \rangle_{x,t})$ (con factores de escala usados por Egolf) para una rejilla de mapeo acoplado de 32×32 sitios, con un acoplamiento $g = 0.195$ y granos de tamaño $G = [1, 2, 4, 8, 16]$. El promedio $\langle |u| \rangle_{x,t}$ fue calculado sobre un intervalo temporal de 5×10^5 iteraciones.

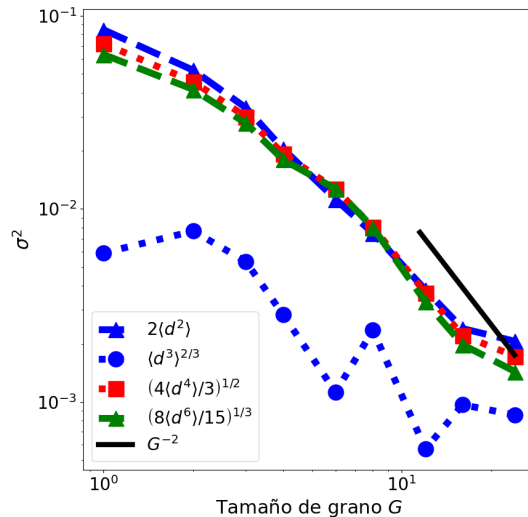


Figura G.3: Momentos de las desviaciones $d = (\langle |u| \rangle_G - \langle |u| \rangle_{x,t})$ (con factores de escala usados por Egolf) para una rejilla de mapeo acoplado de 48×48 sitios, con un acoplamiento $g = 0.195$ y granos de tamaño $G = [1, 2, 3, 4, 6, 8, 12, 16, 24]$. El promedio $\langle |u| \rangle_{x,t}$ fue calculado sobre un intervalo temporal de 2×10^5 iteraciones.

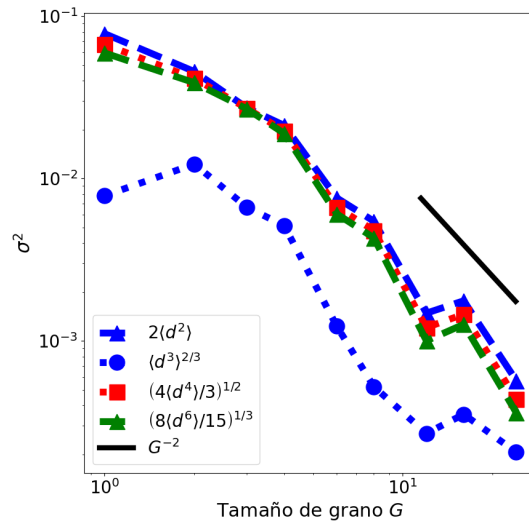


Figura G.4: Momentos de las desviaciones $d = (\langle |u| \rangle_G - \langle |u| \rangle_{x,t})$ (con factores de escala usados por Egolf) para una rejilla de mapeo acoplado de 48×48 sitios, con un acoplamiento $g = 0.195$ y granos de tamaño $G = [1, 2, 3, 4, 6, 8, 12, 16, 24]$. El promedio $\langle |u| \rangle_{x,t}$ fue calculado sobre un intervalo temporal de 5×10^5 iteraciones.

Apéndice H

Código para prueba de balance detallado en rejilla de mapeo acoplado a grano grueso

```
1 import sys
2 import matplotlib.pyplot as plt
3 import numpy as np
4 import networkx as nx
5 import random as rand
6 import json
7 import csv
8
9 #####
10 #####
11
12 ### CÁLCULO DE DISTANCIAS ENTRE ELEMENTOS DE REJILLA CML BAJO CONDICIONES DE
13     FRONTERA PERIÓDICA
14 def calc_dist(loc1,loc2,longitud):
15     dist1 = ((loc1[0] - loc2[0])**2 + (loc1[1] - loc2[1])**2)**(1/2)
16     dist2 = ((loc1[0] - longitud - loc2[0])**2 + (loc1[1] - loc2[1])**2)
17         *(1/2)
18     dist3 = ((loc1[0] + longitud - loc2[0])**2 + (loc1[1] - loc2[1])**2)
19         *(1/2)
20     dist4 = ((loc1[0] - loc2[0])**2 + (loc1[1] - longitud - loc2[1])**2)
21         *(1/2)
22     dist5 = ((loc1[0] - loc2[0])**2 + (loc1[1] + longitud - loc2[1])**2)
23         *(1/2)
24     dist6 = ((loc1[0] + longitud - loc2[0])**2 + (loc1[1] + longitud - loc2
25         [1])**2)**(1/2)
26     dist7 = ((loc1[0] - longitud - loc2[0])**2 + (loc1[1] + longitud - loc2
27         [1])**2)**(1/2)
28     dist8 = ((loc1[0] - longitud - loc2[0])**2 + (loc1[1] - longitud - loc2
29         [1])**2)**(1/2)
30     dist9 = ((loc1[0] + longitud - loc2[0])**2 + (loc1[1] - longitud - loc2
31         [1])**2)**(1/2)
32     lista_distancias = [dist1, dist2, dist3, dist4, dist5, dist6, dist7, dist8
33         , dist9]
34     distancia = min(lista_distancias)
35     return distancia
36
37 ### DEFINICIÓN DE GRÁFICA PARA REJILLA CML
```

```

28 def ini_graf(longitud):
29     grafica = nx.Graph()
30     num_sitios = longitud**2
31     # Definición de nodos
32     for sitio in range(num_sitios):
33         grafica.add_node(sitio, u = rand.uniform(-1,1))
34     # Definición de edges
35     lista_edges = []
36     for sitio1 in range(num_sitios):
37         for sitio2 in range(num_sitios):
38             if sitio2 == sitio1:
39                 continue
40             coord1 = (sitio1 % longitud, sitio1 // longitud)
41             coord2 = (sitio2 % longitud, sitio2 // longitud)
42             distancia = calc_dist(coord1,coord2,longitud)
43             lista_edges.append((sitio1,sitio2,{'path_distance': distancia}))
44     grafica.add_edges_from(lista_edges)
45     return grafica
46
47 ### CÁLCULO DE PRIMEROS VECINOS PARA UN NODO PARTICULAR EN LA GRÁFICA
48 def primeros_vecinos(graf,nodo):
49     lista_dist = []
50     for vec1, datos1 in graf.adj[nodo].items():
51         for keys1, dists1 in datos1.items():
52             lista_dist.append(dists1)
53     dist_min = min(lista_dist)
54     lista_1v = []
55     for vec2, datos2 in graf.adj[nodo].items():
56         for keys2, dists2 in datos2.items():
57             if dists2 == dist_min:
58                 lista_1v.append(vec2)
59     return dist_min, lista_1v
60
61 ### MAPEO PHI
62 def phi(valor_t):
63     if -1 <= valor_t < -1/3.:
64         valor_tt = (-3*valor_t) - 2
65     elif -1/3. <= valor_t < 1/3.:
66         valor_tt = 3*valor_t
67     elif 1/3. <= valor_t <= 1:
68         valor_tt = (-3*valor_t) + 2
69     return valor_tt
70
71 ### EVOLUCIÓN TEMPORAL DE LA REJILLA
72 def ev_temp(num_iter,trans,x0,g_acople,grafica,lista_1vecinos,guardar):
73     lista_sitios = list(grafica.nodes())
74     if guardar == True:
75         arr_promtemp = np.zeros((num_iter-trans))
76         for iteracion1 in range(num_iter):
77             grafica_holder1 = nx.Graph()
78             for sitio1 in lista_sitios:
79                 grafica_holder1.add_node(sitio1, u = 0)
80                 sum1vec1 = 0
81                 for vecino1 in lista_1vecinos[sitio1][1]:
82                     dif_u1 = phi(grafica.nodes[vecino1]['u']) - phi(grafica.nodes[
sitio1]['u'])
83                     sum1vec1 = sum1vec1 + dif_u1
84                     grafica_holder1.nodes[sitio1]['u'] = phi(grafica.nodes[sitio1]['u'])

```

```

+ g_acople*sum1vec1
85     for sitio1b in lista_sitios:
86         grafica.nodes[sitio1b]['u'] = grafica_holder1.nodes[sitio1b]['u']
87     if iteracion1 <= trans - 1:
88         continue
89     arr_promtemp[iteracion1 - trans] = grafica.nodes[x0]['u']
90     return grafica, arr_promtemp
91 else:
92     for iteracion2 in range(num_iter):
93         grafica_holder2 = nx.Graph()
94         for sitio2 in lista_sitios:
95             grafica_holder2.add_node(sitio2, u = 0)
96             sum1vec2 = 0
97             for vecino2 in lista_lvecinos[sitio2][1]:
98                 dif_u2 = phi(grafica.nodes[vecino2]['u']) - phi(grafica.nodes[
sitio2]['u'])
99                 sum1vec2 = sum1vec2 + dif_u2
100            grafica_holder2.nodes[sitio2]['u'] = phi(grafica.nodes[sitio2]['u'])
+ g_acople*sum1vec2
101        for sitio2b in lista_sitios:
102            grafica.nodes[sitio2b]['u'] = grafica_holder2.nodes[sitio2b]['u']
103        return grafica
104
105 ### IDENTIFICACIÓN DE LA SUBREJILLA DE GXG SITIOS A LA QUE PERTENECE UN
SITIO PARTICULAR
106 def ord_subrejilla(sitio, longitud, grano):
107     coord_sitio = (sitio % longitud, sitio // longitud)
108     coord_subrejilla = (coord_sitio[0]//grano, coord_sitio[1]//grano)
109     r = longitud/grano
110     num_subrejilla = int(coord_subrejilla[0] + coord_subrejilla[1]*r)
111     return num_subrejilla
112
113 ### FUNCIÓN SIGNO MODIFICADA
114 def sign_modif(arreglo_prom_espacial, intervalo, contador):
115     prom_st = np.sign(sum(arreglo_prom_espacial) / intervalo)
116     if prom_st == -1:
117         return 0, contador
118     elif prom_st == 1:
119         return 1, contador
120     elif prom_st == 0:
121         if contador == 0:
122             contador = 1
123             return 0, contador
124         elif contador == 1:
125             contador = 0
126             return 1, contador
127
128 #####
129 #####
130
131 ### BALANCE DETALLADO I - DEFINICIÓN DE REJILLA CML Y "TERMALIZACIÓN"
132 # Selección aleatoria de semilla
133 s = rand.randrange(sys.maxsize)
134 # Definición de otros parámetros
135 L = int(input('Ingresa la longitud de la rejilla (entero): '))
136 Gs = int(input('Ingresa el tamaño del grano (entero): '))
137 N_iter = int(input('Ingresa el total de iteraciones (entero): '))
138 transient = int(input('Ingresa el valor del transient (entero): '))

```

```

139 g = float(input('Ingresa la constante de acoplamiento (real con tres
    decimales): '))
140 DeltaT = int(input('Ingresa el periodo temporal DeltaT (entero): '))
141 N_turns = int(input('Ingresa el número de rondas (entero): '))
142 # Iniciación de generador de números aleatorios
143 rand.seed(s)
144 # Definición de gráfica y lista con primeros vecinos
145 G = ini_graf(L)
146 list_min_dist = []
147 list_1neighbors = []
148 for site in range(int(L**2)):
149     dist, list1v = primeros_vecinos(G,site)
150     list_min_dist.append(dist)
151     list_1neighbors.append((site,list1v))
152 # Evolución temporal de rejilla
153 safe_db = False
154 G = ev_temp(N_iter, transient, 0, g, G, list_1neighbors, safe_db)
155 print('Evolución temporal concluida')
156
157 # Balance Detallado II - Evolución temporal de rejilla a grano grueso
158 total_subG = (L**2) // (Gs**2)
159 arr_avgsubG = np.zeros(total_subG)
160 arr_finsubG = np.zeros(total_subG)
161 counter_zero = 0
162 arr_tavg_subG = np.zeros((total_subG,DeltaT))
163 #list_t_states = np.zeros(L**2)
164 list_CG_states = np.zeros(N_turns)
165
166 #fname_listofstates_t = "tesis_Egolf_baldet_L%(length)i_G%(grainsize)i_g%(
    coupling).3f_Niter%(iterations).3e_trans%(trans).3e_Nrondas%(turns).3
    e_seed%(seed)i_ListOfStates_t.csv"
167 fname_listofstates_CG = "tesis_Egolf_baldet_L%(length)i_G%(grainsize)i_g%(
    coupling).3f_Niter%(iterations).3e_trans%(trans).3e_Nrondas%(turns).3
    e_seed%(seed)i_ListOfStates_CG.txt"
168 dict_fname = {'length': L, 'grainsize': Gs, 'coupling': g, 'iterations':
    N_iter, 'trans': transient, 'turns': N_turns, 'seed': s}
169
170 tenth_progress = int(N_turns / 10)
171
172 for loop in range(N_turns):
173     # print('Inicio de Ronda: ' + str(float(loop)))
174     ind_progress = loop % tenth_progress
175     if ind_progress == 0:
176         print('.')
177     for t in range(DeltaT):
178         arr_subG = np.zeros(total_subG)
179         arr_nsub = np.zeros(total_subG)
180         # Cálculo de promedio espacial sobre subrejillas
181         for nod in range(L**2):
182             n_subG = ord_subrejilla(nod,L,Gs)
183             arr_subG[n_subG] = arr_subG[n_subG] + G.nodes[nod]['u']
184             arr_nsub[n_subG] = arr_nsub[n_subG] + 1
185         for subgrid in range(total_subG):
186             arr_avgsubG[subgrid] = arr_subG[subgrid] / arr_nsub[subgrid]
187         arr_tavg_subG[:,t] = arr_avgsubG
188         # Update de rejilla CML
189         graph_holder = nx.Graph()
190         for element in range(L**2):

```

```

191     graph_holder.add_node(element, u = 0)
192     sum_neighbors = 0
193     for nextnode in list_1neighbors[element][1]:
194         diff = phi(G.nodes[nextnode]['u']) - phi(G.nodes[element]['u'])
195         sum_neighbors = sum_neighbors + diff
196     graph_holder.nodes[element]['u'] = phi(G.nodes[element]['u']) + g *
sum_neighbors
197     for elementb in range(L**2):
198         G.nodes[elementb]['u'] = graph_holder.nodes[elementb]['u']
199     # Definición de lista de estados de rejilla "fina"
200 #     for elementc in range(L**2):
201 #         list_t_states[elementc] = graph_holder.nodes[elementc]['u']
202 #     with open(fname_listofstates_t % dict_fname, 'a') as t_states_file:
203 #         t_states_writer = csv.writer(t_states_file, delimiter=',', quotechar
="'", quoting=csv.QUOTE_MINIMAL)
204 #         t_states_writer.writerow(list_t_states)
205 # Cálculo de promedio temporal sobre intervalo DeltaT
206 for sg in range(total_subG):
207     arr_finsubG[sg], counter_zero = sign_modif(arr_tavg_subG[sg],DeltaT,
counter_zero)
208 # Definición de lista de estados de rejilla a grano grueso
209 sum_binary_id = 0
210 for entry in range(total_subG):
211     if arr_finsubG[entry] == 0:
212         continue
213     elif arr_finsubG[entry] == 1:
214         term = 2**(entry)
215         sum_binary_id = sum_binary_id + term
216 # print('Ronda ' + str(float(loop)) + ': ' + str(arr_finsubG))
217 list_CG_states[loop] = sum_binary_id
218
219 np.savetxt(fname_listofstates_CG % dict_fname, list_CG_states)
220 read_arr_CGstates = np.loadtxt(fname_listofstates_CG % dict_fname)
221
222 print("Evolución temporal de rejilla a grano grueso concluida")
223
224 # Balance Detallado III - Matriz de transiciones
225 matrix_transitions = np.zeros((2**(total_subG),2**(total_subG)))
226 for state in range(1,N_turns):
227     matrix_row = int(list_CG_states[state-1])
228     matrix_column = int(list_CG_states[state])
229     matrix_transitions[matrix_row][matrix_column] = matrix_transitions[
matrix_row][matrix_column] + 1
230
231 print("Matriz de transiciones definida")
232
233 # Balance Detallado IV - Diccionario para graficar promedios <(Delta/N)^2>
234 fname_dictorig = "tesis_Egolf_baldet_L%(length)i_G%(grainsize)i_g%(coupling)
.3f_Niter%(iterations).3e_trans%(trans).3e_Nrondas%(turns).3e_seed%(seed)
i_Dict_Original.txt"
235 dict_db = {}
236 for row in range(2**(total_subG) - 1):
237     for column in range(row + 1, 2**(total_subG)):
238         pos_trans = matrix_transitions[row][column]
239         neg_trans = matrix_transitions[column][row]
240         delta = pos_trans - neg_trans
241         total = pos_trans + neg_trans
242         if total == 0:

```

```

243     continue
244     key_total = 'a' + str(total)
245     if key_total in dict_db:
246         dict_db[key_total][0] = dict_db[key_total][0] + delta ** 2
247         dict_db[key_total][1] = dict_db[key_total][1] + 1
248     else:
249         dict_db[key_total] = [delta ** 2, 1]
250
251 with open(fname_dictorig % dict_fname, "w") as write_dicto:
252     json.dump(dict_db, write_dicto)
253
254 print("Diccionario 1 definido")
255
256 # Balance Detallado VI - Cálculo y gráfica de promedios <(Delta/N)^2> (
    Guardar Imagen)
257 M = len(read_dicto)
258 arr_dbo_N = np.zeros(M)
259 arr_dbo_avg = np.zeros(M)
260 counter_entry_dbo = 0
261 for key in dict_db:
262     valueN = int(float(key[1:]))
263     arr_dbo_N[counter_entry_dbo] = valueN
264     n_entries = dict_db[key][1]
265     # Promedio "a mano"
266     sum_avg = dict_db[key][0] / (valueN ** 2)
267     avg = sum_avg / n_entries
268     arr_dbo_avg[counter_entry_dbo] = avg
269     counter_entry_dbo = counter_entry_dbo + 1
270
271 # Cálculo de chi^2
272 chi2 = 0
273 for counter_N, vN in enumerate(arr_dbo_N):
274     theoretical = 1.0 / vN
275     diff = (arr_dbo_avg[counter_N] - theoretical) ** 2
276     chi2 = chi2 + diff
277
278 max_N = max(arr_dbo_N)
279 x_ref = np.arange(1,max_N,0.1)
280 y_ref = np.zeros(len(x_ref))
281 for x in range(len(x_ref)):
282     y_ref[x] = 1 / x_ref[x]
283
284 figC2, axC2 = plt.subplots(nrows=1, ncols=1, figsize=(15,15))
285 plt.rcParams.update({'font.size': 24})
286 plt.rcParams.update({'xtick.labelsize': 22})
287 plt.rcParams.update({'ytick.labelsize': 22})
288 plt.tight_layout(pad=4, h_pad=4, w_pad=4)
289 axC2.set_title('Balance Detallado - %(m)i valores de ' % {'m': M} + r'$N$' +
    ', ' + r'$ \chi^{2} = %(dif).3e $' % {'dif': chi2}, size=18)
290 axC2.set_yscale('log')
291 axC2.set_ylabel(r'$\left\langle \left( \Delta / N \right)^2 \right\rangle$'
    ', fontsize=22)
292 axC2.set_xscale('log')
293 axC2.set_xlabel('N', fontsize=22)
294 axC2.plot(x_ref, y_ref, 'r-', label=r'$N^{-1}$', markersize=18, linewidth
    =10)
295 axC2.plot(arr_dbo_N, arr_dbo_avg, 'bo', label='P_np', markersize=18)
296 axC2.legend(loc='lower left', fontsize='small')

```

```
297
298 plt.savefig("tesis_Egolf_baldet_L%(length)i_G%(grainsize)i_g%(coupling).3
    f_Niter%(iterations).3e_trans%(trans).3e_Nrondas%(turns).3e_seed%(seed)
    i_Graph.png" % dict_fname)
299 print('Programa concluido')
```

Apéndice I

Código para calcular promedios sobre *bins* con una anchura de crecimiento exponencial

```
1 import matplotlib.pyplot as plt
2 import numpy as np
3 import networkx as nx
4 import random as rand
5 import json
6 import csv
7
8 #####
9 #####
10
11 ### SOLICITUD DE PARÁMETROS
12 # Características de rejilla
13 L = int(input('Ingresa la longitud de la rejilla (entero): '))
14 Gs = int(input('Ingresa el tamaño del grano (entero): '))
15 g = float(input('Ingresa la constante de acoplamiento (real con tres
    decimales): '))
16 N_iter = int(input('Ingresa el total de iteraciones (entero): '))
17 transient = int(input('Ingresa el valor del transient (entero): '))
18 N_turns = int(input('Ingresa el número de rondas (entero): '))
19 seed = int(input('Ingresa el valor de la semilla: '))
20 # Tasa de exponencial
21 a = float(input('Ingresa la tasa de crecimiento de bin: '))
22 comp_keys = {'length': L, 'grainsize': Gs, 'coupling': g, 'iterations':
    N_iter, 'trans': transient, 'turns': N_turns, 's': seed, 'rate': a }
23
24 ### RECUPERACIÓN DE DICCIONARIO
25 comp_fname = "./Res_BD_L%(length)i_G%(grainsize)i_g%(coupling).3f_Niter%(
    iterations).3e_trans%(trans).3e_Nrondas%(turns).3e_seed%(s)i/
    tesis_Egolf_baldet_L%(length)i_G%(grainsize)i_g%(coupling).3f_Niter%(
    iterations).3e_trans%(trans).3e_Nrondas%(turns).3e_seed%(s)
    i_Dict_Original.txt"
26 with open(comp_fname % comp_keys, "r") as read_comp:
27     dict_comp = json.load(read_comp)
28
29 ### "BINNING" EXPONENCIAL
30 M = len(dict_comp)
31 # Límites en número de transiciones
```

```

32 list_string_keys = list(dict_comp.keys())
33 list_keys = []
34 for string_key in list_string_keys:
35     list_keys.append(int(float(string_key[1:])))
36 min_N = min(list_keys)
37 max_N = max(list_keys)
38 print('Máximo número de transiciones: ' + str(float(max_N)))
39 list_edges = [min_N]
40 # Edges
41 bin_step = 0
42 while max(list_edges) < max_N:
43     factor = np.exp(a * bin_step)
44     sup_lim = max(list_edges) + factor
45     list_edges.append(sup_lim)
46     bin_step = bin_step + 1
47     print(list_edges)
48 # Promedios sobre bins
49 total_bins = len(list_edges) - 1
50 arr_previs = np.zeros([total_bins, 2])
51 for key_N in dict_comp:
52     # Cálculo de suma y conteo de factores (Delta/N)^2
53     value_N = int(float(key_N[1:]))
54     total_dN2 = dict_comp[key_N][1]
55     sum_dN2 = dict_comp[key_N][0] / (value_N ** 2)
56     # Identificación de bin
57     for counter_edge, edge in enumerate(list_edges[1:], start=1):
58         if edge >= value_N:
59             arr_previs[counter_edge - 1] = arr_previs[counter_edge - 1] + np.array
60                 ([sum_dN2, total_dN2])
61             break
62 # Almacenamiento
63 previs_fname = "tesis_Egolf_baldet_L%(length)i_G%(grainsize)i_g%(coupling).3
64     f_Niter%(iterations).3e_trans%(trans).3e_Nrondas%(turns).3e_seed%(s)
65     i_tasa%(rate).3f_Previs.txt"
66 np.savetxt( previs_fname % comp_keys, arr_previs)
67
68 ### GRÁFICA
69 # Arreglo con centros de bins
70 center_bins = np.zeros(total_bins)
71 for index in range(total_bins):
72     bot_lim = list_edges[index]
73     top_lim = list_edges[index + 1]
74     dif = top_lim - bot_lim
75     center_bins[index] = bot_lim + dif / 2.
76 # Arreglo con promedios sobre bins
77 avg_bins = np.zeros(total_bins)
78 for index in range(total_bins):
79     if arr_previs[index][1] == 0:
80         continue
81     else:
82         avg_bins[index] = arr_previs[index][0] / arr_previs[index][1]
83 print(M)
84 print(avg_bins)
85 # Cálculo de chi^2
86 chi2 = 0
87 for counter_N, vN in enumerate(center_bins):
88     if vN == 0:
89         continue

```

```

87     else:
88         theoretical = 1.0 / vN
89         diff = (avg_bins[counter_N] - theoretical) ** 2
90         chi2 = chi2 + diff
91
92     # Comportamiento esperado
93     x_ref = np.arange(1,max_N,0.1)
94     y_ref = np.zeros(len(x_ref))
95     for x in range(len(x_ref)):
96         y_ref[x] = 1 / x_ref[x]
97
98     figC2, axC2 = plt.subplots(nrows=1, ncols=1, figsize=(10,10))
99     plt.rcParams.update({'font.size': 24})
100    plt.rcParams.update({'xtick.labelsize': 32})
101    plt.rcParams.update({'ytick.labelsize': 42})
102    plt.tight_layout(pad=4, h_pad=4, w_pad=4)
103
104    axC2.set_title('Balance Detallado - %(m)i bins ' % {'m': total_bins} + ', '
105                  + r'$ \chi^2 = %(dif).3e $' % {'dif': chi2}, size=18)
106    axC2.set_yscale('log')
107    axC2.set_ylabel(r'$\left\langle \left( \Delta / N \right)^2 \right\rangle$', fontsize=22)
108    axC2.set_xscale('log')
109    axC2.set_xlabel(r'$N$', fontsize=22)
110    axC2.plot(x_ref, y_ref, 'r-', label=r'$N^{-1}$', markersize=18, linewidth=8)
111    axC2.plot(center_bins, avg_bins, 'b^', label='Exp', markerfacecolor='none',
112              markeredgewidth=2, markersize=18)
113    axC2.legend(loc='lower left', fontsize='small')
114
115    plt.savefig("tesis_Egolf_baldet_L%(length)i_G%(grainsize)i_g%(coupling).3
116              f_Niter%(iterations).3e_trans%(trans).3e_Nrondas%(turns).3e_seed%(s)
117              i_tasa%(rate).3f_Graph.png" % comp_keys)
118
119    print('Programa concluido')

```

Apéndice J

Código para prueba de distribución de Boltzmann para los estados de rejillas de mapeo acoplado “a grano grueso”

```
1 import sys
2 import numpy as np
3 import networkx as nx
4 import random
5 import matplotlib.pyplot as plt
6 import scipy
7 from scipy.optimize import minimize
8 from scipy.optimize import Bounds
9 from scipy.optimize import LinearConstraint
10 import json
11
12 #####
13 #####
14
15 # Cálculo de distancias entre elementos en una rejilla cuadrada
16   bidimensional bajo condiciones de frontera periódicas
17 def calc_dist(loc1, loc2, longitud):
18     distx = loc1[0] - loc2[0]
19     disty = loc1[1] - loc2[1]
20     dist1 = (distx ** 2 + disty ** 2) ** (1 / 2.0)
21     dist2 = ((distx - longitud) ** 2 + disty ** 2) ** (1 / 2.0)
22     dist3 = ((distx + longitud) ** 2 + disty ** 2) ** (1 / 2.0)
23     dist4 = (distx ** 2 + (disty - longitud) ** 2) ** (1 / 2.0)
24     dist5 = (distx ** 2 + (disty + longitud) ** 2) ** (1 / 2.0)
25     dist6 = ((distx + longitud) ** 2 + (disty + longitud) ** 2) ** (1 / 2.0)
26     dist7 = ((distx - longitud) ** 2 + (disty + longitud) ** 2) ** (1 / 2.0)
27     dist8 = ((distx - longitud) ** 2 + (disty - longitud) ** 2) ** (1 / 2.0)
28     dist9 = ((distx + longitud) ** 2 + (disty - longitud) ** 2) ** (1 / 2.0)
29     lista_distancias = [dist1, dist2, dist3, dist4, dist5, dist6, dist7, dist8
30     , dist9]
31     distancia = min(lista_distancias)
32     return distancia
33
34 # Iniciación de gráfica para rejilla CML a grano grueso en estado 0
35 def ini_graf(longitud):
36     grafica = nx.Graph()
37     num_sitios = longitud**2
```

```

36 # Definición de nodos
37 for sitio in range(num_sitios):
38     grafica.add_node(sitio, u = -1)
39 # Definición de edges
40 lista_edges = []
41 for sitio1 in range(num_sitios):
42     for sitio2 in range(num_sitios):
43         if sitio2 == sitio1:
44             continue
45         coord1 = (sitio1 % longitud, sitio1 // longitud)
46         coord2 = (sitio2 % longitud, sitio2 // longitud)
47         distancia = calc_dist(coord1, coord2, longitud)
48         lista_edges.append((sitio1, sitio2, {'path_distance': distancia}))
49 grafica.add_edges_from(lista_edges)
50 return grafica
51
52 # Configuración de gráfica en un estado definido
53 def def_edo(estado, grafica):
54     referencia = estado
55     exp = 0
56     while referencia > 0:
57         factor2 = 2 ** (exp)
58         tasa = referencia / factor2
59         if tasa >= 1:
60             exp = exp + 1
61         else:
62             grafica.nodes[exp - 1]['u'] = 1
63             factorneg = 2 ** (exp - 1)
64             referencia = referencia - factorneg
65             exp = 0
66     return grafica
67
68 # Definición de lista con distancias posibles entre sitios de la gráfica
69 def list_dists(grafica):
70     lista_distancias = []
71     for (nodo1, nodo2, distancia) in grafica.edges.data('path_distance'):
72         if distancia not in lista_distancias:
73             lista_distancias.append(distancia)
74         else:
75             continue
76     lista_distancias = sorted(lista_distancias)
77     return lista_distancias
78
79 ### PROBABILIDADES DE BOLTZMANN PARA ENERGÍAS
80 def prob_boltzmann(arreglo_alfas):
81     # Definición de diccionario con coeficientes alfas
82     diccionario_alfas = {}
83     for dist_iter in range(len(site_dists)):
84         clave_dist = list_key_dists[dist_iter]
85         diccionario_alfas[clave_dist] = arreglo_alfas[dist_iter]
86     # Cálculo de probabilidades de Boltzmann para todos los estados diferentes
87     # que están disponibles al sistema
88     p_calc = np.zeros(len(list_sums))
89     funcion_Z = 0
90     contador_p = 0
91     for entry in protoE:
92         # Cálculo de Hamiltoniano para un estado particular dadas ciertas alfas
93         hamiltoniano = 0

```

```

93     for distancia in list_key_dists:
94         factor = diccionario_alfas[distancia] * entry[0][distancia]
95         hamiltoniano = hamiltoniano + factor
96         # Definición (parcial) de probabilidad para cada estado
97         p_calc[contador_p] = entry[2] * np.exp(-hamiltoniano)
98         # Definición (gradual) de función de partición Z
99         funcion_Z = funcion_Z + (entry[2] * np.exp(-hamiltoniano))
100        contador_p = contador_p + 1
101    # Definición de probabilidad de Boltzmann para todos los estados
    disponibles al sistema
102    p_calc = p_calc / funcion_Z
103    return p_calc, funcion_Z
104
105    # Mínimos cuadrados
106    def min_cuadrados(arreglo_alfas):
107        prob_calc, funcion_Z = prob_boltzmann(arreglo_alfas)
108        dif = 0
109        for i in range(len(prob_calc)):
110            dif = dif + ((prob_calc[i] - protoE[i][1])) ** 2
111        return dif
112
113    ### PROBABILIDADES DE BOLTZMANN PARA ESTADOS
114    def pe_estado(arreglo_alfas):
115        # Definición de diccionario con coeficientes alfas
116        diccionario_alfas = {}
117        for dist_iter in range(len(site_dists)):
118            clave_dist = list_key_dists[dist_iter]
119            diccionario_alfas[clave_dist] = arreglo_alfas[dist_iter]
120        # Cálculo de probabilidades de Boltzmann para todos los estados diferentes
    que están disponibles al sistema
121        p_edo = np.zeros(N_total_states)
122        e_edo = np.zeros(N_total_states)
123        funcion_Z = 0
124        contador_p = 0
125        for estado in range(N_total_states):
126            clave = 's' + str(float(estado))
127            # Cálculo de Hamiltoniano para un estado particular dadas ciertas alfas
128            hamiltoniano = 0
129            for distancia in list_key_dists:
130                factor = diccionario_alfas[distancia] * dict_sums[clave][distancia]
131                hamiltoniano = hamiltoniano + factor
132            # Definición (parcial) de probabilidad para cada estado
133            p_edo[contador_p] = np.exp(-hamiltoniano)
134            # Definición de energía para cada estado
135            e_edo[contador_p] = hamiltoniano
136            # Definición (gradual) de función de partición Z
137            funcion_Z = funcion_Z + np.exp(-hamiltoniano)
138            contador_p = contador_p + 1
139        # Definición de probabilidad de Boltzmann para todos los estados
    disponibles al sistema
140        p_edo = p_edo / funcion_Z
141        return e_edo, p_edo, funcion_Z
142
143    ### FUNCIÓN PARA ORDENAR ARREGLOS
144    def ordenador(energias_ajuste, probabilidades_ajuste,
    probabilidades_experimentales):
145        # Ordenamiento de energías resultantes de ajuste
146        energias_ordenadas = sorted(energias_ajuste)

```

```

147 # Identificación de índices
148 indices = []
149 for energia_ord in energias_ordenadas:
150     for ind, energia in enumerate(energias_ajuste):
151         if energia == energia_ord:
152             indices.append(ind)
153             break
154 # Ordenamiento de probabilidades
155 prob_ajuste_ordenadas = []
156 prob_exp_ordenadas = []
157 for ind in indices:
158     prob_ajuste_ordenadas.append(probabilidades_ajuste[ind])
159     prob_exp_ordenadas.append(probabilidades_experimentales[ind])
160 return energias_ordenadas, prob_ajuste_ordenadas, prob_exp_ordenadas
161
162 #####
163 #####
164
165 ### RECUPERACIÓN DE EVOLUCIÓN DE REJILLA CML DE GRANO GRUESO
166 # Solicitud de parámetros de rejilla CML
167 L = int(input('Ingresa la longitud de la rejilla (entero): '))
168 G = int(input('Ingresa el tamaño de grano (entero): '))
169 N_total_sites = int(L ** 2 / G ** 2)
170 N_total_states = 2 ** (N_total_sites)
171 g = float(input('Ingresa la constante de acoplamiento (real con tres
    decimales): '))
172 N_iter = int(input('Ingresa el total de iteraciones (entero): '))
173 transient = int(input('Ingresa el valor de transient (entero): '))
174 N_turns = int(input('Ingresa el total de rondas (entero): '))
175 n_tries = int(input('Ingresa el número de ansatz (entero): '))
176 seed = int(input('Ingresa el valor de la semilla (entero): '))
177 c = float(input('Ingresa desplazamiento (real): '))
178 sref = random.randrange(sys.maxsize)
179 random.seed(sref)
180 # Lectura de archivo con datos
181 fname_listofstates_CG = './Res_BD_L%(length)i_G%(grainsize)i_g%(coupling).3
    f_Niter%(iterations).3e_trans%(trans).3e_Nrondas%(turns).3e_seed%(s)i/
    tesis_Egolf_baldet_L%(length)i_G%(grainsize)i_g%(coupling).3f_Niter%(
    iterations).3e_trans%(trans).3e_Nrondas%(turns).3e_seed%(s)
    i_ListOfStates_CG.txt'
182 dict_read = {'length': L, 'grainsize': G, 'coupling': g, 'iterations':
    N_iter, 'trans': transient, 'turns': N_turns, 's': seed}
183 # Definición de arreglo con evolución de rejilla CML de grano grueso
184 arr_CG_states = np.loadtxt(fname_listofstates_CG % dict_read)
185
186 ### DISTRIBUCIÓN DE PROBABILIDAD DADA LA EVOLUCIÓN DE LA REJILLA CML A GRANO
    GRUESO
187 print('Histograma - INICIO')
188 hist_CG, bins_CG = np.histogram(arr_CG_states, bins = N_total_states, range
    = (0, N_total_states), density = True)
189 # Almacenamiento de histograma (probabilidades "experimentales")
190 filename_hist = './tesis_Egolf_EGb_Basic_L%(length)i_G%(grainsize)i_g%(
    coupling).3f_Niter%(iterations).3e_trans%(trans).3e_Nrondas%(turns).3
    e_Nansatz%(ansatz)i_seed%(s)i_c%(ct).3f_sr%(ref)i_LeastSquares09_HistDB.
    txt'
191 dict_fname = {'length': L, 'grainsize': G, 'coupling': g, 'iterations':
    N_iter, 'trans': transient, 'turns': N_turns, 'ansatz': n_tries, 's':
    seed, 'ct': c, 'ref': sref}

```

```

192 np.savetxt(filename_hist % dict_fname, hist_CG)
193 print('Histograma - FINAL')
194
195 ### DICCIONARIO CON ESTADOS S_I Y SUMAS DE PRODUCTOS ENTRE PARES DE ESPINES
    (INDEXADAS POR DISTANCIAS ENTRE SITIOS)
196 LCG = int(N_total_sites ** (1 / 2.0))
197 lattice = ini_graf(LCG)
198 print('Diccionario con proto-energías - INICIO')
199 dict_sums = {}
200 tenth_progress_sums = int(N_total_states / 10)
201 for state in range(N_total_states):
202     # Marcador de progreso
203     if state % tenth_progress_sums == 0:
204         print('*')
205     # Definición de gráfica en estado definido
206     lattice = def_edo(state, lattice)
207     # Cálculo de productos
208     dict_prod = {}
209     for site1 in range(N_total_sites - 1):
210         for site2 in range(site1 + 1, N_total_sites):
211             product = lattice.nodes[site1]['u'] * lattice.nodes[site2]['u']
212             distance = lattice.edges[site1, site2]['path_distance']
213             key = 'd' + str(float(distance))
214             if key in dict_prod:
215                 dict_prod[key].append(product)
216             else:
217                 dict_prod[key] = [product]
218     # Cálculo de sumas de productos
219     dict_sums_holder = {}
220     for key in dict_prod:
221         dict_sums_holder[key] = sum(dict_prod[key])
222     # Definición de diccionario final
223     key_state = 's' + str(float(state))
224     dict_sums[key_state] = dict_sums_holder
225     lattice = ini_graf(LCG)
226 # Almacenamiento de diccionario
227 filename_dictsums = './tesis_Egolf_EGb_Basic_L%(length)i_G%(grainsize)i_g%(
    coupling).3f_Niter%(iterations).3e_trans%(trans).3e_Nrondas%(turns).3
    e_Nansatz%(ansatz)i_seed%(s)i_c%(ct).3f_sr%(ref)
    i_LeastSquares09_ProtoE_dict.txt'
228 with open(filename_dictsums % dict_fname, "w") as write_dictsums:
229     json.dump(dict_sums, write_dictsums)
230 print('Diccionario con proto-energías - FINAL')
231
232 ### LISTA CON SUMAS DE PRODUCTOS ENTRE PARES DE ESPINES (PROTO-ENERGÍAS)
233 print('Lista con proto-energías (sin repeticiones) - INICIO')
234 list_sums = []
235 for sum_prod in dict_sums.values():
236     if sum_prod not in list_sums:
237         list_sums.append(sum_prod)
238     else:
239         continue
240 # Almacenamiento de lista con sumas
241 filename_listsums = './tesis_Egolf_EGb_Basic_L%(length)i_G%(grainsize)i_g%(
    coupling).3f_Niter%(iterations).3e_trans%(trans).3e_Nrondas%(turns).3
    e_Nansatz%(ansatz)i_seed%(s)i_c%(ct).3f_sr%(ref)
    i_LeastSquares09_ProtoE_list.txt'
242 with open(filename_listsums % dict_fname, "w") as write_listsums:

```

```

243     json.dump(list_sums, write_listsums)
244 print('Lista con proto-energías (sin repeticiones) - FINAL')
245
246 ### LISTA CON PROTO-ENERGÍAS, PROBABILIDADES Y NÚMERO DE ESTADOS
CORRESPONDIENTES
247 print('Lista con proto-energías y probabilidades - INICIO')
248 protoE_desord = []
249 for sum_prod in list_sums:
250     index_holder = []
251     for key_sum in dict_sums:
252         if dict_sums[key_sum] == sum_prod:
253             state = int(float(key_sum[1:]))
254             index_holder.append(state)
255         else:
256             continue
257     num_states_H = len(index_holder)
258     sum_probs = 0
259     for index in index_holder:
260         term = hist_CG[index]
261         sum_probs = sum_probs + term
262     protoE_desord.append([sum_prod, sum_probs, num_states_H])
263 # Almacenamiento de lista con probabilidades y total de estados
correspondientes a proto-energías
264 filename_protoE_desord = './tesis_Egolf_EGb_Basic_L%(length)i_G%(grainsize)
i_g%(coupling).3f_Niter%(iterations).3e_trans%(trans).3e_Nrondas%(turns)
.3e_Nansatz%(ansatz)i_seed%(s)i_c%(ct).3f_sr%(ref)i_LeastSquares09_ProtoE&
&Prob&NS_desordenadas.txt'
265 with open(filename_protoE_desord % dict_fname, "w") as write_protoE_desord:
266     json.dump(protoE_desord, write_protoE_desord)
267 print('Lista con probabilidades de Hamiltoniano - FINAL')
268
269 ### ORDENAMIENTO DE PROTO-ENERGÍAS POR PROBABILIDAD
270 # Lista con probabilidades de proto-energías, ordenadas de mayor a menor
271 prob_ord = []
272 for pair in protoE_desord:
273     prob_ord.append(pair[1])
274 prob_ord = sorted(prob_ord, reverse = True)
275 # Ordenamiento de lista con proto-energías y probabilidades asociadas
276 protoE = []
277 print('Ordenamiento de proto-energías por probabilidades - INICIO')
278 for probability in prob_ord:
279     for entry in protoE_desord:
280         if entry[1] == probability:
281             if entry not in protoE:
282                 protoE.append(entry)
283                 break
284             else:
285                 continue
286         else:
287             continue
288 # Almacenamiento de lista con probabilidades y total de estados
correspondientes a proto-energías
289 filename_protoE = './tesis_Egolf_EGb_Basic_L%(length)i_G%(grainsize)i_g%(
coupling).3f_Niter%(iterations).3e_trans%(trans).3e_Nrondas%(turns).3
e_Nansatz%(ansatz)i_seed%(s)i_c%(ct).3f_sr%(ref)i_LeastSquares09_ProtoE&
&Prob&NS.txt'
290 with open(filename_protoE % dict_fname, "w") as write_protoE:
291     json.dump(protoE, write_protoE)

```

```

292 print('Ordenamiento de proto-energías por probabilidades - FINAL')
293
294 ### RECUPERACIÓN DE LISTA CON DISTANCIAS ENTRE SITIOS
295 # Lista con distancias
296 site_dists = list_dists(lattice)
297 # Lista con claves de distancias
298 list_key_dists = []
299 for distance in site_dists:
300     list_key_dists.append('d' + str(distance))
301
302 ### DEFINICIÓN DE RESTRICCIONES SOBRE PROTO-ENERGÍAS
303 # Definición de arreglo con restricciones
304 print('Definición de restricciones sobre proto-energías - INICIO')
305 num_restrict = len(protoE)
306 num_dists = len(list_key_dists)
307 ineq_protoE = np.zeros((num_restrict, num_dists))
308 for n_restriction in range(num_restrict):
309     for n_distance in range(num_dists):
310         key_dist = list_key_dists[n_distance]
311         ineq_protoE[n_restriction][n_distance] = protoE[n_restriction][0][
            key_dist]
312 # Definición de fronteras
313 lower_limit = np.zeros(num_restrict)
314 upper_limit = np.zeros(num_restrict)
315 for indx in range(len(upper_limit)):
316     upper_limit[indx] = np.inf
317 # Definición de restricción (lineal)
318 linear_constraint = LinearConstraint(ineq_protoE, lower_limit, upper_limit)
319 print('Definición de restricciones sobre proto-energías - FINAL')
320
321 #####
322 ### MÍNIMOS CUADRADOS (CON ESQUEMAS LOCAL Y GLOBAL)
323 #####
324
325 ##### ESQUEMA LOCAL 0 (DEFAULT)#####
326
327 ### MÍNIMOS CUADRADOS - DEFAULT
328 print('Mínimos cuadrados (default) - INICIO')
329 ansatz_df = np.zeros((n_tries, len(site_dists)))
330 alphas_df = np.zeros((n_tries, len(site_dists)))
331 chi2_df = np.zeros(n_tries)
332 # Minimización con múltiples ansatz
333 for a_df in range(n_tries):
334     # Definición de ansatz
335     for value_df in range(len(site_dists)):
336         ansatz_df[a_df][value_df] = random.uniform(-1,1)
337     # Minimización
338     solution_def = minimize(min_cuadrados, ansatz_df[a_df], options={'disp':
        True})
339     alphas_df[a_df] = solution_def.x
340     chi2_df[a_df] = min_cuadrados(alphas_df[a_df])
341 # Almacenamiento
342 ansatz_df_fname = 'tesis_Egolf_EGb_Chi2Std_ProbE_L%(length)i_G%(grainsize)
        i_g%(coupling).3f_Niter%(iterations).3e_trans%(trans).3e_Nrondas%(turns)
        .3e_Nansatz%(ansatz)i_seed%(s)i_c%(ct).3f_sr%(ref)
        i_LeastSquares09_Default_Ansatz.txt'
343 np.savetxt(ansatz_df_fname % dict_fname, ansatz_df)
344 alphas_df_fname = 'tesis_Egolf_EGb_Chi2Std_ProbE_L%(length)i_G%(grainsize)

```

```

    i_g%(coupling).3f_Niter%(iterations).3e_trans%(trans).3e_Nrondas%(turns)
    .3e_Nansatz%(ansatz)i_seed%(s)i_c%(ct).3f_sr%(ref)
    i_LeastSquares09_Default_TotalAlphas.txt'
345 np.savetxt(alphas_df_fname % dict_fname, alphas_df)
346 chi2_df_fname = 'tesis_Egolf_EGb_Chi2Std_ProbE_L%(length)i_G%(grainsize)i_g%(
    coupling).3f_Niter%(iterations).3e_trans%(trans).3e_Nrondas%(turns).3
    e_Nansatz%(ansatz)i_seed%(s)i_c%(ct).3f_sr%(ref)
    i_LeastSquares09_Default_Chi2.txt'
347 np.savetxt(chi2_df_fname % dict_fname, chi2_df)
348 # Identificación de chi2 mínima
349 min_chi2_df = np.nanmin(chi2_df)
350 for counter_df, v_chi2_df in enumerate(chi2_df):
351     if v_chi2_df == min_chi2_df:
352         min_ansatz_df = counter_df
353 # Alphas correspondiente a mínimo
354 alphas_min_def = alphas_df[min_ansatz_df]
355 # Cálculo de probabilidades
356 pBoltz_def, Z_def = prob_boltzmann(alphas_min_def)
357 Z_def = np.array([Z_def])
358 px_def = np.zeros(len(protoE))
359 for counter, prob in enumerate(pBoltz_def):
360     px_def[counter] = prob*c
361 # Almacenamiento
362 fname_def = 'tesis_Egolf_EGb_Chi2Std_ProbE_L%(length)i_G%(grainsize)i_g%(
    coupling).3f_Niter%(iterations).3e_trans%(trans).3e_Nrondas%(turns).3
    e_Nansatz%(ansatz)i_seed%(s)i_c%(ct).3f_sr%(ref)
    i_LeastSquares09_Default_ProbBoltz.txt'
363 np.savetxt(fname_def % dict_fname, pBoltz_def)
364 fname_Z_def = 'tesis_Egolf_EGb_Chi2Std_ProbE_L%(length)i_G%(grainsize)i_g%(
    coupling).3f_Niter%(iterations).3e_trans%(trans).3e_Nrondas%(turns).3
    e_Nansatz%(ansatz)i_seed%(s)i_c%(ct).3f_sr%(ref)
    i_LeastSquares09_Default_Z.txt'
365 np.savetxt(fname_Z_def % dict_fname, Z_def)
366 print('Mínimos cuadrados (default) - FINAL')
367
368 print('Diferencia con valores finales: ' + str(min_cuadrados(alphas_min_def)
    ))
369
370 ### DICCIONARIO CON COEFICIENTES ALFA FINALES - DEFAULT
371 print('Diccionario con coeficientes alfa finales (default) - INICIO')
372 dict_alphas_def = {}
373 for n_distance in range(len(site_dists)):
374     k_distance = list_key_dists[n_distance]
375     dict_alphas_def[k_distance] = alphas_min_def[n_distance]
376 # Almacenamiento
377 fname_alphas_def = 'tesis_Egolf_EGb_Chi2Std_ProbE_L%(length)i_G%(grainsize)
    i_g%(coupling).3f_Niter%(iterations).3e_trans%(trans).3e_Nrondas%(turns)
    .3e_Nansatz%(ansatz)i_seed%(s)i_c%(ct).3f_sr%(ref)
    i_LeastSquares09_Default_Alphas.txt'
378 with open(fname_alphas_def % dict_fname, "w") as write_dict_alphas_def:
379     json.dump(dict_alphas_def, write_dict_alphas_def)
380 print('Diccionario con coeficientes alfa finales (default) - FINAL')
381
382 ### ENERGÍAS FINALES - DEFAULT
383 print('Lista con Hammlitonianos finales (default) - INICIO')
384 final_H_def = np.zeros(len(protoE))
385 prob_exp = np.zeros(len(protoE))
386 counter_H_def = 0

```

```

387 for entry in protoE:
388     H = 0
389     for dist in entry[0]:
390         term = dict_alphas_def[dist] * entry[0][dist]
391         H = H + term
392     final_H_def[counter_H_def] = H
393     prob_exp[counter_H_def] = entry[1]
394     counter_H_def = counter_H_def + 1
395 # Almacenamiento
396 fname_H_def = 'tesis_Egolf_EGb_Chi2Std_ProbE_L%(length)i_G%(grainsize)i_g%(
    coupling).3f_Niter%(iterations).3e_trans%(trans).3e_Nrondas%(turns).3
    e_Nansatz%(ansatz)i_seed%(s)i_c%(ct).3f_sr%(ref)
    i_LeastSquares09_Default_H.txt'
397 np.savetxt(fname_H_def % dict_fname, final_H_def)
398 print('Lista con Hamiltonianos finales (default) - FINAL')
399 # Ordenamiento
400 final_H_def_gf, pBoltz_def_gf, prob_exp_def_gf = ordenador(final_H_def,
    pBoltz_def, prob_exp)
401 final_H_def_gf, px_def_gf, prob_exp_def_gf = ordenador(final_H_def, px_def,
    prob_exp)
402
403 ### ESQUEMA ESTADO
404 es_def, ps_def, Zs_def = pe_estado(alphas_min_def)
405 Zs_def = np.array([Zs_def])
406 # Almacenamiento
407 state_p_def = 'tesis_Egolf_EGb_Chi2Std_ProbE_L%(length)i_G%(grainsize)i_g%(
    coupling).3f_Niter%(iterations).3e_trans%(trans).3e_Nrondas%(turns).3
    e_Nansatz%(ansatz)i_seed%(s)i_c%(ct).3f_sr%(ref)
    i_LeastSquares09_Default_ProbBoltzState.txt'
408 np.savetxt(state_p_def % dict_fname, ps_def)
409 state_H_def = 'tesis_Egolf_EGb_Chi2Std_ProbE_L%(length)i_G%(grainsize)i_g%(
    coupling).3f_Niter%(iterations).3e_trans%(trans).3e_Nrondas%(turns).3
    e_Nansatz%(ansatz)i_seed%(s)i_c%(ct).3f_sr%(ref)
    i_LeastSquares09_Default_HState.txt'
410 np.savetxt(state_H_def % dict_fname, es_def)
411 state_Z_def = 'tesis_Egolf_EGb_Chi2Std_ProbE_L%(length)i_G%(grainsize)i_g%(
    coupling).3f_Niter%(iterations).3e_trans%(trans).3e_Nrondas%(turns).3
    e_Nansatz%(ansatz)i_seed%(s)i_c%(ct).3f_sr%(ref)
    i_LeastSquares09_Default_ZState.txt'
412 np.savetxt(state_Z_def % dict_fname, Zs_def)
413 # Ordenamiento
414 es_def_gf, ps_def_gf, hCG_def_gf = ordenador(es_def, ps_def, hist_CG)
415
416
417 ##### ESQUEMA LOCAL 1 ('trust-constr')#####
418
419 ### MÍNIMOS CUADRADOS - LOCAL 1
420 print('Mínimos cuadrados (local - \'trust-constr\') - INICIO')
421 ansatz_l1 = np.zeros((n_tries, len(site_dists)))
422 alphas_l1 = np.zeros((n_tries, len(site_dists)))
423 chi2_l1 = np.zeros(n_tries)
424 # Minimización con múltiples ansatz
425 for a_l1 in range(n_tries):
426     # Definición de ansatz
427     for value_l1 in range(len(site_dists)):
428         ansatz_l1[a_l1][value_l1] = random.uniform(-1,1)
429     # Minimización
430     solution_l1 = minimize(min_cuadrados, ansatz_l1[a_l1], options={'disp':

```

```

True})
431 alphas_l1[a_l1] = solution_l1.x
432 chi2_l1[a_l1] = min_cuadrados(alphas_l1[a_l1])
433 # Almacenamiento
434 ansatz_l1_fname = 'tesis_Egolf_EGb_Chi2Std_ProbE_L%(length)i_G%(grainsize)
    i_g%(coupling).3f_Niter%(iterations).3e_trans%(trans).3e_Nrondas%(turns)
    .3e_Nansatz%(ansatz)i_seed%(s)i_c%(ct).3f_sr%(ref)
    i_LeastSquares09_Local1_Ansatz.txt'
435 np.savetxt(ansatz_l1_fname % dict_fname, ansatz_l1)
436 alphas_l1_fname = 'tesis_Egolf_EGb_Chi2Std_ProbE_L%(length)i_G%(grainsize)
    i_g%(coupling).3f_Niter%(iterations).3e_trans%(trans).3e_Nrondas%(turns)
    .3e_Nansatz%(ansatz)i_seed%(s)i_c%(ct).3f_sr%(ref)
    i_LeastSquares09_Local1_TotalAlphas.txt'
437 np.savetxt(alphas_l1_fname % dict_fname, alphas_l1)
438 chi2_l1_fname = 'tesis_Egolf_EGb_Chi2Std_ProbE_L%(length)i_G%(grainsize)i_g
    %(coupling).3f_Niter%(iterations).3e_trans%(trans).3e_Nrondas%(turns).3
    e_Nansatz%(ansatz)i_seed%(s)i_c%(ct).3f_sr%(ref)
    i_LeastSquares09_Local1_Chi2.txt'
439 np.savetxt(chi2_l1_fname % dict_fname, chi2_l1)
440 # Identificación de chi2 mínima
441 min_chi2_l1 = np.nanmin(chi2_l1)
442 for counter_l1, v_chi2_l1 in enumerate(chi2_l1):
443     if v_chi2_l1 == min_chi2_l1:
444         min_ansatz_l1 = counter_l1
445 # Alphas correspondiente a mínimo
446 alphas_min_l1 = alphas_l1[min_ansatz_l1]
447 # Cálculo de probabilidades
448 pBoltz_l1, Z_l1 = prob_boltzmann(alphas_min_l1)
449 Z_l1 = np.array([Z_l1])
450 px_l1 = np.zeros(len(protoE))
451 for counter, prob in enumerate(pBoltz_l1):
452     px_l1[counter] = prob*c
453 # Almacenamiento
454 fname_l1 = 'tesis_Egolf_EGb_Chi2Std_ProbE_L%(length)i_G%(grainsize)i_g%(
    coupling).3f_Niter%(iterations).3e_trans%(trans).3e_Nrondas%(turns).3
    e_Nansatz%(ansatz)i_seed%(s)i_c%(ct).3f_sr%(ref)
    i_LeastSquares09_Local1_ProbBoltz.txt'
455 np.savetxt(fname_l1 % dict_fname, pBoltz_l1)
456 fname_Z_l1 = 'tesis_Egolf_EGb_Chi2Std_ProbE_L%(length)i_G%(grainsize)i_g%(
    coupling).3f_Niter%(iterations).3e_trans%(trans).3e_Nrondas%(turns).3
    e_Nansatz%(ansatz)i_seed%(s)i_c%(ct).3f_sr%(ref)i_LeastSquares09_Local1_Z
    .txt'
457 np.savetxt(fname_Z_l1 % dict_fname, Z_l1)
458 print('Diferencia con valores finales: ' + str(min_cuadrados(alphas_min_l1))
    )
459 print('Mínimos cuadrados (local - \'trust-constr\') - FINAL')
460
461 ### DICcionario CON COEFICIENTES ALFA FINALES - LOCAL 1
462 print('Diccionario con coeficientes alfa finales (local - \'trust-constr\')
    - INICIO')
463 dict_alphas_l1 = {}
464 for n_distance in range(len(site_dists)):
465     k_distance = list_key_dists[n_distance]
466     dict_alphas_l1[k_distance] = alphas_min_l1[n_distance]
467 # Almacenamiento
468 fname_alphas_l1 = 'tesis_Egolf_EGb_Chi2Std_ProbE_L%(length)i_G%(grainsize)
    i_g%(coupling).3f_Niter%(iterations).3e_trans%(trans).3e_Nrondas%(turns)
    .3e_Nansatz%(ansatz)i_seed%(s)i_c%(ct).3f_sr%(ref)

```

```

    i_LeastSquares09_Local1_Alphas.txt'
469 with open(fname_alphas_l1 % dict_fname, "w") as write_dict_alphas_l1:
470     json.dump(dict_alphas_l1, write_dict_alphas_l1)
471 print('Diccionario con coeficientes alfa finales (local - \'trust-constr\')
    - FINAL')
472
473 ### ENERGÍAS FINALES - LOCAL 1
474 print('Lista con Hamiltonianos finales (local - \'trust-constr\') - INICIO')
475 final_H_l1 = np.zeros(len(protoE))
476 counter_H_l1 = 0
477 for entry in protoE:
478     H = 0
479     for dist in entry[0]:
480         term = dict_alphas_l1[dist] * entry[0][dist]
481         H = H + term
482     final_H_l1[counter_H_l1] = H
483     counter_H_l1 = counter_H_l1 + 1
484 # Almacenamiento
485 fname_H_l1 = 'tesis_Egolf_EGb_Chi2Std_ProbE_L%(length)i_G%(grainsize)i_g%(
    coupling).3f_Niter%(iterations).3e_trans%(trans).3e_Nrondas%(turns).3
    e_Nansatz%(ansatz)i_seed%(s)i_c%(ct).3f_sr%(ref)i_LeastSquares09_Local1_H
    .txt'
486 np.savetxt(fname_H_l1 % dict_fname, final_H_l1)
487 print('Lista con Hamiltonianos finales (local - \'trust-constr\') - FINAL')
488 # Ordenamiento
489 final_H_l1_gf, pBoltz_l1_gf, prob_exp_l1_gf = ordenador(final_H_l1,
    pBoltz_l1, prob_exp)
490 final_H_l1_gf, px_l1_gf, prob_exp_l1_gf = ordenador(final_H_l1, px_l1,
    prob_exp)
491
492 ### ESQUEMA ESTADO
493 es_l1, ps_l1, Zs_l1 = pe_estado(alphas_min_l1)
494 Zs_l1 = np.array([Zs_l1])
495 # Almacenamiento
496 state_p_l1 = 'tesis_Egolf_EGb_Chi2Std_ProbE_L%(length)i_G%(grainsize)i_g%(
    coupling).3f_Niter%(iterations).3e_trans%(trans).3e_Nrondas%(turns).3
    e_Nansatz%(ansatz)i_seed%(s)i_c%(ct).3f_sr%(ref)
    i_LeastSquares09_Local1_ProbBoltzState.txt'
497 np.savetxt(state_p_l1 % dict_fname, ps_l1)
498 state_H_l1 = 'tesis_Egolf_EGb_Chi2Std_ProbE_L%(length)i_G%(grainsize)i_g%(
    coupling).3f_Niter%(iterations).3e_trans%(trans).3e_Nrondas%(turns).3
    e_Nansatz%(ansatz)i_seed%(s)i_c%(ct).3f_sr%(ref)
    i_LeastSquares09_Local1_HState.txt'
499 np.savetxt(state_H_l1 % dict_fname, es_l1)
500 state_Z_l1 = 'tesis_Egolf_EGb_Chi2Std_ProbE_L%(length)i_G%(grainsize)i_g%(
    coupling).3f_Niter%(iterations).3e_trans%(trans).3e_Nrondas%(turns).3
    e_Nansatz%(ansatz)i_seed%(s)i_c%(ct).3f_sr%(ref)
    i_LeastSquares09_Local1_ZState.txt'
501 np.savetxt(state_Z_l1 % dict_fname, Zs_l1)
502 # Ordenamiento
503 es_l1_gf, ps_l1_gf, hCG_l1_gf = ordenador(es_l1, ps_l1, hist_CG)
504
505
506 ##### ESQUEMA GRADUADO O (DEFAULT)#####
507
508 ### MÍNIMOS CUADRADOS - GRADUADO DEFAULT
509 print('Mínimos cuadrados (graduado - default) - INICIO')
510 total_alphas = len(site_dists)

```

```

511 ansatz_gdf = np.zeros((n_tries, len(site_dists)))
512 alphas_gdf = np.zeros((n_tries, len(site_dists)))
513 chi2_gdf = np.zeros(n_tries)
514 # Minimización con múltiples ansatz
515 for a_gdf in range(n_tries):
516     # Definición de ansatz
517     for value_gdf in range(len(site_dists)):
518         ansatz_gdf[a_gdf][value_gdf] = random.uniform(-1,1)
519     # Minimización gradual
520     for turn in range(total_alphas):
521         # Coeficientes fijos
522         lower_alphas = np.zeros(total_alphas)
523         upper_alphas = np.zeros(total_alphas)
524         for n_alpha in range(total_alphas):
525             if n_alpha == turn:
526                 lower_alphas[n_alpha] = -np.inf
527                 upper_alphas[n_alpha] = np.inf
528             else:
529                 lower_alphas[n_alpha] = alphas_gdf[a_gdf][n_alpha]
530                 upper_alphas[n_alpha] = alphas_gdf[a_gdf][n_alpha]
531         bounds_alphas = Bounds(lower_alphas, upper_alphas)
532         # Minimización
533         solution_grad_def = minimize(min_cuadrados, ansatz_gdf[a_gdf], options={
534             'disp': True})
535         alphas_gdf[a_gdf] = solution_grad_def.x
536         chi2_gdf[a_gdf] = min_cuadrados(alphas_gdf[a_gdf])
537 # Almacenamiento
538 ansatz_gdf_fname = 'tesis_Egolf_EGb_Chi2Std_ProbE_L%(length)i_G%(grainsize)
539 i_g%(coupling).3f_Niter%(iterations).3e_trans%(trans).3e_Nrondas%(turns)
540 .3e_Nansatz%(ansatz)i_seed%(s)i_c%(ct).3f_sr%(ref)
541 i_LeastSquares09_G_Default_Ansatz.txt'
542 np.savetxt(ansatz_gdf_fname % dict_fname, ansatz_gdf)
543 alphas_gdf_fname = 'tesis_Egolf_EGb_Chi2Std_ProbE_L%(length)i_G%(grainsize)
544 i_g%(coupling).3f_Niter%(iterations).3e_trans%(trans).3e_Nrondas%(turns)
545 .3e_Nansatz%(ansatz)i_seed%(s)i_c%(ct).3f_sr%(ref)
546 i_LeastSquares09_G_Default_TotalAlphas.txt'
547 np.savetxt(alphas_gdf_fname % dict_fname, alphas_gdf)
548 chi2_gdf_fname = 'tesis_Egolf_EGb_Chi2Std_ProbE_L%(length)i_G%(grainsize)i_g
549 %(coupling).3f_Niter%(iterations).3e_trans%(trans).3e_Nrondas%(turns).3
550 e_Nansatz%(ansatz)i_seed%(s)i_c%(ct).3f_sr%(ref)
551 i_LeastSquares09_G_Default_Chi2.txt'
552 np.savetxt(chi2_gdf_fname % dict_fname, chi2_gdf)
553 # Identificación de chi2 mínima
554 min_chi2_gdf = np.nanmin(chi2_gdf)
555 for counter_gdf, v_chi2_gdf in enumerate(chi2_gdf):
556     if v_chi2_gdf == min_chi2_gdf:
557         min_ansatz_gdf = counter_gdf
558 # Alphas correspondiente a mínimo
559 alphas_grad_def = alphas_gdf[min_ansatz_gdf]
560 # Cálculo de probabilidades
561 pBoltz_grad_def, Z_grad_def = prob_boltzmann(alphas_grad_def)
562 Z_grad_def = np.array([Z_grad_def])
563 px_grad_def = np.zeros(len(protoE))
564 for counter, prob in enumerate(pBoltz_grad_def):
565     px_grad_def[counter] = prob*c
566 # Almacenamiento
567 fname_grad_def = 'tesis_Egolf_EGb_Chi2Std_ProbE_L%(length)i_G%(grainsize)i_g
568 %(coupling).3f_Niter%(iterations).3e_trans%(trans).3e_Nrondas%(turns).3

```

```

    e_Nansatz%(ansatz)i_seed%(s)i_c%(ct).3f_sr%(ref)
    i_LeastSquares09_G_Default_ProbBoltz.txt'
558 np.savetxt(fname_grad_def % dict_fname, pBoltz_grad_def)
559 fname_Z_grad_def = 'tesis_Egolf_EGb_Chi2Std_ProbE_L%(length)i_G%(grainsize)
    i_g%(coupling).3f_Niter%(iterations).3e_trans%(trans).3e_Nrondas%(turns)
    .3e_Nansatz%(ansatz)i_seed%(s)i_c%(ct).3f_sr%(ref)
    i_LeastSquares09_G_Default_Z.txt'
560 np.savetxt(fname_Z_grad_def % dict_fname, Z_grad_def)
561 print('Diferencia con valores finales: ' + str(min_cuadrados(alphas_grad_def
    )))
562 print('Mínimos cuadrados (graduado - default) - FINAL')
563
564 ### DICCIONARIO CON COEFICIENTES ALFA FINALES - GRADUADO DEFAULT
565 print('Diccionario con coeficientes alfa finales (graduado - default) -
    INICIO')
566 dict_alphas_grad_def = {}
567 for n_distance in range(total_alphas):
568     k_distance = list_key_dists[n_distance]
569     dict_alphas_grad_def[k_distance] = alphas_grad_def[n_distance]
570 # Almacenamiento
571 fname_alphas_grad_def = 'tesis_Egolf_EGb_Chi2Std_ProbE_L%(length)i_G%(
    grainsize)i_g%(coupling).3f_Niter%(iterations).3e_trans%(trans).3
    e_Nrondas%(turns).3e_Nansatz%(ansatz)i_seed%(s)i_c%(ct).3f_sr%(ref)
    i_LeastSquares09_G_Default_Alphas.txt'
572 with open(fname_alphas_grad_def % dict_fname, "w") as
    write_dict_alphas_grad_def:
573     json.dump(dict_alphas_grad_def, write_dict_alphas_grad_def)
574 print('Diccionario con coeficientes alfa finales (graduado - default) -
    FINAL')
575
576 ### ENERGÍAS FINALES - GRADUADO DEFAULT
577 print('Lista con Hammliltonianos finales (graduado - default) - INICIO')
578 final_H_grad_def = np.zeros(len(protoE))
579 counter_H_grad_def = 0
580 for entry in protoE:
581     H = 0
582     for dist in entry[0]:
583         term = dict_alphas_grad_def[dist] * entry[0][dist]
584         H = H + term
585     final_H_grad_def[counter_H_grad_def] = H
586     counter_H_grad_def = counter_H_grad_def + 1
587 # Almacenamiento
588 fname_H_grad_def = 'tesis_Egolf_EGb_Chi2Std_ProbE_L%(length)i_G%(grainsize)
    i_g%(coupling).3f_Niter%(iterations).3e_trans%(trans).3e_Nrondas%(turns)
    .3e_Nansatz%(ansatz)i_seed%(s)i_c%(ct).3f_sr%(ref)
    i_LeastSquares09_G_Default_H.txt'
589 np.savetxt(fname_H_grad_def % dict_fname, final_H_grad_def)
590 print('Lista con Hammliltonianos finales (graduado - default) - FINAL')
591 # Ordenamiento
592 final_H_grad_def_gf, pBoltz_grad_def_gf, prob_exp_grad_def_gf = ordenador(
    final_H_grad_def, pBoltz_grad_def, prob_exp)
593 final_H_grad_def_gf, px_grad_def_gf, prob_exp_grad_def_gf = ordenador(
    final_H_grad_def, px_grad_def, prob_exp)
594
595 ### ESQUEMA ESTADO
596 es_graddef, ps_graddef, Zs_graddef = pe_estado(alphas_grad_def)
597 Zs_graddef = np.array([Zs_graddef])
598 # Almacenamiento

```

```

599 state_p_graddef = 'tesis_Egolf_EGb_Chi2Std_ProbE_L%(length)i_G%(grainsize)
    i_g%(coupling).3f_Niter%(iterations).3e_trans%(trans).3e_Nrondas%(turns)
    .3e_Nansatz%(ansatz)i_seed%(s)i_c%(ct).3f_sr%(ref)
    i_LeastSquares09_G_Default_ProbBoltzState.txt'
600 np.savetxt(state_p_graddef % dict_fname, ps_graddef)
601 state_H_graddef = 'tesis_Egolf_EGb_Chi2Std_ProbE_L%(length)i_G%(grainsize)
    i_g%(coupling).3f_Niter%(iterations).3e_trans%(trans).3e_Nrondas%(turns)
    .3e_Nansatz%(ansatz)i_seed%(s)i_c%(ct).3f_sr%(ref)
    i_LeastSquares09_G_Default_HState.txt'
602 np.savetxt(state_H_graddef % dict_fname, es_graddef)
603 state_Z_graddef = 'tesis_Egolf_EGb_Chi2Std_ProbE_L%(length)i_G%(grainsize)
    i_g%(coupling).3f_Niter%(iterations).3e_trans%(trans).3e_Nrondas%(turns)
    .3e_Nansatz%(ansatz)i_seed%(s)i_c%(ct).3f_sr%(ref)
    i_LeastSquares09_G_Default_ZState.txt'
604 np.savetxt(state_Z_graddef % dict_fname, Zs_graddef)
605 # Ordenamiento
606 es_graddef_gf, ps_graddef_gf, hCG_graddef_gf = ordenador(es_graddef,
    ps_graddef, hist_CG)
607
608
609 ##### ESQUEMA GRADUADO 1 ('trust-constr') #####
610
611 ### MÍNIMOS CUADRADOS - GRADUADO L1
612 print('Mínimos cuadrados (graduado - \'trust-constr\') - INICIO')
613 total_alphas = len(site_dists)
614 ansatz_g11 = np.zeros((n_tries, len(site_dists)))
615 alphas_g11 = np.zeros((n_tries, len(site_dists)))
616 chi2_g11 = np.zeros(n_tries)
617 # Minimización con múltiples ansatz
618 for a_g11 in range(n_tries):
619     # Definición de ansatz
620     for value_g11 in range(len(site_dists)):
621         ansatz_g11[a_g11][value_g11] = random.uniform(-1,1)
622     # Minimización gradual
623     for turn in range(total_alphas):
624         # Coeficientes fijos
625         lower_alphas = np.zeros(total_alphas)
626         upper_alphas = np.zeros(total_alphas)
627         for n_alpha in range(total_alphas):
628             if n_alpha == turn:
629                 lower_alphas[n_alpha] = -np.inf
630                 upper_alphas[n_alpha] = np.inf
631             else:
632                 lower_alphas[n_alpha] = alphas_g11[a_g11][n_alpha]
633                 upper_alphas[n_alpha] = alphas_g11[a_g11][n_alpha]
634         bounds_alphas = Bounds(lower_alphas, upper_alphas)
635     # Minimización
636     solution_grad_l1 = minimize(min_cuadrados, alphas_g11[a_g11], method='
trust-constr', constraints=linear_constraint, options={'disp': True})
637     alphas_g11[a_g11] = solution_grad_l1.x
638     chi2_g11[a_g11] = min_cuadrados(alphas_g11[a_g11])
639 # Almacenamiento
640 ansatz_g11_fname = 'tesis_Egolf_EGb_Chi2Std_ProbE_L%(length)i_G%(grainsize)
    i_g%(coupling).3f_Niter%(iterations).3e_trans%(trans).3e_Nrondas%(turns)
    .3e_Nansatz%(ansatz)i_seed%(s)i_c%(ct).3f_sr%(ref)
    i_LeastSquares09_G_Local1_Ansatz.txt'
641 np.savetxt(ansatz_g11_fname % dict_fname, ansatz_g11)
642 alphas_g11_fname = 'tesis_Egolf_EGb_Chi2Std_ProbE_L%(length)i_G%(grainsize)

```

```

        i_g%(coupling).3f_Niter%(iterations).3e_trans%(trans).3e_Nrondas%(turns)
        .3e_Nansatz%(ansatz)i_seed%(s)i_c%(ct).3f_sr%(ref)
        i_LeastSquares09_G_Local1_TotalAlphas.txt'
643 np.savetxt(alphas_g11_fname % dict_fname, alphas_g11)
644 chi2_g11_fname = 'tesis_Egolf_EGb_Chi2Std_ProbE_L%(length)i_G%(grainsize)i_g
        %(coupling).3f_Niter%(iterations).3e_trans%(trans).3e_Nrondas%(turns).3
        e_Nansatz%(ansatz)i_seed%(s)i_c%(ct).3f_sr%(ref)
        i_LeastSquares09_G_Local1_Chi2.txt'
645 np.savetxt(chi2_g11_fname % dict_fname, chi2_g11)
646 # Identificación de chi2 mínima
647 min_chi2_g11 = np.nanmin(chi2_g11)
648 for counter_g11, v_chi2_g11 in enumerate(chi2_g11):
649     if v_chi2_g11 == min_chi2_g11:
650         min_ansatz_g11 = counter_g11
651 # Alphas correspondiente a mínimo
652 alphas_grad_l1 = alphas_g11[min_ansatz_g11]
653 # Cálculo de probabilidades
654 pBoltz_grad_l1, Z_grad_l1 = prob_boltzmann(alphas_grad_l1)
655 Z_grad_l1 = np.array([Z_grad_l1])
656 px_grad_l1 = np.zeros(len(protoE))
657 for counter, prob in enumerate(pBoltz_grad_l1):
658     px_grad_l1[counter] = prob*c
659 # Almacenamiento
660 fname_grad_l1 = 'tesis_Egolf_EGb_Chi2Std_ProbE_L%(length)i_G%(grainsize)i_g
        %(coupling).3f_Niter%(iterations).3e_trans%(trans).3e_Nrondas%(turns).3
        e_Nansatz%(ansatz)i_seed%(s)i_c%(ct).3f_sr%(ref)
        i_LeastSquares09_G_Local1_ProbBoltz.txt'
661 np.savetxt(fname_grad_l1 % dict_fname, pBoltz_grad_l1)
662 fname_Z_grad_l1 = 'tesis_Egolf_EGb_Chi2Std_ProbE_L%(length)i_G%(grainsize)
        i_g%(coupling).3f_Niter%(iterations).3e_trans%(trans).3e_Nrondas%(turns)
        .3e_Nansatz%(ansatz)i_seed%(s)i_c%(ct).3f_sr%(ref)
        i_LeastSquares09_G_Local1_Z.txt'
663 np.savetxt(fname_Z_grad_l1 % dict_fname, Z_grad_l1)
664 print('Diferencia con valores finales: ' + str(min_cuadrados(alphas_grad_l1)
        ))
665 print('Mínimos cuadrados (graduado - default) - FINAL')
666
667 ### DICCIONARIO CON COEFICIENTES ALFA FINALES - GRADUADO L1
668 print('Diccionario con coeficientes alfa finales (graduado - \'trust-constr
        \') - INICIO')
669 dict_alphas_grad_l1 = {}
670 for n_distance in range(total_alphas):
671     k_distance = list_key_dists[n_distance]
672     dict_alphas_grad_l1[k_distance] = alphas_grad_l1[n_distance]
673 # Almacenamiento
674 fname_alphas_grad_l1 = 'tesis_Egolf_EGb_Chi2Std_ProbE_L%(length)i_G%(
        grainsize)i_g%(coupling).3f_Niter%(iterations).3e_trans%(trans).3
        e_Nrondas%(turns).3e_Nansatz%(ansatz)i_seed%(s)i_c%(ct).3f_sr%(ref)
        i_LeastSquares09_G_Local1_Alphas.txt'
675 with open(fname_alphas_grad_l1 % dict_fname, "w") as
        write_dict_alphas_grad_l1:
676     json.dump(dict_alphas_grad_l1, write_dict_alphas_grad_l1)
677 print('Diccionario con coeficientes alfa finales (graduado - \'trust-constr
        \') - FINAL')
678
679 ### ENERGÍAS FINALES - GRADUADO L1
680 print('Lista con Hamiltonianos finales (graduado - \'trust-constr\') -
        INICIO')

```

```

681 final_H_grad_l1 = np.zeros(len(protoE))
682 counter_H_grad_l1 = 0
683 for entry in protoE:
684     H = 0
685     for dist in entry[0]:
686         term = dict_alphas_grad_l1[dist] * entry[0][dist]
687         H = H + term
688     final_H_grad_l1[counter_H_grad_l1] = H
689     counter_H_grad_l1 = counter_H_grad_l1 + 1
690 # Almacenamiento
691 fname_H_grad_l1 = 'tesis_Egolf_EGb_Chi2Std_ProbE_L%(length)i_G%(grainsize)
        i_g%(coupling).3f_Niter%(iterations).3e_trans%(trans).3e_Nrondas%(turns)
        .3e_Nansatz%(ansatz)i_seed%(s)i_c%(ct).3f_sr%(ref)
        i_LeastSquares09_G_Local1_H.txt'
692 np.savetxt(fname_H_grad_l1 % dict_fname, final_H_grad_l1)
693 print('Lista con Hamiltonianos finales (graduado - \'trust-constr\') - FINAL
        ')
694 # Ordenamiento
695 final_H_grad_l1_gf, pBoltz_grad_l1_gf, prob_exp_grad_l1_gf = ordenador(
        final_H_grad_l1, pBoltz_grad_l1, prob_exp)
696 final_H_grad_l1_gf, px_grad_l1_gf, prob_exp_grad_l1_gf = ordenador(
        final_H_grad_l1, px_grad_l1, prob_exp)
697
698 ### ESQUEMA ESTADO
699 es_gradl1, ps_gradl1, Zs_gradl1 = pe_estado(alphas_grad_l1)
700 Zs_gradl1 = np.array([Zs_gradl1])
701 # Almacenamiento
702 state_p_gradl1 = 'tesis_Egolf_EGb_Chi2Std_ProbE_L%(length)i_G%(grainsize)i_g
        %(coupling).3f_Niter%(iterations).3e_trans%(trans).3e_Nrondas%(turns).3
        e_Nansatz%(ansatz)i_seed%(s)i_c%(ct).3f_sr%(ref)
        i_LeastSquares09_G_Local1_ProbBoltzState.txt'
703 np.savetxt(state_p_gradl1 % dict_fname, ps_gradl1)
704 state_H_gradl1 = 'tesis_Egolf_EGb_Chi2Std_ProbE_L%(length)i_G%(grainsize)i_g
        %(coupling).3f_Niter%(iterations).3e_trans%(trans).3e_Nrondas%(turns).3
        e_Nansatz%(ansatz)i_seed%(s)i_c%(ct).3f_sr%(ref)
        i_LeastSquares09_G_Local1_HState.txt'
705 np.savetxt(state_H_gradl1 % dict_fname, es_gradl1)
706 state_Z_gradl1 = 'tesis_Egolf_EGb_Chi2Std_ProbE_L%(length)i_G%(grainsize)i_g
        %(coupling).3f_Niter%(iterations).3e_trans%(trans).3e_Nrondas%(turns).3
        e_Nansatz%(ansatz)i_seed%(s)i_c%(ct).3f_sr%(ref)
        i_LeastSquares09_G_Local1_ZState.txt'
707 np.savetxt(state_Z_gradl1 % dict_fname, Zs_gradl1)
708 # Ordenamiento
709 es_gradl1_gf, ps_gradl1_gf, hCG_gradl1_gf = ordenador(es_gradl1, ps_gradl1,
        hist_CG)
710
711 #####
712 #####
713
714 ### GRÁFICA CON AJUSTE
715 plt.figure(2)
716 fig2, ((ax2a, ax2b),(ax2c,ax2d)) = plt.subplots(nrows=2, ncols=2, figsize
        =(27,30))
717 plt.rcParams.update({'font.size': 24})
718 plt.rcParams.update({'xtick.labelsize': 22})
719 plt.rcParams.update({'ytick.labelsize': 22})
720 plt.tight_layout(pad=4, h_pad=4, w_pad=4)
721 # Default

```

```

722 ax2a.set_title('(a) Local 0')
723 ax2a.set_yscale('log')
724 ax2a.set_ylabel(r'$P(H_{i})$', fontsize=22)
725 ax2a.set_xlabel(r'$H_{i}$', fontsize=22)
726 ax2a.tick_params(axis='both', which='major', labelsize=20)
727 ax2a.plot(final_H_def_gf, pBoltz_def_gf, 'r-', label = 'LS', linewidth=8)
728 ax2a.plot(final_H_def_gf, px_def_gf, 'g--', label = 'LS-R', markersize=18,
    linewidth=8)
729 ax2a.plot(final_H_def_gf, prob_exp_def_gf, 'bo', label = 'Exp',
    markerfacecolor='none', markeredgewidth=2, markersize=18)
730 ax2a.legend(loc='lower left', fontsize=22)
731 # Local 1
732 ax2b.set_title('(b) Local 1')
733 ax2b.set_yscale('log')
734 ax2b.set_ylabel(r'$P(H_{i})$', fontsize=22)
735 ax2b.set_xlabel(r'$H_{i}$', fontsize=22)
736 ax2b.tick_params(axis='both', which='major', labelsize=20)
737 ax2b.plot(final_H_l1_gf, pBoltz_l1_gf, 'r-', label = 'LS', linewidth=8)
738 ax2b.plot(final_H_l1_gf, px_l1_gf, 'g--', label = 'LS-R', markersize=18,
    linewidth=8)
739 ax2b.plot(final_H_l1_gf, prob_exp_l1_gf, 'bo', label = 'Exp',
    markerfacecolor='none', markeredgewidth=2, markersize=18)
740 ax2b.legend(loc='lower left', fontsize=22)
741 # Graduado - Default
742 ax2c.set_title('(c) Gradual 0')
743 ax2c.set_yscale('log')
744 ax2c.set_ylabel(r'$P(H_{i})$', fontsize=22)
745 ax2c.set_xlabel(r'$H_{i}$', fontsize=22)
746 ax2c.tick_params(axis='both', which='major', labelsize=20)
747 ax2c.plot(final_H_grad_def_gf, pBoltz_grad_def_gf, 'r-', label = 'LS',
    linewidth=8)
748 ax2c.plot(final_H_grad_def_gf, px_grad_def_gf, 'g--', label = 'LS-R',
    markersize=18, linewidth=8)
749 ax2c.plot(final_H_grad_def_gf, prob_exp_grad_def_gf, 'bo', label = 'Exp',
    markerfacecolor='none', markeredgewidth=2, markersize=18)
750 ax2c.legend(loc='lower left', fontsize=22)
751 # Graduado - Local 1
752 ax2d.set_title('(d) Gradual 1')
753 ax2d.set_yscale('log')
754 ax2d.set_ylabel(r'$P(H_{i})$', fontsize=22)
755 ax2d.set_xlabel(r'$H_{i}$', fontsize=22)
756 ax2d.tick_params(axis='both', which='major', labelsize=20)
757 ax2d.plot(final_H_grad_l1_gf, pBoltz_grad_l1_gf, 'r-', label = 'LS',
    linewidth=8)
758 ax2d.plot(final_H_grad_l1_gf, px_grad_l1_gf, 'g--', label = 'LS-R',
    markersize=18, linewidth=8)
759 ax2d.plot(final_H_grad_l1_gf, prob_exp_grad_l1_gf, 'bo', label = 'Exp',
    markerfacecolor='none', markeredgewidth=2, markersize=18)
760 ax2d.legend(loc='lower left', fontsize=22)
761 # Almacenamiento
762 imgname_Gibbs_graph = fname_H_l1 = 'tesis_Egolf_EGb_Chi2Std_ProbE_L%(length)
    i_G%(grainsize)i_g%(coupling).3f_Niter%(iterations).3e_trans%(trans).3
    e_Nrondas%(turns).3e_Nansatz%(ansatz)i_seed%(s)i_c%(ct).3f_sr%(ref)
    i_LeastSquares09_GraphTotal.png'
763 plt.savefig(imgname_Gibbs_graph % dict_fname)
764
765 #####
766 #####

```

```

767
768 ### GRÁFICA CON AJUSTE (Esquema Estado)
769 plt.figure(3)
770 fig3, ((ax3a, ax3b),(ax3c,ax3d)) = plt.subplots(nrows=2, ncols=2, figsize
      =(27,30))
771 plt.rcParams.update({'font.size': 24})
772 plt.rcParams.update({'xtick.labelsize': 22})
773 plt.rcParams.update({'ytick.labelsize': 22})
774 plt.tight_layout(pad=4, h_pad=4, w_pad=4)
775 # Default
776 #es_gradl1_gf, ps_gradl1_gf, hCG_gradl1_gf
777 ax3a.set_title('(a) Local 0')
778 ax3a.set_yscale('log')
779 ax3a.set_ylabel(r'$P(S_{i})$', fontsize=22)
780 ax3a.set_xlabel(r'$H(S_{i})$', fontsize=22)
781 ax3a.tick_params(axis='both', which='major', labelsize=20)
782 ax3a.plot(es_def_gf, ps_def_gf, 'r-', label = 'LS', linewidth=8)
783 ax3a.plot(es_def_gf, hCG_def_gf, 'bo', label = 'Exp', markerfacecolor='none',
      , markeredgewidth=2, markersize=18)
784 ax3a.legend(loc='lower left', fontsize=22)
785 # Local 1
786 ax3b.set_title('(b) Local 1')
787 ax3b.set_yscale('log')
788 ax3b.set_ylabel(r'$P(H_{i})$', fontsize=22)
789 ax3b.set_xlabel(r'$H_{i}$', fontsize=22)
790 ax3b.tick_params(axis='both', which='major', labelsize=20)
791 ax3b.plot(es_l1_gf, ps_l1_gf, 'r-', label = 'LS', linewidth=8)
792 ax3b.plot(es_l1_gf, hCG_l1_gf, 'bo', label = 'Exp', markerfacecolor='none',
      , markeredgewidth=2, markersize=18)
793 ax3b.legend(loc='lower left', fontsize=22)
794 # Graduado - Default
795 ax3c.set_title('(c) Gradual 0')
796 ax3c.set_yscale('log')
797 ax3c.set_ylabel(r'$P(H_{i})$', fontsize=22)
798 ax3c.set_xlabel(r'$H_{i}$', fontsize=22)
799 ax3c.tick_params(axis='both', which='major', labelsize=20)
800 ax3c.plot(es_graddef_gf, ps_graddef_gf, 'r-', label = 'LS', linewidth=8)
801 ax3c.plot(es_graddef_gf, hCG_graddef_gf, 'bo', label = 'Exp',
      , markerfacecolor='none', markeredgewidth=2, markersize=18)
802 ax3c.legend(loc='lower left', fontsize=22)
803 # Graduado - Local 1
804 ax3d.set_title('(d) Gradual 1')
805 ax3d.set_yscale('log')
806 ax3d.set_ylabel(r'$P(H_{i})$', fontsize=22)
807 ax3d.set_xlabel(r'$H_{i}$', fontsize=22)
808 ax3d.tick_params(axis='both', which='major', labelsize=20)
809 ax3d.plot(es_gradl1_gf, ps_gradl1_gf, 'r-', label = 'LS', linewidth=8)
810 ax3d.plot(es_gradl1_gf, hCG_gradl1_gf, 'bo', label = 'Exp', markerfacecolor=
      'none', markeredgewidth=2, markersize=18)
811 ax3d.legend(loc='lower left', fontsize=22)
812 # Almacenamiento
813 imgname_Gis_graph = 'tesis_Egolf_EGb_Chi2Std_ProbE_L%(length)i_G%(grainsize)
      i_g%(coupling).3f_Niter%(iterations).3e_trans%(trans).3e_Nrondas%(turns)
      .3e_Nansatz%(ansatz)i_seed%(s)i_c%(ct).3f_sr%(ref)
      i_LeastSquares09_GraphTotalState.png'
814 plt.savefig(imgname_Gis_graph % dict_fname)
815
816 #####

```

```

817 #####
818
819 ### GRÁFICA CON AJUSTE BAJO ESQUEMA GRADUADO DEFAULT
820 plt.figure(2)
821 fig2, ax3 = plt.subplots(nrows=1, ncols=1, figsize=(27,30))
822 plt.rcParams.update({'font.size': 24})
823 plt.rcParams.update({'xtick.labelsize': 22})
824 plt.rcParams.update({'ytick.labelsize': 22})
825 plt.tight_layout(pad=4, h_pad=4, w_pad=4)
826 # Graduado - Default
827 ax3.set_title('(c) Gradual 0')
828 ax3.set_yscale('log')
829 ax3.set_ylabel(r'$P(H_{i})$', fontsize=22)
830 ax3.set_xlabel(r'$H_{i}$', fontsize=22)
831 ax3.tick_params(axis='both', which='major', labelsize=20)
832 ax3.plot(final_H_grad_def_gf, pBoltz_grad_def_gf, 'r-', label = 'LS',
          linewidth=8)
833 ax3.plot(final_H_grad_def_gf, px_grad_def_gf, 'g--', label = 'LS-R',
          markersize=18, linewidth=8)
834 ax3.plot(final_H_grad_def_gf, prob_exp_grad_def_gf, 'bo', label = 'Exp',
          markerfacecolor='none', markeredgewidth=2, markersize=18)
835 ax3.legend(loc='lower left', fontsize=22)
836 # Almacenamiento
837 imgname_Gibbs_graph = fname_H_l1 = 'tesis_Egolf_EGb_Chi2Std_ProbE_L%(length)
          i_G%(grainsize)i_g%(coupling).3f_Niter%(iterations).3e_trans%(trans).3
          e_Nrondas%(turns).3e_Nansatz%(ansatz)i_seed%(s)i_c%(ct).3f_sr%(ref)
          i_LeastSquares09_Graph_G0.png'
838 plt.savefig(imgname_Gibbs_graph % dict_fname)
839
840 print('Programa concluido')

```

Apéndice K

Código para pruebas de balance detallado y distribución de Boltzmann en modelo de Ising

```
1 import sys
2 import numpy as np
3 import networkx as nx
4 import random
5 import matplotlib.pyplot as plt
6 import scipy
7 from scipy.optimize import curve_fit
8 from scipy.optimize import minimize_scalar
9 from scipy.optimize import minimize
10 from scipy.optimize import Bounds
11 from scipy.optimize import LinearConstraint
12 import json
13
14 #####
15 #####
16
17 # Cálculo de distancias entre elementos en una rejilla cuadrada
18   bidimensional bajo condiciones de frontera periódicas
19 def calc_dist(loc1, loc2, longitud):
20     distx = loc1[0] - loc2[0]
21     disty = loc1[1] - loc2[1]
22     dist1 = (distx ** 2 + disty ** 2) ** (1 / 2.0)
23     dist2 = ((distx - longitud) ** 2 + disty ** 2) ** (1 / 2.0)
24     dist3 = ((distx + longitud) ** 2 + disty ** 2) ** (1 / 2.0)
25     dist4 = (distx ** 2 + (disty - longitud) ** 2) ** (1 / 2.0)
26     dist5 = (distx ** 2 + (disty + longitud) ** 2) ** (1 / 2.0)
27     dist6 = ((distx + longitud) ** 2 + (disty + longitud) ** 2) ** (1 / 2.0)
28     dist7 = ((distx - longitud) ** 2 + (disty + longitud) ** 2) ** (1 / 2.0)
29     dist8 = ((distx - longitud) ** 2 + (disty - longitud) ** 2) ** (1 / 2.0)
30     dist9 = ((distx + longitud) ** 2 + (disty - longitud) ** 2) ** (1 / 2.0)
31     lista_distancias = [dist1, dist2, dist3, dist4, dist5, dist6, dist7, dist8
32         , dist9]
33     distancia = min(lista_distancias)
34     return distancia
35
36 # Iniciación de gráfica para rejilla CML a grano grueso en estado 0
37 def ini_graf(longitud):
```

```

36 grafica = nx.Graph()
37 num_sitios = longitud**2
38 # Definición de nodos
39 for sitio in range(num_sitios):
40     grafica.add_node(sitio, u = -1)
41 # Definición de edges
42 lista_edges = []
43 for sitio1 in range(num_sitios):
44     for sitio2 in range(num_sitios):
45         if sitio2 == sitio1:
46             continue
47         coord1 = (sitio1 % longitud, sitio1 // longitud)
48         coord2 = (sitio2 % longitud, sitio2 // longitud)
49         distancia = calc_dist(coord1, coord2, longitud)
50         lista_edges.append((sitio1, sitio2, {'path_distance': distancia}))
51 grafica.add_edges_from(lista_edges)
52 return grafica
53
54 ### CÁLCULO DE PRIMEROS VECINOS PARA UN NODO PARTICULAR DE LA GRÁFICA
55 def primeros_vecinos(graf, nodo):
56     lista_dist = []
57     for vec1, datos1 in graf.adj[nodo].items():
58         for keys1, dists1 in datos1.items():
59             lista_dist.append(dists1)
60     dist_min = min(lista_dist)
61     lista_1v = []
62     for vec2, datos2 in graf.adj[nodo].items():
63         for keys2, dists2 in datos2.items():
64             if dists2 == dist_min:
65                 lista_1v.append(vec2)
66     return dist_min, lista_1v
67
68 # Configuración de gráfica en un estado definido
69 def def_edo(estado, grafica):
70     referencia = estado
71     exp = 0
72     while referencia > 0:
73         factor2 = 2 ** (exp)
74         tasa = referencia / factor2
75         if tasa >= 1:
76             exp = exp + 1
77         else:
78             grafica.nodos[exp - 1]['u'] = 1
79             factorneg = 2 ** (exp - 1)
80             referencia = referencia - factorneg
81             exp = 0
82     return grafica
83
84 # Identificación de estado y energía de rejilla de Ising
85 def id_edo_hi(grafica, lista_1vecinos, acoplamiento):
86     # Identificación de estado
87     suma_id = 0
88     lista_sitios = list(grafica.nodos())
89     for sitio in lista_sitios:
90         if grafica.nodos[sitio]['u'] == -1:
91             continue
92         elif grafica.nodos[sitio]['u'] == 1:
93             termino = 2 ** sitio

```

```

94     suma_id = suma_id + termino
95 # Identificación de energía correspondiente
96 # Cálculo de productos entre sitio particular y primeros vecinos
97 list_prod = []
98 total_sitios = len(list(grafica.nodes()))
99 for sitio1 in range(total_sitios):
100     for sitio2 in lista_1vecinos[sitio1][1]:
101         if sitio2 <= sitio1:
102             continue
103         producto = grafica.nodes[sitio1]['u'] * grafica.nodes[sitio2]['u']
104         list_prod.append(producto)
105 # Cálculo de energía como producto entre coeficiente de acoplamiento y
    suma de productos
106 suma_prod = sum(list_prod)
107 energia = -acoplamiento * suma_prod
108 return suma_id, energia
109
110 # Actualización de rejilla con algoritmo de Metropolis
111 def update_metropolis(grafica, lista_1vecinos, acoplamiento):
112     # Cálculo del número total de sitios
113     total_sitios = len(list(grafica.nodes))
114     # Identificación de estado y energía actuales
115     estado_actual, energia_actual = id_edo_hi(grafica, lista_1vecinos,
        acoplamiento)
116     # Cambio de espín aleatorio
117     sitio_aleatorio = random.randint(0, total_sitios - 1)
118     grafica.nodes[sitio_aleatorio]['u'] = -grafica.nodes[sitio_aleatorio]['u']
119     # Identificación de estado y energía tras cambio de espín
120     estado_modif, energia_modif = id_edo_hi(grafica, lista_1vecinos,
        acoplamiento)
121     # Cálculo de cambio de energía
122     diferencia_energia = energia_modif - energia_actual
123     prob_trans = np.exp(-diferencia_energia)
124     ref_aleatoria = random.random()
125     # Casos posibles
126     if diferencia_energia <= 0:
127         return grafica
128     elif ref_aleatoria < prob_trans:
129         return grafica
130     else:
131         grafica.nodes[sitio_aleatorio]['u'] = -grafica.nodes[sitio_aleatorio]['u']
132         return grafica
133
134 def minPos(probabilidades):
135     probs_pos = []
136     for prob in probabilidades:
137         if prob > 0:
138             probs_pos.append(prob)
139     val = min(probs_pos)
140     return val
141
142 def id_pos0(probabilidades):
143     counter_0
144     for c_prob, prob in enumerate(probabilidades):
145         if prob == 0.0:
146             counter_0 = c_prob
147         break

```

```

148     return counter_0
149
150 ##### Ajustes inclusivos #####
151
152 def probabilidad_Boltzmann(energias, b): #
153     ##### curve_fit #####
154     probabilidades = np.zeros(len(energias))
155     Z = 0
156     for counter_e, energia in enumerate(energias):
157         # Definición (gradual) de función de partición
158         Z = Z + protoE[counter_e][2] * np.exp(b * energia)
159         # Definición (parcial) de probabilidad
160         probabilidades[counter_e] = protoE[counter_e][2] * np.exp(b *
161         energia)
162     probabilidades = probabilidades / Z
163     return probabilidades
164
165 def prob_Boltzmann_ms(b): #
166     ##### minimize_scalar #####
167     pB_ms = np.zeros(len(protoE))
168     Z = 0
169     for counter_ms, entry_ms in enumerate(protoE):
170         # Definición (gradual) de función de partición
171         Z = Z + entry_ms[2] * np.exp(b * entry_ms[0])
172         # Definición (parcial) de probabilidad
173         pB_ms[counter_ms] = entry_ms[2] * np.exp(b * entry_ms[0])
174     pB_ms = pB_ms / Z
175     return pB_ms
176
177 def res2_ms(b):
178     # Cálculo de probabilidades de Boltzmann
179     pms_calc = prob_Boltzmann_ms(b)
180     # Cálculo de suma de cuadrados de residuos
181     sum_res2_ms = 0
182     for counter_ms, pv_ms in enumerate(probx_values):
183         sum_res2_ms = sum_res2_ms + (pv_ms - pms_calc[counter_ms]) ** 2
184     return sum_res2_ms
185
186 def prob_Boltzmann_min(b): #
187     ##### minimize #####
188     pB_min = np.zeros(len(protoE))
189     Z = 0
190     for counter_ms, entry_ms in enumerate(protoE):
191         # Definición (gradual) de función de partición
192         Z = Z + entry_ms[2] * np.exp(b[0] * entry_ms[0])
193         # Definición (parcial) de probabilidad
194         pB_min[counter_ms] = entry_ms[2] * np.exp(b[0] * entry_ms[0])
195     pB_min = pB_min / Z
196     return pB_min
197
198 def res2_min(b):
199     # Cálculo de probabilidades de Boltzmann
200     pms_calc = prob_Boltzmann_min(b)
201     # Cálculo de suma de cuadrados de residuos
202     sum_res2_ms = 0
203     for counter_ms, pv_ms in enumerate(probx_values):
204         sum_res2_ms = sum_res2_ms + (pv_ms - pms_calc[counter_ms]) ** 2
205     # print(counter_ms, (pv_ms - pms_calc[counter_ms]) ** 2)

```

```

202 #     print('##### chi2: ' + str(sum_res2_ms))
203     return sum_res2_ms
204
205 #####
206
207 ### PROBABILIDADES DE BOLTZMANN PARA ESTADOS
208 def pe_estado(b):
209     p_edo = np.zeros(N_total_states)
210     e_edo = np.zeros(N_total_states)
211     funcion_Z = 0
212     for estado in range(N_total_states):
213         clave = 's' + str(float(estado))
214         # Definición (gradual) de función de partición
215         funcion_Z = funcion_Z + np.exp(b[0] * dict_sums[clave])
216         # Definición (parcial) de probabilidad
217         p_edo[estado] = np.exp(b[0] * dict_sums[clave])
218         # Definición de energía
219         e_edo[estado] = -b[0] * dict_sums[clave]
220     p_edo = p_edo / funcion_Z
221     return p_edo, e_edo, funcion_Z
222
223 ### ORDENADOR
224 def ordenador(energias_ajuste, probabilidades_ajuste,
225               probabilidades_experimentales):
226     # Ordenamiento de energías resultantes de ajuste
227     energias_ordenadas = sorted(energias_ajuste)
228     # Identificación de índices
229     indices = []
230     for energia_ord in energias_ordenadas:
231         for ind, energia in enumerate(energias_ajuste):
232             if energia == energia_ord:
233                 indices.append(ind)
234                 break
235     # Ordenamiento de probabilidades
236     prob_ajuste_ordenadas = []
237     prob_exp_ordenadas = []
238     for ind in indices:
239         prob_ajuste_ordenadas.append(probabilidades_ajuste[ind])
240         prob_exp_ordenadas.append(probabilidades_experimentales[ind])
241     return energias_ordenadas, prob_ajuste_ordenadas, prob_exp_ordenadas
242 #####
243 #####
244
245 ### CONFIGURACIÓN DE REJILLA DE ISING
246 # Solicitud de parámetros de rejilla de Ising
247 s = random.randrange(sys.maxsize)
248 random.seed(s)
249 L = int(input('Ingresa la longitud de la rejilla (entero): '))
250 N_total_sites = L ** 2
251 J = float(input('Ingresa el valor del acoplamiento entre primeros vecinos (
252     real): '))
253 Jguess = float(input('Ingresa ansatz para acoplamiento entre primeros
254     vecinos (real): '))
255 N_turns = int(input('Ingresa el total de rondas por sitio (entero): '))
256 c = float(input('Ingresa desplazamiento (real): '))
257 file_dict = {'length': L, 'coupling': J, 'guess': Jguess, 'turns': N_turns,
258             'seed': s, 'cte': c}

```

```

256 # Definición de rejilla
257 lattice_ising = ini_graf(L)
258 list_1n_ising = []
259 for site_ising in range(int(L ** 2)):
260     dist_ising, list1v_ising = primeros_vecinos(lattice_ising, site_ising)
261     list_1n_ising.append((site_ising, list1v_ising))
262
263 ### EVOLUCIÓN TEMPORAL DE SISTEMA ("FINO" Y A GRANO GRUESO)
264 N_total_states = 2 ** N_total_sites
265 counter_zero = 0
266 # Configuración de gráfica en un estado inicial aleatorio
267 first_state = random.randint(0, N_total_states)
268 lattice_ising = def_edo(first_state, lattice_ising)
269 # Definición de archivo con evolución temporal
270 fname_metropolis = 'tesis_IsingTest_scBD_L%(length)i_J%(coupling).3f_Jguess
    %(guess).3f_Nrondas%(turns).3e_seed%(seed)i_ListOfStates_Ising.txt'
271 # Parámetros adicionales
272 metropolis = []
273 total_iterations = N_turns * N_total_sites
274 list_CG_states = np.zeros(total_iterations)
275 tenth_progress = int(total_iterations / 10)
276
277 for loop in range(total_iterations):
278     # Marcador de progreso
279     ind_progress = loop % tenth_progress
280     if ind_progress == 0:
281         print('.')
282     # Update de rejilla CML
283     lattice = update_metropolis(lattice_ising, list_1n_ising, J)
284     lattice_state, lattice_energy = id_edo_hi(lattice_ising, list_1n_ising, J)
285     metropolis.append(lattice_state)
286 # Almacenamiento de datos
287 metropolis = np.array(metropolis)
288 np.savetxt(fname_metropolis % file_dict, metropolis)
289
290 ### BALANCE DETALLADO IIIA - MATRIZ DE TRANSICIONES PARA REJILLA "FINA"
291 matrix_transitions_metropolis = np.zeros((2**(N_total_sites), 2**(
    N_total_sites)))
292 fine_total_iterations = len(metropolis)
293 for state in range(1, fine_total_iterations):
294     matrix_row_metropolis = int(metropolis[state-1])
295     matrix_column_metropolis = int(metropolis[state])
296     matrix_transitions_metropolis[matrix_row_metropolis][
        matrix_column_metropolis] = matrix_transitions_metropolis[
        matrix_row_metropolis][matrix_column_metropolis] + 1
297 print("Matriz de transiciones definida")
298
299 ### BALANCE DETALLADO IVA - DICCIONARIO PARA GRAFICAR PROMEDIOS <(Delta/N)
    ^2> PARA REJILLA "FINA"
300 fname_dictorig_metro = "tesis_IsingTest_scBD_L%(length)i_J%(coupling).3
    f_Jguess%(guess).3f_Nrondas%(turns).3e_seed%(seed)i_Ising_DictOriginal.
    txt"
301 dict_db_metro = {}
302 for row in range(2**(N_total_sites) - 1):
303     for column in range(row + 1, 2**(N_total_sites)):
304         pos_trans_metro = matrix_transitions_metropolis[row][column]
305         neg_trans_metro = matrix_transitions_metropolis[column][row]
306         delta_metro = pos_trans_metro - neg_trans_metro

```

```

307     total_metro = pos_trans_metro + neg_trans_metro
308     if total_metro == 0:
309         continue
310     key_total_metro = 'a' + str(total_metro)
311     if key_total_metro in dict_db_metro:
312         dict_db_metro[key_total_metro][0] = dict_db_metro[key_total_metro][0]
+ delta_metro ** 2
313         dict_db_metro[key_total_metro][1] = dict_db_metro[key_total_metro][1]
+ 1
314     else:
315         dict_db_metro[key_total_metro] = [delta_metro ** 2, 1]
316 # Almacenamiento
317 with open(fname_dictorig_metro % file_dict, "w") as write_dicto_metro:
318     json.dump(dict_db_metro, write_dicto_metro)
319 print("Diccionario 1 definido")
320
321 ### BALANCE DETALLADO V - GRÁFICA DE PROMEDIOS <(Delta/N)^2>
322 # Arreglos para rejilla "fina"
323 M = len(dict_db_metro)
324 metro_N = np.zeros(M)
325 metro_avg = np.zeros(M)
326 # Cálculo de promedios para rejilla "fina"
327 counter_entry_dbo_metro = 0
328 for key in dict_db_metro:
329     valueN_metro = int(float(key[1:]))
330     metro_N[counter_entry_dbo_metro] = valueN_metro
331     n_entries_metro = dict_db_metro[key][1]
332     ## "A MANO" ##
333     # Promedio "a mano"
334     sum_avg_metro = dict_db_metro[key][0] / (valueN_metro ** 2)
335     avg_metro = sum_avg_metro / n_entries_metro
336     metro_avg[counter_entry_dbo_metro] = avg_metro
337     counter_entry_dbo_metro = counter_entry_dbo_metro + 1
338
339 # Cálculo de chi^2
340 chi2 = 0
341 for counter_N, vN in enumerate(metro_N):
342     theoretical = 1.0 / vN
343     diff = (metro_avg[counter_N] - theoretical) ** 2
344     chi2 = chi2 + diff
345
346 max_N = max(metro_N)
347 x_ref = np.arange(1,max_N,0.1)
348 y_ref = np.zeros(len(x_ref))
349 for x in range(len(x_ref)):
350     y_ref[x] = 1 / x_ref[x]
351
352 figC2, axC2 = plt.subplots(nrows=1, ncols=1, figsize=(10,10))
353 plt.rcParams.update({'font.size': 24})
354 plt.rcParams.update({'xtick.labelsize': 22})
355 plt.rcParams.update({'ytick.labelsize': 22})
356 plt.tight_layout(pad=4, h_pad=4, w_pad=4)
357
358 axC2.set_title('Balance Detallado (Ising) - %(m)i valores de ' % {'m': M} +
+ r'$N$' + ', ' + r'$ \chi^2 = %(dif).3e $' % {'dif': chi2}, size=18)
359 axC2.set_yscale('log')
360 axC2.set_ylabel(r'$\left\langle \left( \Delta / N \right)^2 \right\rangle$',
+ , fontsize=22)

```

```

361 axC2.set_xscale('log')
362 axC2.set_xlabel(r'$N$', fontsize=22)
363 axC2.plot(x_ref, y_ref, 'r-', label=r'$N^{-1}$', markersize=18, linewidth=8)
364 axC2.plot(metro_N, metro_avg, 'bo', label='Metropolis', markerfacecolor='
    none', markeredgewidth=2, markersize=18)
365 axC2.legend(loc='lower left', fontsize='small')
366
367 plt.savefig("tesis_IsingTest_scBD_L%(length)i_J%(coupling).3f_Jguess%(guess)
    .3f_Nrondas%(turns).3e_seed%(seed)i_Ising_Graph.png" % file_dict)
368
369
370 ### DISTRIBUCIÓN DE PROBABILIDAD DADA LA EVOLUCIÓN DE LA REJILLA DE ISING
371 hist_metro, bins_metro = np.histogram(metropolis, bins = N_total_states,
    range = (0, N_total_states), density = True)
372 # Almacenamiento de histograma (probabilidades "experimentales")
373 hist_metro_fname = 'tesis_IsingTest_scBD_L%(length)i_J%(coupling).3f_Jguess
    %(guess).3f_Nrondas%(turns).3e_seed%(seed)i_c%(cte).3f_HistDB.txt'
374 np.savetxt(hist_metro_fname % file_dict, hist_metro)
375
376 #####
377 #####
378
379 ### DICCIONARIO CON ESTADOS S_I Y SUMAS DE PRODUCTOS ENTRE PARES DE ESPÍN
380 lattice_ising = ini_graf(L)
381 # Diccionario con sumas de energías
382 dict_sums = {}
383 tenth_progress = int(N_total_states / 10)
384 for state in range(N_total_states):
385     # Marcador de progreso
386     if state % tenth_progress == 0:
387         print('*')
388     # Definición de gráfica en estado definido
389     lattice_ising = def_edo(state, lattice_ising)
390     # Cálculo de productos
391     list_prod = []
392     for site1 in range(int(L ** 2)):
393         for site2 in list_1n_ising[site1][1]:
394             if site2 <= site1:
395                 continue
396             product = lattice_ising.nodes[site1]['u'] * lattice_ising.nodes[site2
    ]['u']
397             list_prod.append(product)
398     sum_prod = sum(list_prod)
399     energy = sum_prod
400     # Almacenamiento de energía
401     key_state = 's' + str(float(state))
402     dict_sums[key_state] = energy
403     lattice_ising = ini_graf(L)
404 # Almacenamiento de diccionario
405 dict_sumE_fname = 'tesis_IsingTest_scEG_L%(length)i_J%(coupling).3f_Jguess%(
    guess).3f_Nrondas%(turns).3e_seed%(seed)i_c%(cte).3f_ProtoE_dict.txt'
406 with open(dict_sumE_fname % file_dict, "w") as write_dictsums:
407     json.dump(dict_sums, write_dictsums)
408
409 ### LISTA CON SUMAS DE PRODUCTOS ENTRE PARES DE ESPÍN (PROTO-ENERGÍAS)
410 list_sums = []
411 for sum_prod in dict_sums.values():
412     if sum_prod not in list_sums:

```

```

413     list_sums.append(sum_prod)
414     else:
415         continue
416 # Almacenamiento de lista con sumas
417 listsums_fname = 'tesis_IsingTest_scEG_L%(length)i_J%(coupling).3f_Jguess%(
    guess).3f_Nrondas%(turns).3e_seed%(seed)i_c%(cte).3f_ProtoE_list.txt'
418 with open(listsums_fname % file_dict, "w") as write_listsums:
419     json.dump(list_sums, write_listsums)
420
421 ### LISTA CON PROTO-ENERGÍAS, PROBABILIDADES Y NÚMERO DE ESTADOS
    CORRESPONDIENTES
422 protoE_desord = []
423 for sum_prod in list_sums:
424     index_holder = []
425     for key_sum in dict_sums:
426         if dict_sums[key_sum] == sum_prod:
427             state = int(float(key_sum[1:]))
428             index_holder.append(state)
429         else:
430             continue
431     num_states_H = len(index_holder)
432     sum_probs = 0
433     for index in index_holder:
434         term = hist_metro[index]
435         sum_probs = sum_probs + term
436     protoE_desord.append([sum_prod, sum_probs, num_states_H])
437 # Almacenamiento de lista con probabilidades y total de estados
    correspondientes a proto-energías
438 pE_desord_fname = 'tesis_IsingTest_scEG_L%(length)i_J%(coupling).3f_Jguess%(
    guess).3f_Nrondas%(turns).3e_seed%(seed)i_c%(cte).3f_ProtoE&Prob&
    NS_desordenadas.txt'
439 with open(pE_desord_fname % file_dict, "w") as write_protoE_desord:
440     json.dump(protoE_desord, write_protoE_desord)
441
442 ### ORDENAMIENTO DE PROTO-ENERGÍAS POR PROBABILIDAD
443 # Lista con probabilidades de proto-energías, ordenadas de mayor a menor
444 prob_ord = []
445 for pair in protoE_desord:
446     prob_ord.append(pair[1])
447 prob_ord = sorted(prob_ord, reverse = True)
448 # Ordenamiento de lista con (proto-)energías y probabilidades asociadas
449 finale = []
450 protoE = []
451 for probability in prob_ord:
452     for entry in protoE_desord:
453         if entry[1] == probability:
454             if entry not in protoE:
455                 energ = (-J*entry[0])
456                 finale.append([energ, entry[1], entry[2]])
457                 protoE.append(entry)
458                 break
459             else:
460                 continue
461         else:
462             continue
463 # Almacenamiento de lista con probabilidades y total de estados
    correspondientes a proto-energías
464 finale_fname = 'tesis_IsingTest_scEG_L%(length)i_J%(coupling).3f_Jguess%(

```

```

    guess).3f_Nrondas%(turns).3e_seed%(seed)i_c%(cte).3f_E&Prob&NS.txt'
465 with open(finalE_fname % file_dict, "w") as write_finalE:
466     json.dump(finalE, write_finalE)
467 protoE_fname = 'tesis_IsingTest_scEG_L%(length)i_J%(coupling).3f_Jguess%(
    guess).3f_Nrondas%(turns).3e_seed%(seed)i_c%(cte).3f_ProtoE&Prob&NS.txt'
468 with open(protoE_fname % file_dict, "w") as write_protoE:
469     json.dump(protoE, write_protoE)
470
471 #####
472 #####
473
474 ### ARREGLOS CON VALORES RELEVANTES
475 # Proto-energías
476 pE_values = np.array([pe[0] for pe in protoE])
477 # Energías
478 E_values = np.array([ev[0] for ev in finalE])
479 # Probabilidades
480 probx_values = np.array([pe[1] for pe in protoE])
481
482 #####
483 #####
484 ##### Ajustes inclusivos #####
485
486 ### AJUSTE (curve_fit)
487 print('##### curve_fit
    #####')
488 # Ajuste
489 J_cf, cov_cf = curve_fit(probabilidad_Boltzmann, pE_values, probx_values, p0
    =Jguess)
490 # Almacenamiento
491 Jcf_fname = 'tesis_IsingTest_scEG_chi2_std_L%(length)i_J%(coupling).3
    f_Jguess%(guess).3f_Nrondas%(turns).3e_seed%(seed)i_c%(cte).3
    f_LS_CurveFit_J.txt'
492 np.savetxt(Jcf_fname % file_dict, J_cf)
493 # Esquema Estado
494 ps_cf, es_cf, Zs_cf = pe_estado(J_cf)
495
496 # Residuos
497 chi2_cf = np.sum((np.array(ps_cf) - np.array(hist_metro)) ** 2)
498 # Almacenamiento
499 chi2cf_fname = 'tesis_IsingTest_scEG_chi2_std_L%(length)i_J%(coupling).3
    f_Jguess%(guess).3f_Nrondas%(turns).3e_seed%(seed)i_c%(cte).3
    f_LS_CurveFit_chi2.txt'
500 np.savetxt(chi2cf_fname % file_dict, np.array([chi2_cf]))
501
502
503 ### AJUSTE (minimize_scalar)
504 print('##### minimize_scalar
    #####')
505 # Ajuste
506 res_ms = minimize_scalar(res2_ms)
507 J_ms_v = res_ms.x
508 J_ms = np.array([J_ms_v])
509 # Almacenamiento
510 Jms_fname = 'tesis_IsingTest_scEG_chi2_std_L%(length)i_J%(coupling).3
    f_Jguess%(guess).3f_Nrondas%(turns).3e_seed%(seed)i_c%(cte).3
    f_LS_MinimizeScalar_J.txt'
511 np.savetxt(Jms_fname % file_dict, J_ms)

```

```

512 # Esquema Estado
513 ps_ms, es_ms, Zs_ms = pe_estado(J_ms)
514
515 # Residuos
516 chi2_ms = np.sum((np.array(ps_ms) - np.array(hist_metro)) ** 2)
517 # Almacenamiento
518 chi2ms_fname = 'tesis_IsingTest_scEG_chi2_std_L%(length)i_J%(coupling).3
    f_Jguess%(guess).3f_Nrondas%(turns).3e_seed%(seed)i_c%(cte).3
    f_LS_MinimizeScalar_chi2.txt'
519 np.savetxt(chi2ms_fname % file_dict, np.array([chi2_ms]))
520
521 ### AJUSTE (minimize)
522 print('##### minimize
    #####')
523 # Ajuste
524 res_min = minimize(res2_min, Jguess)
525 J_min = res_min.x
526 # Almacenamiento
527 Jmin_fname = 'tesis_IsingTest_scEG_chi2_std_L%(length)i_J%(coupling).3
    f_Jguess%(guess).3f_Nrondas%(turns).3e_seed%(seed)i_c%(cte).3
    f_LS_Minimize_J.txt'
528 np.savetxt(Jmin_fname % file_dict, J_min)
529 # Esquema Estado
530 ps_min, es_min, Zs_min = pe_estado(J_min)
531
532
533 # Residuos
534 chi2_min = np.sum((np.array(ps_min) - np.array(hist_metro)) ** 2)
535 # Almacenamiento
536 chi2min_fname = 'tesis_IsingTest_scEG_chi2_std_L%(length)i_J%(coupling).3
    f_Jguess%(guess).3f_Nrondas%(turns).3e_seed%(seed)i_c%(cte).3
    f_LS_Minimize_chi2.txt'
537 np.savetxt(chi2min_fname % file_dict, np.array([chi2_min]))
538
539
540 # Proto-energías
541 print('Proto-energías: ')
542 print(pE_values)
543 # Probabilidades
544 print('Probabilidades: ')
545 print(probx_values)
546 # Energías
547 print('Energías (T): ')
548 print(E_values)
549 print('Energías (fit inclusivo - curve_fit): ')
550 fitE_values_cf = np.array(-J_cf*pE_values)
551 print(fitE_values_cf)
552
553 print('Energías (fit inclusivo - minimize_scalar): ')
554 fitE_values_ms = np.array(-J_ms_v*pE_values)
555 print(fitE_values_ms)
556
557 print('Energías (fit inclusivo - minimize): ')
558 fitE_values_min = np.array(-J_min[0]*pE_values)
559 print(fitE_values_min)
560
561
562 ### CURVA TEÓRICA

```

```

563 ps_teo, es_teo, Zs_teo = pe_estado(np.array([J]))
564
565 # Residuos
566 chi2_teo = np.sum((np.array(ps_teo) - np.array(hist_metro)) ** 2)
567 # Almacenamiento
568 chi2t_fname = 'tesis_IsingTest_scEG_chi2_std_L%(length)i_J%(coupling).3
           f_Jguess%(guess).3f_Nrondas%(turns).3e_seed%(seed)i_c%(cte).3
           f_LS_Teorico_chi2.txt'
569 np.savetxt(chi2t_fname % file_dict, np.array([chi2_teo]))
570
571
572 #####
573 #####
574
575 ### GRÁFICA CON AJUSTE (Curve Fit)
576 plt.figure(1)
577 #fig3, ((ax3a, ax3b), (ax3c, ax3d), (ax3e, ax3f), (ax3g, ax3h)) = plt.
           subplots(nrows=4, ncols=2, figsize=(30,60))
578 fig1, ax1 = plt.subplots(nrows=1, ncols=1, figsize=(10,10))
579 #fig3, ax3a = plt.subplots(nrows=1, ncols=1, figsize=(18,18))
580 plt.rcParams.update({'font.size': 24})
581 plt.rcParams.update({'xtick.labelsize': 22})
582 plt.rcParams.update({'ytick.labelsize': 22})
583 plt.tight_layout(pad=4, h_pad=4, w_pad=4)
584 #####
585 #### Inclusivo ####
586 #####
587 ax1.set_title('Ising ' + r'$(J=%5.3f, J_{g}=%5.3f)$' % tuple([J, Jguess]))
588 ax1.set_yscale('log')
589 ax1.set_ylabel(r'$P(S_{i})$', fontsize=22)
590 max_prob = max(hist_metro)
591 min_prob = minPos(hist_metro)
592 ax1.set_ylim(bottom=min_prob/10.0, top=max_prob*10)
593 ax1.set_xlabel(r'$H(S_{i})$', fontsize=22)
594 minE_inc = min(min(fitE_values_cf), min(fitE_values_ms), min(fitE_values_min
           ), min(E_values))
595 maxE_inc = max(max(fitE_values_cf), max(fitE_values_ms), min(fitE_values_min
           ), max(E_values))
596 delE_inc = (maxE_inc - minE_inc) / 10.0
597 ax1.set_xlim(minE_inc - delE_inc, maxE_inc + delE_inc)
598 ax1.tick_params(axis='both', which='major', labelsize=20)
599 # Teóricos
600 ax1.plot(es_teo, hist_metro, 'sr', markerfacecolor='none', markeredgcolor='
           g', markeredgewidth='2', label = r'$E_{T}$' + ' / ' + r'$P_{Exp}$' + ' '
           + r'$(\chi^2=%5.3e)$' % tuple([chi2_teo]), markersize=20)
601 # Ajuste - curve_fit
602 ax1.plot(es_cf, hist_metro, 'bo', markeredgcolor='k', markeredgewidth='1',
           label = r'$E_{fit}$' + ' / ' + r'$P_{Exp}$' + ' (cf: J=%5.3f, ' % tuple(
           J_cf) + r'$\chi^2_{std}=%5.3e)$' % tuple([chi2_cf]), markersize=12)
603 # Línea teórica
604 ax1.plot(es_teo, ps_teo, 'r-', label = r'$E_{T}$' + ' / ' + r'$P_{T}$',
           linewidth=8, alpha=0.5)
605 ax1.legend(loc='upper right', fontsize=15)
606
607 # Almacenamiento
608 graphXa_imgname = 'tesis_IsingTest_scEG_chi2_std_L%(length)i_J%(coupling).3
           f_Jguess%(guess).3f_Nrondas%(turns).3e_seed%(seed)i_c%(cte).3
           f_LS_CurveFit_GraphTotalX.png'

```

```

609 plt.savefig(graphXa_imgname % file_dict)
610
611 ### GRÁFICA CON AJUSTE (Minimize Scalar)
612 plt.figure(2)
613 #fig3, ((ax3a, ax3b), (ax3c, ax3d), (ax3e, ax3f), (ax3g, ax3h)) = plt.
        subplots(nrows=4, ncols=2, figsize=(30,60))
614 fig2, ax2 = plt.subplots(nrows=1, ncols=1, figsize=(10,10))
615 #fig3, ax3a = plt.subplots(nrows=1, ncols=1, figsize=(18,18))
616 plt.rcParams.update({'font.size': 24})
617 plt.rcParams.update({'xtick.labelsize': 22})
618 plt.rcParams.update({'ytick.labelsize': 22})
619 plt.tight_layout(pad=4, h_pad=4, w_pad=4)
620 #####
621 #### Inclusivo ####
622 #####
623 ax2.set_title('Ising ' + r'$(J=%5.3f, J_{g}=%5.3f)$' % tuple([J, Jguess]))
624 ax2.set_yscale('log')
625 ax2.set_ylabel(r'$P(S_{i})$', fontsize=22)
626 max_prob = max(hist_metro)
627 min_prob = minPos(hist_metro)
628 ax2.set_ylim(bottom=min_prob/10.0, top=max_prob*10)
629 ax2.set_xlabel(r'$H(S_{i})$', fontsize=22)
630 minE_inc = min(min(fitE_values_cf), min(fitE_values_ms), min(fitE_values_min
        ), min(E_values))
631 maxE_inc = max(max(fitE_values_cf), max(fitE_values_ms), min(fitE_values_min
        ), max(E_values))
632 delE_inc = (maxE_inc - minE_inc) / 10.0
633 ax2.set_xlim(minE_inc - delE_inc, maxE_inc + delE_inc)
634 ax2.tick_params(axis='both', which='major', labelsize=20)
635 # Teóricos
636 ax2.plot(es_teo, hist_metro, 'sr', markerfacecolor='none', markeredgewidth='2',
        label = r'$E_{T}$' + ' / ' + r'$P_{Exp}$' + ' , '
        + r'$(\chi^2=%5.3e)$' % tuple([chi2_teo]), markersize=20)
637 # Ajuste - minimize_scalar
638 ax2.plot(es_ms, hist_metro, 'bo', markeredgewidth='1',
        label = r'$E_{Fit}$' + ' / ' + r'$P_{Exp}$' + ' (ms: J=%5.3f, ' % tuple(
        J_ms) + r'$(\chi^2_{std}=%5.3e)$' % tuple([chi2_ms]), markersize=12)
639 # Línea teórica
640 ax2.plot(es_teo, ps_teo, 'r-', label = r'$E_{T}$' + ' / ' + r'$P_{T}$',
        linewidth=8, alpha=0.5)
641 ax2.legend(loc='upper right', fontsize=15)
642
643 # Almacenamiento
644 graphXb_imgname = 'tesis_IsingTest_scEG_chi2_std_L%(length)i_J%(coupling).3
        f_Jguess%(guess).3f_Nrondas%(turns).3e_seed%(seed)i_c%(cte).3
        f_LS_MinimizeScalar_GraphTotalX.png'
645 plt.savefig(graphXb_imgname % file_dict)
646
647
648 ### GRÁFICA CON AJUSTE (Minimize)
649 plt.figure(3)
650 #fig3, ((ax3a, ax3b), (ax3c, ax3d), (ax3e, ax3f), (ax3g, ax3h)) = plt.
        subplots(nrows=4, ncols=2, figsize=(30,60))
651 fig3, ax3 = plt.subplots(nrows=1, ncols=1, figsize=(10,10))
652 #fig3, ax3a = plt.subplots(nrows=1, ncols=1, figsize=(18,18))
653 plt.rcParams.update({'font.size': 24})
654 plt.rcParams.update({'xtick.labelsize': 22})
655 plt.rcParams.update({'ytick.labelsize': 22})

```

```

656 plt.tight_layout(pad=4, h_pad=4, w_pad=4)
657 #####
658 #### Inclusivo ####
659 #####
660 ax3.set_title('Ising ' + r'$(J=%5.3f, J_{g}=%5.3f)$' % tuple([J, Jguess]))
661 ax3.set_yscale('log')
662 ax3.set_ylabel(r'$P(S_{i})$', fontsize=22)
663 max_prob = max(hist_metro)
664 min_prob = minPos(hist_metro)
665 ax3.set_ylim(bottom=min_prob/10.0, top=max_prob*10)
666 ax3.set_xlabel(r'$H(S_{i})$', fontsize=22)
667 minE_inc = min(min(fitE_values_cf), min(fitE_values_ms), min(fitE_values_min
    ), min(E_values))
668 maxE_inc = max(max(fitE_values_cf), max(fitE_values_ms), min(fitE_values_min
    ), max(E_values))
669 delE_inc = (maxE_inc - minE_inc) / 10.0
670 ax3.set_xlim(minE_inc - delE_inc, maxE_inc + delE_inc)
671 ax3.tick_params(axis='both', which='major', labelsize=20)
672 # Teóricos
673 ax3.plot(es_teo, hist_metro, 'sr', markerfacecolor='none', markeredgewidth='2', label = r'$E_{T}$' + ' / ' + r'$P_{Exp}$' + ' '
    + r'$(\chi^2=%5.3e)$' % tuple([chi2_teo]), markersize=20)
674 # Ajuste - minimize
675 ax3.plot(es_min, hist_metro, 'bo', markeredgewidth='1', label = r'$E_{Fit}$' + ' / ' + r'$P_{Exp}$' + ' (m: J=%5.3f, ' % tuple(
    J_min) + r'$\chi^2_{std}=%5.3e)$' % tuple([chi2_min]), markersize=12)
676 # Línea teórica
677 ax3.plot(es_teo, ps_teo, 'r-', linewidth=8, alpha=0.5)
678 ax3.legend(loc='upper right', fontsize=15)
679
680 # Almacenamiento
681 graphXc_imgname = 'tesis_IsingTest_scEG_chi2_std_L%(length)i_J%(coupling).3
    f_Jguess%(guess).3f_Nrondas%(turns).3e_seed%(seed)i_c%(cte).3
    f_LS_Minimize_GraphTotalX.png'
682 plt.savefig(graphXc_imgname % file_dict)

```

Apéndice L

Gráficas de simulaciones para prueba de distribución de Boltzmann en rejillas de mapeo acoplado “a grano grueso” bajo los cuatro esquemas de minimización

Las gráficas en las siguientes figuras han sido etiquetadas de acuerdo al esquema empleado para determinar los valores óptimos de los coeficientes $\alpha(d)$:

- (a) Esquema local 0: El método que regulaba las variaciones en los coeficientes $\alpha(d)$ efectuadas por `minimize` no fue suministrado y todos los coeficientes α podían ser equivalentes a cualquier número real.
- (b) Esquema local 1: La función `minimize` operó con el método `trust-constr` sobre todos los coeficientes α simultáneamente.
- (c) Esquema gradual 0: Sin haber proporcionado un método específico a `minimize`, los coeficientes $\alpha(d)$ fueron determinados de uno en uno.
- (d) Esquema gradual 1: `minimize` definió un coeficiente a la vez implementando el método `trust-constr`.

L.1. Resultados de sistema CG-CML construido a partir de una rejilla de mapeo acoplado de longitud $L = 8$, grano $G = 2$ y acoplamiento $g = 0.204$

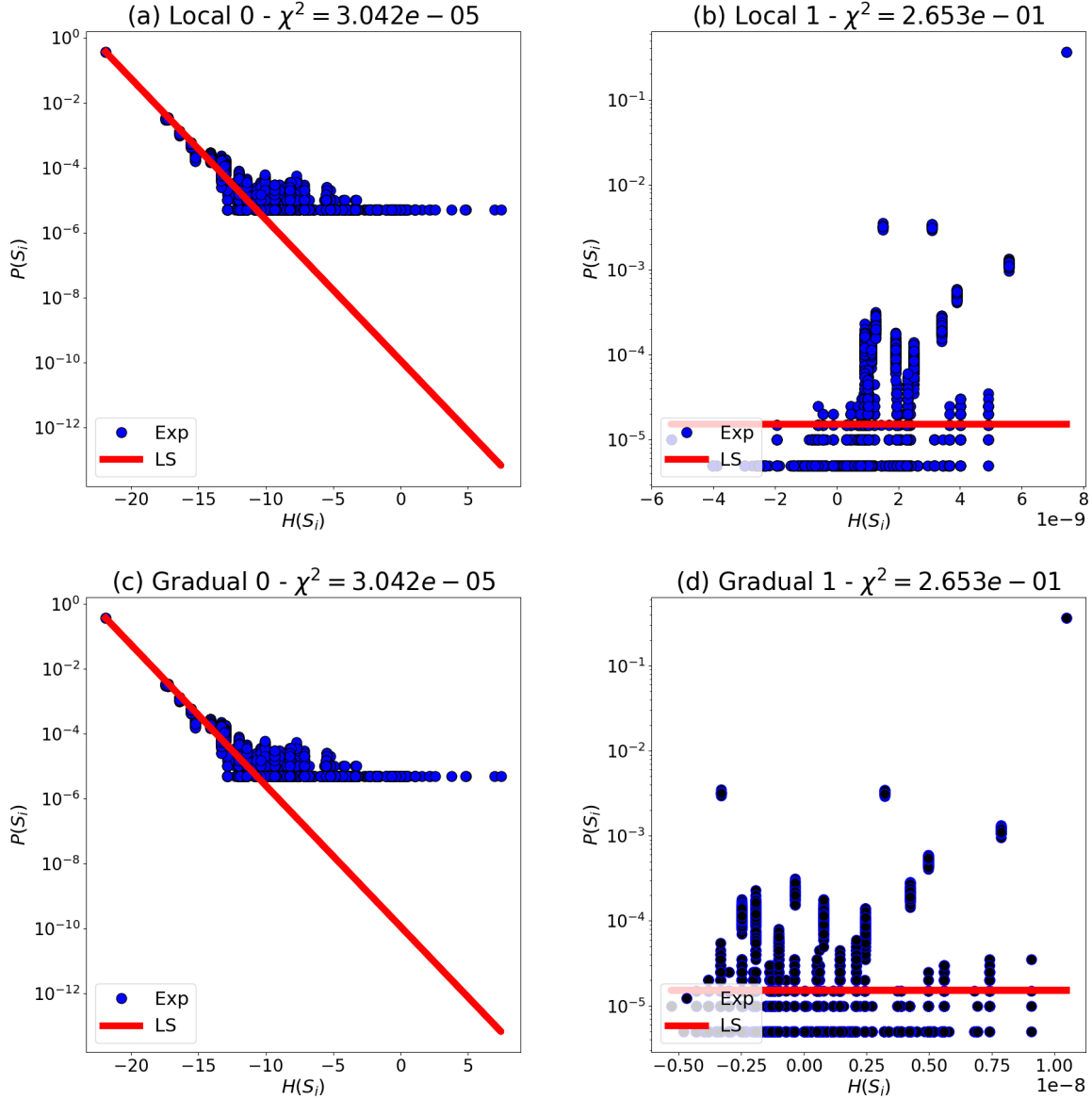


Figura L.1: $\langle (\Delta^{(i,j)} / N^{(i,j)})^2 \rangle$ en sistema CG-CML de 4×4 sitios

Figura L.2: Relación entre las probabilidades $\mathcal{P}(S_i)$ de los estados S_i y las energías $\mathcal{H}(S_i)$ disponibles a un sistema CG-CML de 4×4 sitios con una evolución temporal de 2×10^5 iteraciones y semilla $s = 3249191637585704358$. Tal sistema fue generado a partir de una rejilla de mapeo acoplado con longitud $L = 8$, grano $G = 2$ y acoplamiento $g = 0.204$. Los puntos azules corresponden a las mediciones de las probabilidades de cada energía tras el ajuste y la recta roja marca la distribución de Boltzmann asociada a los coeficientes $\alpha(d)$ ajustados.

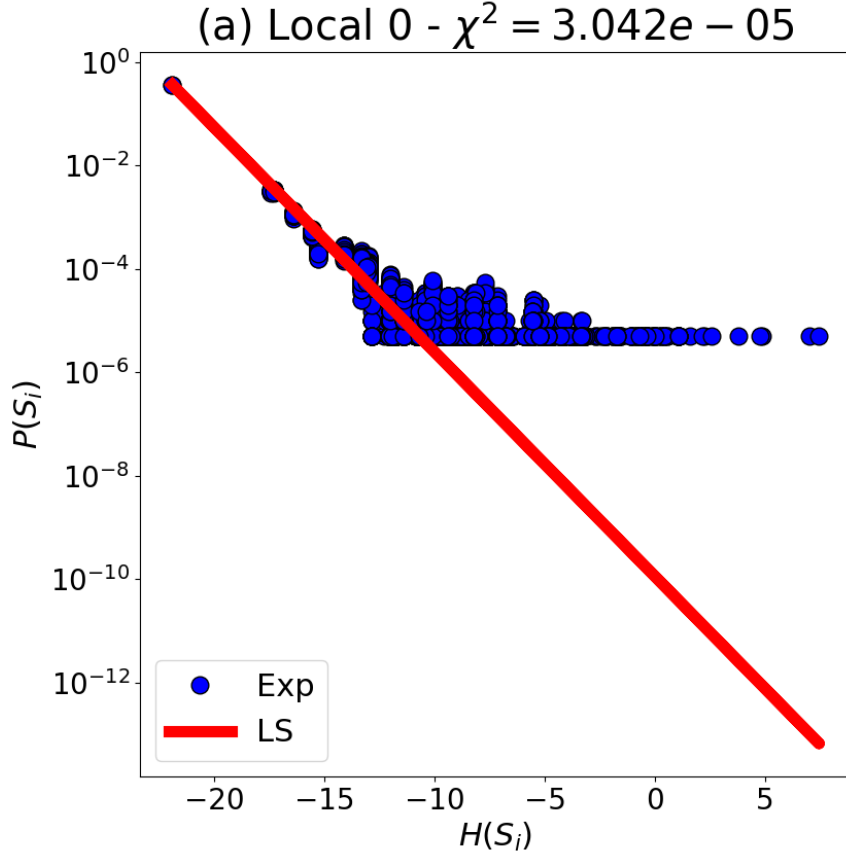


Figura L.3: Distribución de probabilidades $\mathcal{P}(\mathcal{S}_i)$ de los estados S_i en términos de las energías $\mathcal{H}(S_i)$ disponibles a un sistema CG-CML de 4×4 sitios con una evolución temporal de 2×10^5 iteraciones y semilla $s = 3249191637585704358$, usando el esquema de minimización local 0. Tal sistema fue generado a partir de una rejilla de mapeo acoplado con longitud $L = 8$, grano $G = 2$ y acoplamiento $g = 0.204$. Los puntos azules corresponden a las mediciones de las probabilidades de cada energía tras el ajuste y la recta roja marca la distribución de Boltzmann asociada a los coeficientes $\alpha(d)$ ajustados.

Método	$\alpha(1)$	$\alpha(\sqrt{2})$	$\alpha(2)$	$\alpha(\sqrt{5})$	$\alpha(\sqrt{8})$	χ^2
Local 0	-1.1507E+00	3.9358E-01	1.4258E-01	6.3760E-02	-2.4802E-01	3.0417E-05
Gradual 0	-1.1507E+00	3.9357E-01	1.4257E-01	6.3777E-02	-2.4805E-01	3.0416E-05
Local 1	4.2851E-11	7.2450E-11	3.0028E-10	-1.5109E-11	-7.0469E-11	2.6535E-01
Gradual 1	-6.8332E-11	9.1560E-11	5.4079E-10	-7.1040E-11	4.1901E-10	2.6535E-01

Cuadro L.1: Acoplamientos $\alpha(d)$ ajustados a distribución experimental de probabilidades $\mathcal{P}(S_i)$ de sistema CG-CML de 4×4 sitios con una evolución temporal de 2×10^5 iteraciones, elaborado a partir de una rejilla de mapeo acoplado de longitud $L = 8$, tamaño de grano $G = 2$ y acoplamiento $g = 0.204$

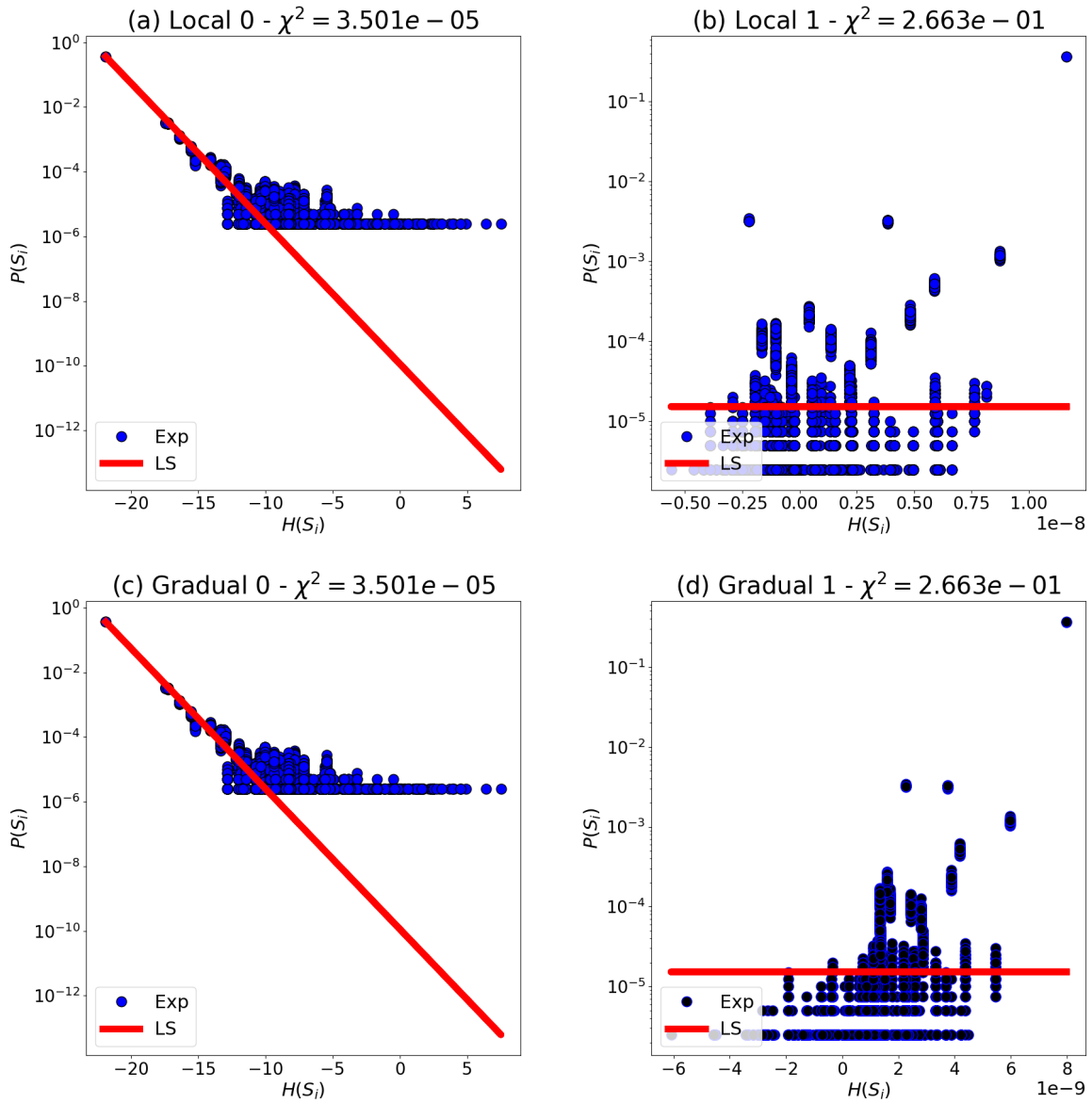


Figura L.4: Relación entre las probabilidades $\mathcal{P}(\mathcal{S}_i)$ de los estados \mathcal{S}_i y las energías $\mathcal{H}(\mathcal{S}_i)$ disponibles a un sistema CG-CML de 4×4 sitios con una evolución temporal de 4×10^5 iteraciones y semilla $s = 5617058624460882590$. Tal sistema fue generado a partir de una rejilla de mapeo acoplado con longitud $L = 8$, grano $G = 2$ y acoplamiento $g = 0.204$. Los puntos azules corresponden a las mediciones de las probabilidades de cada energía tras el ajuste y la recta roja marca la distribución de Boltzmann asociada a los coeficientes $\alpha(d)$ ajustados.

L.2. Resultados de sistema CG-CML construido a partir de una rejilla de mapeo acoplado de longitud $L = 32$, grano $G = 8$ y acoplamiento $g = 0.204$

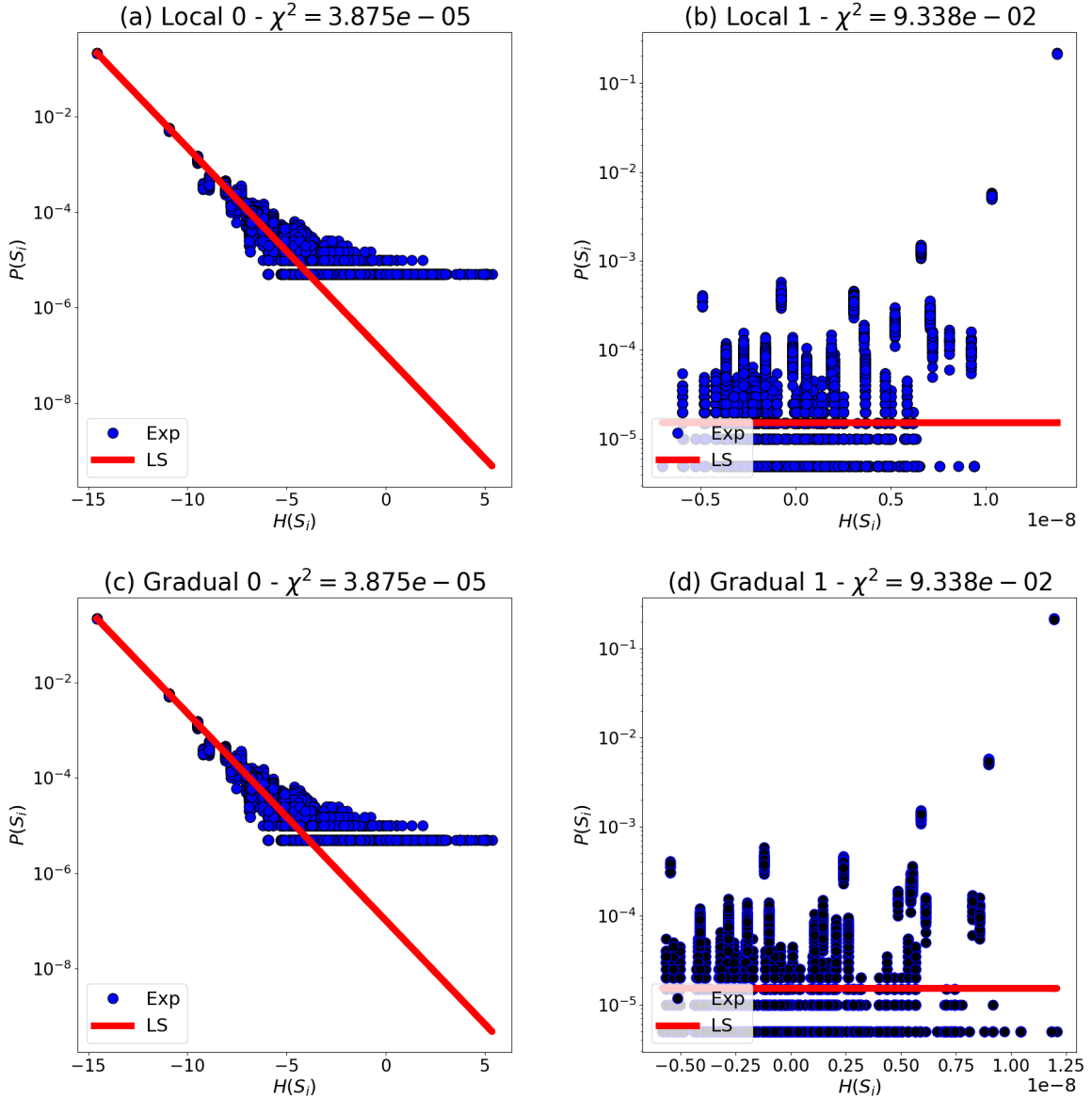


Figura L.5: Relación entre las probabilidades $\mathcal{P}(S_i)$ de los estados S_i y las energías $\mathcal{H}(S_i)$ disponibles a un sistema CG-CML de 4×4 sitios con una evolución temporal de 2×10^5 iteraciones y semilla $s = 3316581566959966622$. Tal sistema fue generado a partir de una rejilla de mapeo acoplado con longitud $L = 32$, grano $G = 8$ y acoplamiento $g = 0.204$. Los puntos azules corresponden a las mediciones de las probabilidades de cada energía tras el ajuste y la recta roja marca la distribución de Boltzmann asociada a los coeficientes $\alpha(d)$ ajustados.

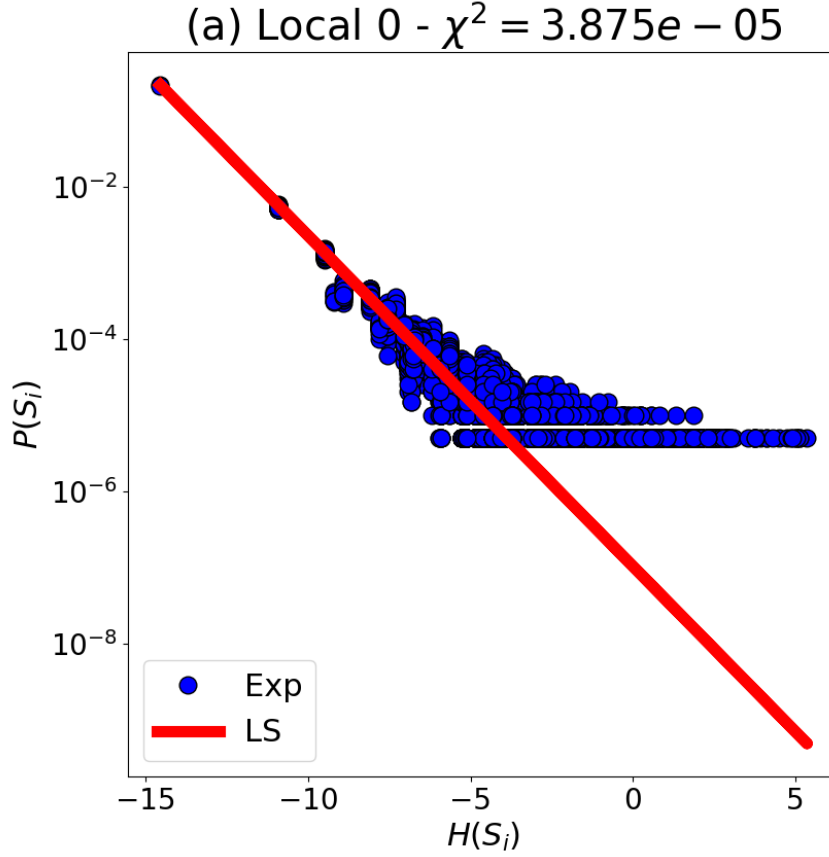


Figura L.6: Distribución de probabilidades $\mathcal{P}(S_i)$ de los estados S_i en términos de las energías $\mathcal{H}(S_i)$ disponibles a un sistema CG-CML de 4×4 sitios con una evolución temporal de 2×10^5 iteraciones y semilla $s = 3316581566959966622$, usando el esquema de minimización local 0. Tal sistema fue generado a partir de una rejilla de mapeo acoplado con longitud $L = 32$, grano $G = 8$ y acoplamiento $g = 0.204$. Los puntos azules corresponden a las mediciones de las probabilidades de cada energía tras el ajuste y la recta roja marca la distribución de Boltzmann asociada a los coeficientes $\alpha(d)$ ajustados.

Método	$\alpha(1)$	$\alpha(\sqrt{2})$	$\alpha(2)$	$\alpha(\sqrt{5})$	$\alpha(\sqrt{8})$	χ^2
Local 0	-5.5594E-01	-3.3749E-03	1.3565E-01	5.3624E-02	-6.7698E-02	3.8753E-05
Gradual 0	-5.5593E-01	-3.3855E-03	1.3562E-01	5.3655E-02	-6.7743E-02	3.8753E-05
Local 1	-7.1539E-11	4.6800E-11	5.9189E-10	8.1959E-11	3.0542E-10	9.3382E-02
Gradual 1	-1.9384E-11	-1.1168E-10	6.4835E-10	3.8680E-11	5.6796E-10	9.3382E-02

Cuadro L.2: Acoplamientos $\alpha(d)$ ajustados a distribución experimental de probabilidades $\mathcal{P}(S_i)$ de sistema CG-CML de 4×4 sitios con una evolución temporal de 2×10^5 iteraciones, elaborado a partir de una rejilla de mapeo acoplado de longitud $L = 32$, tamaño de grano $G = 8$ y acoplamiento $g = 0.204$

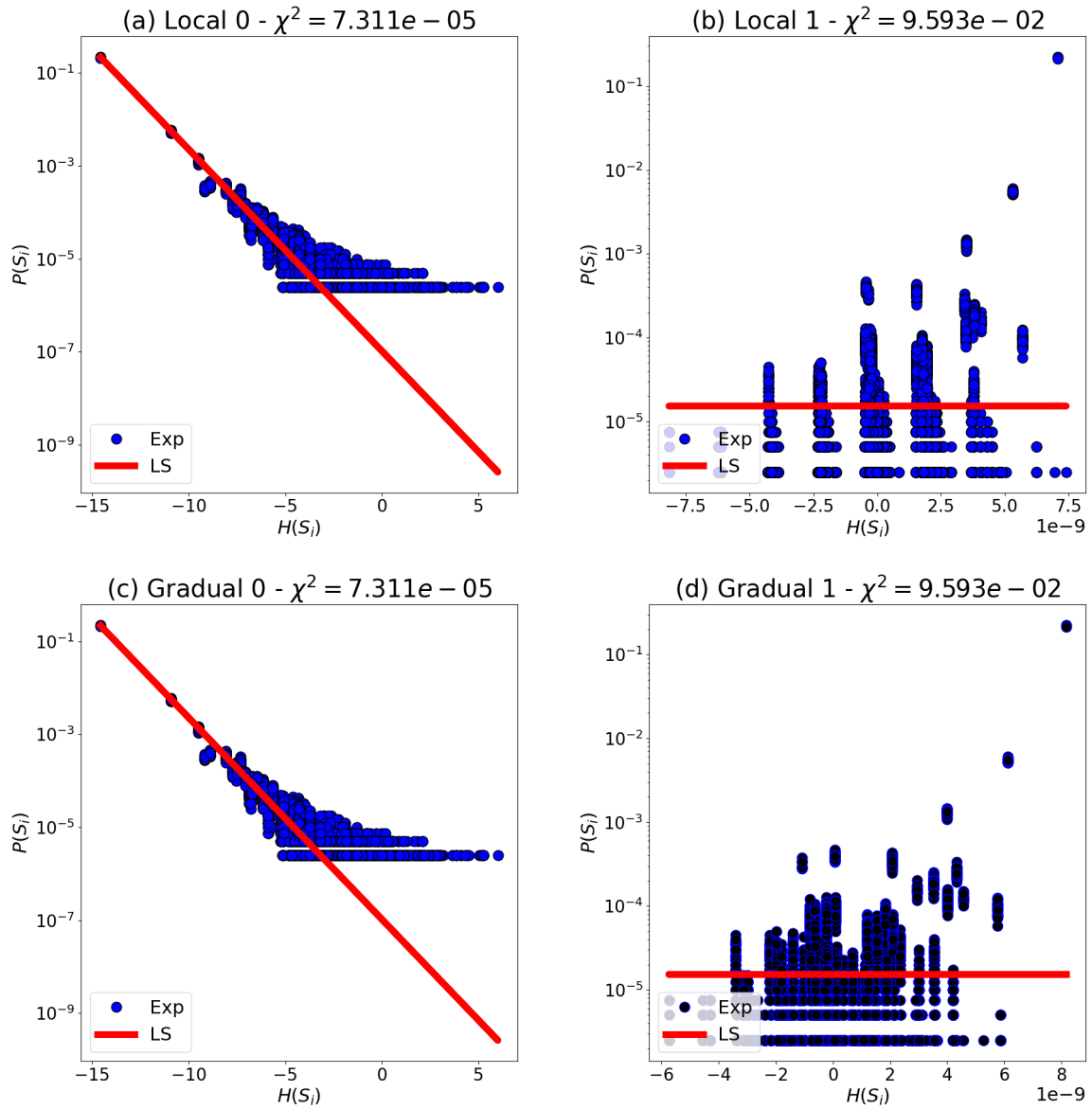


Figura L.7: Relación entre las probabilidades $\mathcal{P}(S_i)$ de los estados S_i y las energías $\mathcal{H}(S_i)$ disponibles a un sistema CG-CML de 4×4 sitios con una evolución temporal de 4×10^5 iteraciones y semilla $s = 3759620218372826529$. Tal sistema fue generado a partir de una rejilla de mapeo acoplado con longitud $L = 32$, grano $G = 8$ y acoplamiento $g = 0.204$. Los puntos azules corresponden a las mediciones de las probabilidades de cada energía tras el ajuste y la recta roja marca la distribución de Boltzmann asociada a los coeficientes $\alpha(d)$ ajustados.

L.3. Resultados de sistema CG-CML construido a partir de una rejilla de mapeo acoplado de longitud $L = 32$, grano $G = 8$ y acoplamiento $g = 0$

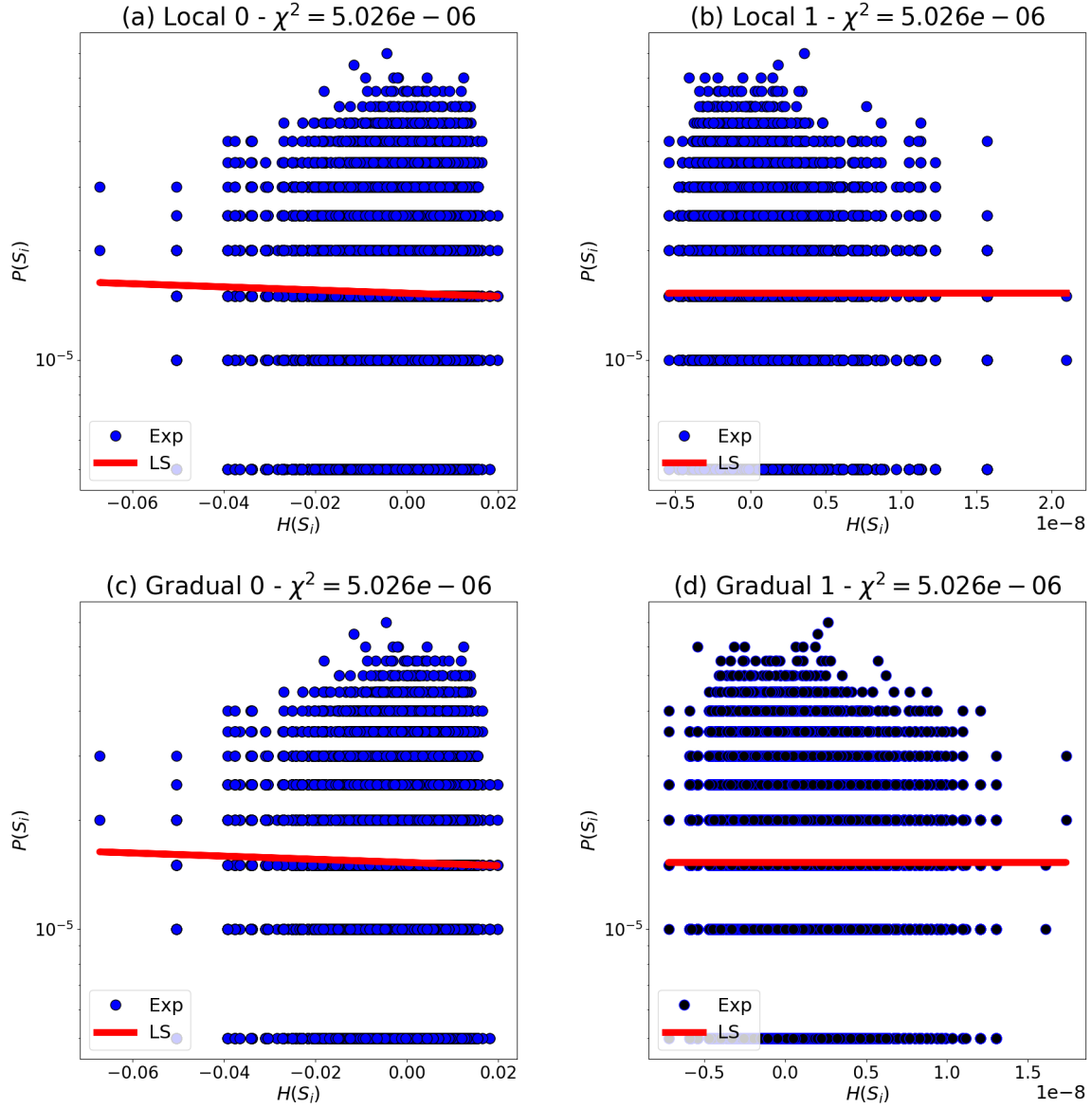


Figura L.8: Relación entre las probabilidades $\mathcal{P}(S_i)$ de los estados S_i y las energías $\mathcal{H}(S_i)$ disponibles a un sistema CG-CML de 4×4 sitios con una evolución temporal de 2×10^5 iteraciones y semilla $s = 6197905548778816112$. Tal sistema fue generado a partir de una rejilla de mapeo acoplado con longitud $L = 32$, grano $G = 8$ y acoplamiento $g = 0$. Los puntos azules corresponden a las mediciones de las probabilidades de cada energía tras el ajuste y la recta roja marca la distribución de Boltzmann asociada a los coeficientes $\alpha(d)$ ajustados.

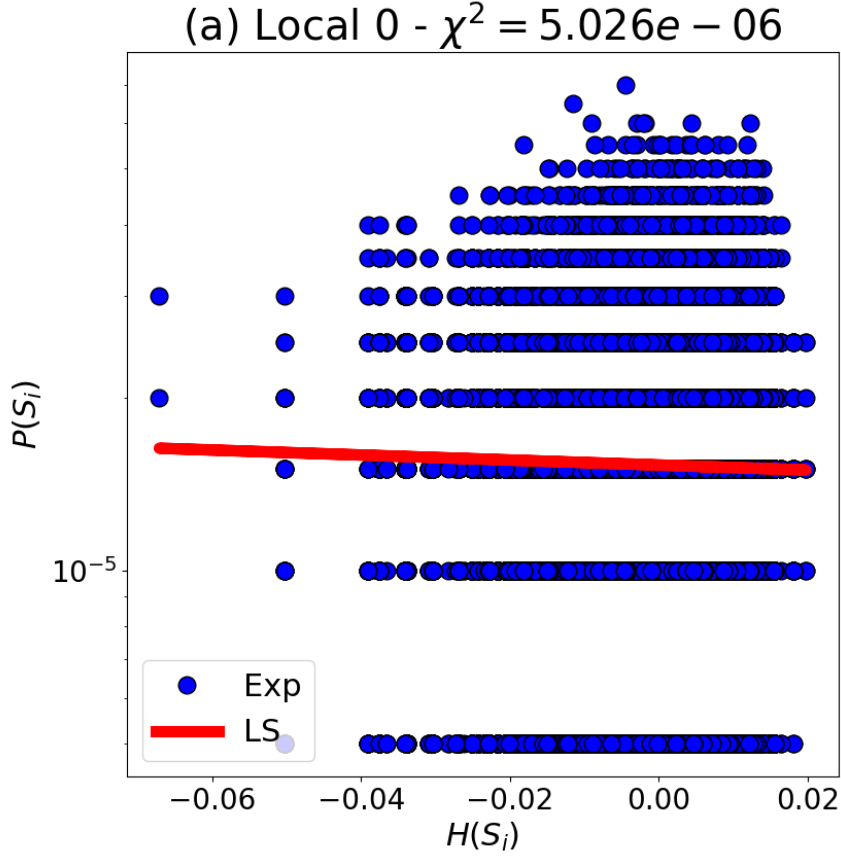


Figura L.9: $\langle (\Delta^{(i,j)} / N^{(i,j)})^2 \rangle$ en sistema CG-CML de 4×4 sitios

Figura L.10: Distribución de probabilidades $\mathcal{P}(S_i)$ de los estados S_i en términos de las energías $\mathcal{H}(S_i)$ disponibles a un sistema CG-CML de 4×4 sitios con una evolución temporal de 2×10^5 iteraciones y semilla $s = 6197905548778816112$, usando el esquema de minimización local 0. Tal sistema fue generado a partir de una rejilla de mapeo acoplado con longitud $L = 32$, grano $G = 8$ y acoplamiento $g = 0$. Los puntos azules corresponden a las mediciones de las probabilidades de cada energía tras el ajuste y la recta roja marca la distribución de Boltzmann asociada a los coeficientes $\alpha(d)$ ajustados.

Método	$\alpha(1)$	$\alpha(\sqrt{2})$	$\alpha(2)$	$\alpha(\sqrt{5})$	$\alpha(\sqrt{8})$	χ^2
Local 0	1.4067E-04	-6.6447E-05	-1.3978E-03	1.0054E-03	-7.4231E-04	5.0256E-06
Gradual 0	1.3689E-04	-7.3613E-05	-1.4032E-03	1.0040E-03	-7.4070E-04	5.0256E-06
Local 1	1.1626E-11	2.0604E-10	4.4641E-10	1.6032E-10	2.1396E-10	5.0258E-06
Gradual 1	-8.5312E-11	1.7386E-10	5.7332E-10	6.5242E-11	2.4689E-10	5.0258E-06

Cuadro L.3: Acoplamientos $\alpha(d)$ ajustados a distribución experimental de probabilidades $\mathcal{P}(S_i)$ de sistema CG-CML de 4×4 sitios con una evolución temporal de 2×10^5 iteraciones, elaborado a partir de una rejilla de mapeo acoplado de longitud $L = 32$, tamaño de grano $G = 8$ y acoplamiento $g = 0.000$

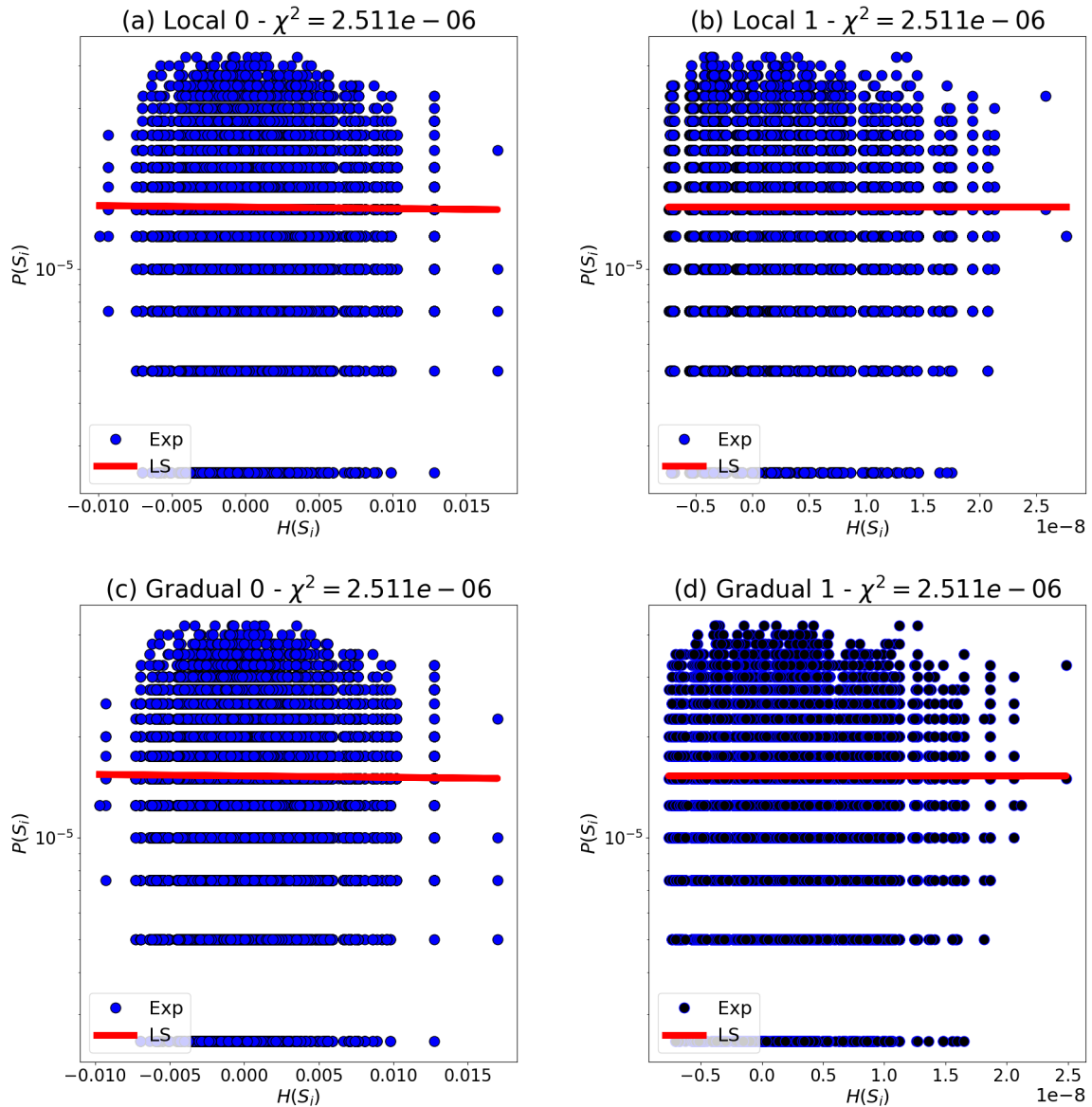


Figura L.11: Relación entre las probabilidades $\mathcal{P}(\mathcal{S}_i)$ de los estados S_i y las energías $\mathcal{H}(S_i)$ disponibles a un sistema CG-CML de 4×4 sitios con una evolución temporal de 4×10^5 iteraciones y semilla $s = 4523530975986176005$. Tal sistema fue generado a partir de una rejilla de mapeo acoplado con longitud $L = 32$, grano $G = 8$ y acoplamiento $g = 0$. Los puntos azules corresponden a las mediciones de las probabilidades de cada energía tras el ajuste y la recta roja marca la distribución de Boltzmann asociada a los coeficientes $\alpha(d)$ ajustados.

Apéndice M

Código para prueba de distribución de Boltzmann para los estados de rejilla de mapeo acoplado “a grano grueso” considerando distintos números de acoplamientos entre sitios

```
1 import sys
2 import numpy as np
3 import networkx as nx
4 import random
5 import matplotlib.pyplot as plt
6 import scipy
7 from scipy.optimize import minimize
8 from scipy.optimize import Bounds
9 from scipy.optimize import LinearConstraint
10 import json
11
12 #####
13 #####
14
15 # Cálculo de distancias entre elementos en una rejilla cuadrada
16   bidimensional bajo condiciones de frontera periódicas
17 def calc_dist(loc1, loc2, longitud):
18     distx = loc1[0] - loc2[0]
19     disty = loc1[1] - loc2[1]
20     dist1 = (distx ** 2 + disty ** 2) ** (1 / 2.0)
21     dist2 = ((distx - longitud) ** 2 + disty ** 2) ** (1 / 2.0)
22     dist3 = ((distx + longitud) ** 2 + disty ** 2) ** (1 / 2.0)
23     dist4 = (distx ** 2 + (disty - longitud) ** 2) ** (1 / 2.0)
24     dist5 = (distx ** 2 + (disty + longitud) ** 2) ** (1 / 2.0)
25     dist6 = ((distx + longitud) ** 2 + (disty + longitud) ** 2) ** (1 / 2.0)
26     dist7 = ((distx - longitud) ** 2 + (disty + longitud) ** 2) ** (1 / 2.0)
27     dist8 = ((distx - longitud) ** 2 + (disty - longitud) ** 2) ** (1 / 2.0)
28     dist9 = ((distx + longitud) ** 2 + (disty - longitud) ** 2) ** (1 / 2.0)
29     lista_distancias = [dist1, dist2, dist3, dist4, dist5, dist6, dist7, dist8
30         , dist9]
31     distancia = min(lista_distancias)
32     return distancia
```

```

31
32 # Inicialización de gráfica para rejilla CML a grano grueso en estado 0
33 def ini_graf(longitud):
34     grafica = nx.Graph()
35     num_sitios = longitud**2
36     # Definición de nodos
37     for sitio in range(num_sitios):
38         grafica.add_node(sitio, u = -1)
39     # Definición de edges
40     lista_edges = []
41     for sitio1 in range(num_sitios):
42         for sitio2 in range(num_sitios):
43             if sitio2 == sitio1:
44                 continue
45             coord1 = (sitio1 % longitud, sitio1 // longitud)
46             coord2 = (sitio2 % longitud, sitio2 // longitud)
47             distancia = calc_dist(coord1, coord2, longitud)
48             lista_edges.append((sitio1, sitio2, {'path_distance': distancia}))
49     grafica.add_edges_from(lista_edges)
50     return grafica
51
52 # Configuración de gráfica en un estado definido
53 def def_edo(estado, grafica):
54     referencia = estado
55     exp = 0
56     while referencia > 0:
57         factor2 = 2 ** (exp)
58         tasa = referencia / factor2
59         if tasa >= 1:
60             exp = exp + 1
61         else:
62             grafica.nodes[exp - 1]['u'] = 1
63             factorneg = 2 ** (exp - 1)
64             referencia = referencia - factorneg
65             exp = 0
66     return grafica
67
68 # Definición de lista con distancias posibles entre sitios de la gráfica
69 def list_dists(grafica):
70     lista_distancias = []
71     for (nodo1, nodo2, distancia) in grafica.edges.data('path_distance'):
72         if distancia not in lista_distancias:
73             lista_distancias.append(distancia)
74         else:
75             continue
76     lista_distancias = sorted(lista_distancias)
77     return lista_distancias
78
79 ### PROBABILIDADES DE BOLTZMANN PARA ENERGÍAS
80 def prob_boltzmann(arreglo_alfas):
81     # Definición de diccionario con coeficientes alfas
82     diccionario_alfas = {}
83     for dist_iter in range(len(list_key_dists)):
84         clave_dist = list_key_dists[dist_iter]
85         diccionario_alfas[clave_dist] = arreglo_alfas[dist_iter]
86     # Cálculo de probabilidades de Boltzmann para todos los estados diferentes
87     # que están disponibles al sistema
88     p_calc = np.zeros(len(list_sums))

```

```

88  funcion_Z = 0
89  contador_p = 0
90  for entry in protoE:
91      # Cálculo de Hamiltoniano para un estado particular dadas ciertas alfas
92      hamiltoniano = 0
93      for distancia in list_key_dists:
94          factor = diccionario_alfas[distancia] * entry[0][distancia]
95          hamiltoniano = hamiltoniano + factor
96      # Definición (parcial) de probabilidad para cada estado
97      p_calc[contador_p] = entry[2] * np.exp(-hamiltoniano)
98      # Definición (gradual) de función de partición Z
99      funcion_Z = funcion_Z + (entry[2] * np.exp(-hamiltoniano))
100     contador_p = contador_p + 1
101     # Definición de probabilidad de Boltzmann para todos los estados
        disponibles al sistema
102     p_calc = p_calc / funcion_Z
103     return p_calc, funcion_Z
104
105 # Mínimos cuadrados
106 def min_cuadrados(arreglo_alfas):
107     prob_calc, f_Z = prob_boltzmann(arreglo_alfas)
108     dif = 0
109     for i in range(len(prob_calc)):
110         # if protoE[i][1] == 0:
111         #     continue
112         dif = dif + ((prob_calc[i] - protoE[i][1])) ** 2
113     return dif
114
115 ### PROBABILIDADES DE BOLTZMANN PARA ESTADOS
116 def pe_estado(arreglo_alfas):
117     # Definición de diccionario con coeficientes alfas
118     diccionario_alfas = {}
119     for dist_iter in range(len(list_key_dists)):
120         clave_dist = list_key_dists[dist_iter]
121         diccionario_alfas[clave_dist] = arreglo_alfas[dist_iter]
122     # Cálculo de probabilidades de Boltzmann para todos los estados diferentes
        que están disponibles al sistema
123     p_edo = np.zeros(N_total_states)
124     e_edo = np.zeros(N_total_states)
125     funcion_Z = 0
126     contador_p = 0
127     for estado in range(N_total_states):
128         clave = 's' + str(float(estado))
129         # Cálculo de Hamiltoniano para un estado particular dadas ciertas alfas
130         hamiltoniano = 0
131         for distancia in list_key_dists:
132             factor = diccionario_alfas[distancia] * dict_sums[clave][distancia]
133             hamiltoniano = hamiltoniano + factor
134         # Definición (parcial) de probabilidad para cada estado
135         p_edo[contador_p] = np.exp(-hamiltoniano)
136         # Definición de energía para cada estado
137         e_edo[contador_p] = hamiltoniano
138         # Definición (gradual) de función de partición Z
139         funcion_Z = funcion_Z + np.exp(-hamiltoniano)
140         contador_p = contador_p + 1
141     # Definición de probabilidad de Boltzmann para todos los estados
        disponibles al sistema
142     p_edo = p_edo / funcion_Z

```

```

143     return e_edo, p_edo, funcion_Z
144
145     ### FUNCIÓN PARA ORDENAR ARREGLOS
146     def ordenador(energias_ajuste, probabilidades_ajuste,
147                 probabilidades_experimentales):
148         # Ordenamiento de energías resultantes de ajuste
149         energias_ordenadas = sorted(energias_ajuste)
150         # Identificación de índices
151         indices = []
152         for energia_ord in energias_ordenadas:
153             for ind, energia in enumerate(energias_ajuste):
154                 if energia == energia_ord:
155                     indices.append(ind)
156                     break
157         # Ordenamiento de probabilidades
158         prob_ajuste_ordenadas = []
159         prob_exp_ordenadas = []
160         for ind in indices:
161             prob_ajuste_ordenadas.append(probabilidades_ajuste[ind])
162             prob_exp_ordenadas.append(probabilidades_experimentales[ind])
163         return energias_ordenadas, prob_ajuste_ordenadas, prob_exp_ordenadas
164
165     #####
166
167     ### RECUPERACIÓN DE EVOLUCIÓN DE REJILLA CML DE GRANO GRUESO
168     # Solicitud de parámetros de rejilla CML
169     L = int(input('Ingresa la longitud de la rejilla (entero): '))
170     G = int(input('Ingresa el tamaño de grano (entero): '))
171     N_total_sites = int(L ** 2 / G ** 2)
172     N_total_states = 2 ** (N_total_sites)
173     g = float(input('Ingresa la constante de acoplamiento (real con tres
174                    decimales): '))
175     N_iter = int(input('Ingresa el total de iteraciones (entero): '))
176     transient = int(input('Ingresa el valor de transient (entero): '))
177     N_turns = int(input('Ingresa el total de rondas (entero): '))
178     n_tries = int(input('Ingresa el número de ansatz (entero): '))
179     seed = int(input('Ingresa el valor de la semilla (entero): '))
180     sref = random.randrange(sys.maxsize)
181     random.seed(sref)
182     # Lectura de archivo con datos
183     fname_listofstates_CG = './Res_BD_L%(length)i_G%(grainsize)i_g%(coupling).3
184                            f_Niter%(iterations).3e_trans%(trans).3e_Nrondas%(turns).3e_seed%(s)i/
185                            tesis_Egolf_baldet_L%(length)i_G%(grainsize)i_g%(coupling).3f_Niter%(
186                            iterations).3e_trans%(trans).3e_Nrondas%(turns).3e_seed%(s)
187                            i_ListOfStates_CG.txt'
188     dict_read = {'length': L, 'grainsize': G, 'coupling': g, 'iterations':
189                 N_iter, 'trans': transient, 'turns': N_turns, 's': seed}
190     # Definición de arreglo con evolución de rejilla CML de grano grueso
191     arr_CG_states = np.loadtxt(fname_listofstates_CG % dict_read)
192
193     ### DISTRIBUCIÓN DE PROBABILIDAD DADA LA EVOLUCIÓN DE LA REJILLA CML A GRANO
194     GRUESO
195     print('Histograma - INICIO')
196     hist_CG, bins_CG = np.histogram(arr_CG_states, bins = N_total_states, range
197                                    = (0, N_total_states), density = True)
198     # Almacenamiento de histograma (probabilidades "experimentales")
199     filename_hist = './tesis_Egolf_EG_Basic_L%(length)i_G%(grainsize)i_g%(

```

```

    coupling).3f_Niter%(iterations).3e_trans%(trans).3e_Nrondas%(turns).3
    e_Nansatz%(ansatz)i_seed%(s)i_sr%(ref)i_LeastSquares10_HistDB.txt'
192 dict_fname = {'length': L, 'grainsize': G, 'coupling': g, 'iterations':
    N_iter, 'trans': transient, 'turns': N_turns, 'ansatz': n_tries, 's':
    seed, 'ref': sref}
193 np.savetxt(filename_hist % dict_fname, hist_CG)
194 print('Histograma - FINAL')
195
196 ### DICCIONARIO CON ESTADOS S_I Y SUMAS DE PRODUCTOS ENTRE PARES DE ESPINES
    (INDEXADAS POR DISTANCIAS ENTRE SITIOS)
197 LCG = int(N_total_sites ** (1 / 2.0))
198 lattice = ini_graf(LCG)
199 print('Diccionario con proto-energías - INICIO')
200 dict_sums = {}
201 tenth_progress_sums = int(N_total_states / 10)
202 for state in range(N_total_states):
203     # Marcador de progreso
204     if state % tenth_progress_sums == 0:
205         print('*')
206     # Definición de gráfica en estado definido
207     lattice = def_edo(state, lattice)
208     # Cálculo de productos
209     dict_prod = {}
210     for site1 in range(N_total_sites - 1):
211         for site2 in range(site1 + 1, N_total_sites):
212             product = lattice.nodes[site1]['u'] * lattice.nodes[site2]['u']
213             distance = lattice.edges[site1, site2]['path_distance']
214             key = 'd' + str(float(distance))
215             if key in dict_prod:
216                 dict_prod[key].append(product)
217             else:
218                 dict_prod[key] = [product]
219     # Cálculo de sumas de productos
220     dict_sums_holder = {}
221     for key in dict_prod:
222         dict_sums_holder[key] = sum(dict_prod[key])
223     # Definición de diccionario final
224     key_state = 's' + str(float(state))
225     dict_sums[key_state] = dict_sums_holder
226     lattice = ini_graf(LCG)
227 # Almacenamiento de diccionario
228 filename_dictsums = './tesis_Egolf_EG_Basic_L%(length)i_G%(grainsize)i_g%(
    coupling).3f_Niter%(iterations).3e_trans%(trans).3e_Nrondas%(turns).3
    e_Nansatz%(ansatz)i_seed%(s)i_sr%(ref)i_LeastSquares10_ProtoE_dict.txt'
229 with open(filename_dictsums % dict_fname, "w") as write_dictsums:
230     json.dump(dict_sums, write_dictsums)
231 print('Diccionario con proto-energías - FINAL')
232
233 ### LISTA CON SUMAS DE PRODUCTOS ENTRE PARES DE ESPINES (PROTO-ENERGÍAS)
234 print('Lista con proto-energías (sin repeticiones) - INICIO')
235 list_sums = []
236 for sum_prod in dict_sums.values():
237     if sum_prod not in list_sums:
238         list_sums.append(sum_prod)
239     else:
240         continue
241 # Almacenamiento de lista con sumas
242 filename_listsums = './tesis_Egolf_EG_Basic_L%(length)i_G%(grainsize)i_g%(

```

```

    coupling).3f_Niter%(iterations).3e_trans%(trans).3e_Nrondas%(turns).3
    e_Nansatz%(ansatz)i_seed%(s)i_sr%(ref)i_LeastSquares10_ProtoE_list.txt'
243 with open(filename_listsums % dict_fname, "w") as write_listsums:
244     json.dump(list_sums, write_listsums)
245 print('Lista con proto-energías (sin repeticiones) - FINAL')
246
247 ### LISTA CON PROTO-ENERGÍAS, PROBABILIDADES Y NÚMERO DE ESTADOS
    CORRESPONDIENTES
248 print('Lista con proto-energías y probabilidades - INICIO')
249 protoE_desord = []
250 for sum_prod in list_sums:
251     index_holder = []
252     for key_sum in dict_sums:
253         if dict_sums[key_sum] == sum_prod:
254             state = int(float(key_sum[1:]))
255             index_holder.append(state)
256         else:
257             continue
258     num_states_H = len(index_holder)
259     sum_probs = 0
260     for index in index_holder:
261         term = hist_CG[index]
262         sum_probs = sum_probs + term
263     protoE_desord.append([sum_prod, sum_probs, num_states_H])
264 # Almacenamiento de lista con probabilidades y total de estados
    correspondientes a proto-energías
265 filename_protoE_desord = './tesis_Egolf_EG_Basic_L%(length)i_G%(grainsize)
    i_g%(coupling).3f_Niter%(iterations).3e_trans%(trans).3e_Nrondas%(turns)
    .3e_Nansatz%(ansatz)i_seed%(s)i_sr%(ref)i_LeastSquares10_ProtoE&Prob&
    NS_desordenadas.txt'
266 with open(filename_protoE_desord % dict_fname, "w") as write_protoE_desord:
267     json.dump(protoE_desord, write_protoE_desord)
268 print('Lista con probabilidades de Hamiltoniano - FINAL')
269
270 ### ORDENAMIENTO DE PROTO-ENERGÍAS POR PROBABILIDAD
271 # Lista con probabilidades de proto-energías, ordenadas de mayor a menor
272 prob_ord = []
273 for pair in protoE_desord:
274     prob_ord.append(pair[1])
275 prob_ord = sorted(prob_ord, reverse = True)
276 # Ordenamiento de lista con proto-energías y probabilidades asociadas
277 protoE = []
278 print('Ordenamiento de proto-energías por probabilidades - INICIO')
279 for probability in prob_ord:
280     for entry in protoE_desord:
281         if entry[1] == probability:
282             if entry not in protoE:
283                 protoE.append(entry)
284                 break
285             else:
286                 continue
287         else:
288             continue
289 # Almacenamiento de lista con probabilidades y total de estados
    correspondientes a proto-energías
290 filename_protoE = './tesis_Egolf_EG_Basic_L%(length)i_G%(grainsize)i_g%(
    coupling).3f_Niter%(iterations).3e_trans%(trans).3e_Nrondas%(turns).3
    e_Nansatz%(ansatz)i_seed%(s)i_sr%(ref)i_LeastSquares10_ProtoE&Prob&NS.txt

```

```

,
291 with open(filename_protoE % dict_fname, "w") as write_protoE:
292     json.dump(protoE, write_protoE)
293 print('Ordenamiento de proto-energías por probabilidades - FINAL')
294
295 ### RECUPERACIÓN DE LISTA CON DISTANCIAS ENTRE SITIOS
296 # Lista con distancias
297 site_dists = list_dists(lattice)
298 print('Lista de distancias entre sitios: ')
299 print(site_dists)
300 # Lista con claves de distancias
301 list_key_dists_total = []
302 for distance in site_dists:
303     list_key_dists_total.append('d' + str(distance))
304 print('Lista con claves de distancias entre sitios: ')
305 print(list_key_dists_total)
306
307
308
309 #####
310 #####
311 ### MÍNIMOS CUADRADOS (CON ESQUEMAS LOCAL Y GLOBAL)
312 #####
313 #####
314
315 abs_alphas = len(list_key_dists_total)
316 abs_protoE = len(protoE)
317
318 ### ARREGLOS - DEFAULT
319 # Esquema energías
320 final_H_def_gf = np.zeros((abs_alphas, abs_protoE))
321 pBoltz_def_gf = np.zeros((abs_alphas, abs_protoE))
322 prob_exp_def_gf = np.zeros((abs_alphas, abs_protoE))
323 # Esquema estado
324 es_def = np.zeros((abs_alphas, N_total_states))
325 ps_def = np.zeros((abs_alphas, N_total_states))
326 hCG_def = np.zeros((abs_alphas, N_total_states))
327 chi2s_def = np.zeros(abs_alphas)
328 es_def_gf = []
329 ps_def_gf = []
330 hCG_def_gf = []
331
332 ### ARREGLOS - LOCAL1
333 # Esquema energías
334 final_H_l1_gf = np.zeros((abs_alphas, abs_protoE))
335 pBoltz_l1_gf = np.zeros((abs_alphas, abs_protoE))
336 prob_exp_l1_gf = np.zeros((abs_alphas, abs_protoE))
337 # Esquema estado
338 es_l1 = np.zeros((abs_alphas, N_total_states))
339 ps_l1 = np.zeros((abs_alphas, N_total_states))
340 hCG_l1 = np.zeros((abs_alphas, N_total_states))
341 chi2s_l1 = np.zeros(abs_alphas)
342 es_l1_gf = []
343 ps_l1_gf = []
344 hCG_l1_gf = []
345
346 ### ARREGLOS - GRADUAL DEFAULT
347 # Esquema energías

```

```

348 final_H_grad_def_gf = np.zeros((abs_alphas, abs_protoE))
349 pBoltz_grad_def_gf = np.zeros((abs_alphas, abs_protoE))
350 prob_exp_grad_def_gf = np.zeros((abs_alphas, abs_protoE))
351 # Esquema estado
352 es_graddef = np.zeros((abs_alphas, N_total_states))
353 ps_graddef = np.zeros((abs_alphas, N_total_states))
354 hCG_graddef = np.zeros((abs_alphas, N_total_states))
355 chi2s_gdef = np.zeros(abs_alphas)
356 es_graddef_gf = []
357 ps_graddef_gf = []
358 hCG_graddef_gf = []
359
360 ### ARREGLOS - GRADUAL LOCAL1
361 # Esquema energías
362 final_H_grad_l1_gf = np.zeros((abs_alphas, abs_protoE))
363 pBoltz_grad_l1_gf = np.zeros((abs_alphas, abs_protoE))
364 prob_exp_grad_l1_gf = np.zeros((abs_alphas, abs_protoE))
365 # Esquema estado
366 es_gradl1 = np.zeros((abs_alphas, N_total_states))
367 ps_gradl1 = np.zeros((abs_alphas, N_total_states))
368 hCG_gradl1 = np.zeros((abs_alphas, N_total_states))
369 chi2s_gl1 = np.zeros(abs_alphas)
370 es_gradl1_gf = []
371 ps_gradl1_gf = []
372 hCG_gradl1_gf = []
373
374
375 for cf in range(abs_alphas):
376     # Lista reducida de distancias como claves
377     list_key_dists = []
378     for counter_kd, key_dist in enumerate(list_key_dists_total):
379         if counter_kd > cf:
380             print('Listo')
381             break
382         else:
383             list_key_dists.append(key_dist)
384     print('*****')
385     print(list_key_dists)
386     print('*****')
387     # Definición de diccionario con claves para nombres de archivos
388     dict_f2 = {'length': L, 'grainsize': G, 'coupling': g, 'iterations':
389               N_iter, 'trans': transient, 'turns': N_turns, 'ansatz': n_tries, 's':
390               seed, 'ref': sref, 'coef': cf}
389
390     ##### ESQUEMA LOCAL 0 (DEFAULT)
391     #####
392
393     ### MÍNIMOS CUADRADOS - DEFAULT
394     print('Mínimos cuadrados (default) - INICIO')
395     ansatz_df = np.zeros((n_tries, len(list_key_dists)))
396     alphas_df = np.zeros((n_tries, len(list_key_dists)))
397     chi2_df = np.zeros(n_tries)
398     # Minimización con múltiples ansatz
399     for a_df in range(n_tries):
400         # Definición de ansatz
401         for value_df in range(len(list_key_dists)):
402             ansatz_df[a_df][value_df] = random.uniform(-1,1)
403         # Minimización

```

```

403     solution_def = minimize(min_cuadrados, ansatz_df[a_df], options={'disp':
      True})
404     alphas_df[a_df] = solution_def.x
405     chi2_df[a_df] = min_cuadrados(alphas_df[a_df])
406     # Almacenamiento
407     ansatz_df_fname = 'tesis_Egolf_EG_Chi2Std_ProbE_mAlphas_L%(length)i_G%(
      grainsize)i_g%(coupling).3f_Niter%(iterations).3e_trans%(trans).3
      e_Nrondas%(turns).3e_Nansatz%(ansatz)i_seed%(s)i_sr%(ref)i_totalcoef%(
      coef)i_LeastSquares10_Default_Ansatz.txt'
408     np.savetxt(ansatz_df_fname % dict_f2, ansatz_df)
409     alphas_df_fname = 'tesis_Egolf_EG_Chi2Std_ProbE_mAlphas_L%(length)i_G%(
      grainsize)i_g%(coupling).3f_Niter%(iterations).3e_trans%(trans).3
      e_Nrondas%(turns).3e_Nansatz%(ansatz)i_seed%(s)i_sr%(ref)i_totalcoef%(
      coef)i_LeastSquares10_Default_TotalAlphas.txt'
410     np.savetxt(alphas_df_fname % dict_f2, alphas_df)
411     chi2_df_fname = 'tesis_Egolf_EG_Chi2Std_ProbE_mAlphas_L%(length)i_G%(
      grainsize)i_g%(coupling).3f_Niter%(iterations).3e_trans%(trans).3
      e_Nrondas%(turns).3e_Nansatz%(ansatz)i_seed%(s)i_sr%(ref)i_totalcoef%(
      coef)i_LeastSquares10_Default_Chi2.txt'
412     np.savetxt(chi2_df_fname % dict_f2, chi2_df)
413     # Identificación de chi2 mínima
414     min_chi2_df = np.nanmin(chi2_df)
415     for counter_df, v_chi2_df in enumerate(chi2_df):
416         if v_chi2_df == min_chi2_df:
417             min_ansatz_df = counter_df
418     # Alphas correspondiente a mínimo
419     alphas_min_def = alphas_df[min_ansatz_df]
420     # Cálculo de probabilidades
421     pBoltz_def, Z_def = prob_boltzmann(alphas_min_def)
422     # Almacenamiento
423     fname_def = 'tesis_Egolf_EG_Chi2Std_ProbE_mAlphas_L%(length)i_G%(grainsize
      )i_g%(coupling).3f_Niter%(iterations).3e_trans%(trans).3e_Nrondas%(turns)
      .3e_Nansatz%(ansatz)i_seed%(s)i_sr%(ref)i_totalcoef%(coef)
      i_LeastSquares10_Default_ProbBoltz.txt'
424     np.savetxt(fname_def % dict_f2, pBoltz_def)
425     print('Mínimos cuadrados (local - \'trust-constr\') - FINAL')
426
427     print('Diferencia con valores finales: ' + str(min_cuadrados(
      alphas_min_def)))
428
429     ### DICCIONARIO CON COEFICIENTES ALFA FINALES - DEFAULT
430     print('Diccionario con coeficientes alfa finales (default) - INICIO')
431     dict_alphas_def = {}
432     for n_distance in range(len(list_key_dists)):
433         k_distance = list_key_dists[n_distance]
434         dict_alphas_def[k_distance] = alphas_min_def[n_distance]
435     # Almacenamiento
436     fname_alphas_def = 'tesis_Egolf_EG_Chi2Std_ProbE_mAlphas_L%(length)i_G%(
      grainsize)i_g%(coupling).3f_Niter%(iterations).3e_trans%(trans).3
      e_Nrondas%(turns).3e_Nansatz%(ansatz)i_seed%(s)i_sr%(ref)i_totalcoef%(
      coef)i_LeastSquares10_Default_Alphas.txt'
437     with open(fname_alphas_def % dict_f2, "w") as write_dict_alphas_def:
438         json.dump(dict_alphas_def, write_dict_alphas_def)
439     print('Diccionario con coeficientes alfa finales (default) - FINAL')
440
441     ### ENERGÍAS FINALES - DEFAULT
442     print('Lista con Hammlitonianos finales (default) - INICIO')
443     final_H_def = np.zeros(len(protoE))

```

```

444 prob_exp = np.zeros(len(protoE))
445 counter_H_def = 0
446 for entry in protoE:
447     H = 0
448     for dist in list_key_dists:
449         term = dict_alphas_def[dist] * entry[0][dist]
450         H = H + term
451     final_H_def[counter_H_def] = H
452     prob_exp[counter_H_def] = entry[1]
453     counter_H_def = counter_H_def + 1
454 # Almacenamiento
455 fname_H_def = 'tesis_Egolf_EG_Chi2Std_ProbE_mAlphas_L%(length)i_G%(
grainsize)i_g%(coupling).3f_Niter%(iterations).3e_trans%(trans).3
e_Nrondas%(turns).3e_Nansatz%(ansatz)i_seed%(s)i_sr%(ref)i_totalcoef%(
coef)i_LeastSquares10_Default_H.txt'
456 np.savetxt(fname_H_def % dict_f2, final_H_def)
457 print('Lista con Hamiltonianos finales (default) - FINAL')
458 # Ordenamiento
459 final_H_def_gf[cf], pBoltz_def_gf[cf], prob_exp_def_gf[cf] = ordenador(
    final_H_def, pBoltz_def, prob_exp)
460
461 ### ESQUEMA ESTADO
462 es_def[cf], ps_def[cf], Zs_def = pe_estado(alphas_min_def)
463 # Definición de chi2 (Estado)
464 chi2s_def[cf] = np.sum((np.array(ps_def[cf]) - np.array(hist_CG)) ** 2)
465 # Exclusión de probabilidades nulas
466 ps_def_holder = []
467 es_def_holder = []
468 hCG_def_holder = []
469 for counter_def, x_def in enumerate(hist_CG):
470     if x_def == 0:
471         continue
472     else:
473         ps_def_holder.append(ps_def[cf][counter_def])
474         es_def_holder.append(es_def[cf][counter_def])
475         hCG_def_holder.append(x_def)
476 ps_def_gf.append(ps_def_holder)
477 es_def_gf.append(es_def_holder)
478 hCG_def_gf.append(hCG_def_holder)
479
480 print('Z (Energía - Default): ' + str(float(Z_def)))
481 print('Z (Estado - Default): ' + str(float(Zs_def)))
482
483 ##### ESQUEMA LOCAL 1 ('trust-constr')
484 #####
485 if cf != abs_alphas + 2:
486     ### MÍNIMOS CUADRADOS - LOCAL 1
487     print('Mínimos cuadrados (local - \'trust-constr\') - INICIO')
488     # Definición de arreglo con restricciones
489     print('Definición de restricciones sobre proto-energías - INICIO')
490     num_restrict = len(protoE)
491     num_dists = len(list_key_dists)
492     ineq_protoE = np.zeros((num_restrict, num_dists))
493     for n_restriction in range(num_restrict):
494         for n_distance in range(num_dists):
495             key_dist = list_key_dists[n_distance]
496             ineq_protoE[n_restriction][n_distance] = protoE[n_restriction][0][

```

```

key_dist]
497 # Definición de fronteras
498 lower_limit = np.zeros(num_restrict)
499 upper_limit = np.zeros(num_restrict)
500 for indx in range(len(upper_limit)):
501     upper_limit[indx] = np.inf
502 # Definición de restricción (lineal)
503 linear_constraint = LinearConstraint(ineq_protoE, lower_limit,
upper_limit)
504 ansatz_l1 = np.zeros((n_tries, len(list_key_dists)))
505 alphas_l1 = np.zeros((n_tries, len(list_key_dists)))
506 chi2_l1 = np.zeros(n_tries)
507 # Minimización con múltiples ansatz
508 for a_l1 in range(n_tries):
509     # Definición de ansatz
510     for value_l1 in range(len(list_key_dists)):
511         ansatz_l1[a_l1][value_l1] = random.uniform(-1,1)
512     # Minimización
513     solution_l1 = minimize(min_cuadrados, ansatz_l1[a_l1], method='trust-
constr', constraints=linear_constraint, options={'disp': True})
514     alphas_l1[a_l1] = solution_l1.x
515     chi2_l1[a_l1] = min_cuadrados(alphas_l1[a_l1])
516 # Almacenamiento
517 ansatz_l1_fname = 'tesis_Egolf_EG_Chi2Std_ProbE_mAlphas_L%(length)i_G%(
grainsize)i_g%(coupling).3f_Niter%(iterations).3e_trans%(trans).3
e_Nrondas%(turns).3e_Nansatz%(ansatz)i_seed%(s)i_sr%(ref)i_totalcoef%(
coef)i_LeastSquares10_Local1_Ansatz.txt'
518 np.savetxt(ansatz_l1_fname % dict_f2, ansatz_l1)
519 alphas_l1_fname = 'tesis_Egolf_EG_Chi2Std_ProbE_mAlphas_L%(length)i_G%(
grainsize)i_g%(coupling).3f_Niter%(iterations).3e_trans%(trans).3
e_Nrondas%(turns).3e_Nansatz%(ansatz)i_seed%(s)i_sr%(ref)i_totalcoef%(
coef)i_LeastSquares10_Local1_TotalAlphas.txt'
520 np.savetxt(alphas_l1_fname % dict_f2, alphas_l1)
521 chi2_l1_fname = 'tesis_Egolf_EG_Chi2Std_ProbE_mAlphas_L%(length)i_G%(
grainsize)i_g%(coupling).3f_Niter%(iterations).3e_trans%(trans).3
e_Nrondas%(turns).3e_Nansatz%(ansatz)i_seed%(s)i_sr%(ref)i_totalcoef%(
coef)i_LeastSquares10_Local1_Chi2.txt'
522 np.savetxt(chi2_l1_fname % dict_f2, chi2_l1)
523 # Identificación de chi2 mínima
524 min_chi2_l1 = np.nanmin(chi2_l1)
525 for counter_l1, v_chi2_l1 in enumerate(chi2_l1):
526     if v_chi2_l1 == min_chi2_l1:
527         min_ansatz_l1 = counter_l1
528 # Alphas correspondiente a mínimo
529 alphas_min_l1 = alphas_l1[min_ansatz_l1]
530 # Cálculo de probabilidades
531 pBoltz_l1, Z_l1 = prob_boltzmann(alphas_min_l1)
532 # Almacenamiento
533 fname_l1 = 'tesis_Egolf_EG_Chi2Std_ProbE_mAlphas_L%(length)i_G%(
grainsize)i_g%(coupling).3f_Niter%(iterations).3e_trans%(trans).3
e_Nrondas%(turns).3e_Nansatz%(ansatz)i_seed%(s)i_sr%(ref)i_totalcoef%(
coef)i_LeastSquares10_Local1_ProbBoltz.txt'
534 np.savetxt(fname_l1 % dict_f2, pBoltz_l1)
535 print('Diferencia con valores finales: ' + str(min_cuadrados(
alphas_min_l1)))
536 print('Mínimos cuadrados (local - \'trust-constr\') - FINAL')
537
538 ### DICCIONARIO CON COEFICIENTES ALFA FINALES - LOCAL 1

```

```

539     print('Diccionario con coeficientes alfa finales (local - \'trust-constr
\'') - INICIO')
540     dict_alphas_l1 = {}
541     for n_distance in range(len(list_key_dists)):
542         k_distance = list_key_dists[n_distance]
543         dict_alphas_l1[k_distance] = alphas_min_l1[n_distance]
544     # Almacenamiento
545     fname_alphas_l1 = 'tesis_Egolf_EG_Chi2Std_ProbE_mAlphas_L%(length)i_G%(
grainsize)i_g%(coupling).3f_Niter %(iterations).3e_trans%(trans).3
e_Nrondas%(turns).3e_Nansatz%(ansatz)i_seed%(s)i_sr%(ref)i_totalcoef%(
coef)i_LeastSquares10_Local1_Alphas.txt'
546     with open(fname_alphas_l1 % dict_f2, "w") as write_dict_alphas_l1:
547         json.dump(dict_alphas_l1, write_dict_alphas_l1)
548     print('Diccionario con coeficientes alfa finales (local - \'trust-constr
\'') - FINAL')

549
550     ### ENERGÍAS FINALES - LOCAL 1
551     print('Lista con Hamiltonianos finales (local - \'trust-constr\'') -
INICIO')
552     final_H_l1 = np.zeros(len(protoE))
553     counter_H_l1 = 0
554     for entry in protoE:
555         H = 0
556         for dist in list_key_dists:
557             term = dict_alphas_l1[dist] * entry[0][dist]
558             H = H + term
559         final_H_l1[counter_H_l1] = H
560         counter_H_l1 = counter_H_l1 + 1
561     # Almacenamiento
562     fname_H_l1 = 'tesis_Egolf_EG_Chi2Std_ProbE_mAlphas_L%(length)i_G%(
grainsize)i_g%(coupling).3f_Niter %(iterations).3e_trans%(trans).3
e_Nrondas%(turns).3e_Nansatz%(ansatz)i_seed%(s)i_sr%(ref)i_totalcoef%(
coef)i_LeastSquares10_Local1_H.txt'
563     np.savetxt(fname_H_l1 % dict_f2, final_H_l1)
564     print('Lista con Hamiltonianos finales (local - \'trust-constr\'') -
FINAL')

565     # Ordenamiento
566     final_H_l1_gf[cf], pBoltz_l1_gf[cf], prob_exp_l1_gf[cf] = ordenador(
final_H_l1, pBoltz_l1, prob_exp)

567
568     ### ESQUEMA ESTADO
569     es_l1[cf], ps_l1[cf], Zs_l1 = pe_estado(alphas_min_l1)
570     # Definición de chi2 (Estado)
571     chi2s_l1[cf] = np.sum((np.array(ps_l1[cf]) - np.array(hist_CG)) ** 2)
572     # Exclusión de probabilidades nulas
573     ps_l1_holder = []
574     es_l1_holder = []
575     hCG_l1_holder = []
576     for counter_l1, x_l1 in enumerate(hist_CG):
577         if x_l1 == 0:
578             continue
579         else:
580             ps_l1_holder.append(ps_l1[cf][counter_l1])
581             es_l1_holder.append(es_l1[cf][counter_l1])
582             hCG_l1_holder.append(x_l1)
583     ps_l1_gf.append(ps_l1_holder)
584     es_l1_gf.append(es_l1_holder)
585     hCG_l1_gf.append(hCG_l1_holder)

```

```

586
587     print('Z (Energía - Local1): ' + str(float(Z_l1)))
588     print('Z (Estado - Local1): ' + str(float(Zs_l1)))
589
590     ##### ESQUEMA GRADUADO 0 (DEFAULT)
591     #####
592     ### MÍNIMOS CUADRADOS - GRADUADO DEFAULT
593     print('Mínimos cuadrados (graduado - default) - INICIO')
594     total_alphas = len(list_key_dists)
595     ansatz_gdf = np.zeros((n_tries, len(list_key_dists)))
596     alphas_gdf = np.zeros((n_tries, len(list_key_dists)))
597     chi2_gdf = np.zeros(n_tries)
598     # Minimización con múltiples ansatz
599     for a_gdf in range(n_tries):
600         # Definición de ansatz
601         for value_gdf in range(len(list_key_dists)):
602             ansatz_gdf[a_gdf][value_gdf] = random.uniform(-1,1)
603         # Minimización gradual
604         for turn in range(total_alphas):
605             # Coeficientes fijos
606             lower_alphas = np.zeros(total_alphas)
607             upper_alphas = np.zeros(total_alphas)
608             for n_alpha in range(total_alphas):
609                 if n_alpha == turn:
610                     lower_alphas[n_alpha] = -np.inf
611                     upper_alphas[n_alpha] = np.inf
612                 else:
613                     lower_alphas[n_alpha] = alphas_gdf[a_gdf][n_alpha]
614                     upper_alphas[n_alpha] = alphas_gdf[a_gdf][n_alpha]
615             bounds_alphas = Bounds(lower_alphas, upper_alphas)
616             # Minimización
617             solution_grad_def = minimize(min_cuadrados, ansatz_gdf[a_gdf], options
618 ={'disp': True})
619             alphas_gdf[a_gdf] = solution_grad_def.x
620             chi2_gdf[a_gdf] = min_cuadrados(alphas_gdf[a_gdf])
621     # Almacenamiento
622     ansatz_gdf_fname = 'tesis_Egolf_EG_Chi2Std_ProbE_mAlphas_L%(length)i_G%(
623 grainsize)i_g%(coupling).3f_Niter%(iterations).3e_trans%(trans).3
624 e_Nrondas%(turns).3e_Nansatz%(ansatz)i_seed%(s)i_sr%(ref)i_totalcoef%(
625 coef)i_LeastSquares10_G_Default_Ansatz.txt'
626 np.savetxt(ansatz_gdf_fname % dict_f2, ansatz_gdf)
627     alphas_gdf_fname = 'tesis_Egolf_EG_Chi2Std_ProbE_mAlphas_L%(length)i_G%(
628 grainsize)i_g%(coupling).3f_Niter%(iterations).3e_trans%(trans).3
629 e_Nrondas%(turns).3e_Nansatz%(ansatz)i_seed%(s)i_sr%(ref)i_totalcoef%(
630 coef)i_LeastSquares10_G_Default_TotalAlphas.txt'
631 np.savetxt(alphas_gdf_fname % dict_f2, alphas_gdf)
632     chi2_gdf_fname = 'tesis_Egolf_EG_Chi2Std_ProbE_mAlphas_L%(length)i_G%(
633 grainsize)i_g%(coupling).3f_Niter%(iterations).3e_trans%(trans).3
634 e_Nrondas%(turns).3e_Nansatz%(ansatz)i_seed%(s)i_sr%(ref)i_totalcoef%(
635 coef)i_LeastSquares10_G_Default_Chi2.txt'
636 np.savetxt(chi2_gdf_fname % dict_f2, chi2_gdf)
637     # Identificación de chi2 mínima
638     min_chi2_gdf = np.nanmin(chi2_gdf)
639     for counter_gdf, v_chi2_gdf in enumerate(chi2_gdf):
640         if v_chi2_gdf == min_chi2_gdf:
641             min_ansatz_gdf = counter_gdf
642     # Alphas correspondiente a mínimo

```

```

633 alphas_grad_def = alphas_gdf[min_ansatz_gdf]
634 # Cálculo de probabilidades
635 pBoltz_grad_def, Z_grad_def = prob_boltzmann(alphas_grad_def)
636 # Almacenamiento
637 fname_grad_def = 'tesis_Egolf_EG_Chi2Std_ProbE_mAlphas_L%(length)i_G%(
    grainsize)i_g%(coupling).3f_Niter%(iterations).3e_trans%(trans).3
    e_Nrondas%(turns).3e_Nansatz%(ansatz)i_seed%(s)i_sr%(ref)i_totalcoef%(
    coef)i_LeastSquares10_G_Default_ProbBoltz.txt'
638 np.savetxt(fname_grad_def % dict_f2, pBoltz_grad_def)
639 print('Diferencia con valores finales: ' + str(min_cuadrados(
    alphas_grad_def)))
640 print('Mínimos cuadrados (graduado - default) - FINAL')
641
642 ### DICCIONARIO CON COEFICIENTES ALFA FINALES - GRADUADO DEFAULT
643 print('Diccionario con coeficientes alfa finales (graduado - default) -
    INICIO')
644 dict_alphas_grad_def = {}
645 for n_distance in range(total_alphas):
646     k_distance = list_key_dists[n_distance]
647     dict_alphas_grad_def[k_distance] = alphas_grad_def[n_distance]
648 # Almacenamiento
649 fname_alphas_grad_def = 'tesis_Egolf_EG_Chi2Std_ProbE_mAlphas_L%(length)
    i_G%(grainsize)i_g%(coupling).3f_Niter%(iterations).3e_trans%(trans).3
    e_Nrondas%(turns).3e_Nansatz%(ansatz)i_seed%(s)i_sr%(ref)i_totalcoef%(
    coef)i_LeastSquares10_G_Default_Alphas.txt'
650 with open(fname_alphas_grad_def % dict_f2, "w") as
    write_dict_alphas_grad_def:
651     json.dump(dict_alphas_grad_def, write_dict_alphas_grad_def)
652 print('Diccionario con coeficientes alfa finales (graduado - default) -
    FINAL')
653
654 ### ENERGÍAS FINALES - GRADUADO DEFAULT
655 print('Lista con Hammlitonianos finales (graduado - default) - INICIO')
656 final_H_grad_def = np.zeros(len(protoE))
657 counter_H_grad_def = 0
658 for entry in protoE:
659     H = 0
660     for dist in list_key_dists:
661         term = dict_alphas_grad_def[dist] * entry[0][dist]
662         H = H + term
663         final_H_grad_def[counter_H_grad_def] = H
664         counter_H_grad_def = counter_H_grad_def + 1
665 # Almacenamiento
666 fname_H_grad_def = 'tesis_Egolf_EG_Chi2Std_ProbE_mAlphas_L%(length)i_G%(
    grainsize)i_g%(coupling).3f_Niter%(iterations).3e_trans%(trans).3
    e_Nrondas%(turns).3e_Nansatz%(ansatz)i_seed%(s)i_sr%(ref)i_totalcoef%(
    coef)i_LeastSquares10_G_Default_H.txt'
667 np.savetxt(fname_H_grad_def % dict_f2, final_H_grad_def)
668 print('Lista con Hammlitonianos finales (graduado - default) - FINAL')
669 # Ordenamiento
670 final_H_grad_def_gf[cf], pBoltz_grad_def_gf[cf], prob_exp_grad_def_gf[cf]
    = ordenador(final_H_grad_def, pBoltz_grad_def, prob_exp)
671
672 ### ESQUEMA ESTADO
673 es_graddef[cf], ps_graddef[cf], Zs_grad_def = pe_estado(alphas_grad_def)
674 # Definición de chi2 (Estado)
675 chi2s_gdef[cf] = np.sum((np.array(ps_graddef[cf]) - np.array(hist_CG)) **
    2)

```

```

676 # Exclusión de probabilidades nulas
677 ps_graddef_holder = []
678 es_graddef_holder = []
679 hCG_graddef_holder = []
680 for counter_graddef, x_graddef in enumerate(hist_CG):
681     if x_graddef == 0:
682         continue
683     else:
684         ps_graddef_holder.append(ps_graddef[cf][counter_graddef])
685         es_graddef_holder.append(es_graddef[cf][counter_graddef])
686         hCG_graddef_holder.append(x_graddef)
687 ps_graddef_gf.append(ps_graddef_holder)
688 es_graddef_gf.append(es_graddef_holder)
689 hCG_graddef_gf.append(hCG_graddef_holder)
690
691 print('Z (Energía - Gradual Default): ' + str(float(Z_grad_def)))
692 print('Z (Estado - Gradual Default): ' + str(float(Zs_grad_def)))
693
694 ##### ESQUEMA GRADUADO 1 ('trust-constr')
695 #####
696 if cf != abs_alphas+1:
697     ### MÍNIMOS CUADRADOS - GRADUADO L1
698     print('Mínimos cuadrados (graduado - \'trust-constr\') - INICIO')
699     # Definición de arreglo con restricciones
700     print('Definición de restricciones sobre proto-energías - INICIO')
701     num_restrict = len(protoE)
702     num_dists = len(list_key_dists)
703     ineq_protoE = np.zeros((num_restrict, num_dists))
704     for n_restriction in range(num_restrict):
705         for n_distance in range(num_dists):
706             key_dist = list_key_dists[n_distance]
707             ineq_protoE[n_restriction][n_distance] = protoE[n_restriction][0][
key_dist]
708     # Definición de fronteras
709     lower_limit = np.zeros(num_restrict)
710     upper_limit = np.zeros(num_restrict)
711     for indx in range(len(upper_limit)):
712         upper_limit[indx] = np.inf
713     # Definición de restricción (lineal)
714     linear_constraint = LinearConstraint(ineq_protoE, lower_limit,
upper_limit)
715     total_alphas = len(list_key_dists)
716     ansatz_g11 = np.zeros((n_tries, len(list_key_dists)))
717     alphas_g11 = np.zeros((n_tries, len(list_key_dists)))
718     chi2_g11 = np.zeros(n_tries)
719     # Minimización con múltiples ansatz
720     for a_g11 in range(n_tries):
721         # Definición de ansatz
722         for value_g11 in range(len(list_key_dists)):
723             ansatz_g11[a_g11][value_g11] = random.uniform(-1,1)
724         # Minimización gradual
725         for turn in range(total_alphas):
726             # Coeficientes fijos
727             lower_alphas = np.zeros(total_alphas)
728             upper_alphas = np.zeros(total_alphas)
729             for n_alpha in range(total_alphas):
730                 if n_alpha == turn:

```

```

731         lower_alphas[n_alpha] = -np.inf
732         upper_alphas[n_alpha] = np.inf
733     else:
734         lower_alphas[n_alpha] = alphas_g11[a_g11][n_alpha]
735         upper_alphas[n_alpha] = alphas_g11[a_g11][n_alpha]
736     bounds_alphas = Bounds(lower_alphas, upper_alphas)
737     # Minimización
738     solution_grad_l1 = minimize(min_cuadrados, alphas_g11[a_g11], method
= 'trust-constr', constraints=linear_constraint, options={'disp': True})
739     alphas_g11[a_g11] = solution_grad_l1.x
740     chi2_g11[a_g11] = min_cuadrados(alphas_g11[a_g11])
741     # Almacenamiento
742     ansatz_g11_fname = 'tesis_Egolf_EG_Chi2Std_ProbE_mAlphas_L%(length)i_G%(
grainsize)i_g%(coupling).3f_Niter%(iterations).3e_trans%(trans).3
e_Nrondas%(turns).3e_Nansatz%(ansatz)i_seed%(s)i_sr%(ref)i_totalcoef%(
coef)i_LeastSquares10_G_Local1_Ansatz.txt'
743     np.savetxt(ansatz_g11_fname % dict_f2, ansatz_g11)
744     alphas_g11_fname = 'tesis_Egolf_EG_Chi2Std_ProbE_mAlphas_L%(length)i_G%(
grainsize)i_g%(coupling).3f_Niter%(iterations).3e_trans%(trans).3
e_Nrondas%(turns).3e_Nansatz%(ansatz)i_seed%(s)i_sr%(ref)i_totalcoef%(
coef)i_LeastSquares10_G_Local1_TotalAlphas.txt'
745     np.savetxt(alphas_g11_fname % dict_f2, alphas_g11)
746     chi2_g11_fname = 'tesis_Egolf_EG_Chi2Std_ProbE_mAlphas_L%(length)i_G%(
grainsize)i_g%(coupling).3f_Niter%(iterations).3e_trans%(trans).3
e_Nrondas%(turns).3e_Nansatz%(ansatz)i_seed%(s)i_sr%(ref)i_totalcoef%(
coef)i_LeastSquares10_G_Local1_Chi2.txt'
747     np.savetxt(chi2_g11_fname % dict_f2, chi2_g11)
748     # Identificación de chi2 mínima
749     min_chi2_g11 = np.nanmin(chi2_g11)
750     for counter_g11, v_chi2_g11 in enumerate(chi2_g11):
751         if v_chi2_g11 == min_chi2_g11:
752             min_ansatz_g11 = counter_g11
753     # Alphas correspondiente a mínimo
754     alphas_grad_l1 = alphas_g11[min_ansatz_g11]
755     # Cálculo de probabilidades
756     pBoltz_grad_l1, Z_grad_l1 = prob_boltzmann(alphas_grad_l1)
757     # Almacenamiento
758     fname_grad_l1 = 'tesis_Egolf_EG_Chi2Std_ProbE_mAlphas_L%(length)i_G%(
grainsize)i_g%(coupling).3f_Niter%(iterations).3e_trans%(trans).3
e_Nrondas%(turns).3e_Nansatz%(ansatz)i_seed%(s)i_sr%(ref)i_totalcoef%(
coef)i_LeastSquares10_G_Local1_ProbBoltz.txt'
759     np.savetxt(fname_grad_l1 % dict_f2, pBoltz_grad_l1)
760     print('Diferencia con valores finales: ' + str(min_cuadrados(
alphas_grad_l1)))
761     print('Mínimos cuadrados (graduado - default) - FINAL')
762
763     ### DICCIONARIO CON COEFICIENTES ALFA FINALES - GRADUADO L1
764     print('Diccionario con coeficientes alfa finales (graduado - \'trust-
constr\') - INICIO')
765     dict_alphas_grad_l1 = {}
766     for n_distance in range(total_alphas):
767         k_distance = list_key_dists[n_distance]
768         dict_alphas_grad_l1[k_distance] = alphas_grad_l1[n_distance]
769     # Almacenamiento
770     fname_alphas_grad_l1 = 'tesis_Egolf_EG_Chi2Std_ProbE_mAlphas_L%(length)
i_G%(grainsize)i_g%(coupling).3f_Niter%(iterations).3e_trans%(trans).3
e_Nrondas%(turns).3e_Nansatz%(ansatz)i_seed%(s)i_sr%(ref)i_totalcoef%(
coef)i_LeastSquares10_G_Local1_Alphas.txt'

```

```

771     with open(fname_alphas_grad_l1 % dict_f2, "w") as
write_dict_alphas_grad_l1:
772         json.dump(dict_alphas_grad_l1, write_dict_alphas_grad_l1)
773     print('Diccionario con coeficientes alfa finales (graduado - \'trust-
constr\') - FINAL')
774
775     ### ENERGÍAS FINALES - GRADUADO L1
776     print('Lista con Hamiltonianos finales (graduado - \'trust-constr\') -
INICIO')
777     final_H_grad_l1 = np.zeros(len(protoE))
778     counter_H_grad_l1 = 0
779     for entry in protoE:
780         H = 0
781         for dist in list_key_dists:
782             term = dict_alphas_grad_l1[dist] * entry[0][dist]
783             H = H + term
784             final_H_grad_l1[counter_H_grad_l1] = H
785             counter_H_grad_l1 = counter_H_grad_l1 + 1
786     # Almacenamiento
787     fname_H_grad_l1 = 'tesis_Egolf_EG_Chi2Std_ProbE_mAlphas_L%(length)i_G%(
grainsize)i_g%(coupling).3f_Niter%(iterations).3e_trans%(trans).3
e_Nrondas%(turns).3e_Nansatz%(ansatz)i_seed%(s)i_sr%(ref)i_totalcoef%(
coef)i_LeastSquares10_G_Local1_H.txt'
788     np.savetxt(fname_H_grad_l1 % dict_f2, final_H_grad_l1)
789     print('Lista con Hamiltonianos finales (graduado - \'trust-constr\') -
FINAL')
790     # Ordenamiento
791     final_H_grad_l1_gf[cf], pBoltz_grad_l1_gf[cf], prob_exp_grad_l1_gf[cf] =
ordenador(final_H_grad_l1, pBoltz_grad_l1, prob_exp)
792
793     ### ESQUEMA ESTADO
794     es_gradl1[cf], ps_gradl1[cf], Zs_grad_l1= pe_estado(alphas_grad_l1)
795     # Definición de chi2 (Estado)
796     chi2s_gl1[cf] = np.sum((np.array(ps_gradl1[cf]) - np.array(hist_CG)) **
2)
797     # Exclusión de probabilidades nulas
798     ps_gradl1_holder = []
799     es_gradl1_holder = []
800     hCG_gradl1_holder = []
801     for counter_gradl1, x_gradl1 in enumerate(hist_CG):
802         if x_gradl1 == 0:
803             continue
804         else:
805             ps_gradl1_holder.append(ps_gradl1[cf-1][counter_gradl1])
806             es_gradl1_holder.append(es_gradl1[cf-1][counter_gradl1])
807             hCG_gradl1_holder.append(x_gradl1)
808     ps_gradl1_gf.append(ps_gradl1_holder)
809     es_gradl1_gf.append(es_gradl1_holder)
810     hCG_gradl1_gf.append(hCG_gradl1_holder)
811
812     print('Z (Energía - Gradual Local1): ' + str(float(Z_grad_l1)))
813     print('Z (Estado - Gradual Local1): ' + str(float(Zs_grad_l1)))
814
815     #####
816
817     # Almacenamiento
818     state_p_def = 'tesis_Egolf_EG_Chi2Std_ProbE_mAlphas_L%(length)i_G%(grainsize
)i_g%(coupling).3f_Niter%(iterations).3e_trans%(trans).3e_Nrondas%(turns)

```

```

    .3e_Nansatz%(ansatz)i_seed%(s)i_sr%(ref)
    i_LeastSquares10_Default_ProbBoltzState.txt'
819 np.savetxt(state_p_def % dict_fname, ps_def)
820 state_H_def = 'tesis_Egolf_EG_Chi2Std_ProbE_mAlphas_L%(length)i_G%(grainsize)
    )i_g%(coupling).3f_Niter%(iterations).3e_trans%(trans).3e_Nrondas%(turns)
    .3e_Nansatz%(ansatz)i_seed%(s)i_sr%(ref)i_LeastSquares10_Default_HState.
    txt'
821 np.savetxt(state_H_def % dict_fname, es_def)
822
823 state_chi2_def = 'tesis_Egolf_EG_Chi2Std_ProbE_mAlphas_L%(length)i_G%(
    grainsize)i_g%(coupling).3f_Niter%(iterations).3e_trans%(trans).3
    e_Nrondas%(turns).3e_Nansatz%(ansatz)i_seed%(s)i_sr%(ref)
    i_LeastSquares10_Default_Chi2State.txt'
824 np.savetxt(state_chi2_def % dict_f2, chi2s_def)
825
826 # Almacenamiento
827 state_p_l1 = 'tesis_Egolf_EG_Chi2Std_ProbE_mAlphas_L%(length)i_G%(grainsize)
    i_g%(coupling).3f_Niter%(iterations).3e_trans%(trans).3e_Nrondas%(turns)
    .3e_Nansatz%(ansatz)i_seed%(s)i_sr%(ref)
    i_LeastSquares10_Local1_ProbBoltzState.txt'
828 np.savetxt(state_p_l1 % dict_fname, ps_l1)
829 state_H_l1 = 'tesis_Egolf_EG_Chi2Std_ProbE_mAlphas_L%(length)i_G%(grainsize)
    i_g%(coupling).3f_Niter%(iterations).3e_trans%(trans).3e_Nrondas%(turns)
    .3e_Nansatz%(ansatz)i_seed%(s)i_sr%(ref)i_LeastSquares10_Local1_HState.
    txt'
830 np.savetxt(state_H_l1 % dict_fname, es_l1)
831
832 state_chi2_l1 = 'tesis_Egolf_EG_Chi2Std_ProbE_mAlphas_L%(length)i_G%(
    grainsize)i_g%(coupling).3f_Niter%(iterations).3e_trans%(trans).3
    e_Nrondas%(turns).3e_Nansatz%(ansatz)i_seed%(s)i_sr%(ref)
    i_LeastSquares10_Local1_Chi2State.txt'
833 np.savetxt(state_chi2_l1 % dict_fname, chi2s_l1)
834
835
836
837 # Almacenamiento
838 state_p_graddef = 'tesis_Egolf_EG_Chi2Std_ProbE_mAlphas_L%(length)i_G%(
    grainsize)i_g%(coupling).3f_Niter%(iterations).3e_trans%(trans).3
    e_Nrondas%(turns).3e_Nansatz%(ansatz)i_seed%(s)i_sr%(ref)
    i_LeastSquares10_G_Default_ProbBoltzState.txt'
839 np.savetxt(state_p_graddef % dict_fname, ps_graddef)
840 state_H_graddef = 'tesis_Egolf_EG_Chi2Std_ProbE_mAlphas_L%(length)i_G%(
    grainsize)i_g%(coupling).3f_Niter%(iterations).3e_trans%(trans).3
    e_Nrondas%(turns).3e_Nansatz%(ansatz)i_seed%(s)i_sr%(ref)
    i_LeastSquares10_G_Default_HState.txt'
841 np.savetxt(state_H_graddef % dict_fname, es_graddef)
842
843 state_chi2_gdef = 'tesis_Egolf_EG_Chi2Std_ProbE_mAlphas_L%(length)i_G%(
    grainsize)i_g%(coupling).3f_Niter%(iterations).3e_trans%(trans).3
    e_Nrondas%(turns).3e_Nansatz%(ansatz)i_seed%(s)i_sr%(ref)
    i_LeastSquares10_G_Default_Chi2State.txt'
844 np.savetxt(state_chi2_gdef % dict_fname, chi2s_gdef)
845
846 # Almacenamiento
847 state_p_gradl1 = 'tesis_Egolf_EG_Chi2Std_ProbE_mAlphas_L%(length)i_G%(
    grainsize)i_g%(coupling).3f_Niter%(iterations).3e_trans%(trans).3
    e_Nrondas%(turns).3e_Nansatz%(ansatz)i_seed%(s)i_sr%(ref)
    i_LeastSquares10_G_Local1_ProbBoltzState.txt'

```

```

848 np.savetxt(state_p_gradl1 % dict_fname, ps_gradl1)
849 state_H_gradl1 = 'tesis_Egolf_EG_Chi2Std_ProbE_mAlphas_L%(length)i_G%(
      grainsize)i_g%(coupling).3f_Niter%(iterations).3e_trans%(trans).3
      e_Nrondas%(turns).3e_Nansatz%(ansatz)i_seed%(s)i_sr%(ref)
      i_LeastSquares10_G_Local1_HState.tyxt'
850 np.savetxt(state_H_gradl1 % dict_fname, es_gradl1)
851
852 state_chi2_g11 = 'tesis_Egolf_EG_Chi2Std_ProbE_mAlphas_L%(length)i_G%(
      grainsize)i_g%(coupling).3f_Niter%(iterations).3e_trans%(trans).3
      e_Nrondas%(turns).3e_Nansatz%(ansatz)i_seed%(s)i_sr%(ref)
      i_LeastSquares10_G_Local1_Chi2State.txt'
853 np.savetxt(state_chi2_g11 % dict_fname, chi2s_g11)
854
855 ### GRÁFICA CON AJUSTE (Esquema Estado - 1 coeficiente)
856 plt.figure(1)
857 fig1, ax1 = plt.subplots(nrows=1, ncols=1, figsize=(10,10))
858 plt.rcParams.update({'font.size': 24})
859 plt.rcParams.update({'xtick.labelsize': 22})
860 plt.rcParams.update({'ytick.labelsize': 22})
861 plt.tight_layout(pad=4, h_pad=4, w_pad=4)
862 # Default
863 ax1.set_title(r'$N_{\alpha}=(iter_a)i$' % {'iter_a': 1} + ', ' + r'$\chi
      ^{2}=(\chi_a)5.3e$' % {'chi_a': chi_graddef[0]})
864 ax1.set_yscale('log')
865 ax1.set_ylabel(r'$P(S_i)$', fontsize=22)
866 ax1.set_xlabel(r'$H(S_i)$', fontsize=22)
867 ax1.tick_params(axis='both', which='major', labelsize=20)
868 ax1.plot(es_graddef_gf[0], hCG_graddef_gf[0], 'bo', label = 'Exp',
      markeredgewidth=1, markersize=12)
869 ax1.plot(es_graddef_gf[0], ps_graddef_gf[0], 'r-', label = 'LS', linewidth
      =8)
870 ax1.legend(loc='lower left', fontsize=22)
871 # Almacenamiento
872 imgname1_Gis_graph = 'tesis_Egolf_EG_Chi2Std_ProbE_mAlphas_L%(length)i_G%(
      grainsize)i_g%(coupling).3f_Niter%(iterations).3e_trans%(trans).3
      e_Nrondas%(turns).3e_Nansatz%(ansatz)i_seed%(s)i_sr%(ref)
      i_LeastSquares10_GradualSelection_G_Default_GraphTotalState_Coef1.png'
873 plt.savefig(imgname1_Gis_graph % dict_fname)
874
875 ### GRÁFICA CON AJUSTE (Esquema Estado - 2 coeficientes)
876 plt.figure(2)
877 fig2, ax2 = plt.subplots(nrows=1, ncols=1, figsize=(10,10))
878 plt.rcParams.update({'font.size': 24})
879 plt.rcParams.update({'xtick.labelsize': 22})
880 plt.rcParams.update({'ytick.labelsize': 22})
881 plt.tight_layout(pad=4, h_pad=4, w_pad=4)
882 # Local 1
883 ax2.set_title(r'$N_{\alpha}=(iter_b)i$' % {'iter_b': 1+1} + ', ' + r'$\chi
      ^{2}=(\chi_b)5.3e$' % {'chi_b': chi_graddef[1]})
884 ax2.set_yscale('log')
885 ax2.set_ylabel(r'$P(S_i)$', fontsize=22)
886 ax2.set_xlabel(r'$H(S_i)$', fontsize=22)
887 ax2.tick_params(axis='both', which='major', labelsize=20)
888 ax2.plot(es_graddef_gf[1], hCG_graddef_gf[1], 'bo', label = 'Exp',
      markeredgewidth=1, markersize=12)
889 ax2.plot(es_graddef_gf[1], ps_graddef_gf[1], 'r-', label = 'LS', linewidth
      =8)
890 ax2.legend(loc='lower left', fontsize=22)

```

```

891 # Almacenamiento
892 imgname2_Gis_graph = 'tesis_Egolf_EG_Chi2Std_ProbE_mAlphas_L%(length)i_G%(
    grainsize)i_g%(coupling).3f_Niter%(iterations).3e_trans%(trans).3
    e_Nrondas%(turns).3e_Nansatz%(ansatz)i_seed%(s)i_sr%(ref)
    i_LeastSquares10_GradualSelection_G_Default_GraphTotalState_Coef2.png'
893 plt.savefig(imgname2_Gis_graph % dict_fname)
894
895 ### GRÁFICA CON AJUSTE (Esquema Estado - 3 coeficientes)
896 plt.figure(3)
897 fig3, ax3 = plt.subplots(nrows=1, ncols=1, figsize=(10,10))
898 plt.rcParams.update({'font.size': 24})
899 plt.rcParams.update({'xtick.labelsize': 22})
900 plt.rcParams.update({'ytick.labelsize': 22})
901 plt.tight_layout(pad=4, h_pad=4, w_pad=4)
902 # Graduado - Default
903 ax3.set_title(r'$N_{\alpha}=(iter_c)i$' % {'iter_c': 2+1} + ', ' + r'$\chi
    ^{2}=%(chi_c)5.3e$' % {'chi_c': chi_graddef[2]})
904 ax3.set_yscale('log')
905 ax3.set_ylabel(r'$P(S_{i})$', fontsize=22)
906 ax3.set_xlabel(r'$H(S_{i})$', fontsize=22)
907 ax3.tick_params(axis='both', which='major', labelsize=20)
908 ax3.plot(es_graddef_gf[2], hCG_graddef_gf[2], 'bo', label = 'Exp',
    markeredgewidth=1, markersize=12)
909 ax3.plot(es_graddef_gf[2], ps_graddef_gf[2], 'r-', label = 'LS', linewidth
    =8)
910 ax3.legend(loc='lower left', fontsize=22)
911 # Almacenamiento
912 imgname3_Gis_graph = 'tesis_Egolf_EG_Chi2Std_ProbE_mAlphas_L%(length)i_G%(
    grainsize)i_g%(coupling).3f_Niter%(iterations).3e_trans%(trans).3
    e_Nrondas%(turns).3e_Nansatz%(ansatz)i_seed%(s)i_sr%(ref)
    i_LeastSquares10_GradualSelection_G_Default_GraphTotalState_Coef3.png'
913 plt.savefig(imgname3_Gis_graph % dict_fname)
914
915 ### GRÁFICA CON AJUSTE (Esquema Estado - 4 coeficientes)
916 plt.figure(4)
917 fig4, ax4 = plt.subplots(nrows=1, ncols=1, figsize=(10,10))
918 plt.rcParams.update({'font.size': 24})
919 plt.rcParams.update({'xtick.labelsize': 22})
920 plt.rcParams.update({'ytick.labelsize': 22})
921 plt.tight_layout(pad=4, h_pad=4, w_pad=4)
922 # Graduado - Local 1
923 ax4.set_title(r'$N_{\alpha}=(iter_d)i$' % {'iter_d': 3+1} + ', ' + r'$\chi
    ^{2}=%(chi_d)5.3e$' % {'chi_d': chi_graddef[3]})
924 ax4.set_yscale('log')
925 ax4.set_ylabel(r'$P(H_{i})$', fontsize=22)
926 ax4.set_xlabel(r'$H(S_{i})$', fontsize=22)
927 ax4.tick_params(axis='both', which='major', labelsize=20)
928 ax4.plot(es_graddef_gf[3], hCG_graddef_gf[3], 'bo', label = 'Exp',
    markeredgewidth=1, markersize=12)
929 ax4.plot(es_graddef_gf[3], ps_graddef_gf[3], 'r-', label = 'LS', linewidth
    =8)
930 ax4.legend(loc='lower left', fontsize=22)
931 # Almacenamiento
932 imgname4_Gis_graph = 'tesis_Egolf_EG_Chi2Std_ProbE_mAlphas_L%(length)i_G%(
    grainsize)i_g%(coupling).3f_Niter%(iterations).3e_trans%(trans).3
    e_Nrondas%(turns).3e_Nansatz%(ansatz)i_seed%(s)i_sr%(ref)
    i_LeastSquares10_GradualSelection_G_Default_GraphTotalState_Coef4.png'
933 plt.savefig(imgname4_Gis_graph % dict_fname)

```

```

934
935 ### GRÁFICA CON AJUSTE (Esquema Estado - 5 coeficientes)
936 plt.figure(5)
937 fig5, ax5 = plt.subplots(nrows=1, ncols=1, figsize=(10,10))
938 plt.rcParams.update({'font.size': 24})
939 plt.rcParams.update({'xtick.labelsize': 22})
940 plt.rcParams.update({'ytick.labelsize': 22})
941 plt.tight_layout(pad=4, h_pad=4, w_pad=4)
942 # Graduado - Local 1
943 ax5.set_title( r'$N_{\alpha}=(iter_e)i$' % {'iter_e': 4+1} + ', ' + r'$\chi
    \sim\chi^2=(\chi_e)5.3e$' % {'chi_e': chi_graddef[4]})
944 ax5.set_yscale('log')
945 ax5.set_ylabel(r'$P(H_{i})$', fontsize=22)
946 ax5.set_xlabel(r'$H(S_{i})$', fontsize=22)
947 ax5.tick_params(axis='both', which='major', labelsize=20)
948 ax5.plot(es_graddef_gf[4], ps_graddef_gf[4], 'r-', label = 'LS', linewidth
    =8)
949 ax5.plot(es_graddef_gf[4], hCG_graddef_gf[4], 'bo', label = 'Exp',
    markeredgecolor='k', markeredgewidth=1, markersize=12)
950 ax5.legend(loc='lower left', fontsize=22)
951 # Almacenamiento
952 imgname5_Gis_graph = 'tesis_Egolf_EG_Chi2Std_ProbE_mAlphas_L%(length)i_G%(
    grainsize)i_g%(coupling).3f_Niter%(iterations).3e_trans%(trans).3
    e_Nrondas%(turns).3e_Nansatz%(ansatz)i_seed%(s)i_sr%(ref)
    i_LeastSquares10_GradualSelection_G_Default_GraphTotalState_Coef5.png'
953 plt.savefig(imgname5_Gis_graph % dict_fname)
954
955 print('Programa concluido')

```

Apéndice N

Gráficas de simulaciones para prueba de distribución de Boltzmann en una rejilla de mapeo acoplado “a grano grueso” con distintos números de acoplamientos entre sitios

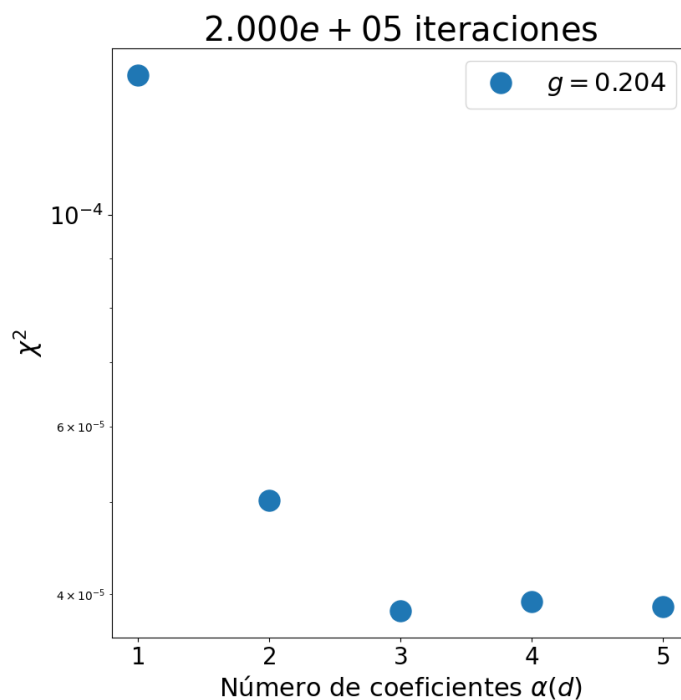
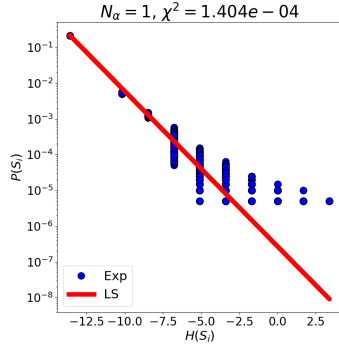
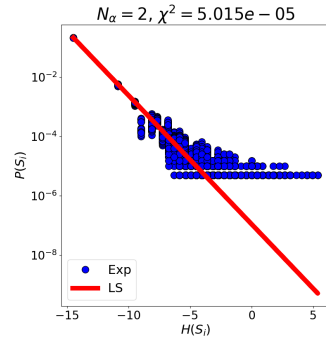


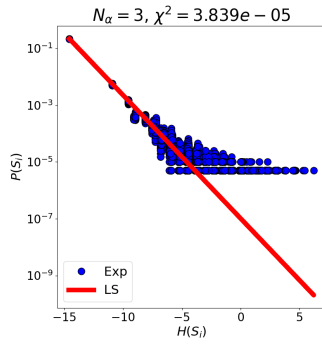
Figura N.1: Efecto de la inclusión de coeficientes $\alpha(d)$ en el cálculo de la energía $\mathcal{H}(S_i)$ sobre la dispersión χ^2 en una rejilla “a grano grueso” construida a partir de un sistema CML de longitud $L = 32$, grano $G = 8$ y acoplamiento $g=0.204$. La evolución temporal del sistema CG-CML fue de 2×10^5 iteraciones.



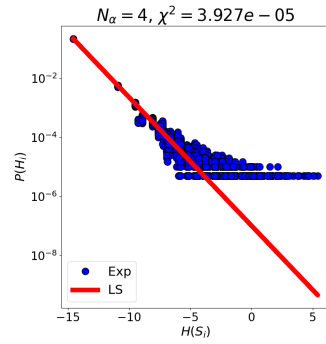
(a) Distribuciones de probabilidad de un sistema CG-CML de 4×4 sitios, considerando $N_\alpha = 1$ coeficiente para la energía $\mathcal{H}(S_i)$



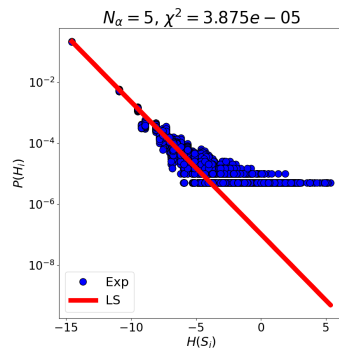
(b) Distribuciones de probabilidad de un sistema CG-CML de 4×4 sitios, considerando $N_\alpha = 2$ coeficientes para la energía $\mathcal{H}(S_i)$



(c) Distribuciones de probabilidad de un sistema CG-CML de 4×4 sitios, considerando $N_\alpha = 3$ coeficientes para la energía $\mathcal{H}(S_i)$



(d) Distribuciones de probabilidad de un sistema CG-CML de 4×4 sitios, considerando $N_\alpha = 4$ coeficientes para la energía $\mathcal{H}(S_i)$



(e) Distribuciones de probabilidad de un sistema CG-CML de 4×4 sitios, considerando $N_\alpha = 5$ coeficientes para la energía $\mathcal{H}(S_i)$

Figura N.2: Distribuciones de probabilidad $\mathcal{P}(S_i)$ obtenidas al considerar diferentes números N_α de coeficientes $\alpha(d)$ en el cálculo de la energía de un sistema CG-CML de 4×4 sitios con una evolución temporal de 2×10^5 iteraciones y semilla $s = 3316581566959966622$, derivado de una rejilla de mapeo acoplado de longitud $L = 32$, $G = 8$ y $g = 0.204$

Apéndice Ñ

Código para prueba de ergodicidad en rejilla de mapeo acoplado con acoplamientos entre múltiples vecinos

```
1 import sys
2 import random
3 import numpy as np
4 import networkx as nx
5 import matplotlib.pyplot as plt
6
7 #####
8 #####
9
10 ### CÁLCULO DE DISTANCIAS ENTRE DOS ELEMENTOS DE UNA REJILLA CUADRADA
11     BIDIMENSIONAL DOTADA DE CONDICIONES DE FRONTERA PERIÓDICAS
12 def calc_dist(loc1, loc2, longitud):
13     distx = loc1[0] - loc2[0]
14     disty = loc1[1] - loc2[1]
15     dist1 = (distx ** 2 + disty ** 2) ** (1 / 2)
16     dist2 = ((distx - longitud) ** 2 + disty ** 2) ** (1 / 2)
17     dist3 = ((distx + longitud) ** 2 + disty ** 2) ** (1 / 2)
18     dist4 = (distx ** 2 + (disty - longitud) ** 2) ** (1 / 2)
19     dist5 = (distx ** 2 + (disty + longitud) ** 2) ** (1 / 2)
20     dist6 = ((distx + longitud) ** 2 + (disty + longitud) ** 2) ** (1 / 2)
21     dist7 = ((distx - longitud) ** 2 + (disty + longitud) ** 2) ** (1 / 2)
22     dist8 = ((distx - longitud) ** 2 + (disty - longitud) ** 2) ** (1 / 2)
23     dist9 = ((distx + longitud) ** 2 + (disty - longitud) ** 2) ** (1 / 2)
24     lista_distancias = [dist1, dist2, dist3, dist4, dist5, dist6, dist7, dist8
25         , dist9]
26     distancia = min(lista_distancias)
27     return distancia
28
29 ### INICIACIÓN DE GRÁFICA PARA SISTEMA CML
30 def ini_graf(longitud):
31     grafica = nx.Graph()
32     # Definición de nodos
33     num_sitios = longitud ** 2
34     for sitio in range(num_sitios):
35         grafica.add_node(sitio, u = random.uniform(-1, 1))
36     # Definición de bordes
37     lista_edges = []
```

```

36 for sitio1 in range(num_sitios):
37     for sitio2 in range(num_sitios):
38         if sitio2 == sitio1:
39             continue
40         coord1 = (sitio1 % longitud, sitio1 // longitud)
41         coord2 = (sitio2 % longitud, sitio2 // longitud)
42         distancia = calc_dist(coord1, coord2, longitud)
43         lista_edges.append((sitio1, sitio2, {'path_distance': distancia}))
44 grafica.add_edges_from(lista_edges)
45 return grafica
46
47 ### CÁLCULO DE NÚMERO TOTAL DE DISTANCIAS ENTRE SITIOS DE REJILLA
48 def total_dist(grafica):
49     lista_nodos = list(grafica.nodes())
50     # Lista de posibles distancias con respecto a un nodo
51     lista_dists = []
52     for nodo in lista_nodos:
53         for vec, datos in grafica.adj[nodo].items():
54             for keys, dists in datos.items():
55                 if dists not in lista_dists:
56                     lista_dists.append(dists)
57     lista_dists = sorted(lista_dists)
58     total_dists = len(lista_dists)
59     return total_dists, lista_dists
60
61 ### CÁLCULO DE N VECINOS DE UN NODO EN UNA GRÁFICA CORRESPONDIENTE A REJILLA
62 def n_vecinos(grafica, nodo, num_dists, lista_total_dists):
63     # Lista de posibles distancias con acoplamiento no nulo
64     lista_distancias = lista_total_dists[0:num_dists]
65     # Listas de sitios a distancia particulares
66     lista_maestra = []
67     for c_dist, dist_value in enumerate(lista_distancias):
68         lista_holder = []
69         for vec, datos in grafica.adj[nodo].items():
70             for keys, dists in datos.items():
71                 if dists == lista_distancias[c_dist]:
72                     lista_holder.append(vec)
73         lista_maestra.append(lista_holder)
74     return lista_maestra
75
76 ### MAPEO PHI
77 def phi(valor_t):
78     if -1 <= valor_t < -1 / 3.:
79         valor_tt = (-3 * valor_t) - 2
80     elif -1 / 3. <= valor_t < 1 / 3.:
81         valor_tt = 3 * valor_t
82     elif 1 / 3. <= valor_t <= 1:
83         valor_tt = (-3 * valor_t) + 2
84     return valor_tt
85
86 ### EVOLUCIÓN TEMPORAL DE LA GRÁFICA
87 def ev_temp(num_iter, trans, x0, g_acople, grafica, lista_vecinos, guardar):
88     print('INICIO DE EVOLUCION TEMPORAL')
89     lista_sitios = list(grafica.nodes())
90     tenth_progress = int(num_iter / 10)
91     # Guardar evolución de 'u'
92     if guardar == True:
93         arr_promtemp = np.zeros((num_iter - trans))

```

```

94     for iteracion1 in range(num_iter):
95         if iteracion1 % tenth_progress == 0:
96             print('*')
97         # Gráfica auxiliar con valores de 'u' de siguiente iteración
98         grafica_holder1 = nx.Graph()
99         for sitio1a in lista_sitios:
100             grafica_holder1.add_node(sitio1a, u = 0)
101             # Cálculo de contribuciones asociadas a n-vecinos (por distancia)
102             sumas_dists1 = np.zeros(len(g_acople))
103             for contador_d1 in range(len(g_acople)):
104                 sumvec1 = 0
105                 for vecino1 in lista_vecinos[sitio1a][1][contador_d1]:
106                     dif_u1 = phi(grafica.nodos[vecino1]['u']) - phi(grafica.nodos[
sitio1a]['u'])
107                     sumvec1 = sumvec1 + dif_u1
108                     sumas_dists1[contador_d1] = sumvec1
109                 contribuciones1 = np.dot(g_acople, sumas_dists1)
110                 grafica_holder1.nodos[sitio1a]['u'] = phi(grafica.nodos[sitio1a]['u'
]) + contribuciones1
111             # Actualización de gráfica "original"
112             for sitio1b in lista_sitios:
113                 grafica.nodos[sitio1b]['u'] = grafica_holder1.nodos[sitio1b]['u']
114             if iteracion1 <= trans - 1:
115                 continue
116             arr_promtemp[iteracion1 - trans] = grafica.nodos[x0]['u']
117         print('FIN DE EVOLUCION TEMPORAL')
118         return grafica, arr_promtemp
119     # Sin guardar evolución de 'u'
120 else:
121     for iteracion2 in range(num_iter):
122         if iteracion2 % tenth_progress == 0:
123             print('*')
124         # Gráfica auxiliar
125         grafica_holder2 = nx.Graph()
126         for sitio2a in lista_sitios:
127             grafica_holder2.add_node(sitio2a, u = 0)
128             # Cálculo de contribuciones asociadas a n-vecinos (por distancia)
129             sumas_dists2 = np.zeros(len(g_acople))
130             for contador_d2 in range(len(g_acople)):
131                 sumvec2 = 0
132                 for vecino2 in lista_vecinos[sitio2a][1][contador_d2]:
133                     dif_u2 = phi(grafica.nodos[vecino2]['u']) - phi(grafica.nodos[
sitio2a]['u'])
134                     sumvec2 = sumvec2 + dif_u2
135                     sumas_dists2[contador_d2] = sumvec2
136                 contribuciones2 = np.dot(g_acople, sumas_dists2)
137                 grafica_holder2.nodos[sitio2a]['u'] = phi(grafica.nodos[sitio2a]['u'
]) + contribuciones2
138             # Actualización de gráfica
139             for sitio2b in lista_sitios:
140                 grafica.nodos[sitio2b]['u'] = grafica_holder2.nodos[sitio2b]['u']
141         print('FIN DE EVOLUCION TEMPORAL')
142         return grafica
143
144 #####
145 #####
146
147 ### DEFINICIÓN DE PARÁMETROS DE SIMULACIÓN

```

```

148 # Selección aleatoria de semilla
149 s = random.randrange(sys.maxsize)
150 # Definición de otros parámetros
151 L = int(input('Ingresa la longitud de la rejilla CML (entero): '))
152 N_iter = int(input('Ingresa el total de iteraciones (entero): '))
153 transient = int(input('Ingresa el valor de transient (entero): '))
154 site_x0 = int(input('Ingresa un sitio de la rejilla (entero): '))
155 N_ensembles = int(input('Ingresa el total de sistemas que conforman el
    ensamble (entero): '))
156
157 print('Espera unos momentos, falta proporcionar parámetros. ')
158
159 ### GENERACIÓN DE GRÁFICA Y LISTA CON VECINOS
160 # Iniciación de generador de números aleatorios
161 random.seed(s)
162 # Definición de gráfica
163 lattice = ini_graf(L)
164 # Cálculo de distancias posibles en rejilla
165 total_dists, list_dists = total_dist(lattice)
166 print('El número total de diferentes distancias entre sitios es ' + str(
    float(total_dists)))
167 print(list_dists)
168 num_vec = int(input('Ingresa el total de acoplamientos a considerar (entero)
    : '))
169 g = np.zeros(num_vec)
170 for vec_value in range(num_vec):
171     g[vec_value] = float(input('Ingresa la constante de acoplamiento (real
    positivo) para la distancia ' + str(float(vec_value)) + ': '))
172 maxg = max(g)
173 ming = min(g)
174 g_fname = 'tesis_Egolf_ergodicidad_MV_L%(length)i_totalg%(coupling)i_maxg%(
    mx).3f_ming%(mn).3f_Niter%(iterations).3e_trans%(trans).3e_seed%(seed)
    i_site%(site)i_gvalues.txt'
175 g_dict = {'length': L, 'coupling': num_vec, 'mx': maxg, 'mn': ming, '
    iterations': N_iter, 'trans': transient, 'site': site_x0, 'seed': s}
176 np.savetxt(g_fname % g_dict, g)
177 # Definición de lista con n-vecinos para cada nodo
178 list_neighbors = []
179 for site in range(L*2):
180     listv = n_vecinos(lattice, site, num_vec, list_dists)
181     list_neighbors.append((site, listv))
182
183 ### DISTRIBUCIÓN DE VARIABLE 'U' EN UN SITIO PARTICULAR TRAS MÚLTIPLES
    ITERACIONES, CONSIDERANDO UN SISTEMA
184 safe_timeavg = True
185 lattice, arr_timeavg = ev_temp(N_iter, transient, site_x0, g, lattice,
    list_neighbors, safe_timeavg)
186
187 fname_timeavg = 'tesis_Egolf_ergodicidad_MV_L%(length)i_totalg%(coupling)
    i_maxg%(mx).3f_ming%(mn).3f_Niter%(iterations).3e_trans%(trans).3e_seed%(
    seed)i_site%(site)i_timeavg.txt'
188 dict_fname_timeavg = {'length': L, 'coupling': num_vec, 'mx': maxg, 'mn':
    ming, 'iterations': N_iter, 'trans': transient, 'site': site_x0, 'seed':
    s}
189 np.savetxt(fname_timeavg % dict_fname_timeavg, arr_timeavg)
190
191 print('Evolución de sistema completada')
192

```

```

193 # Distribución de variable 'u' en un sitio particular tras múltiples
    iteraciones, considerando un ensamble
194 safe_ensembleavg = True
195 arr_ensembleavg = np.zeros((N_ensembles, (N_iter - transient)))
196 for sys in range(N_ensembles):
197     lattice = ini_graf(L)
198     lattice, arr_ensemble_holder = ev_temp(N_iter, transient, site_x0, g,
        lattice, list_neighbors, safe_ensembleavg)
199     arr_ensembleavg[sys] = arr_ensemble_holder
200 arr_ensembleavg = arr_ensembleavg.flatten()
201
202 fname_ensavg = 'tesis_Egolf_ergodicidad_MV_L%(length)i_totalg%(coupling)
    i_maxg%(mx).3f_ming%(mn).3f_Niter%(iterations).3e_trans%(trans).3e_seed%(
    seed)i_site%(site)i_Nens%(ens)i_ensavg.txt'
203 dict_fname_ensavg = {'length': L, 'coupling': num_vec, 'mx': maxg, 'mn':
    ming, 'iterations': N_iter, 'trans': transient, 'site': site_x0, 'ens':
    N_ensembles, 'seed': s}
204 np.savetxt(fname_ensavg % dict_fname_ensavg, arr_ensembleavg)
205
206 print('Evolución de ensamble completada')
207
208 # Iniciación de rejilla CML para prueba de self-averaging
209 L2 = int(2*L)
210 lattice2 = ini_graf(L2)
211 # Cálculo de distancias posibles en rejilla para prueba de self-averaging
212 total_dists2, list_dists2 = total_dist(lattice2)
213 list_neighbors2 = []
214 for site2 in range(L2**2):
215     listv2 = n_vecinos(lattice2, site2, num_vec, list_dists2)
216     list_neighbors2.append((site2, listv2))
217
218 # Distribución de variable 'u' en un sistema a un tiempo fijo
219 safe_selfavg = False
220 lattice2 = ev_temp(N_iter, transient, site_x0, g, lattice2, list_neighbors2,
    safe_selfavg)
221 arr_selfavg = np.zeros(L2**2)
222 for site in range(L2**2):
223     arr_selfavg[site] = lattice2.nodes[site]['u']
224
225 fname_selfavg = 'tesis_Egolf_ergodicidad_MV_L%(length)i_totalg%(coupling)
    i_maxg%(mx).3f_ming%(mn).3f_Niter%(iterations).3e_trans%(trans).3e_seed%(
    seed)i_selfavg.txt'
226 dict_fname_selfavg = {'length': L, 'coupling': num_vec, 'mx': maxg, 'mn':
    ming, 'iterations': N_iter, 'trans': transient, 'seed': s}
227 np.savetxt(fname_selfavg % dict_fname_selfavg, arr_selfavg)
228
229 print('Prueba de self-averaging completada')
230
231 # Gráfica con resultados de ergodicidad y self-averaging
232 plt.figure(1)
233 fig1, (ax1A, ax1B, ax1C) = plt.subplots(nrows = 1, ncols = 3, figsize =
    (30,10))
234 plt.tight_layout(pad=4, h_pad=4, w_pad=6)
235
236 hist_time, bins_time = np.histogram(arr_timeavg, range = (-1, 1))
237 hist_ens, bins_ens = np.histogram(arr_ensembleavg, range = (-1, 1))
238 hist_self, bins_self = np.histogram(arr_selfavg, range = (-1,1))
239

```

```

240 ax1A.hist(bins_time[:-1], bins_time, weights = hist_time, density = True)
241 ax1A.set_title('Distribución de ' + r'$u_{\vec{x}}_{0}^{t}$' + ' con un
    sistema de %(lo)i x %(lo)i sitios ' % {'lo': L} + r'$(\vec{x}_{0} = %(
    siteref)i) $' % {'siteref': site_x0}, size=16)
242 ax1A.set_ylabel('dP(u)', size=15)
243 ax1A.set_xlabel('u', size=15)
244 for tick in ax1A.xaxis.get_major_ticks():
245     tick.label.set_fontsize(14)
246 for tick in ax1A.yaxis.get_major_ticks():
247     tick.label.set_fontsize(14)
248
249 ax1B.hist(bins_ens[:-1], bins_ens, weights = hist_ens, density = True)
250 ax1B.set_title('Distribución de ' + r'$u_{\vec{x}}_{0}^{t}$' + ' con un
    ensamble de %(Nens)i sistemas de %(lo)i x %(lo)i sitios' % {'Nens':
    N_ensembles, 'lo': L}, size=16)
251 ax1B.set_ylabel('dP(u)', size=15)
252 ax1B.set_xlabel('u', size=15)
253 for tick in ax1B.xaxis.get_major_ticks():
254     tick.label.set_fontsize(14)
255 for tick in ax1B.yaxis.get_major_ticks():
256     tick.label.set_fontsize(14)
257
258 ax1C.hist(bins_self[:-1], bins_self, weights = hist_self, density = True)
259 ax1C.set_title('Distribución de ' + r'$u_{\vec{x}}^{t_{0}}$' + ' sobre un
    sistema de %(lo)i x %(lo)i sitios ' % {'lo': L2} + r'$(t_{0} = %(tiempo)
    .2e) $' % {'tiempo': N_iter}, size=16)
260 ax1C.set_ylabel('dP(u)', size=15)
261 ax1C.set_xlabel('u', size=15)
262 for tick in ax1C.xaxis.get_major_ticks():
263     tick.label.set_fontsize(14)
264 for tick in ax1C.yaxis.get_major_ticks():
265     tick.label.set_fontsize(14)
266
267 imgname = 'tesis_Egolf_ergodicidad_MV_L%(length)i_totalg%(coupling)i_maxg%(
    mx).3f_ming%(mn).3f_Niter%(iterations).3e_trans%(trans).3e_seed%(seed)
    i_site%(site)i_Nens%(ens)i_Graph.png'
268 dict_imgname = {'length': L, 'coupling': num_vec, 'mx': maxg, 'mn': ming, '
    iterations': N_iter, 'trans': transient, 'site': site_x0, 'ens':
    N_ensembles, 'seed': s}
269 plt.savefig(imgname % dict_imgname)
270
271 print('Programa concluido')

```

Referencias bibliográficas

- [1] Per Bak y Kan Chen. «Self-Organized Criticality». En: *Scientific American* 264.1 (1991), págs. 46-53.
- [2] Herbert B. Callen. *Thermodynamics and an Introduction to Thermostatistics*. Singapur: John Wiley & Sons, 1985.
- [3] M. C. Cross y P. C. Hohenberg. «Pattern formation outside of equilibrium». En: *Reviews of Modern Physics* 65.3 (1993), págs. 851-1123. DOI: <https://doi.org/10.1103/RevModPhys.65.851>.
- [4] Robert L. Devaney. *A First Course in Chaotic Dynamical Systems - Theory and Experiment*. CRC Press, 2020.
- [5] David A. Egolf. «Equilibrium Regained: From Nonequilibrium Chaos to Statistical Mechanics». En: *Science* 287.5450 (2000), págs. 101-104. DOI: <http://dx.doi.org/10.1126/science.287.5450.101>.
- [6] David A. Egolf. «Far From Equilibrium». En: *Science* 296.5574 (2002), págs. 1813-1815. DOI: <https://doi.org/10.1126/science.1073595>.
- [7] Jon Spalding Enrique Alvarez-Lacalle Blas Echebarria y Yohannes Shiferaw. «Calcium Alternans is Due to an Order-Disorder Phase Transition in Cardiac Cells». En: *Physical Review Letters* 114.108101 (2015), págs. 1-5. DOI: <https://doi.org/10.1103/PhysRevLett.114.108101>.
- [8] J. Dooyne Farmer. «Economics needs to treat the economy as a complex system». En: *Paradigm Lost: Rethinking Economics and Politics* (Berlín, Alemania, 12-15 de abr. de 2012).
- [9] Samuel Fuenlabrada. *Probabilidad y estadística*. McGraw-Hill Interamericana, 2011.
- [10] Charles Poole Herbert Goldstein y John Safko. *Classical Mechanics*. Estados Unidos de América: Addison-Wesley, 2002.
- [11] Jean-Francois Rupprecht y Jacques Prost. «A fresh eye on nonequilibrium systems». En: *Science* 352.6285 (2016), págs. 514-515. DOI: <https://doi.org/10.1126/science.aaf4611>.
- [12] Don S. Lemons. *An Introduction to Stochastic Processes in Physics*. Estados Unidos de América: The Johns Hopkins University Press, 2002.
- [13] Roger Bowley y Mariana Sánchez. *Introductory Statistical Mechanics*. Estado Unidos de América: Oxford University Press, 1999.
- [14] Jonathan Miller y David A. Huse. «Macroscopic equilibrium from microscopic irreversibility in a chaotic coupled-map lattice». En: *Physical Review E* 48.4 (1993).
- [15] F. Reif. *Fundamentals of statistical and thermal Physics*. Tokio, Japón: McGraw-Hill, 1965.

- [16] Moisés José Sametband. *Entre el orden y el caos la complejidad*. México: Fondo de Cultura Económica, 1999.
- [17] Daniel V. Schroeder. *An Introduction to Thermal Physics*. Estados Unidos de América: Addison Wesley Longman, 2000.
- [18] Didier Sornette. *Why Stock Markets Crash - Critical Events in Complex Financial Systems*. Estado Unidos de América: Princeton University Press, 2003.
- [19] Michael Spivak. *Calculus*. España: Editorial Reverté, 2014.